

ميكانيك الموائع (٢) (الجريان في الأقنية المكشوفة)



# مبكانبك الموائع (٢) (٢) (الجريان في الأقنية المكشوفة)

الدكتورة ندى التنجي مدرسة في قسم تقانات الهندسة البيئية

مديرية الكتب والمطبوعات الجامعية ١٤٣٤هـ - ٢٠١٣م لطلاب السنة الثالثة قسم تقانات الهندسة البيئية



# الفهرس

رقم الصفحة	الموضوع	
9	المقدمة	
	الفصل الأول	
	المبادئ الأساسية للجريان في الأقنية المكشوفة	
11	1-1 مقدمة	
14	2-1 أنواع الأقنية المكشوفة	
16	3-1 تعاريف أساسية	
17	1-3-1 المقاطع العرضية في الأقنية وعناصرها الهيدروليكية	
21	4-1 تصنيف الجريانات في الأقنية المكشوفة	
21	1-4-1 الجريان الدائم والجريان غير الدائم	
22	1-4-2 الجريان المنتظم والجريان المتغير بالنسبة للمسافة	
25	1-5- نظام الجريان	
26	<ul><li>6-1 توزع السرعة في الأقنية المكشوفة</li></ul>	
28	7-1- توزيع الضغط في مقطع جريان كقناة مكشوفة	
الفصل الثاني		
	الجريان الدائم المنتظم	
33	2-1 مقدمة	
33	2-2 المعادلات الأساسية للجريان المنتظم في الأقنية المكشوفة (معادلة	
	شيزي)	
37	2-3 المعادلات التجريبية المستخدمة لتحديد معامل شيزي	
41	2-4 العوامل المؤثرة على أمثال الخشونة	
43	2-5 تصميم الأقنية المكشوفة لجريان منتظم	
49	2-6 السرعة العظمى والسرعة الدنيا للجريان في الأقنية المكشوفة	

56	2-7 تصميم المقطع الأفضل هيدروليكياً	
59	2-7-1 مقطع مستطيل	
60	- 2-7-2 قناة ذات مقطع شبه منحرف	
64	2-7-3 قناة ذات مقطع مثلثي	
64	2-7-4 قناة ذات مقطع دائري	
67	2-8 الارتفاع الحر	
69	تطبيقات الفصل الثاني	
الفصل الثالث		
	الجريان الحرج	
101	1-3 مقدمة	
101	2-3 الحمولة الكلية في مقطع الجريان Head	
102	3-2-1 الحمولة على طول المجرى - ضبياع الحمولة	
102	3-3 الحمولة النوعية	
103	3-3-1 تغير الحمولة النوعية مع العمق من أجل تدفق ثابت	
107	3-3-2 تغير التدفق تبعاً للعمق من أجل حمولة نوعية ثابتة	
109	3-4- الجريان المنتظم الحرج	
109	3-4-1 الميل الحرج	
111	3-3 حساب العمق الحرج	
112	3-5-1 قناة ذات مقطع مستطيل	
113	2-3-2 مقطع مثلثي	
114	3-5-3 مقطع شبه منحرف	
115	3-6 المناطق الانتقالية	
115	3-6-1 مستوى تحت الحرج (بطئ) إلى مستوى آخر تحت الحرج	
117	3-6-2 الانتقال من جريان فوق الحرج إلى جريان فوق الحرج	
119	3-6-3 الانتقال من جريان تحت الحرج إلى فوق الحرج	

119	3-6-4 الانتقال من جريان فوق الحرج إلى تحت الحرج
120	مسائل الفصل الثالث
	الفصل الرابع
	الجريان الدائم المتدرج التغير
141	1-4 مقدمة
142	4-2 أساسيات دراسة الجريان متدرج التغير
143	4-3 المعادلة الأساسية لحالة جريان متدرج التغير
147	4-4 خواص منحنيات سطح الجريان متدرج التغير في قناة منتظمة
147	4-4-1عدم استمرارية سطح الجريان
148	4-4-2 سلوك سطح الجريان عند أعماق محددة
150	4-5 أشكال السطح الحر للجريان (المنحنيات الراجعة):
151	J > 0 حالة ميل هابط 1-5-4
158	j=0 حالة قناة قاعها أفقي j=0:
160	j < 0 حالة ميل صاعد : 3-5-4
162	4-6 المعادلات الحسابية للجريان الدائم المتدرج التغير
164	4-6-1 طريقة بافلوفسكي
172	4-6-4 طريقة بريس
176	4-6-4 طريقة باكميتيف
184	4-6-4 طريقة التقريب المتتالي
186	4-7 شكل منحني الجريان عند النقاط الخاصة
186	4-7-1 شكل منحني الجريان عند التغير في ميل الأقنية الموشورية
190	4-7-2 شكل منحني الجربان عند الاتصال بالمنشآت المائية
191	8-4 مقطع التحكم
193	تطبيقات الفصل الرابع
الفصل الخامس	

الجريان سريع التغير (القفزة المائية)	
217	1-5 مقدمة
219	2-5 المعادلة العامة للقفزة المائية
220	2-2-1 منحني القوى النوعية
223	3-5 القفزة المائية في قناة أفقية منتظمة ذات مقطع مستطيل
223	5-3-1 العلاقة بين العمقين المترافقين
225	5-3-2 السرعتان بجوار القفزة المائية والعلاقة بينهما
225	5-3-3 العلاقة بين العمقين المترافقين ورقم فرود
226	5-4 القفزة في الأقنية ذات المقطع غير المستطيل
227	5-5- أنواع القفزة المائية
229	5-6 ضياع الحمولة بالقفزة المائية
230	5-7 مردود القفزة
230	2-8 طول القفزة <sub>Lj</sub>
231	5-9 تعيين موضع القفزة
233	5-10 استعمال المعادلات ومنحنيات الحمولة النوعية والقوى النوعية
235	5-11 شكل منحني الجريان في القناة الخلفية بعد السقوط من المنشآت
	(سد هدار – منشأة سقوط – بوابات)
247	تطبيقات الفصل الخامس
265	المصطلحات العلمية
271	المراجع العلمية

# مقدمة

يعتبر الكتاب الحالي مرجعاً مفيداً لطلاب السنة الثالثة في كلية الهندسة التقنية ،قسم تقانات الهندسة البيئية.

يغطي كتاب ميكانيك الموائع 2 مواضيع تندرج في اطار ما نسميه الهيدروليك الهندسي أي الهيدروليك الذي يدرس حركة المياه في المنشآت الهندسية وصولاً الى العلاقات التي تسمح بتصميم الأجزاء المختلفة من هذه المنشآت. وهذا الكتاب يؤمن تغطية مناسبة للمبادئ الأساسية لجريان الموائع في الأقنية المكشوفة اذ اشتمل الكتاب على دراسات تفصيلية لمواضيع الجريان الدائم في الاقنية المكشوفة ، والجريان الحرج وكذلك الجريان المتغير بشكل تدريجي وبشكل مفاجئ.

ادرج الكتاب الحالي عدد غير قليل من الامثلة التطبيقية المحلولة المرتبطة بالقسم النظري للكتاب.

رغم أن تعليم الهندسة يطرح مطلباً أساسياً في البلدان المتطورة فإنه يشكل تحدياً شديد الوطأة في البلدان النامية إذ أن الحاجة الفورية للكوادر التقنية لتحقيق التنمية السريعة وكذلك الرغبة في وضع مناهج وطرائق تدريب تلائم الاحتياجات المحلية تشكلان حوافز محركة قد تعرض علم الهندسة وتدريسه في العالم النامي للخطر إن لم يكن هنالك توجيه صحيح.

إن تأمين الأساس العلمي الذي ترتكز عليه مهنة الهندسة تعتبر الدور المطلوب في أية مؤسسة هندسية، بتعبير آخر يجب أن تعكس المناهج الهندسية إعداداً قاعدياً كافياً من أجل مستوى ملائم للتنمية المحلية دون المساس بعلم الهندسة ومعاييره الاساسية.

يمر قطرنا اليوم كما سائر أقطارنا العربية بمرحلة تحول نحو حياة متطورة. ولسنا أحوج في أية فترة من حاجتنا في الفترة الحالية لترسيخ أسس التقنية الصحيحة لدعم الجهود المبذولة في سبيل تحقيق التحول المنشود والنهوض بالمجتمع في شتى المرافق. ولا ريب في أن مشاكل الثروة المائية والتحكم بها تعتبر من أكثر المواضيع أهمية بالنسبة لامتنا العربية كما لسائر أمم العالم اليوم ولمدى أكبر في المستقبل القريب.

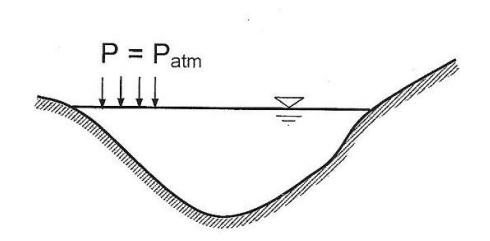
آمل أن يضيف هذا العمل لبنة جديدة في بناء المكتبة العلمية العربية وأن يحقق لطلابنا الأعزاء ما نرجوه لهم من فائدة تسهم في اغناء شخصيتهم العلمية والله من وراء القصد.
حلب 2013م

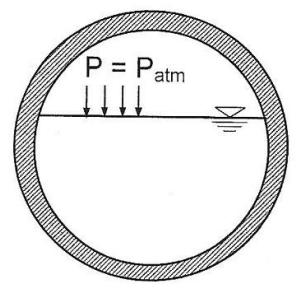
المؤلف

# الفصل الأول المية المكشوفة المكشوفة

#### 1-1 مقدمة:

الأقنية المكشوفة هي نواقل مائية يكون فيها السطح الحر للماء معرضاً للضغط الجوي الشكل (1-1). أي أن الماء أثناء جريانه في هذه الأقنية يخضع لتأثير الضغط الجوي فقط وفيها تكون القوة المسببة للجريان هي مركبة وزن السائل المحمولة باتجاه الحركة.





الشكل (1-1) تعريف الأقنية المكشوفة

وقد تكون القناة مغطاة، كالنفق في منطقة جبلية مثلاً أو شبكات الصرف الصحي، غير أن الماء يجب أن لا يملأ القناة تماماً كي لا يعلو الضغط فوق الضغط الجوي، وإلا يصبح النفق عندئذ أنبوباً تجري فيه المياه تحت الضغط، وقد تكون القناة المكشوفة ذات مقطع منتظم كأقنية الري وشبكات الصرف في المدن أو قد تكون ذات مقطع غير منتظم كالأنهار.

وتستخدم هذه الأقنية لأغراض مختلفة على سبيل المثال لا الحصر:

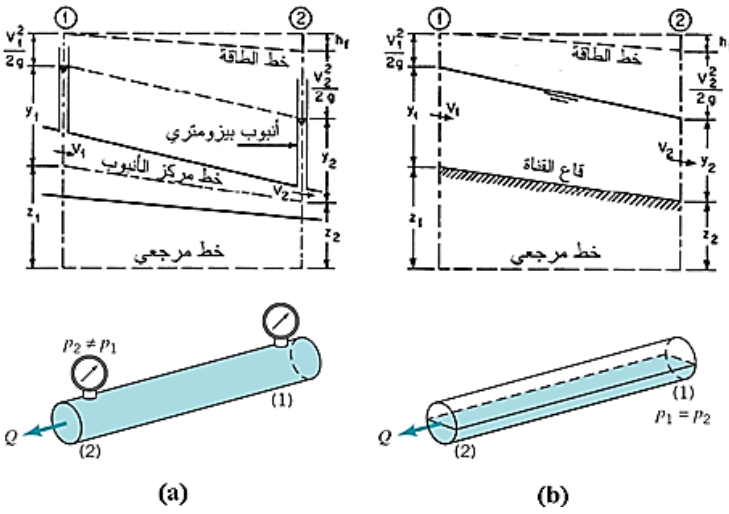
- أقنية الري: التي تؤمن إيصال المياه إلى المزروعات في الحقول.
- أقنية مياه الصرف: التي تؤمن إيصال مياه الصرف إلى محطات المعالجة.
- أقنية المحطات الكهربائية: التي تؤمن إيصال المياه إلى عنفات المحطات الكهربائية. يتشابه الجريان في الأقنية المكشوفة في عدة خواص مع الجريان المضغوط " الذي تمت دراسته في الجزء الأول من ميكانيك الموائع".

ولكن ما هي الفروقات بين الأقنية المكشوفة والمضغوطة؟

- 1- في حالة الجريان المضغوط يكون أي مقطع جريان محدد بمحيط صلب من جميع النواحي، أما في حالة الجريان المكشوف فيكون هناك دائماً سطح حر.
- 2- في الأقنية المضغوطة يكون الضغط عند أي نقطة على طول المجرى إما أكبر أو أقل من الضغط الجوي، وفي بعض الأحيان يتساوى الضغط عند نقطة ما على امتداد الجريان مع الضغط الجوي مثل حالة الجريان خلال أنبوب سيفون. أما المجاري المفتوحة فيكون الضغط عند أي نقطة على السطح الحر دائماً مساوياً للضغط الجوي.
- 3- في حالة الأقنية الترابية أو الأنهار توجد قابلية لتحرك المادة المكونة للجدران أو القاع بتأثير الجريان أو تتغير حالة السطح من مصقولة إلى خشنة بينما تتغير خشونة الأنابيب المضغوطة الداخلية من أنبوب جديد إلى أنبوب متآكل أو قديم بالإضافة لذلك تتغير خشونة الأقنية المكشوفة مع وضع السطح الحر لذلك فإن اختبار أمثال الاحتكاك للأقنية المكشوفة يكون أقل دقة من حالة الأنابيب المضغوطة.
- 4- في الأقنية المكشوفة يكون مقطع المجرى المائي بأي شكل كان من الشكل الدائري إلى الشكل غير المنتظم للأنهار الطبيعية بينما يكون المقطع في الأقنية المضغوطة بصورة عامة دائرياً.
- يعطي الشكل (1-2) مقارنة بين النوعين من الجريان حيث نرى على الشكل (a) الجريان في أنبوب وقد غرس أنبوبان بيزومتريان في المقطعين (1) و (2).

يرتفع الماء في الأنابيب البيزومترية بسبب الضغط في الأنبوب الرئيسي إلى مستوى ندعوه الخط البيزومتري حيث يمثل الارتفاع y بين مستوى الماء في الأنبوب البيزومتري ومركز المقطع ضغط الماء في هذا المقطع. يمثل مجموع ارتفاع مركز المقطع للأنبوب  $y = \frac{P}{\gamma}$  (piezometric height) وارتفاع وارتفاع الميزومتري  $y = \frac{P}{\gamma}$ 

السرعة (velocity head) القدرة الكلية في وحدة وزن الماء المار في المقطع ونسميها  $\frac{V^2}{2g}$  (H)



الشكل (2-1) (a) الجريان في الأقنية المضغوطة، (b) الجريان في الأقنية المكشوفة

$$H = z + y + \frac{V^2}{2g} \tag{1-1}$$

والخط الواصل بين مختلف الارتفاعات H يدعى خط القدرة أو خط الحمولة (Energy. Line) والقدرة الضائعة لدى جريان الماء من المقطع (1) إلى المقطع (2) تمثل بالارتفاع  $h_f$  حيث في حالة أنبوب أسطواني:

$$h_{\rm f} = \lambda \frac{L}{D} \frac{V^2}{2.g} \tag{2-1}$$

يعطي الشكل (b) تمثيلاً متشابهاً من أجل الجريان في الأقنية المكشوفة حيث اعتبرنا للسهولة أن خطوط التيار متوازية والسرعة منتظمة التوزيع في المقطع وميل القناة ضعيف، في هذه الحالة يكون الخط البيزومتري منطبقاً على سطح الماء.

رغم وجود تشابه بين النوعين من الجريان فإن حل مسائل الجريان في الأقنية المكشوفة أكثر صعوبة من حالة الجريان في الأنابيب المضغوطة. إذ أن شروط الجريان في الأقنية المكشوفة تكون معقدة بسبب تغير وضع السطح الحر تبعاً للزمن والمكان ولأن عمق الماء والتدفق وميول أرضية القناة وسطح الماء متعلقة ببعضها البعض.

نتيجة لتعدد أنواع الأقنية المكشوفة وأشكالها، كذلك نتيجة لتأثير السطح الحر على الجريان وقابلية مادة الجريان والقاع للحركة في حالة الأقنية الترابية، فإن معالجة الجريان في الأقنية المكشوفة بالطرق التقليدية يكون من الصعوبة بمكان. لكي نسهل من هذه

الصعوبة سوف نقسم الأقنية المكشوفة إلى أقسام تبعاً لأساس تكوينها - نوع المحيط المحدد لها - شكلها - انتظامها مع المسافة، ومن ثم يمكن إجراء دراسة لكل نوع على حدة.

في نفس الوقت سوف نضطر خلال دراستنا للجريان المكشوف إلى استخدام قوانين تجريبية (Empirical Formulae) ولكن يجب الأخذ بالاعتبار أن مثل هذه القوانين تكون صالحة للاستعمال في إطار الفروض والحدود التي استنتجت على أساسها.

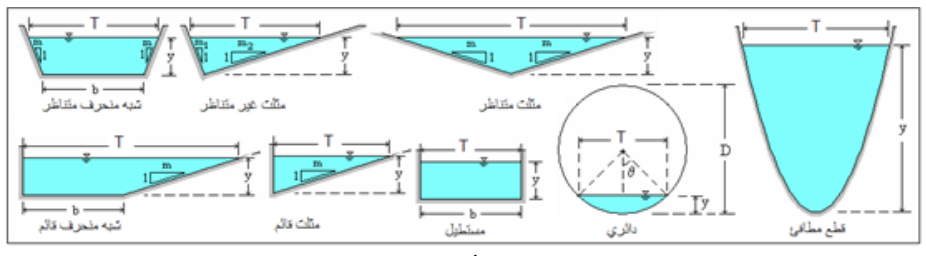
#### 1-2 أنواع الأقنية المكشوفة:

تنقسم الأقنية المكشوفة إلى أنواع عديدة وذلك تبعاً لوجهة النظر التي يتم على أساسها ذلك التقسيم كالآتى:

- a) تبعاً للمنشأ:
- 1- أقنية طبيعية: Natural open channels
- 2- أقنية مكشوفة صناعية: Artificial open channels

اقتية مكثرفة طبيعية

الأقنية المكشوفة الطبيعية تشمل تلك الأقنية التي وجدت طبيعياً على سطح الأرض ولم يقم بحفرها الإنسان، مثل الأنهار صغيرة كانت أم كبيرة، كما يمكن كذلك معالجة الجريان الجوفي ذو السطح الحر كأقنية مكشوفة طبيعية انظر الشكل (1-3).



الشكل (1-3) أنواع الاقنية المكشوفة

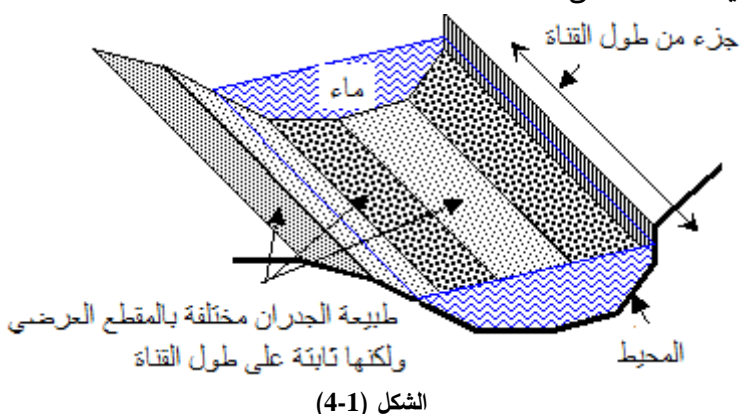
تتميز هذه الأقنية بعدم انتظام خواصها الهيدروليكية وتتطلب عند دراستها الإلمام بمجالات أخرى بجانب الهيدروليك مثل الهيدرولوجيا وحركة الرواسب. ويسمى هذا النوع

من الهيدروليك والذي يعالج الجريان في الأقنية الطبيعية بهيدروليك الأنهار River من الهيدروليك الأنهار Hydraulics

الأقنية المكشوفة الصناعية تشمل الأقنية التي قام بحفرها أو إنشائها الإنسان وتشمل قنوات الري- المصارف المفتوحة والمغطاة- أقنية الصرف الصحي- الأقنية الملاحية الخ.

وذلك بالإضافة إلى الأقنية التي يتم إنشاؤها في المعامل لدراسة بعض المشاكل الهيدروليكية عليها. وتكون الخواص الهيدروليكية لهذه الأقنية واضحة ومحددة.

- b) تتقسم الأقنية المكشوفة تبعاً لنوع المحيط المحدد لها إلى:
- 1- أقنية مكشوفة ذات محيط صلب open channels with rigid boundaries
- open channels with erodible boundaries عدم قابل للتآكل وتنقسم تلك بدورها إلى نوعين:
  - أقنية رسوبية.
  - أقنية ذات حشائش.

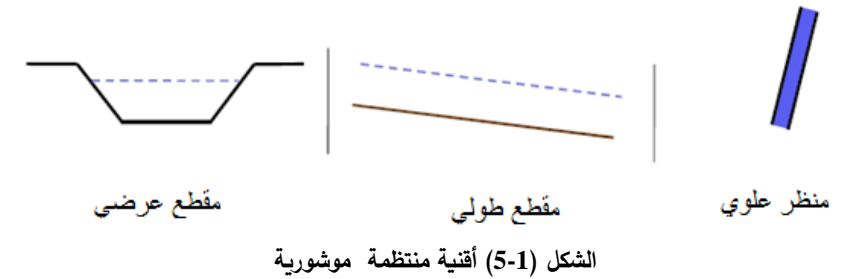


c تنقسم الأقنية المكشوفة تبعاً لشكلها الهندسي إلى أقسام عديدة. الأقنية الطبيعية عادةً ما يكون مقطعها غير منتظم، الشكل (1-3) يبين مقطع عرضي لمجرى طبيعي. أما الأقنية الصناعية فتأخذ أشكالاً هندسية عديدة، الشكل (1-3) يبين مجموعة من تلك الأشكال والتي سوف نتعرض لها بالدراسة.

عادةً ما تنشأ الأقنية المكشوفة الصناعية على شكل مقطع شبه منحرف حيث ميل الجوانب (cot θ) تؤخذ قيمته (2/1 أو 3/2 أو (1/1 وذلك تبعاً للعمق ونوع مادة الجوانب. القنوات المبطنة Pined Channels تنشأ بأي شكل مناسب تقتضيه المتطلبات العملية.

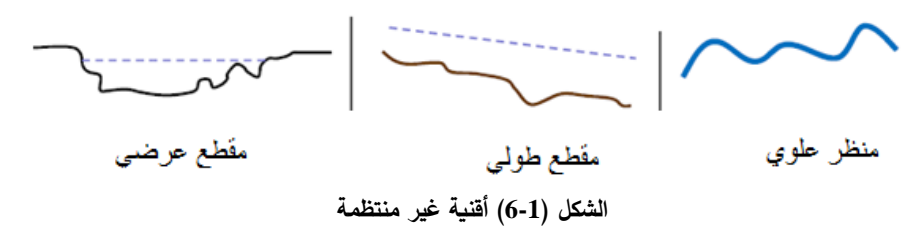
- d) يمكن أن تنقسم الأقنية المكشوفة تبعاً لانتظامها إلى:
  - أقنية منتظمة موشورية Prismatic channels

الأقنية المنتظمة هي تلك التي لا يتغير الشكل الهندسي لمقطعها كذلك ميل القاع لها مع المسافة الشكل (1-5).



• أقنية غير منتظمة Nonprismatic channels

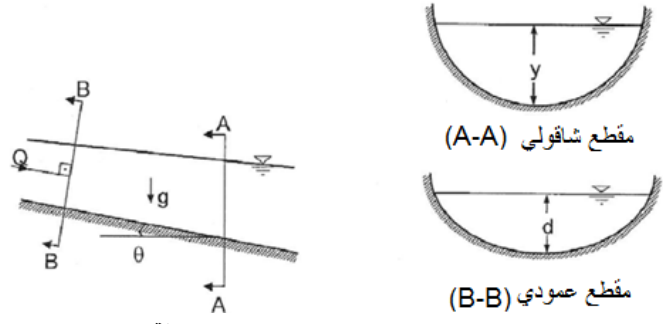
الأقنية غير المنتظمة هي تلك التي يتغير الشكل الهندسي للمقطع أو ميل القاع مع المسافة الشكل (6-1).



في الدراسة الحالية سوف نتناول فقط بالدراسة الجريان في الأقنية المكشوفة الصناعية المنتظمة Artificial Prismatic channels.

#### 1-3 تعاريف أساسية:

المقطع المائي A: يعرف المقطع المائي لقناة مكشوفة بأنه المقطع الناتج عن قطع القناة عمودياً باتجاه الجريان والمحدد بالجدران الصلبة والسطح الحر الشكل (1-7).



الشكل (1-7) المقطع المائى لقناة مكشوفة

المحيط المبلول P: يعرف المحيط المبلول بالمحيط الذي يتبع الجدران الصلبة المحدودة بجريان الماء دون السطح الحر الشكل (1-8).

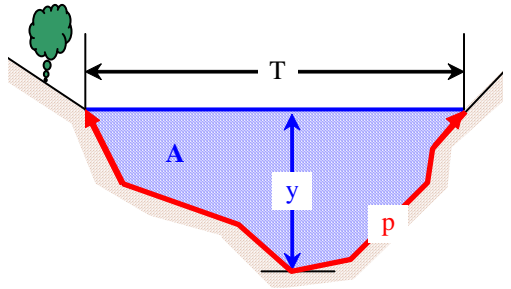
نصف القطر الهيدروليكي  $R_h$ : يعرف نصف القطر الهيدروليكي للقناة المكشوفة بأنه النسبة بين المقطع المائي A والمحيط المبلول P الشكل (1-8) أي:

$$R_{h} = \frac{A}{P} \tag{3-1}$$

العمق الهيدروليكي  $y_m$ : يعرف العمق الهيدروليكي في الأقنية المكشوفة بالعمق الوسطي للجريان ويساوي إلى نسبة المقطع المائي A إلى عرض السطح الحرT أي:

$$y_{m} = \frac{A}{T} \tag{4-1}$$

يبين الشكل (1-8) مختلف التعاريف الاساسية



الشكل (8-1) التعاريف الاساسية في الأقنية المكشوفة

# 1-3-1 المقاطع العرضية في الأقنية وعناصرها الهيدروليكية:

يمكن أن نصادف أثناء دراستنا الهيدروليكية أشكالاً ونماذج متعددة للمقاطع العرضية للأقنية، سوف نورد الآن أهم هذه النماذج مع كيفية تحديد عناصرها الهيدروليكية، ويقصد بالعناصر الهيدروليكية للمقطع العرضي التالي:

A: سطح المقطع المائي.

P: المحيط المبلول.

R: نصف القطر الهيدروليكي.

#### 1) مقطع شبه منحرف:

يعتبر المقطع العرضي شبه المنحرف من أكثر الأشكال الهندسية المستعملة في الأقنية المكشوفة لسهولة تنفيذه والشكل (1-9) يوضح أبعاد هذا المقطع:

لنعتمد الرموز التالية:

b: عرض قاعدة القناة من الأسفل.

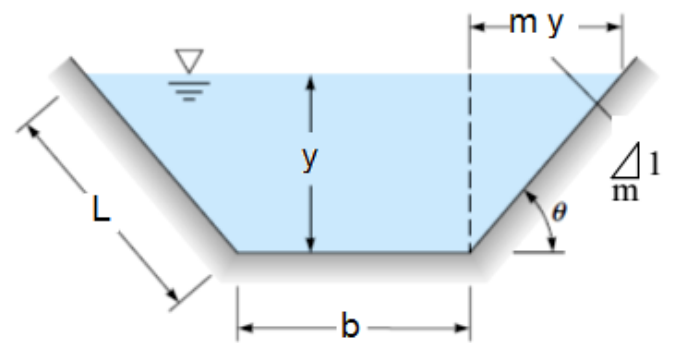
y: عمق الماء في القناة.

 $m=ctg\theta$  ميل جانب القناة ويساوي :m

θ: زاوية ميل جانب القناة.

y عرض القناة من الأعلى المقابل للعمق T

ومن الشكل (1-9) نجد أن:



الشكل (1-8) المقطع العرضي لقناة شبه المنحرف

$$T = b + 2y \operatorname{ctg}\theta = b + 2y \operatorname{m}$$

A = 
$$(b+T)\frac{y}{2}$$
 =  $(b+b+2y m)\frac{y}{2}$ 

$$A = (b + m y) y$$
 (4-1)

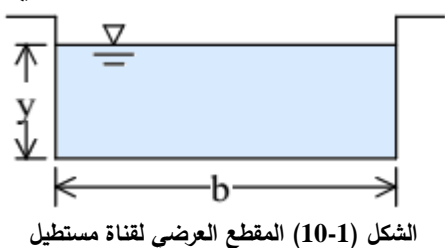
$$P = b + 2\frac{y}{\sin \theta}$$
$$\sin \theta = \frac{1}{\sqrt{1 + ctg^2 \theta}}$$

$$P = b + 2 y \sqrt{1 + m^2}$$
 (5-1)

$$R_{h} = \frac{A}{P} = \frac{(b+my)y}{b+2y\sqrt{1+m^{2}}}$$
 (6-1)

#### 2) مقطع مستطيل:

يبين الشكل (1-1) قناة مكشوفة ذات مقطع مستطيل في هذه الحالة يكون:



b = T

 $m = ctg\theta = ctg90 = 0$ 

فيكون:

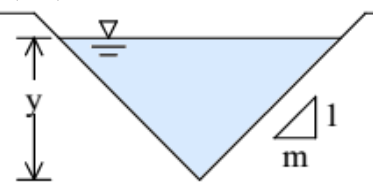
A = b y

$$P = b + 2 y \tag{7-1}$$

$$R_h = \frac{A}{P} = \frac{b y}{b+2 y}$$

#### 3) مقطع مثلثى:

يبين الشكل (11-1) قناة مكشوفة ذات مقطع مثلثي في هذه الحالة



الشكل (11-1) المقطع العرضى لقناة مثلثية

$$b = 0$$

$$T = 2 m y$$

$$A = m y^2 \tag{8-1}$$

$$P = 2 y \sqrt{1 + m^2}$$

$$R_h = \frac{m y}{2\sqrt{1+m^2}}$$

كما يمكن أن نصادف نماذج أخرى من المقاطع العرضية للأقنية، حيث لا تملك هذه النماذج أشكالاً هندسية محددة، كما في الشكل (1-3):

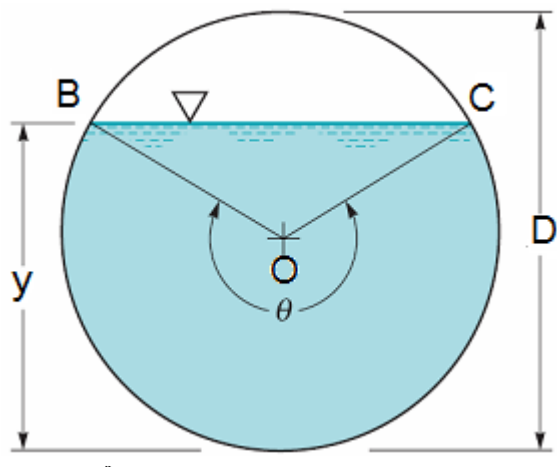
في هذه الحالة نقسم المقطع العرضي إلى عدة أجزاء لها أشكال هندسية محددة، ثم نحدد بعد ذلك سطح المقطع المائي والمحيط المبلول ونصف القطر الهيدروليكي للمقطع بكامله.

كما يمكن أن نصادف أقنية مغلقة، هذه النماذج من الأقنية التي تستخدم بشكل واسع في إيصال المياه إلى عنفات المحطات الكهربائية وفي شبكات الصرف الصحي وتصريف مياه الأمطار ومجالات أخرى.

وتحسب من الناحية الهيدروليكية كأقنية مكشوفة نحدد في كل حالة من الحالات سطح المقطع المائي. والمحيط المبلول وبالتالي نصف القطر الهيدروليكي وذلك حسب شكل المقطع وحسب نسبة الامتلاء بالماء ولنأخذ مثالاً على ذلك المقطع الدائري.

#### 4) المقطع الدائري:

يبين الشكل (1-1) العناصر الأساسية اللازمة للتصميم الهيدروليكي كما يلي:



الشكل (12-1) المقطع العرضي لقناة دائرية

$$A = \overrightarrow{OBC} + \overrightarrow{OBC}$$

$$A = \pi r^2 \frac{\theta}{2\pi} + \frac{1}{2} r^2 \sin(2\pi - \theta)$$

$$A = \pi r^2 \frac{\theta}{2\pi} - \frac{1}{2} r^2 \sin\theta$$

$$A = \frac{r^2}{2}(\theta - \sin \theta) \tag{9-1}$$

المحيط المبلول:

$$P = r \theta \tag{10-1}$$

نصف القطر الهيدروليكي:

$$R_{h} = \frac{A}{P} = \frac{r(\theta - \sin \theta)}{2 \theta}$$
 (11-1)

يبين الجدول (1-1) خصائص المقاطع الهندسية الأكثر استعمالاً الجدول (1-1) خصائص المقاطع الهندسية

شكل المقطع الهندسي	المقطع المائي A	المحيط المبلول P	نصف القطر الهيدروليكي R <sub>h</sub>	عرض السطح الحر T
لا	A = b y	P = b + 2 y	$R_h = \frac{b y}{b + 2 y}$	T = b
	$A = m y^2$	$P = 2 y \sqrt{1 + m^2}$	$R_h = \frac{m y}{2 \sqrt{1 + m^2}}$	T = 2 m y
السلامة منعرف شيه منعرف	A = (b + m y) y	$P = b + 2 y \sqrt{1 + m^2}$	$R_{h} = \frac{(b + my)y}{b + 2 y \sqrt{1 + m^{2}}}$	T = b + 2y m
	$A = \frac{r^2}{2} (\theta - \sin \theta)$	$P = r \theta$	$R_{h} = \frac{r (\theta - \sin \theta)}{2 \theta}$	$T = 2 r \sin \frac{\theta}{2}$

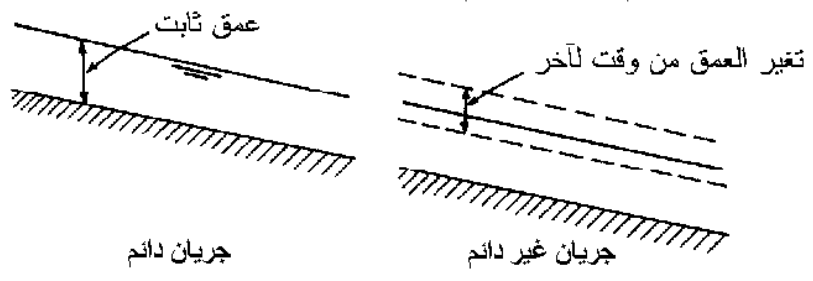
## 1-4 تصنيف الجريانات في الأقنية المكشوفة:

يصنف الجريان تبعاً لتغير عمق الجريان مع الزمن والمسافة في الأقنية المكشوفة إلى الأنواع التالية:

### Steady and Unsteady Flow غير الدائم والجريان غير الدائم عالم 1-4-1

يقال عن الجريان في الأقنية المكشوفة أنه دائم إذا كان عمق الجريان والسرعة غير متغير أو إذا أمكن اعتباره ثابتاً خلال الفترة الزمنية المعتبرة والجريان يكون غير دائم إذا تغير العمق مع الزمن الشكل (1-13). في أكثر الحالات يدرس الجريان في الحالة الدائمة. ولكن إذا كان تغير شروط الجريان مع الزمن ذا أهمية فتدرس الحالة غير الدائمة، ففي حالة

الفيضان مثلاً يتغير منسوب الماء بسرعة مع الزمن ودراسة حركة موجة الفيضان تكون ذات أهمية كبيرة لتصميم منشآت التحكم.



الشكل (1-13) الجريان الدائم والجريان غير الدائم

مهما كان نوع الجربان فإن التدفق في مقطع القناة يعطى بالعلاقة:

$$Q = A V ag{12-1}$$

حيث:

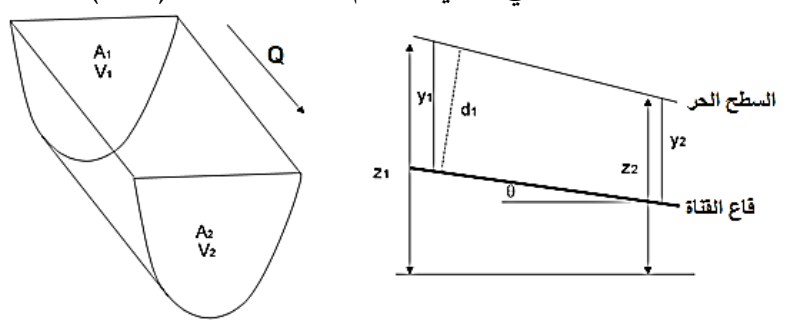
V: السرعة الوسطية للجريان.

A: مقطع الجريان المعامد لاتجاه الجريان.

في أكثر مسائل الجريان الدائم يكون التدفق ثابتاً على طول القسم المعتبر من القناة أي أن الجربان مستمر وبالتالي فإن المعادلة (12-1) تصبح:

$$Q = A_1 V_1 = A_2 V_2$$
 (13-1)

وتمثل معادلة الاستمرار في الجريان الدائم المستمر الشكل (1-11).



الشكل (1-14) معادلة الاستمرار في الجريان الدائم المستمر

#### 1-4-2 الجريان المنتظم والجريان المتغير بالنسبة للمسافة

#### **Uniform and Varied Flow**

يقال عن الجريان في الأقنية المكشوفة إنه منتظم إذا كان عمق الماء والسرعة في جميع مقاطع القناة الموشورية ثابتاً.

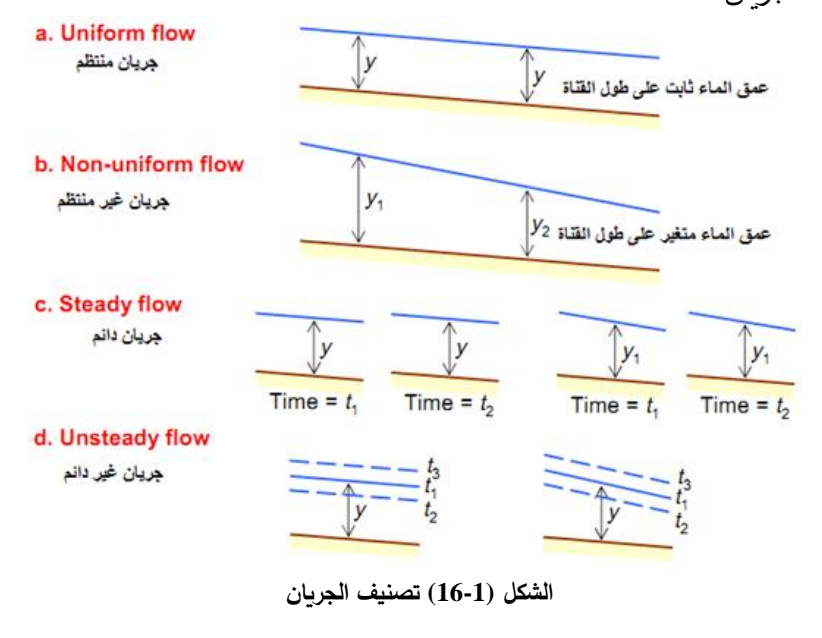
يمكن أن يكون الجريان المنتظم دائماً أو غير دائم حسب كون العمق يتغير أو لا يتغير مع الزمن الشكل (1-15).



الشكل (1-15) الجريان المنتظم والجريان المتغير

إن الجريان الدائم المنتظم هو النوع الأساسي للجريان الذي يدرس في الأقنية المكشوفة ويكون فيه عمق الماء ثابتاً خلال الفترة الزمنية المعتبرة. أما الجريان غير الدائم والمنتظم فيحتوي على سطح ماء يتغير وصفه من حين لآخر مع بقائه موازياً لأرضية القناة. من الواضح أن هذا الشرط صعب التحقيق لذلك يقصد عادةً بكلمة "جريان منتظم" الجريان الدائم المنتظم.

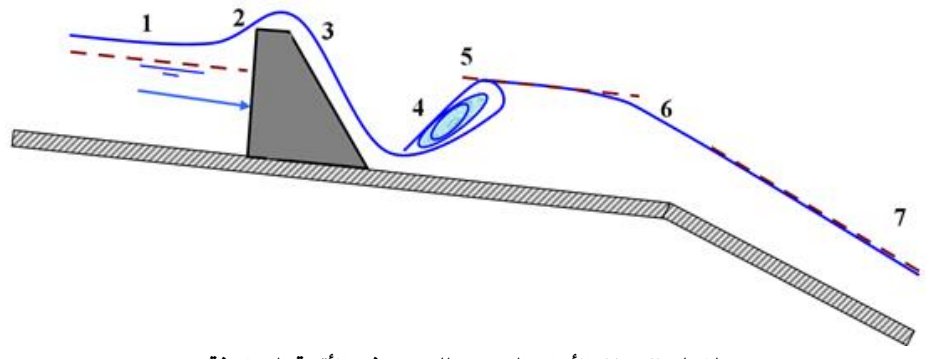
يكون الجريان متغيراً إذا تغير عمق الماء على طول القناة ويمكن أن يكون الجريان المتغير دائماً أو غير دائم، وبما أنه من النادر الحصول على جريان غير دائم ومنتظم فإن عبارة "جريان غير دائم" تستخدم فقط للجريان المتغير غير الدائم يبين الشكل (1-1) تصنيف الجريان.



ويمكن تصنيف الجريان المتغير أيضاً إلى جريان متغير تدريجياً وجريان متغير بسرعة. ويكون الجريان متغيراً بسرعة إذا تغير عمق الماء بقيمة كبيرة على مسافة صغيرة كما هو الأمر في حالة القفزة المائية والسقوط.

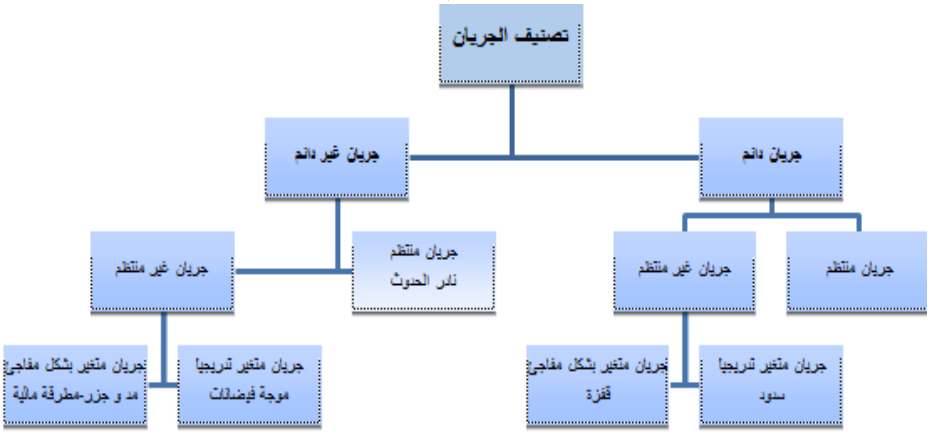
يبين الشكل (1-17) الأنواع المتعددة للجريان في الأقنية المكشوفة وهي على الشكل التالي:

- 1) جريان منتظم نهري.
- 2) جریان نهري متغیر بشکل تدریجی صاعد.
  - 3) جريان شلالي متسارع بشكل تدريجي.
    - 4) متغير بشكل مفاجئ قفزة مائية.
      - 5) جريان منتظم شلالي.



الشكل (1-17) الأنواع المتعددة للجريان في الأقنية المكشوفة

يمكن تلخيص تصنيف الجريان كما يلي:



#### 1-5- نظام الجربان

يتحكم بنظام الجريان في الأقنية المكشوفة القوى التالية:

- 1- قوى الثقالة.
- 2- قوى الاحتكاك (اللزوجة).

بالنسبة لقوى العطالة للجريان حسب أهمية تأثير اللزوجة بالنسبة للعطالة يمكن أن يكون الجربان صفحياً أو مضطرباً أو انتقالياً ويصنف برقم ربنولدس

$$Re = \frac{V R_h}{v}$$
 (14-1)

V: السرعة الوسطية للجربان.

نصف القطر الهيدروليكي.  $R_h$ 

اللزوجة الحركية.

يعتبر الجريان:

$$R_{\rm e} \leq 300$$
 مفحياً 
$$300 < R_{\rm e} < 500$$
 انتقالیاً 
$$R_{\rm e} > 500$$
 مضطریاً

ولما كانت الجريانات ذات السطح الحر غالباً مضطربة فإننا نادراً ما نفتش عن تأثير عدد رينولدس. إلا أنه في حالات خاصة مثلاً عندما تكون سرع الجريان صغيرة، أو عندما يكون السائل الجاري شديد اللزوجة، أو في حالة الجريانات السطحية (على مساحات واسعة من الأرض) بأعماق صغيرة الخ. فإنه يجب حتماً التحقق من معرفة نظام الجريان من حيث الاضطراب لنتمكن من تطبيق القانون المناسب للحالة المدروسة.

أما من حيث تأثير الثقالة فيعبر عنها بنسبة قوى العطالة إلى قوى الثقالة وتعطى هذه النسبة بعدد فرود:

$$F_{r} = \frac{V}{\sqrt{g y_{m}}} \tag{15-1}$$

V: سرعة الجريان.

y : العمق الهيدروليكي.

ونظراً لأهمية تأثير الثقالة على الجريان المكشوف فإن لهذا العدد الأهمية الأساسية في تحديد نظام الجريان:

- يكون الجربان نهرياً (fluvial) أو دون الحرج (subcritical flow) عندما  $F_{\rm r} < 1$
- يكون الجريان شلالياً (torrential) أو فوق الحرج (supercritical flow) عندما  $F_r > 1$  .
  - وإذا كان  $F_r = 1$  فإن الجريان يكون حرجاً (critical flow) •

#### 1-6 توزع السرعة في الأقنية المكشوفة:

بسبب وجود سطح حر للجريان، كذلك بسبب الاحتكاك بين كتلة الجريان المتحرك وبين قاع وجدران القناة فإن توزيع السرعات في أي مقطع جريان يكون توزيعاً غير منتظماً.

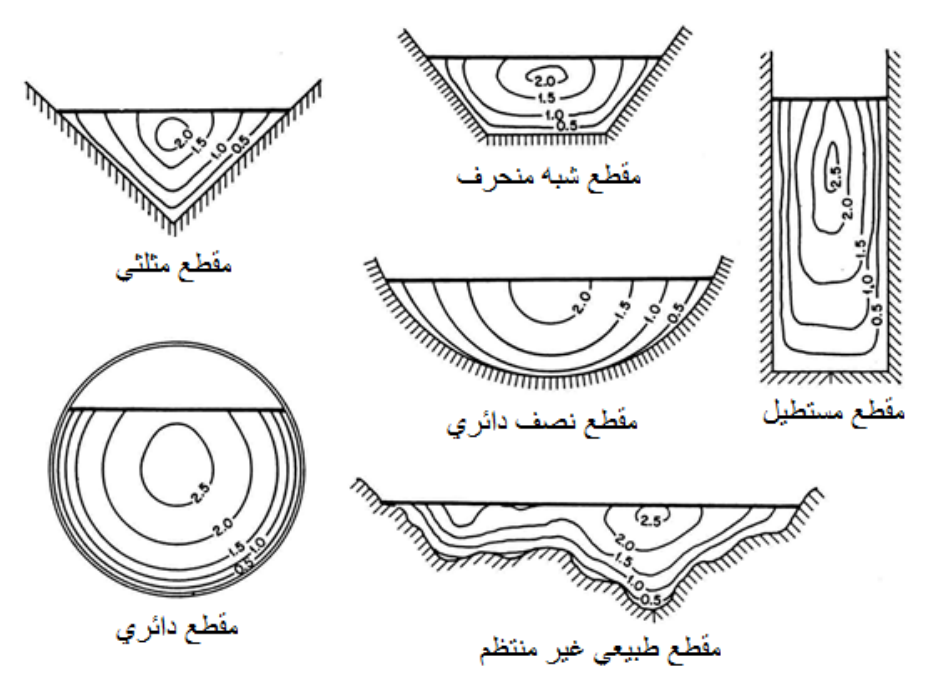
في مقطع جريان لقناة مفتوحة تكون السرعات قيمتها كبيرة على الخط الشاقولي المار بمنتصف المقطع (محور التماثل) وتقل كلما اتجهنا إلى الجوانب. على أي خط رأسي في مقطع الجريان في قناة مكشوفة، تحدث أقصى قيمة للسرعة  $(V_{max})$  تحت السطح الحربمسافة تتراوح بين  $0.05y \rightarrow 0.25y$  حيث y هو عمق الجريان في ذلك المقطع، مع ملاحظة أن عمق موضع السرعة القصوى تحت السطح الحر يزيد بنقصان عرض القناة.

الشكل (1-18) يوضح توزيع السرعات في مقاطع جريان مختلفة الشكل وذلك بدلالة خطوط تساوى السرع.

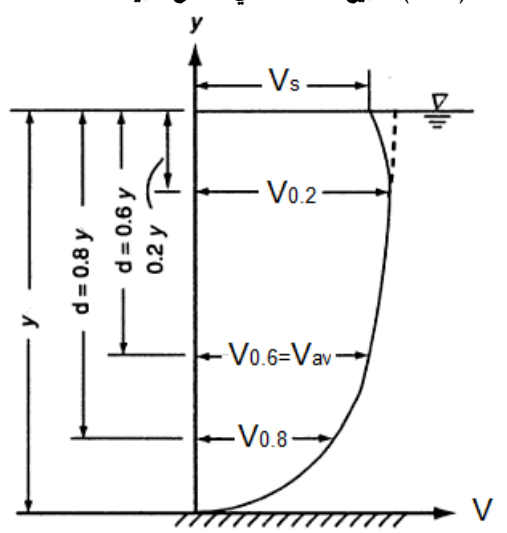
حيث نلاحظ أن السرعة تكون قليلة بالقرب من الجدران وقيمتها صفراً عنده، وتزداد هذه القيمة باقترابها نحو المركز. واستناداً لهذا فإن السرعة القصوى سوف تكون في الوسط وعلى سطح الماء، وبسبب وجود الشد السطحي فإن السرعة القصوى تتخفض إلى الأسفل كما ذكرنا بمسافة معينة تعتمد على شكل مقطع القناة يبين الشكل (1-19) منحني توزع السرعة.

وكا نرى أن منحني السرعة يتغير مع العمق ولابد من اعتماد سرعة تقريبية تعتمد على شكل مقطع القناة وخشونة جدرانه لتكون:

$$V_{\rm m} = \frac{V_{0.2} + V_{0.8}}{2} \tag{16-1}$$



الشكل (1-18) توزيع السرعات في مقاطع جريان مختلفة الشكل



الشكل (1-19) منحني توزع السرعة

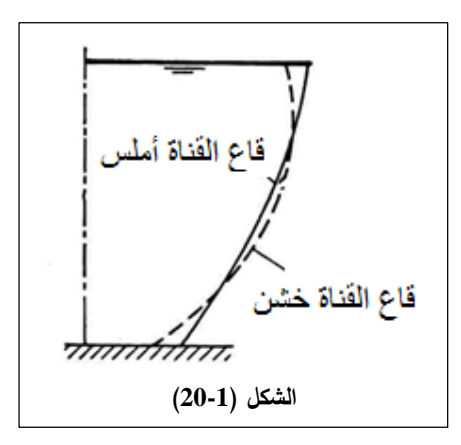
يعتمد توزيع السرعات في مقطع جريان لقناة مكشوفة على:

- 1- التغيرات الغير المنتظمة في مقطع الجريان.
  - 2- خشونة جوانب القناة وقاعها.

3- وجود منحنيات في المسقط الأفقي للقناة.

فمثلاً نجد أن زيادة خشونة قاع القناة بسبب زيادة انحناء منحني توزيع السرعة في المستوى الشاقولي كما هو موضح بالشكل (-20).

وضحت التجارب أنه في الأقنية المكشوفة المنحنية الشكل في المسقط الأفقي، يكون الجريان في منطقة الانحناء لولبياً كما يؤثر على توزيع السرعات في مقاطع الجريان، ويجب أخذ ذلك في الاعتبار عند تصميم هذه الأجزاء.



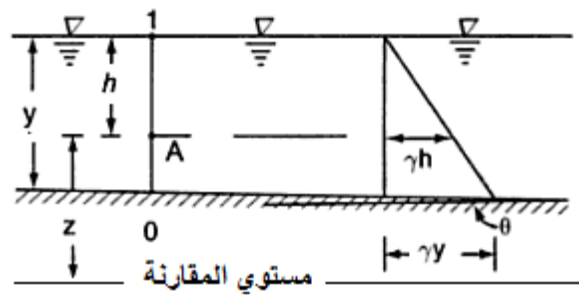
كما وضحت التجارب والملاحظات أيضاً أنه لحالة قناة مكشوفة عريضة – وتعتبر القناة عريضة إذا كان (b>10y) يكون توزيع السرعات في المنطقة الوسطى لمقطع الجريان متشابه على الخطوط الشاقولية المختلفة. على ذلك يمكن اعتبار توزيع السرعات في هذه المنطقة كما لو كانت الأقنية ذات عرض لا نهائي وينعدم فيها تأثير الجوانب على توزيع السرعة.

#### 7-1- توزيع الضغط في مقطع جربان كقناة مكشوفة:

يمكن قياس الضغط في أية نقطة من مقطع الجريان في قناة ذات ميل ضعيف بارتفاع عمود الماء في أنبوب بيزومتري مغروس في تلك النقطة الشكل (1-12) والشكل (22-1-a) بإهمال الاهتزاز الناتج عن الاضطراب من الواضح أن عمود الماء هذا يجب أن يرتفع من النقطة المعتبرة إلى الخط البيزومتري أو إلى سطح الماء وبالتالي فإن الضغط في كل نقطة من المقطع يتناسب طرداً مع عمق النقطة أسفل السطح الحر ويساوي إلى الضغط الهيدروستاتيكي الموافق لهذا العمق، بعبارة أخرى يكون توزيع الضغط في مقطع القناة كتوزيع الضغط الهيدروستاتيكي أي أنه خطي.

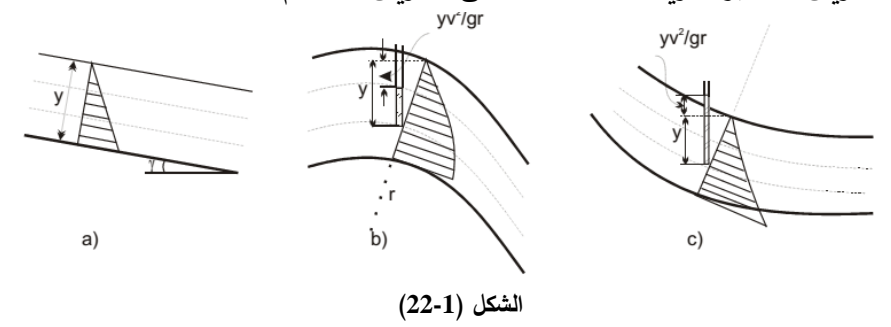
إن قانون الهيدروستاتيك لتوزيع الضغط في مقطع جريان يصلح فقط عندما تكون خطوط الجريان بدون مركبة تسارع في مستوى المقطع، يسمى هذا النوع من الجريان بالجريان المتوازي أي تكون خطوط التيار بدون انحناء ولا تباعد وبالتالي لا يوجد تسارع

محسوس عمودياً على اتجاه الجريان يمكنه تغيير التوزيع الهيدروستاتيكي للضغط في المقطع.



الشكل (21-1) توزيع الضغط في مقطع القناة المكشوفة لجريان منتظم

عملياً يكون الجريان المنتظم عادةً جرياناً متوازياً، كما أن الجريان المتغير تدريجياً يمكن اعتباره جريان متوازي لأن التغير بالعمق صغير لدرجة أن خطوط التيار لا تحوي على تباعد أو انحناء محسوس. لذلك ولاعتبارات عملية نطبق قانون التوزيع الهيدروستاتيكي على الجريان المتغير تدريجياً كما نطبقه على الجريان المنتظم.



#### a) تأثير انحناء خطوط التيار على توزيع الضغط:

إذا كانت خطوط التيار منحنية في المستوى الشاقولي يسمى الجريان في هذه الحالة بالجريان المنحني، يسبب هذا الانحناء وجود مركبة تسارع عمودية على اتجاه الجريان (قوة نابذة) وهذا بدوره يسبب اختلاف توزيع الضغط عن التوزيع الهيدروستاتيكي.

يبين الشكل (1-22) توزيع الضغوط في حالة جريان منحني إذا كان الجريان:

- 1- جریان محدب convex flow
- concave flow جریان مقعر -2

في حالة الجريان المحدب الشكل (d-1-22) تؤثر القوى النابذة للأعلى بعكس اتجاه قوى الجاذبية وعلى ذلك يقل الضغط عند أي نقطة عن ذلك المحسوب من قانون توزيع الضغوط الهيدروستاتيكية. قيمة الضغط في هذه الحالة عند نقطة تقع على عمق d تحت السطح الحر يكون مقداره

$$P = \rho h (g - \frac{V^2}{r}) = \gamma h (1 - \frac{V^2}{g r})$$
 (17-1)

حيث:

٧: سرعة الجربان.

r: نصف قطر التقوس لخط التيار عند النقطة التي يحسب عندها الضغط.

في حالة الجريان المقعر الشكل (2-1-2) تؤثر القوى النابذة للداخل أي في اتجاه قوى الجاذبية وعلى ذلك تزيد قيمة الضغط عند أي نقطة عن تلك المحسوبة من قانون توزيع الضغوط الهيدروستاتيكية. قيمة الضغط في هذه الحالة عند أي نقطة تقع على عمق h تحت السطح الحر يكون مقداره:

$$P = \rho h (g + \frac{V^2}{r}) = \gamma h (1 + \frac{V^2}{gr})$$
 (18-1)

في حالة الجريان المتغير بسرعة يكون تغير العمق سريعاً لدرجة ظهور انحناءات كبيرة في خطوط الجريان، وبالتالي فإن تطبيق القانون الهيدروستاتيكي لتوزيع الضغط لا يصح بدقة كافية من أجل الجربان المتغير بسرعة.

#### b) تأثير الميل على توزيع الضغط:

في حالة الأقنية المكشوفة ذات الميل الكبير الشكل (1-23) لو وضعت أنبوبة بيزومترية عند نقطة في مقطع الجريان (1-1) مثلاً تقع تحت السطح الحر على عمق مقداره y فإن السطح داخل هذه الأنبوبة سوف يرتفع شاقولياً فوق هذه النقطة مسافة أي أن الضغط عند هذه النقطة سوف يكون:

$$P = \gamma h \tag{19-1}$$

ولكن

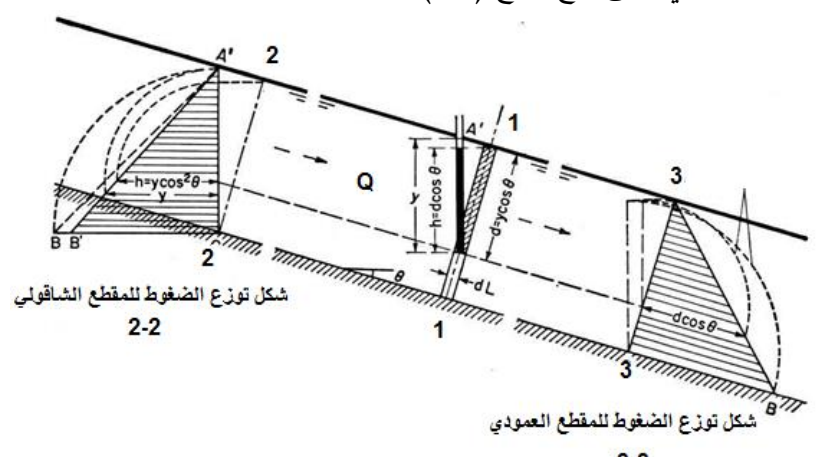
$$h = d\cos\theta \tag{20-1}$$

$$d = y \cos \theta \tag{21-1}$$

فيكون:

$$P = \gamma y \cos^2 \theta \tag{22-1}$$

وذلك لأن توزيع الضغوط في مقطع الجريان العمودي يتبع قانون التوزيع الهيدروستاتيكي للضغوط.ويوضح الشكل أيضاً توزيع الضغوط لمقطعين أحدهما شاقولي (2-2) والآخر عمودي على قاع القاع (3-3).



د-3 الشكل (23-1) تأثير الميل على توزيع الضغط

على ذلك فإنه لحساب الضغط في مقطع شاقولي يستخدم معامل تصحيح مقداره  $\cos^2 \theta$ 

تعتبر الأقنية المكشوفة ذات ميل كبير إذا كان ميل القاع أكبر من  $\frac{1}{10}$ حيث أنه إذا كان ميل القاع أصغر من هذه القيمة أي أن  $\theta < \theta$  فإنه يمكن إهمال معامل التصحيح، حيث سيكون الخطأ الناتج عن ذلك الفرض أقل من  $\theta$ 1 ويقال في هذه الحالة أن القناة ذات ميل صغير.

في دراستنا في هذا المقرر، جميع الأقنية المكشوفة التي ستقابلنا تعتبر ذات ميل صغير وعلى ذلك سوف يهمل التصحيح المذكور سابقاً.



# المصطلحات العلمية

انكليزي	عربي
В	
Basin	حوض
Bottom of Channel	أرضية القناة
Boundary Layer	الطبقة الحدية
С	
Canal, Channel	قناة
Caviation	تكهف
Clay	غضار
Continuous Flow	جريان مستمر
Contraction	رص
Control Section	مقطع التحكم
Conveyance	تدفق
Critical Depth	عمق حرج
Critical Discharge	تدفق حرج
Critical Discharge	تدفق حرج
Critical Slope	میل حرج
Current	تيار
Curvature	انحناء
Curvature	انحناء
D	
Dam	سد
Density	كثافة
Diffuser, Draft, Tube	مباعد

انكليزي		عربي
Divergence		عدابت
	E	
Efficiency		مردود
Energy Line		خط الحمولة
Energy Line		خط الحمولة
Energy Loss		ضياع حمولة
Excavation		اعمال الحفر
	F	
Filling		أعمال الردم
Flood		فيضان
Flow		جريان
Fluid		مائع
Freeboard		ارتفاع حر
Freeboard		ارتفاع حر
Friction		احتكاك
Froud's Number		رقم فرود
	G	
Gate		بوابة سكر
Gradient		بوابة سكر تدارج بحص
Gravel		بحص

انكليزي	عربي
Gravel	بحص
Gravity	ثقالة
Н	
Head	حمولة
Hydraulic grade Line	الخط البيزومتري
Hydraulic Jump	قفزة هيدروليكية
Hydraulic Radius	نصف القطر الهيدروليكي
Incompressible	غير مضغوط
K	
Kinetic Energy	طاقة حركية
L	
Laminar Flow	جريان صفحي
Level	منسوب
Lining	تكسية
Liquid	سائل
Loss of Head	ضياع حمولة
M	
Momentum	كمية حركة
N	
Normal Depth	عمق نظامي

انكليزي	عربي
O	
Orifice	فتحة
P	
Pipe	أنبوب
Potential Energy	طاقة كامنة
Power	استطاعة
Pressure	ضغط
Probe	سابرة
R	
Reservoir	خزان
Reynolds Number	خزان رقم رینولدز خشونة تصریف
Rugosity	خشونة
Run-Off	تصريف
S	
Sill	عتبة
Silt	طمي
Silt	طمي طمي حمولة نوعية
Specific Energy	حمولة نوعية

انكليزي		عربي
Specific Mass		كتلة نوعية
Specific Weight		وزن نوعي
Stability		استقرار
Steady Flow		جريان دائم
Steep Slope		میل شدید
Streamline		خط تيار
Subcritical Flow		جريان نهري (دون الحرج)
Subcritical Regime		نظام نهري
Suction-Tube		أنبوب سحب
Supercritical Flow		جريان شلالي (فوق الحرج)
Supercritical Regime		نظام شلالي
	T	
Turbulence		اضطراب
Turbulent Flow		اضطراب جریان مضطرب
	U	
Uniform		منتظم
Uniform Flow		منتظم جریان منتظم
	V	

انكليزي	عربي
Varied Flow	جريان متغير
Viscosity	لزوجة
W	
Wave Celerity	سرعة انتشار موجة
Weiket Gates	موزع
Weir	هدار
Wetted Area	مقطع مبلول
Wetted Perimeter	محيط مبلول

#### المراجع العلمية

- 1- المراجع العربية
- 1- أحمد فيصل أصفري، نوفل شماس الهيدروليك 3 ، منشورات جامعة حلب، 1989.
- 2- شريف فتحي الشافعي، المرجع الكامل في ميكانيكا الموائع ، دار الكتب العلمية للنشر والتوزيع، 2006.
  - 3- آصف شاهين ، <u>الهيدروليك 2</u>، منشورات جامعة دمشق، 1996.
- 4- غسان مخائيل ابراهيم، بسام عبد العزيز الخضر الهيدروليك 3 ، منشورات جامعة البعث، 1996.
- 5- محمد عبد الرحمن الجنايني، <u>الهيدروليكا وتطبيقاتها في الهندسة المدنية</u>، الجزء الثاني، دار الراتب الجامعية، 1986.
  - 2- المراجع الأجنبية
- 1. A. Osman Akan, **Open Channel Hydraulics**, Butterworth-Heinemann 2006.
- 2. <u>VEN TE CHOW, **OPEN-CHANNEL HYDRAULICS** by the McGraw-Hill Book Company,1959</u>
- 3. <u>Hubert Chanson, Environmental Hydraulics for Open Channel</u> Flows, Butterworth-Heinemann 2004
- 4. Roland Jeppson, Open Channel Flow: Numerical Methods and Computer Applications, published in the Taylor & Francis Library, 2011.
- 5. M. Hanif Chaudhry Open-Channel Flow, Springer Science 2008
- 6. <u>Madan Mohan Das</u>, **Open Channel Flow**, PHI Learning Private Limited, 2011
- 7. P. Balachandran Engineering Fluid Mechanics, PHI Learning Private Limited, 2011
- 1. Douglas J.F, Gasiorek J.M and Swaffield, <u>Fluid Mechanics</u> 3ed Edition Longman Scientific & Technical 1995.
- 2. Young, D. F., B. R. Munson, T. H. Okiishi, and W. W. Huebsch, A Brief, <u>Introduction to Fluid Mechanics</u>, Wiley, New York (2007).
- 3. White, F. M., <u>Fluid Mechanics</u>, 5<sup>th</sup> ed., McGraw-Hill, New York (2003).

- 4. White, F. M., <u>Viscous Fluid Flow</u>, 3<sup>rd</sup> ed., McGraw-Hill, New York (2006).
- 5. Vennard, J. K. and R. L. Street, <u>Elementary Fluid Mechanics</u>, 6<sup>th</sup> ed, John Wiley, New York (1982).
- 6. Shaughnessy, E. J., I. M. Katz, and J. P. Schaffer, <u>Introduction to Fluid Mechanics</u>, Oxford Univ. Press (2004).
- 7. Schetz, J. A. and A. E. Fuhs, <u>Fundamentals of Fluid Mechanics</u>, 3<sup>rd</sup> ed., Wiley-Interscience (1999).
- 8. <u>Yunus A. Çengel, John M. Cimbala, Fluid mechanics: fundamentals and applications</u>, McGraw-HillHigher Education, 2006.
- 9. <u>Didier Desjardins</u>, <u>Michel Combarnous</u>, <u>Nathalie Bonneton</u>

  <u>Mécanique des fluides Problèmes résolus avec rappels de cours</u>

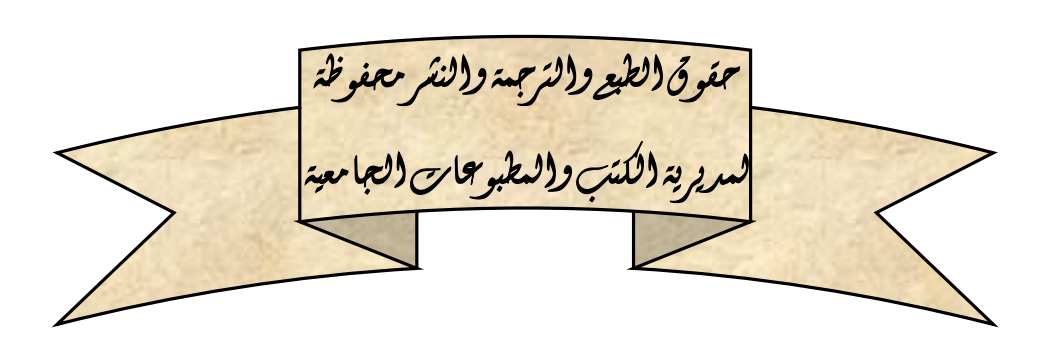
  <u>Sciences Sup</u>, Dunod
- 10. **dynamique des fluides non visqueux,** 5e édition Dunod 2002.
- 11. Jacques Bonvin, **Hydraulique urbaine I**, 2005
- 12. Bernard Massey, **Fluid Mechanics**, 8<sup>rd</sup> ed, published in the Taylor & Francis –Library, 2005.
- 13. Bernard Massey, <u>Fluid Mechanics-Solution manual</u>, 8<sup>rd</sup> ed, published in the Taylor & Francis –Library,2006.
- 14. Armando Lencastre Hydraulique générale, Eyrolles 1999
- 15. Arora K.R, <u>Fluid Mechanics Hydraulic and Hydraulic Machines</u> Standard Publishers Distributors Nai Sarak Delhi 7<sup>rd</sup> ed 1993
- 16. John A.Robenson Clayton T. Crowe, **Engineering Fluid Mechanics** 6<sup>rd</sup> ed 1997.
- 17. Cengel, Y. A. and J. M. Cimbala, <u>Fluid Mechanics</u>, McGraw-Hill, New York (2005).
  - 18. Ahmed, N., <u>Fluid Mechanics, Engineering</u> Press (1987).
- 19. Andrew Chadwick, John Morfet and Martin Borthwick, <u>Hydraulics</u> in Civil and Environmental Engineering, 4<sup>rd</sup> ed Taylor & Francis Library,2005.
- 20. Y. NAKAYAMA, <u>Introduction to Fluid Mechanics</u>, Butterworth-Heinemann 2000.
- 21. Kreith, F.; Berger, S.A.; et. al. <u>Fluid Mechanics Mechanical</u> <u>Engineering Handbook</u> Ed. Frank Kreith Boca Raton: CRC Press LLC, 1999.
- 22. Nemanja Trifunovi, <u>Introduction to Urban Water Distribution</u>, Published by:Taylor & Francis/Balkema, 2006.
- 23. <u>Jack B. Evett, Cheng Liu</u>, <u>2500 solved problems in fluid mechanics</u> <u>and hydraulics</u>, McGraw Hill Professional, 1989 <u>Science</u>
- 24. Laborde J.P. Elements D'hydraulique Generale Ecole Polytechnique De L'universite De Nice Sophia Antipolis, 2007

# تر ترقيق (الكتاب الحلمياً من قبل:

*الدكتورة* ناهد فر هو د الدكتور محمود البكور *الدكتور* نبيل شيخ قروش

تم ترقيق (الكتاب لغوياً من قبل:

*الدكتور* أحمد شيخ حسين



# الفصل الثالث الجريان الحرج Critical flow

#### 1-3 مقدمة

يعتبر الجريان متغيراً عندما تكون خطوط الجريان في قناة غير متوازية فيما بينها. وفي هذه الحالة لا يكون السطح الحر موازياً لأرضية القناة ويحدث الجريان المتغير في الأقنية ذات المقاطع العرضية المتغيرة كالمجاري الطبيعية ويكون الجريان المتغير متسارعاً إذا ازدادت السرعة ويكون متباطئاً إذا نقصت السرعة.

حيث يمكن تصنيف الجربان المتغير كمايلي:

- الجريان المتغير تدريجياً: حيث تتغير معظم القيم الهيدروليكية تدريجياً من مقطع إلى آخر.
- الجريان المتغير بشكل مفاجئ: حيث تتغير معظم القيم الهيدروليكية فجأة كالسقوط الحر للماء.

## 2-3 الحمولة الكلية في مقطع الجريان Head:

تعرف الحمولة الكلية بأنها القدرة التي يحملها الوزن الواحدي من السائل الذي يجتاز المقطع وهي تعطى حسب برنولي مقدرة بارتفاع عمود من السائل الجاري الذي يجتاز المقطع شكل (3-1) بالعلاقة

$$H = z + y + \frac{\alpha v^2}{2 g} = z + y + \frac{Q^2}{2 g A^2}$$
 (1-3)

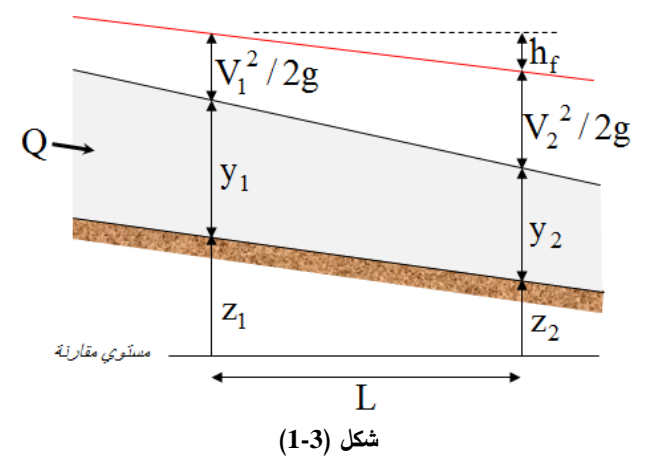
#### حىث:

z:ارتفاع قاع المقطع المعتبر عن مستوي المقارنة الأفقي وهو يوافق القدرة الكامنة.

.  $\frac{P}{\gamma}$  عمق الجريان في المقطع و هو يوافق قدرة الضغط على القاع: y

القدرة الحركية.  $\frac{\mathrm{V}^2}{2.\mathrm{g}}$ 

أمثال توزيع السرعة  $\alpha$ تكون قريبة من الواحد ونشير إلى أننا سوف نهمل  $\alpha$  في دراستنا القادمة.



#### 1-2-3 الحمولة على طول المجرى - ضياع الحمولة كالمحمولة

بتطبيق علاقة برنولي، وعندما لا يحدث ضياع في القدرة فإن خط الحمولة يكون أفقياً. إلا أنه و بسبب الاحتكاك الذي يستهلك جزءاً من القدرة، فإن خط الحمولة يكون مائلاً أي هابطاً باتجاه الجريان. ويمكننا أن نكتب باعتبار مقطعين من قناة متباعدين بعداً محدوداً لل شكل (3-1)

$$\mathbf{H}_{1} = \mathbf{z}_{1} + \mathbf{y}_{1} + \frac{\mathbf{V}_{1}^{2}}{2.g} = \mathbf{z}_{2} + \mathbf{y}_{2} + \frac{\mathbf{V}_{2}^{2}}{2.g} + \mathbf{h}_{L} = \mathbf{H}_{2} + \mathbf{h}_{L}$$
 (2-3)

حيث يمكن أن نعتبر على طول الجزء المحدود المشار إليه:

$$h_{I} = J L \tag{3-3}$$

نسمي  $J_{e}$  ميل خط الحمولة وهو بالتأكيد هابط باتجاه الجريان ويمكننا أن نكتب باعتماد علاقة شيزى:

$$\frac{h L}{L} = -J_e = -\frac{Q}{C^2 A^2 R_*}$$
 (4-3)

وباعتبار الضياع الحاصل هو ضياع بالاحتكاك

#### Specific Energy E<sub>s</sub> الحمولة النوعية 3-3

يتعلق جزئياً تغير الحمولة على طول مجرى القناة بميل القاع باتجاه الجريان (أي بتغير الحد Z في علاقة الحمولة H مع المسافة) ولإزالة الصعوبة الناتجة عن هذا التأثير ما علينا إلا اعتبار الحمولة في المقطع منسوبةً لأخفض نقطة من قاعه (أي اعتماد مستوي مقارنة الأفقى ماراً من قاع المقطع المعتبر فهو متعلق به) فيكون:

$$H - Z = y + \frac{V^2}{2g}$$
  $\Rightarrow$   $E_s = y + \frac{V^2}{2g}$  (5-3)

أي تعرف الحمولة النوعية في مقطع قناة بالقدرة في وحدة الوزن للماء الذي يجتاز المقطع مقاسةً بالنسبة لأرضية القناة شكل (2-2). حيث تبين هذه العلاقة أن الحمولة النوعية عبارة عن مجموع عمق الماء وارتفاع السرعة وبالتعويض عن  $V = \frac{Q}{A}$  في المعادلة السابقة بكون:

$$E_{s} = y + \frac{Q^{2}}{2 g A^{2}}$$

## 3-3-1 تغير الحمولة النوعية مع العمق من أجل تدفق ثابت

تبين المعادلة (3-6) أنه لمقطع معين على امتداد القناة محدد شكله الهندسي وقيمة التدفق المار فيه Q فإن الحمولة النوعية  $E_{\rm s}$  تتغير تبعاً لتغير قيمة عمق الجريان Q

:نلاحظ من دراسة العلاقة 
$$\frac{Q^2}{2 g A^2}$$
 ما يلي

1. قيم الحمولة النوعية ، E موجبة دوماً ولا معنى عملى لكون العمق y سالباً.

. إن للمنحني الممثل لتغيرات  $E_{\rm s}$  بدلالة العمق خطين مقاربين.

• عندما

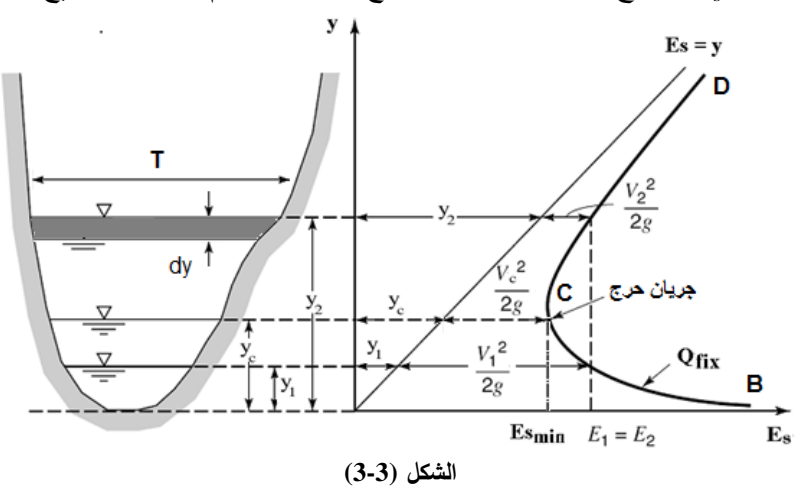
$$y \rightarrow 0 \Rightarrow A \rightarrow 0$$
  $E_s \rightarrow \frac{Q^2}{2 g A^2} = \infty$ 

 $E_s$  والخط المقارب يمثل هنا المحور الأفقى

• عندما

$$y \to \infty \Longrightarrow A \to \infty$$
  $\frac{Q^2}{2 g A^2} \to 0 \Longrightarrow E_s \to (y = \infty)$ 

والخط المقارب يمثل هنا مستقيم يميل بزاوية  $45^{\circ}$  أي ان ميله يساوي الواحد وكما يوضح الشكل (3-3) فإن المنحني له فرعين أحدهما CB يتقارب مع المحور الأفقى محور  $E_{\rm s}$  والفرع الآخر CD يتقارب مع الخط المستقيم المنصف للربع الأول



- الممكن  $E_s$  من الممكن المنحني الممثل لتغيرات  $E_s$  يبين أنه لقيمة محددة للحمولة النوعية الممكن أن يمر التدفق إما:
  - عمق صغیر y مصحوب بقدرة حرکیة کبیرة.
  - عمق كبير y<sub>2</sub> مصحوب بقدرة حركية صغيرة.

Alternate depth كل من هذين العمقين يقال أنه عمق متبادل للعمق الآخر  $E_s=f(y)$  من المعلوم في الرياضيات أنه إذا أخذ تابع مستمر لمتحول مستقل واحدة قيمة اللانهاية  $\infty$  في الشروط الحدية فإن هذا التابع لابد أن يكون له قيمة أصغرية واحدة على الأقل في مجال تغيره من الصفر الى اللانهاية.

عند نقطة C تكون قيمة الحمولة النوعية أقل ما يمكن  $E_{smin}$  وتكون قيمة العمقين المتبادلين متساوية  $y_1=y_2$  وتساوي قيمة واحدة تسمى العمق الحرج  $y_1=y_2$  ويمكن إيجاد الشروط لتعيين العمق الحرج  $y_1=y_2$  باشتقاق المعادلة (3-6) تبعاً لـ  $y_2$  حيث  $y_3$  ثابتة فينتج:

$$E_{s} = y + \frac{Q^{2}}{2 g A^{2}}$$

$$\frac{dE_{s}}{dy} = 0 \qquad \Rightarrow \qquad 1 - \frac{(-2)Q^{2}}{2 g A^{3}} (\frac{dA}{dy}) = 0$$
(7-3)

بجوار السطح الحر يكون لدينا  $\frac{dA}{dy} = T$  أي أن  $\frac{dA}{dy} = T$  وبالتالي فإن النهاية الصغري لـ  $\frac{E_s}{dy}$  تتحقق من أجل

$$\frac{Q^2 T}{g A^3} = 1$$
 أو  $\frac{Q^2}{g} = \frac{A^3}{T}$  (8-3)

وبدراسة معمقة نتوصل للنتائج التالية:

3) العمق الموافق للنهاية الصغري E من أجل تدفق معين هو العمق الحرج حيث:

$$\frac{Q^2 T}{g A^3} = \frac{Q^2 / A^2}{g A / T} = \frac{V^2}{g y_m} = F_r^2 = 1$$

$$\frac{dE_s}{dy} = 0 \qquad \Leftrightarrow \qquad \frac{Q^2 T}{g.A^3} = 1 \qquad \Leftrightarrow \qquad y = y_C \tag{9-3}$$

 $\mathbf{y}_1 = \mathbf{y}_2 = \mathbf{y}_{\mathrm{C}}$ 

2) من أجل حمولة نوعية  $E_s > E_{s_{max}}$  يتم الجريان من أجل تدفق معطى Q بعمقين:

(شلالي) عمق صغير مقرون بقدرة حركية كبيرة ويكون الجريان هنا فوق حرج (شلالي)  $y_{\rm l} < y_{\rm c}$ 

(نهري) عمق کبير مقرون بقدرة حرکية صغيرة، ويکون الجريان هنا دون الحرج (نهري) عمق کبير  $y_2 > y_C$ 

(3) للمنحني  $E_s = f(y)$  فرعان لانهائيان تفصلهما النقطة  $E_s = f(y)$ 

المنحنى الأول كما أسلفنا المقارب لمحور  $E_{\rm s}$  يدعى الفرع الشلالي ويكون عندئذ:

$$y < y_C$$
  $\Leftrightarrow$   $-\infty < \frac{dE}{dy} < 0$ 

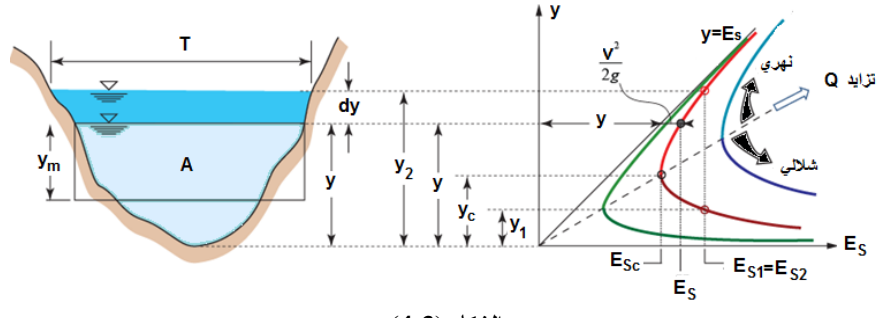
والآخر وهو المقارب لمنصف زاوية المحورين الداخلية ويدعى الفرع النهري ويكون عندئذ

$$y > y_c$$
  $\Leftrightarrow$   $0 < \frac{dE}{dy} < 1$ 

بينما في النقطة C ينطبق العمقان  $y_1,y_2$  مع العمق الحرج

لا يمكن للجريان أن ينتقل من الحالة النهرية إلى الحالة الشلالية أو بالعكس دون المرور بالحالة الحرجة.

4) لا يتغير الشكل(3-4) العام للمنحني الممثل من أجل أية قيمة للتدفق (المعتبر ثابتاً) حيث تزداد تراتيب المنحنى الممثل لـ $E_s=f(y)$  بازدياد التدفق والعكس صحيح.



الشكل (4-3)

يكون الخط الواصل بين ذرى المنحنيات الحاصلة من اجل مختلف قيم Q يمثل الحالة الحرجة وهو متزايد حتماً إذ يزداد بآن معاً العمق الحرج والحمولة النوعية الأصغرية عندما يزداد التدفق

5) العلاقات المستنتجة أعلاه لحالة الجربان الحرج تنطبق فقط إذا كان:

- الجريان متوازي أو متدرج التغير
  - ميل قاع القناة ضعيف نسبياً
- أمثال توزيع السرعة يساوي الواحد

$$F_{r} = \frac{V}{\sqrt{g \; y_{m}}}$$
 حيث اعتبرنا في الدراسة السابقة على أن عدد فرود

 $\cos\theta \approx 1$ وإن هذا الأمر لا يصلح من أجل الأقنية ذات الميل الضعيف حيث  $\alpha$  وبإهمال أمثال عدم انتظام توزيع السرع  $\alpha$  .

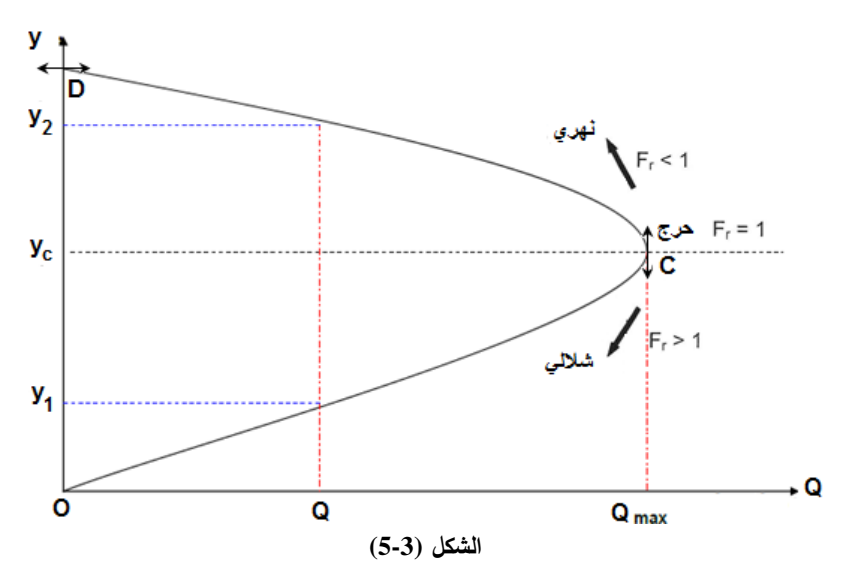
$$F_{r}=rac{V}{\sqrt{g\;y_{m}\;rac{\cos heta}{lpha}}}$$
 : فإذا أردنا إدخال هذين العاملين في الاعتبار فإن

# 3-3-3 تغير التدفق تبعاً للعمق من أجل حمولة نوعية ثابتة

من علاقة الحمولة النوعية  $\frac{Q^2}{2.g.A^2}$  يمكن استنتاج تغير التدفق بالنسبة لعمق الماء من أجل حمولة نوعية ثابتة

$$Q = A \sqrt{2 g (E_s - y)}$$
 (10-3)

ينعدم التدفق من أجل  $E_s=y$  ومن أجل y=0 أي A=0 ويأخذ التدفق قيماً حقيقية موجبة حتماً بشرط أن تبقى  $0 \le y \le E_s$  الشكل (3-5).



Q = f(y)لندرس تحولات التابع

• عندما

$$y \rightarrow 0 \Rightarrow A \rightarrow 0 \Rightarrow Q \rightarrow 0$$

• عندما

$$y = E_s \implies A \neq 0$$

Q=0: ولكن

 $\frac{dQ}{dy} = 0$  عند عظمى عند وما بين هاتين القيمتين الحديثين يمر التدفق حتماً بقيمة عظمى عند وبالاشتقاق نجد:

$$2(E_s - 1) = \frac{A}{T} = y_m$$

وبالاختصار:

$$\frac{Q^2 T}{g A3} = 1 \tag{11-3}$$

وهي نفس العلاقة (8-3) أي أن التدفق الأعظمي من أجل حمولة نوعية معينة  $y_{\rm C}$  يحصل أيضاً من أجل العمق الحرج

ويمثل الشكل (3-5) المنحني العام للعلاقة  $\,{\bf Q}={\bf f}({\bf y})$  وبدراسة معمقة لهذا المنحني نجد:

1) من دراسة تحولات المشتق

$$\frac{dQ}{dy} = \frac{2(E_s - y)T - A}{2\sqrt{2g(E_s - y)}}$$

نجد:

عندما

$$y \to 0$$
  $\Rightarrow$   $\frac{2 E_s T}{\sqrt{2 g E_s}} > 0$ 

والمماس في المبدأ يصنع زاوية حادة مع كل من محوري الاحداثيات كما في الشكل (6-3)

عندما

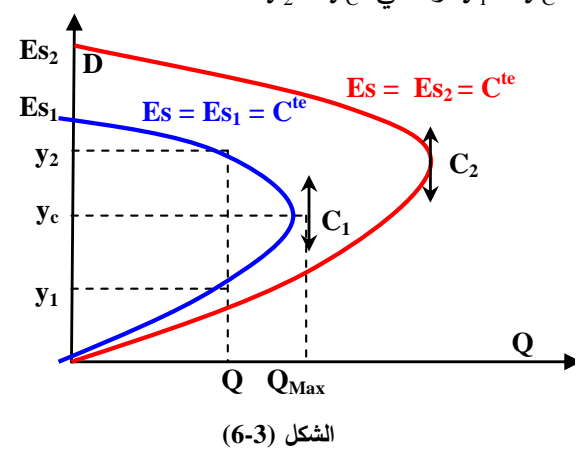
$$y \to E_s \qquad \Rightarrow \qquad \frac{dQ}{dy} \to \infty$$

والمماس  $T_{\rm D}$  في D يوازي محور التدفقات و إن الميل ينتهي إلى اللانهاية بقيم متناقصة

من الواضح أن المماس  $T_{
m C}$  في C يوازي محور التراتيب أو الأعماق ullet

$$\frac{dQ}{dy} \rightarrow 0$$

وتدفق معلوم  $Q < Q_{max}$  فإن الجريان يمكن أن يأخذ  $Q < Q_{max}$  عمقين: الأول  $y_1 < y_C$  والثاني  $y_2 > y_C$  والثاني والثاني عمقين: الأول



وللمنحنى الممثل فرعان تفصلهما C الممثلة للحالة الحرجة.

الفرع الأول مرتبط بالمبدأ ويوافق الجريان الشلالي والفرع الثاني وهو المتعلق بالنقطة  $\mathbf{D}$ 

1- لا يتغير الشكل العام للمنحني الممثل Q = f(y) من أجل قيمة معينة لـ  $E_s$  تزداد تراتيب المنحنى بازدياد قيمة  $E_s$  ويتناقص بنقصانها

هنا أيضاً نلاحظ أن الخط الذي يصل ذرى المنحنيات الممثلة من أجل قيم مختلفة ل $\rm E_s$  هو متزايد حتماً مع العمق إذ تتزايد معاً قيمتا العمق الحرج والتدفق الأعظمي الموافق بازدياد القدرة النوعية ( المعتبرة ثابتة في كل مرة على حدة).

## 3-4 الجريان المنتظم الحرج

من الممكن أن يحدث الجريان عند مقطع جريان معين يسمى بالمقطع الحرج ومن الممكن أيضاً أن يكون الجريان المنتظم بحيث ان العمق على طول الجريان يساوي العمق الحرج وفي هذه الحالة يسمى الجربان جرباناً منتظماً حرجاً

### 1-4-3 الميل الحرج

لقناة عرف مقطعها الهندسي وكذلك قيمة التدفق المار فيها فإن العمق النظامي يمكن حسابه من قانون شيزي  $Q=CA\sqrt{R_h\ J}$  ولكي يكون الجريان حرجاً يجب أن يتحقق الشرط:

$$\frac{Q^2 T}{g A^3} = 1$$

والسؤال الذي يفرض الآن: ما هو الميل الذي يجب أن يعطى لقناة يجري فيها تدفق Q لكي يكون العمق النظامي حرجاً. و الجواب ينتج مباشرةً من دمج العلاقتين السابقتين أي:

$$Q^2 = C^2 A_C^2 R_h^2 J_C = \frac{g A_C^3}{T_C}$$

ومنه:

$$J_{C} = \frac{g A_{C}}{C^{2} R_{h_{C}} T_{C}} = \frac{g (y_{m})_{C}}{C^{2} R_{h_{C}}}$$

وباعتماد مانینغ وبتعویض قیمهٔ  $C = \frac{1}{n} R_h^{1/6}$  نجد:

$$J_{C} = \frac{n g (y_{m})_{C}}{R_{h}^{4/3}}$$
 (12-3)

وهي الميل الحرج الموافق للعمق المنتظم الحرج.

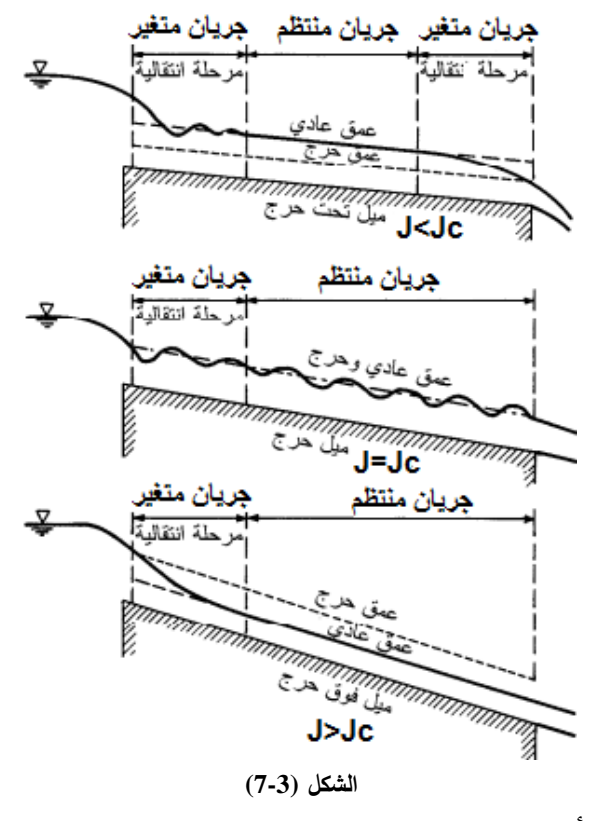
حيث:

هي قيم مساحة مقطع الجريان و نصف القطر الهيدروليكي والتي يمكن الحصول  $\mathbf{y}=\mathbf{y}_{\mathrm{C}}$  عليها بالتعويض  $\mathbf{y}=\mathbf{y}_{\mathrm{C}}$ 

ا: قيمة الميل الحرج.  $J_c$ 

وهنا يمكن أن نستنتج الشكل (3-7):

- إذا كان ميل قاع القناة ضعيفاً  $J_C < J_C$  فإن العمق يزيد عن العمق الحرج  $y > y_C$  أي يكون الجريان بطيئاً أو تحت الحرج ويسمى الميل في هذه الحالة بالميل بسيط الانحدار أو الميل تحت الحرج.
- إذا زاد ميل قاع القناة عن قيمة الميل الحرج  $J>J_c$  فإن العمق يقل عن العمق الحرج ويأ ويكون الجريان سريعاً أو فوق الحرج ويسمى الميل في هذه الحالة بالميل شديد الانحدار أو الميل فوق الحرج.
- يتميز الجريان المنتظم عندما يكون حرجاً أو قريباً من الحالة الحرجة بحالة من عدم الثبات ووجود تموجات على سطحه.



إن حدوث أي تغيرات في الحمولة النوعية للجريان ناجمة عن تغيرات في خشونة القناة أو في شكل مقطعها أو في ميلها أو نتيجة إطماء أو نحر مثلا تسبب تغيرات في عمق الجريان كما يوضح المنحني(3-5) ذلك.

عند تصميم قناة لحالة جريان منتظم يجب عمل مقارنة بين عمق الجريان وبين العمق الحرج، فإذا كان عمق الجريان النظامي يساوي أو قريباً من العمق الحرج وجب تغيير شكل مقطع القناة أو الميل الطولي للقناة وذلك حتى نضمن ثبات الجريان.

#### 3-5 حساب العمق الحرج:

عرفنا سابقاً أن العمق الحرج هو العمق المقابل للحد الأدنى من الحمولة النوعية واستناداً إلى هذا التعريف وفي حال وجود مقطع عرضي محدد ويمر به تدفق معين نستطيع أن نجرى العمليات التالية لإيجاد العمق الحرج:

• نوجد العلاقة الرياضية التي تحدد التابع  $E_s$  بدلالة y وبحيث أن يكون معبراً عن y بشكل مباشر في العلاقة لكي تسهل عملية الاشتقاق.

• نجري عملية الاشتقاق ونساوي الناتج للصفر، والعمق الذي نحصل عليه في هذه الحالة هو العمق الحرج.

سوف نحسب الآن العمق الحرج وذلك بالاعتماد على الاسس الواردة أعلاه لعدد من المقاطع ذات الأشكال الهندسية المحددة.

## 3-1-5 قناة ذات مقطع مستطيل

وتكون  $\mathbf{q} = \frac{\mathbf{Q}}{\mathbf{b}}$  وتكون في حالة قناة ذات مقطع مستطيل نحسب التدفق لوحدة العرض

الحمولة النوعية 
$$A=b$$
 y و  $Q=b$  q فيكون:  $E_S=y+\frac{Q^2}{2~g~A^2}$  فيكون:

$$E_{s} = y + \frac{b^{2} q^{2}}{2 g b^{2} y^{2}} = y + \frac{q^{2}}{2 g y^{2}}$$
 (13-3)

$$\frac{dE_S}{dy} = 0$$
  $\Rightarrow 1 - \frac{2q^2}{2gy_C^3} = 0$  وباشتقاق العلاقة بالنسبة لـ  $y$  يكون:

أى:

$$q^2 = g y_C^3 \implies y_C = \sqrt[3]{\frac{q^2}{g}}$$
 (14-3)

بتعويض قيمة  $y_{\rm C}$  في العلاقة (3-13) نجد

$$E_{S_{min}} = y_{C} + \frac{q^{2}}{2 g y_{C}^{2}} = y_{C} + \frac{g y_{C}^{2}}{2 g y_{C}^{2}}$$

$$E_{S_{min}} = y_{C} + \frac{y_{C}}{2} = \frac{3}{2} y_{C}$$
(15-3)

ويمكن الحصول على العمق الحرج من العلاقة

$$\frac{Q^2 T}{g A^3} = 1$$

$$\frac{q^2 b^2 T}{g b^3 y_C^3} = 1$$

$$b = T$$

$$y_C = \sqrt[3]{\frac{q^2}{g}}$$

$$\frac{q^2}{g y_C^3} = 1$$

$$\frac{q^2 b^2 T}{g b^3 y_C^3} = 1$$

$$\frac{q^2 b^2 T}{g b^3 y_C^3} = 1$$

$$V = \frac{q}{v} \qquad \frac{V^2}{g \cdot v_C} = 1 \qquad \Rightarrow \qquad \frac{V^2}{2 \cdot g} = \frac{y_C}{2}$$
 (16-3)

 $y=y_{C}$  أي إن الحمولة الحركية في حالة المقطع المستطيل وفي الحالة الحرجة تساوى نصف العمق الحرج.

وإذا اعتمدنا قانون تغير التدفق مع العمق من أجل حمولة نوعية ثابتة يكون:

$$\begin{split} Q &= A \, \sqrt{2 \, g \, (E_S - y)} \\ b \, q &= b \, y \sqrt{2 \, g \, (E_S - y)} \\ q^2 &= 2 \, g \, (E_S - y) \, y^2 \\ q &= \sqrt{2 \, g \, (E_S - y) \, y^2} \\ \frac{dq}{dy} &= \frac{d \, \left[ \sqrt{2 \, g \, (E_S - y) \, y^2} \, \right]}{dy} = 0 \end{split}$$

يكون:

$$2 E_{S_{min}} y_{C} - 3 y_{C}^{2} = 0$$

$$E_{S_{min}} = \frac{3}{2} y_{C}$$

$$y_{C} = \frac{2}{3} E_{S_{min}}$$
(17-3)

## 2-5-3 مقطع مثلثي

$$rac{Q^2}{g} = rac{A_{C}^3}{T_{C}}$$
 بالاعتماد على العلاقة:

$$A = m y_c^2$$
  $T = 2 m y_C$ 

وبالتعويض نجد:

$$y_{\rm C} = \sqrt[5]{\frac{2\,{\rm Q}^2}{{\rm g}\,{\rm m}^2}} \tag{18-3}$$

والحمولة النوعية الأصغرية

$$E_{S_{min}} = y_{C} + \frac{V_{C}^{2}}{2g} = y_{C} + \frac{Q^{2}}{2g A_{C}^{2}} = y_{C} + \frac{m^{2} y_{C}^{5}}{4m^{2} y_{C}^{4}}$$

$$E_{C} = \frac{5}{4} y_{C}$$
(19-3)

## 3-5-3 مقطع شبه منحرف

$$A=(b+m\ y_{_{\rm C}})y_{_{\rm C}}$$
 
$$T=b+2m\ y_{_{\rm C}}$$
 وبالتعويض في العلاقة 1  $\frac{Q^2}{g}\frac{T}{A^3}=1$  نجد:

$$\frac{Q^2 (b+2 m y_C)}{g [(b+2 y_C) y_C]^3} = 1$$
 (20-3)

وتحل هذه المعادلة بالتجريب ومن ثم نحسب بتعويض قيمة  $y_{\rm C}$  في معادلة الحمولة النوعية

$$E_{s} = y + \frac{Q^{2}}{2 g b^{2} y^{2}}$$
 (21-3)

يبين الجدول (3-1) عوامل الجريان الحرج لمقاطع هندسية مختلفة. الجدول (3-1)

	` ′			
	السلام المرابع المراب	T T - X	لا تراکی کی استان کرد استان کی استان کی استان کی استان کی استان کی استان کی استان کرد استان کی استان کی استان کی استان کی استان کی استان کی استان کرد استان کی استان کی استان کی استان کی استان کی استان کی استان کرد استان کی استان کی استان کی استان کی استان کی استان کی استان کرد استان کی استان کی استان کی استان کی استان کی استان کی استان کرد استان کی استان کی استان کی استان کی استان کی استان کی استان کرد استان کی استان کی استان کی استان کی استان کی استان کی استان کرد استان کی استان کی استان کی استان کی استان کی استان کی استان کرد استان کی استان کی استان کی استان کی استان کی استان کی استان کرد استان کی استان کی استان کی استان کی استان کی استان کی استان کرد استان کی استان کی استان کی استان کی استان کی استان کی استان کرد استان کی استان کی استان کی استان کی استان کی استان کی استان کرد استان کی استان کی استان کی استان کی استان کی استان کی استان کرد استان کرد. استان کی استان کرد استان کرد استان کرد استان کرد استان کی استان کی استان کرد استان کی استان کرد استان کرد. استان کرد استان کرد. استان کرد	الشكل الهندسي
$\frac{Q^2}{g} = \frac{A^3}{T} = \frac{1}{512} \frac{\left(\theta - \sin\theta\right)^3}{\sin\frac{\theta}{2}} D^5$	$\frac{Q^{2}}{g} = \frac{A^{3}}{T} = \frac{(b + my_{c})^{3}y_{c}^{3}}{(b + 2my)}$	$y_c = \sqrt[5]{\frac{2Q^2}{g m^2}}$	$y_c = \sqrt[3]{\frac{q^2}{g}}$	العمق المرج
$E_{sc} = \frac{d}{2} \left( 1 - \cos \frac{\theta}{2} \right) + \frac{D}{16} \frac{\left( 2 \ \alpha - \sin \ \theta \right)}{\sin \frac{\theta}{2}}$	$E_{sc} = \frac{(3b + 5 \text{ m y}_c) y_c}{2(b + 2 \text{ m y}_c)}$	$\mathrm{E_{sc}}=rac{5}{4}\mathrm{y_c}$	$\mathrm{E_{sc}}=rac{3}{2}\mathrm{y_c}$	الحمولة النوعية الأصغرية

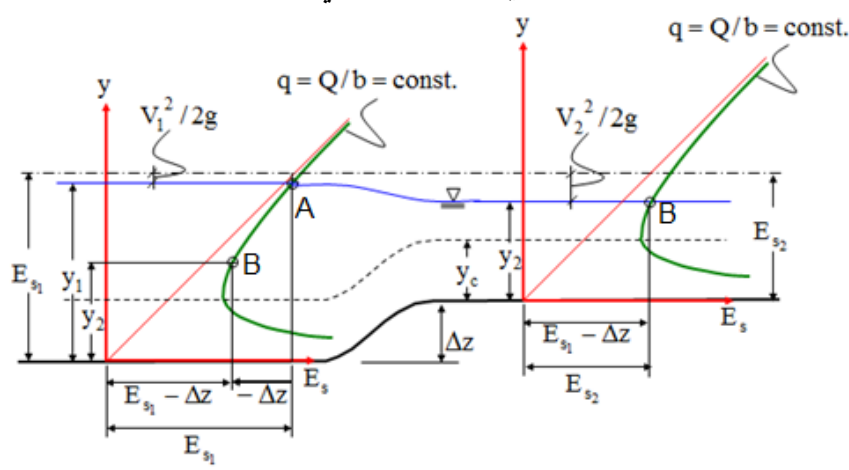
#### 6-3 المناطق الانتقالية

يشكل منحنى الحمولة النوعية أداة مفيدة للغاية لتحليل حالات تدفق مختلفة في هذه الفقرة سوف نتعلم كيف نستخدم منحنى الحمولة لتحليل أوضاع مختلفة لتدفق مع وجود عتبة (موجبة - سالبة)، وتدفق من خلال تضايق أو توسع في القناة.

يمكن بشكل عام تصنيف المناطق الانتقالية في الأقنية المكشوفة بتلك التي يحدث عندها تغير في شروط الجربان من:

## 3-6-1 مستوى تحت الحرج (بطئ) إلى مستوى آخر تحت الحرج(بطئ).

لنفرض أننا نريد تغيير شروط الجريان البطيء، الممثل بالنقطة A في قناة ذات مقطع مستطيل إلى شروط أخرى لجريان بطئ ممثل في النقطة B الشكل (3-8).



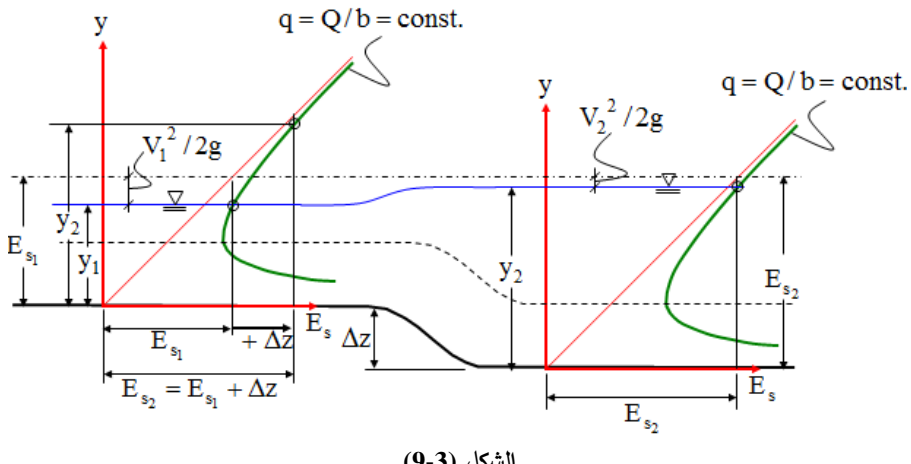
الشكل (8-3)

يبقى عرض القناة ثابت q=cte حين الانتقال من A إلى B بينما يرفع القاع يبقى عرض التذكير بأن  $E_s$  تقاس دوماً بالنسبة لقاع القناة).

يعوض ضياع الحمولة النوعية  $\Delta E_{\rm s}$  بكسب في الحمولة الكامنة  $\Delta Z$  بحيث تبقى الحمولة الكلية  $H=E_{\rm S2}+\Delta Z$  ثابتة.

$$E_{s_1} - \Delta z = y_1 + \frac{V_1^2}{2g} - \Delta z = y_2 + \frac{V_2^2}{2g} = E_{s_2}$$

في حال انخفاض القاع بالمقدار  $\Delta E_{\rm S}$  يرتفع منسوب السطح الحر الشكل (3-9).

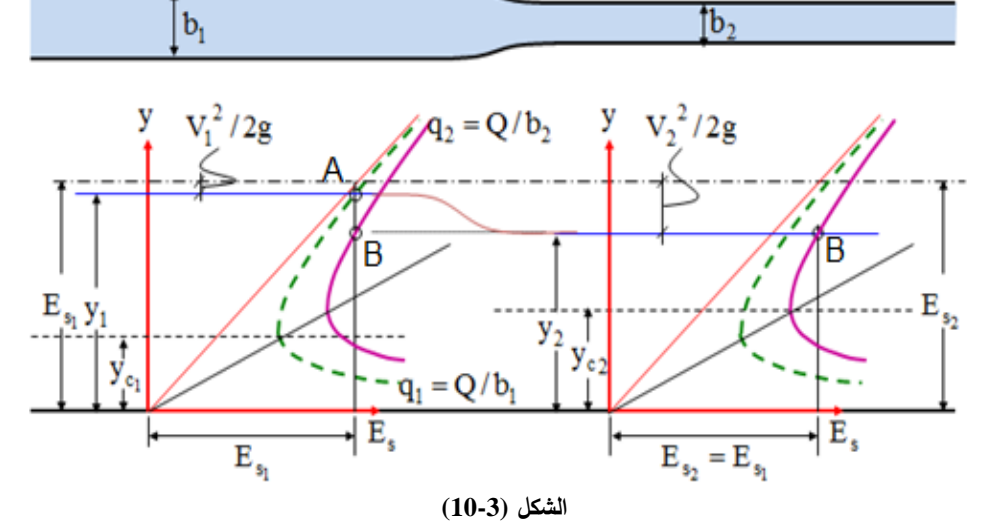


الشكل (9-3)

وتصبح المعادلة:

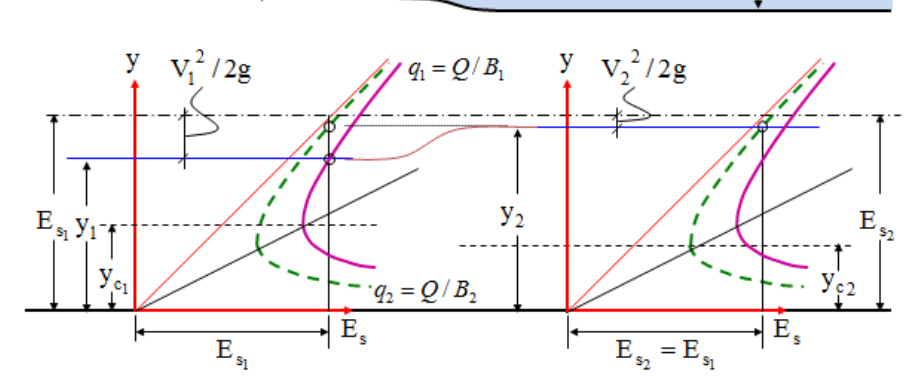
$$E_{s_1} + \Delta z = y_1 + \frac{V_1^2}{2g} + \Delta z = y_2 + \frac{V_2^2}{2g} = E_{s_2}$$
 (22-3)

أو يتضايق عرض القناة ليتم الانتقال من (A) إلى B حتى الوصول إلى قيمة التدفق الواحدي الجديدة  $q_2$  الشكل (3-10).



 $E_{s_1} = y_1 + \frac{V_1^2}{2\sigma} = y_2 + \frac{V_2^2}{2\sigma} = E_{s_2}$ (23-3)

أو في حال توسع في المقطع الشكل (3-11)



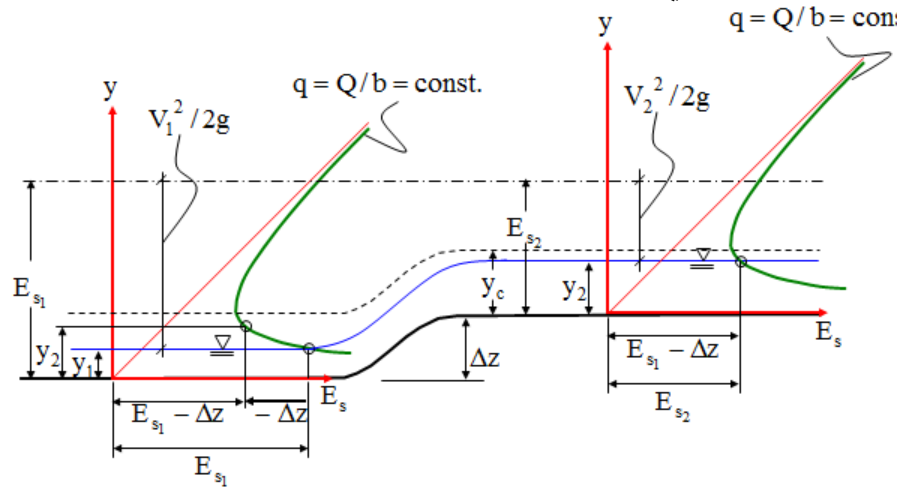
الشكل (11-3)

إن عمليات تحويل الجريان من (B) إلى (A) هي قابلة للعكس.

### 3-6-2 الانتقال من جريان فوق الحرج إلى جريان فوق الحرج.

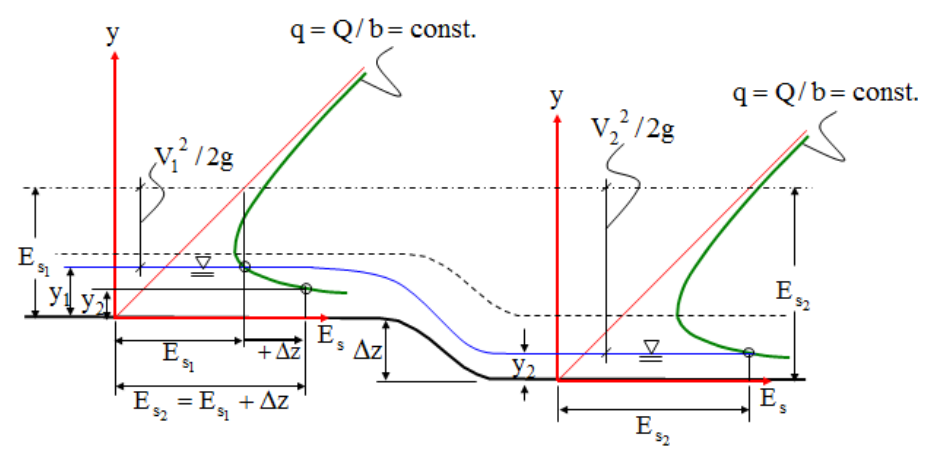
 $b_2$ 

تشبه مناقشة هذه الحالة تلك التي أوردت أعلاه في حالة انتقال الجريان من تحت الحرج إلى تحت الحرج. ويكمن الفرق الأساسي بين الحالتين في أنه بينما يسبب رفع قاع القناة و تقليص عرضها انخفاضاً في السطح الحر في الحالة السابقة فإنهما يسببان رفعاً في السطح الحر للماء في هذه الحالة الاشكال من (3-12) الى (3-15).  $y \qquad q = Q/b = const.$ 



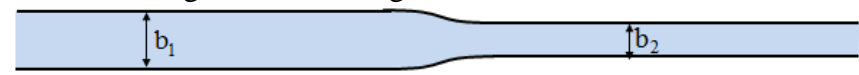
الشكل (12-3)

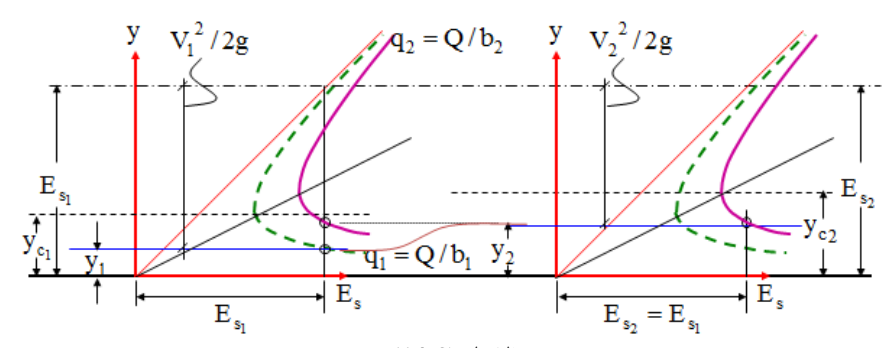
$$E_{s_1} - \Delta z = y_1 + \frac{V_1^2}{2g} - \Delta z = y_2 + \frac{V_2^2}{2g} = E_{s_2}$$
 (24-3)



الشكل (13-3)

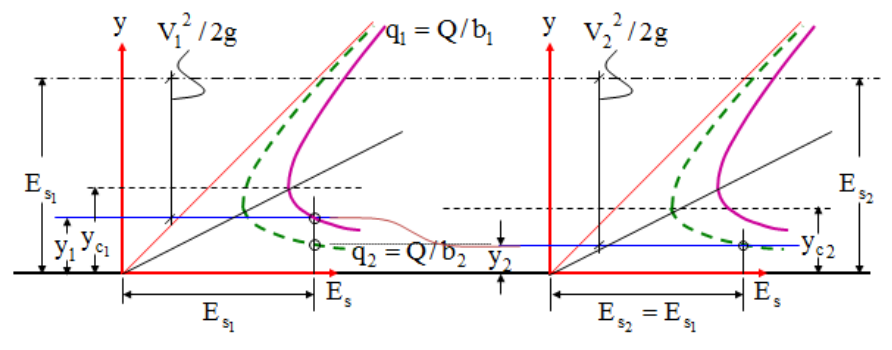
$$E_{s_1} + \Delta z = y_1 + \frac{V_1^2}{2g} + \Delta z = y_2 + \frac{V_2^2}{2g} = E_{s_2}$$
 (25-3)





الشكل (14-3)





الشكل (15-3)

$$E_{s_1} = y_1 + \frac{V_1^2}{2g} = h_2 + \frac{V_2^2}{2g} = E_{s_2}$$
 (26-3)

#### 3-6-3 الانتقال من جريان تحت الحرج إلى فوق الحرج:

عند الانتقال من الشروط تحت الحرجة إلى الشروط فوق الحرجة فإن الجريان يجب أن يمر بمقطع تحكم، وهو المنطقة التي تتحقق عندها شروط الجربان الحرج.

هنالك طريقتان من الطرق الممكنة التي يتم بها نقل الجريان وهي برفع أرضية القناة بمقدار  $\Delta z$  أو بتقليص عرضها.

تشكل الطريقة الاولى حالة هدار والثانية حالة قناة فنتوري.

إن توليد الجريان فوق الحرج و الحفاظ عليه أسفل التيار بالنسبة لمقطع التحكم يعتمدان على توفر الشروط الملائمة هنالك، فإذا كان انحدار القناة أسفل التيار شديداً بشكل كاف فإن الجريان يستمر سريعاً، وإلا فإنه يعود ثانية إلى جريان تحت الحرج عبر قفزة مائية.

## 3-6-4 الانتقال من جريان فوق الحرج إلى تحت الحرج:

كما في الحالة السابقة يستلزم الانتقال من جريان فوق الحرج إلى آخر تحت الحرج المرور بمرحلة حرجة. إلا أن هذه الحالة الأخيرة تتضمن توسعاً في الجريان مما ينتج عنه دوامات وبالتالي ضياع في الحمولة. أي تتولد ظاهرة القفزة المائية.

# مسائل الفصل الثالث

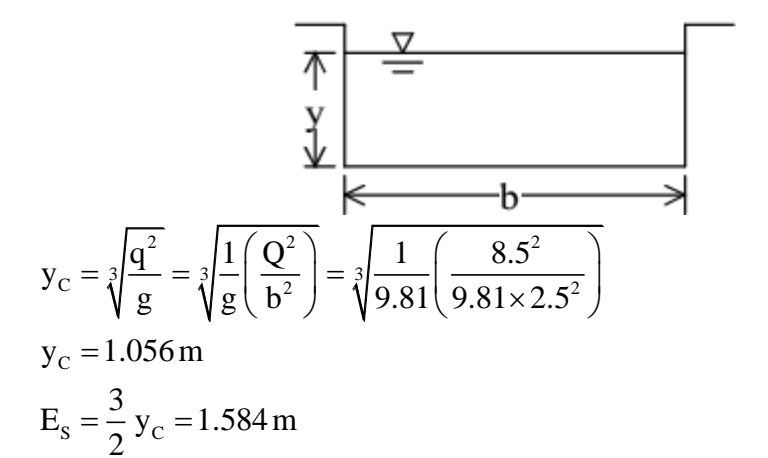
#### تطبيق (1-3):

الموافق لحمولة نوعية  $E_s$  من أجل تدفق ثابت  $y_C$  الموافق لحمولة نوعية  $Q=8.5~{\rm m}^3/{\rm sec}$ 

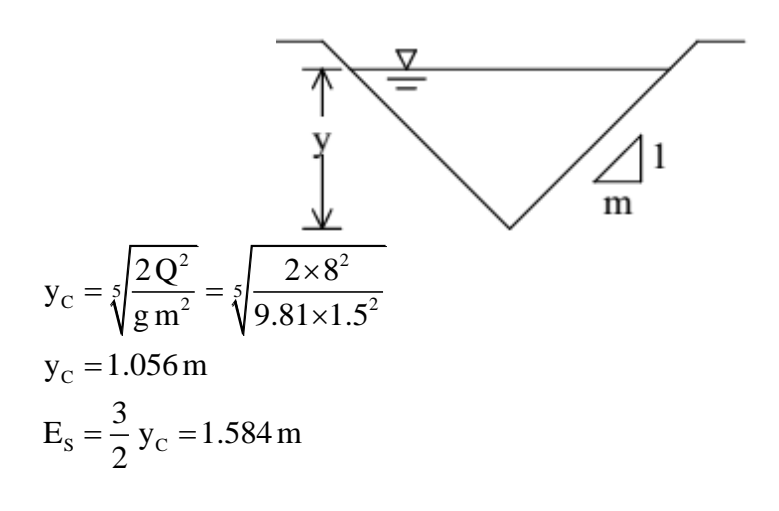
- $b = 2.5 \, \mathrm{m}$  قناة ذات مقطع مستطيل (1
  - m=1.5 قناة ذات مقطع مثلثي (2
- $b = 2.5 \, \text{m}$  m = 1.5 قناة ذات مقطع شبه منحرف (3

#### الحل

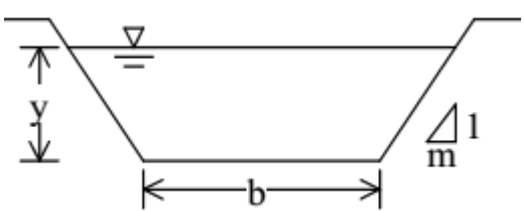
### حالة قناة مستطيلة:



حالة قناة مثلثية:



حالة قناة شبه منحرفة:



من أجل القناة الشبه منحرفة لا يوجد حل مباشر لإيجاد العمق الحرج فيتم الأمر بالتقريب المتتالى وانطلاقاً من العلاقة العامة:

$$\frac{Q^2 T}{g A^3} = 1$$

$$T = b + 2 m y_C = 2.5 + 3 y_C$$

$$A = (b + m y_C) y_C = (2.5 + 1.5 y_C) y_C = 2.5 y_2 + 1.5 y_C^2$$

بالتعويض بالعلاقة

$$\begin{split} &\frac{(8.5)^2 \times (2.5 + 3\,y_C)}{9.81 \times (2.5\,y_C + 1.5\,y_C^2)^3} = 1 \\ &y_C = 0.96\,m \\ &E_S = 0.96 + \frac{Q^2/A^2}{2g} = 0.96 + \frac{(8.5 \times 8.85)/[(2.5 + 1.5 \times 0.96) \times 0.96]}{2 \times 9.81} \\ &E_S = 0.96 + 0.257 \end{split}$$

#### تطبيق (2-3):

أثبت أن العمق الحرج في قناة ذات مقطع مستطيل يحقق العلاقة  $y_1,y_2 \, = \left(\frac{2\,y_1^2\,y_2^2}{y_1+y_2}\right)^{\!\!1/3}$ 

الحل

من أجل العمقين المتبادلين يكون:

$$\begin{split} E_{S_1} &= E_{S_2} \\ y_1 + \frac{V_1^2}{2g} &= y_2 + \frac{V_2^2}{2g} \end{split}$$

 $E_{\rm S} = 1.217 \, \rm m$ 

$$\begin{split} y_1 + & \frac{1}{2g} (\frac{Q^2}{b^2}) \frac{1}{y_1^2} = y_2 + \frac{1}{2g} (\frac{Q^2}{b^2}) \frac{1}{y_2^2} \\ y_1 + & \frac{1}{2g} (\frac{q^2}{b^2}) \frac{1}{y_1^2} = y_2 + \frac{1}{2g} (\frac{q^2}{b^2}) \frac{1}{y_2^2} \\ y_1 + & \frac{y_C^3}{2y_1^2} = y_2 + \frac{1}{2g} (\frac{q^2}{b^2}) \frac{1}{y_2^2} \end{split}$$

وباعتبار أن:  $y_{c}^{3} = \frac{q^{2}}{g}$  ويضرب الطرفين بـ  $y_{c}^{3} = \frac{q^{2}}{g}$  نجد:

$$2 y_1^3 y_2^2 + y_2^2 y_C^3 = 2 y_1^2 y_2^3 + y_1^2 y_C^3$$

$$y_2^2 y_C^3 - y_1^2 y_C^3 = 2 y_1^2 y_2^3 - 2 y_1^3 y_2^2$$

$$y_C^3 (y_2^2 - y_1^2) = 2 y_1^2 y_2^2 (y_2 - y_1)$$

$$y_C = \left(\frac{2 y_1^2 y_2^2}{y_1 + y_2}\right)^{1/3}$$

#### تطبيق (3-3):

 $b=6.25\,\mathrm{m}$  بعرض  $Q=25\,\mathrm{m}^3/\sec$  وناة ذات مقطع مستطيل تمرر تدفق مقداره y=2m وارتفاع الماء y=2m يتضايق المقطع ليصبح العرض y=2m

1) أوجد ارتفاع الماء في منطقة التضايق.

2) أوجد عرض المقطع في منطقة التضايق ليكون ارتفاع الماء مساوياً للعمق الحرج.

الحل: 1)

$$E_{s1} = y_1 + \frac{V_1^2}{2g} = 2 + \frac{(25)^2}{2 \times 9.81(6.25 \times 2)^2} = 2.204 \text{m}$$

ليكن  $y_2$  ارتفاع الماء في منطقة التضايق فيكون:

$$E_{S1} = E_{S2} = y_2 + \frac{V_2^2}{2g}$$
$$2.204 = y_2 + \frac{(25)^2}{2 \times 9.81 \times (5.75 \times y_2)^2}$$

 $y_2 = 1.93 \,\mathrm{m}$  ومنه نجد بالتجريب

b<sub>c</sub> لنفرض أن عرض القناة (2

$$E_{sc} = E_{sc} = y_c + \frac{Q^2}{2gA_c^2}$$

$$E_{sc} = \frac{3}{2}y_c$$

$$y_c = \frac{2}{3}E_{sc} = \frac{2}{3} \times 2.204 = 1.469 \text{ m}$$

$$E_{sc} = y_c + \frac{Q^2}{A_c^2(2g)}$$

$$2.204 = 1.469 + \frac{(25)^2}{(b_c^2y_c^2) \times 2g}$$

$$0.7346 = \frac{625}{b_c^2 \times 1.4692^2 \times 2 \times 9.81}$$

$$b_c = 4.482 \text{ m}$$

#### تطبيق (4-3):

قناة مستطيلة الشكل تمرر تدفقاً قدره  $Q = 25 m^3/\mathrm{sec}$  فإذا علمت أن الميل الطولي للقناة J = 0.006 ومعامل مانينغ J = 0.006 المطلوب:

- 1) أوجد عرض القناة الموافق للجربان الحرج.
- 2) ارسم تغيرات الحمولة النوعية و الحمولة الحركية و الحمولة الكامنة الموافقة للتدفق y = 1m المفروض من أجل ارتفاعات مائية متغيرة من y = 1m بتزايد قدره قدره واستنتج العمق المائي الحرج والحمولة النوعية الأصغرية.

الحل

يعطى العمق الحرج من أجل مقطع مستطيل بالعلاقة:

$$y_{c} = \sqrt[3]{\frac{q^{2}}{g}}$$

$$q = \frac{Q}{b} = \frac{25}{b}$$

$$y_{c} = \sqrt[3]{\frac{625}{g b^{2}}} = \frac{4}{b^{2/3}}$$
(1)

تعطى معادلة السرعة حسب مانينك بالشكل التالي:

$$V = \frac{1}{n} R_h^{2/3} J^{1/2}$$

$$R_h = \frac{A}{P} = \frac{b y_c}{b + 2 y_c}$$

$$\frac{Q}{b y_c} = \frac{1}{0.016} \left( \frac{b y_c}{b + 2 y_c} \right)^{2/3} \sqrt{0.006}$$
(2)

نعوض قيمة y من (1) في (2):

$$\frac{25}{4 b^{1/3}} = \frac{1}{0.06} \left( \frac{b \times \frac{4}{b^{2/3}}}{b + \frac{8}{b^{2/3}}} \right)^{2/3} \times 0.0775$$

$$\frac{25}{4 b^{1/3}} = 4.84 \times \left( \frac{4 b^{1/3}}{b^{5/3} + 8} \right)^{2/3}$$

$$\frac{25}{4} = 4.84 \times \frac{4^{2/3} b^{1/3}}{(b^{5/3} + 8)^{2/3}} \Rightarrow$$

$$0.512 = \frac{b}{(b^{5/3} + 8)^{2/3}}$$

تحل هذه المعادلة بالتجريب فتكون قيمة b=3m وقيمة العمق الحرج .  $y_{c}=1.923m$ 

علاقة الحمولة الكامنة:

$$E_1 = y$$

علاقة الحمولة الحركية:

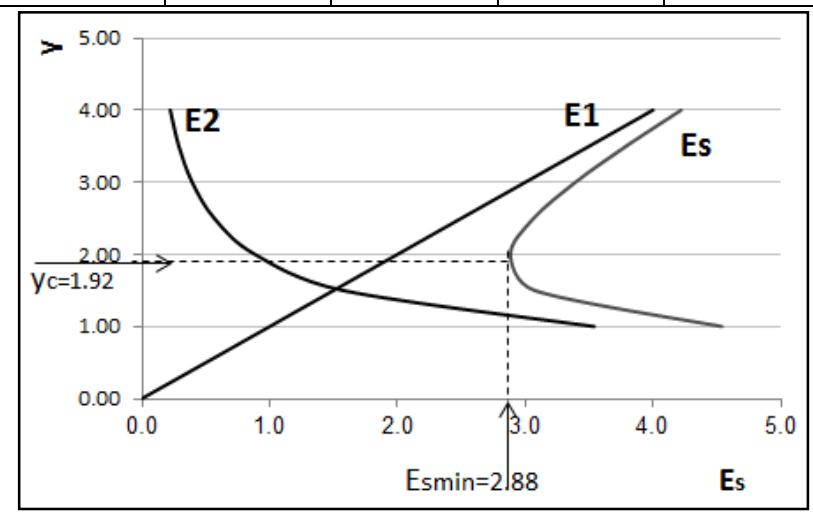
$$E_2 = \frac{V^2}{2 \cdot g} = \frac{Q^2}{2 \cdot g \cdot A^2} = \frac{q^2}{2 \cdot g \cdot y^2} = \frac{3.539}{y^2}$$

علاقة الحمولة النوعية:

$$E_s = E_1 + E_2 = y + \frac{3.539}{y^2}$$

Y=E1	A	$\mathbf{V}$	$V^2/2g=E2$	Es
M	<b>m2</b>	m/s	m	M

0.00	0.0			
1.00	3.0	8.33	3.54	4.54
1.50	4.5	5.56	1.57	3.07
2.00	6.0	4.17	0.88	2.88
2.50	7.5	3.33	0.57	3.07
3.00	9.0	2.78	0.39	3.39
3.50	10.5	2.38	0.29	3.79
4.00	12.0	2.08	0.22	4.22

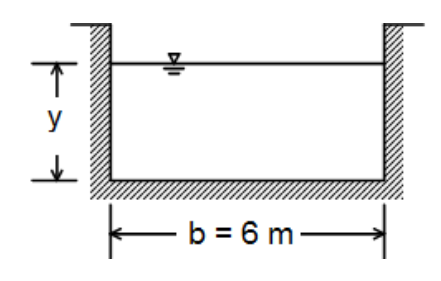


تطبيق (5-3):

وره  $Q = 22 m^3 / sec$  يبين الشكل قناة مكشوفة ذات مقطع مستطيل تمرر تدفقاً  $q = 22 m^3 / sec$  قدره ومعامل خشونة مانينغ n = 0.017 والمطلوب:

دراسة تغيرات الحمولة النوعية مع العمق وتحديد بيانياً كل من:

- 1) العمق الحرج.
- 2) الحمولة النوعية الاصغربة.
- y = 2 m الحمولة النوعية من أجل (3
- ${
  m E_s}=2.5\,{
  m m}$  العمقين المتبادلين من أجل (4
- $y_1 = 1.5 \, \text{m}$  العمق المتبادل الثاني من أجل (5
- $y = 1.8 \, \text{m}$  و  $y = 0.6 \, \text{m}$  و  $y = 0.6 \, \text{m}$ 
  - 7) الميل الحرج.
- $y=1.8\,\mathrm{m}$  و  $y=0.6\,\mathrm{m}$  و  $y=0.6\,\mathrm{m}$  و  $y=0.6\,\mathrm{m}$



الحل

$$E_{s} = y + \frac{Q^{2}}{2 g A} = y + \frac{22^{2}}{2 \times 9.81 \times (6.y)^{2}} = y + \frac{1}{1.46 y^{2}}$$

$$q = \frac{Q}{b} = \frac{22}{6} = 3.67$$

$$y_{c} = \sqrt[3]{\frac{3.67^{2}}{9.81}} = 1.11 \text{ m}$$

ندرس تحولات y مع الحمولة النوعية في الجدول التالي:

ومن الرسم يمكن استنتاج القيم التالية:

1) 
$$y_c = 1.11 \,\mathrm{m}$$

2) 
$$E_s = 1.66 \text{ m}$$

3) 
$$y = 2 \text{ m}$$
  $\Rightarrow$   $E_s = 2.17 \text{ m}$ 

4) 
$$E_s = 2.5 \text{ m}$$
  $\Rightarrow$   $y_1 = 2.38 \text{ m}$ ,  $y_2 = 0.6 \text{ m}$ 

5) 
$$y_1 = 1.5 \text{ m} \implies y_2 = 0.85 \text{ m}$$

6) 
$$y = 0.6 \,\text{m}$$
 نظام شلالی

حساب الميل الحرج:

A = b y<sub>c</sub> = 6×1.11 = 6.66 m<sup>2</sup>  
P = b + 2 y<sub>c</sub> = 6 + 2.22 = 8.22 m  
R<sub>h</sub> = 
$$\frac{A}{P} = \frac{6.66}{8.22}$$
  
Q =  $\frac{1}{n}$  A R<sub>h</sub><sup>2/3</sup> J<sub>c</sub><sup>1/2</sup>  
J<sub>c</sub> = 0.0096 = 0.0027

من أجل:

 $Q = 22 \text{ m}^3 / \text{sec}$  y = 0.6 m n = 0.017

	_			
1.68 1.75 1.87 2.01 2.17 0.50 2.34 2.52 2.70 Es	_	1.31 0.09	16.8	2.80
1.69 1.68 1.75 1.87 2.01 2.17 0.50 2.34 2.52 0.00 0.00 0.50 1.00 2.50		1.41 0.10	15.6	2.60
1.68 1.75 VC 1.00  1.87  2.01 0.50  2.17 0.00 0.50 0.50 0.50 0.50 0.50 0.50 0.5		1.53 0.12	14.4	2.40
1.68 1.75 1.87 2.01 2.17		1.67 0.14	13.2	2.20
1.68 1.75 1.87 2.01		1.83 0.17	12.0	2.00
1.68 1.75 1.87 vc_		2.04 0.21	10.8 2	1.80
1.68 1.75 yc_		2.29 0.27	9.6 2	1.60
1.68		2.62 0.35		1.40
_		3.06 0.48	7.2	1.20
-	69 1.69	3.67 0.69		1.00
7 1.87 2.00		4.58 1.07	4.8 4	0.80
2.50		6.11 1.90		0.60
8 4.68		9.17 4.28	2.4 9	0.40
13 17.33 > 3.00		18.33 17.13	1.2	0.20
المساوية المراجعة			0.0	0.00
m ä.c. illätaati	m m	m/s r		m
2g Es	$V^2/2g$ Es	V V2	Α	У

نحسب الميل الطولي

A = 
$$6 \times 0.6 = 3.6 \text{ m}^2$$
  
P =  $6 + 2(0.6) = 7.2 \text{ m}$   
Q =  $\frac{1}{n}$  A R<sub>h</sub><sup>2/3</sup> J<sup>1/2</sup>  
J =  $0.027 > 0.0027$ 

والميل شديد الانحدار.

من أجل:

$$Q = 22 \text{ m}^3 / \text{sec}$$
  $y = 1.8 \text{ m}$   $n = 0.017$ 

نحسب الميل الطولي

$$A = 6 \times 1.8 = 10.8 \text{ m}^{2}$$

$$P = 6 + 2 (1.8) = 9.6 \text{ m}$$

$$Q = \frac{1}{n} A R_{h}^{2/3} J^{1/2}$$

$$J = 0.001 < 0.0027$$

والميل بسيط الانحدار.

## تطبيق (3-6):

 $Q = 8m^3/\sec$  تمرر تدفقاً مقداره b = 5m تمرر مقطع مستطيل بعرض p = 5m تمرر تدفقاً مقداره  $y_n = 1.25$  بعمق نظامی  $y_n = 1.25$ 

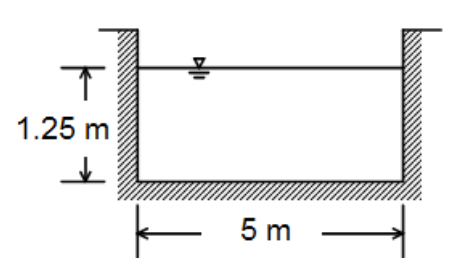
1) احسب العمق الحرج.

- 3) السرعة الحرجة.
- 4) حدد طبيعة نوع الجريان.
  - 5) حساب الميل الحرج.

الحل

1) حساب العمق الحرج:

$$q = \frac{Q}{b} = \frac{8}{5} = 1.16 \text{ m}^3 / \text{sec/m}$$
$$y_c = \sqrt[3]{\frac{q^2}{g}} = \sqrt[3]{\frac{1.6^2}{9.81}} = 0.64 \text{ m}$$



$$E_s = \frac{3}{2} y_c = \frac{3}{2} \times 0.64 = 0.96 \text{ m}$$
 (2)

#### 3) حساب السرعة الحرجة:

$$E_{s_{min}} = y_{c} + \frac{V_{c}^{2}}{y_{c}} = \frac{3}{2} y_{c}$$

$$\frac{V_{c}^{2}}{y_{c}} = (\frac{3}{2} - 1)y_{c} = \frac{1}{2} y_{c}$$

$$V_{c} = \sqrt{g y_{c}} = \sqrt{9.81 \times 0.64} = 2.5 \text{ m/sec}$$

#### 4) لتحديد طبيعة نوع الجربان نحسب رقم فروبد:

$$V = \frac{Q}{A} = \frac{8}{5 \times 1.25} = 1.28 \text{ m/sec}$$

$$F_r = \frac{v}{\sqrt{g \text{ y}}} = \frac{1.28}{\sqrt{9.81 \times 1.25}} = 0.36 < 1$$

$$y_c < y_n$$

وبالتالي نوع الجريان نهري

1) لحساب الميل الحرج:

$$Q = \frac{1}{n} A R_h^{2/3} J_c^{1/2}$$

$$8 = \frac{1}{0.025} \times 5 \times 0.64 \times \left[ \frac{5 \times 0.64}{5 + 2 \times 0.64} \right]^{2/3} \times J_c^{1/2}$$

$$J_c = 0.0096 = 9.6 \text{ m/Km}$$

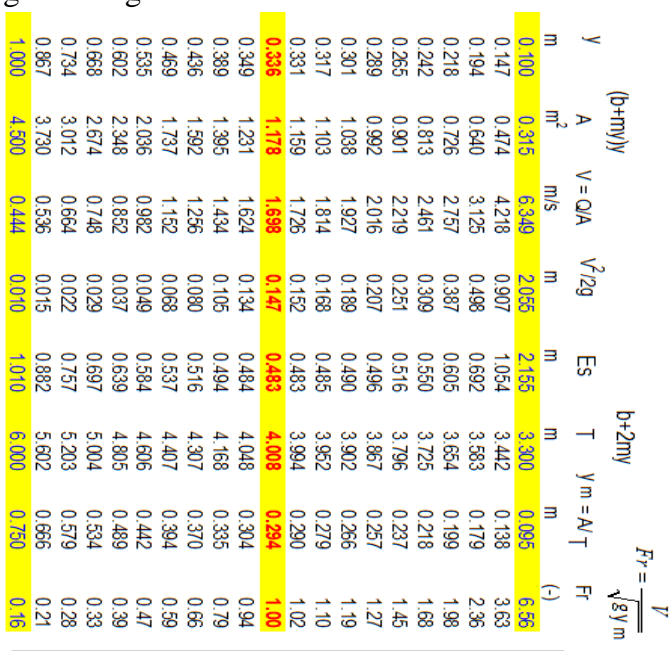
#### تطبيق (3-7):

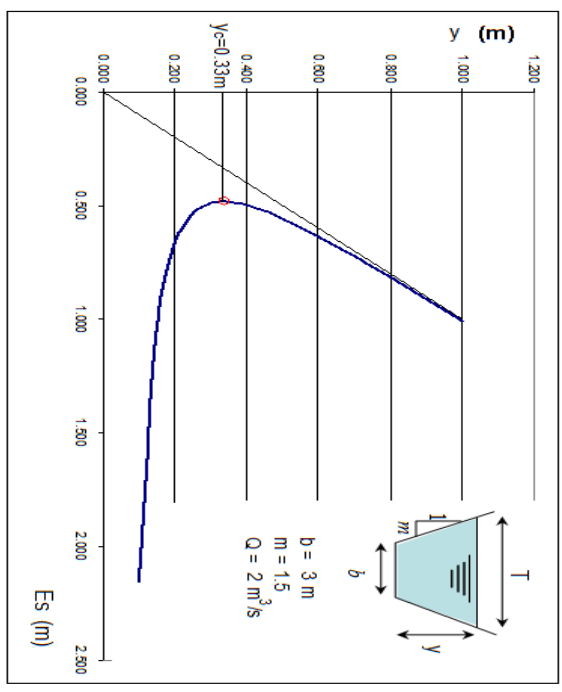
ارسم منحني تغير الحمولة النوعية مع العمق من أجل تدفق ثابت لقناة ذات مقطع شبه منحرف جميع المعطيات مبينة بالشكل.

الحل:

$$E_s = y + \frac{V^2}{2g} = y + \frac{Q^2}{2gA^2}$$

## يعطى تابع الحمولة النوعية بالعلاقة

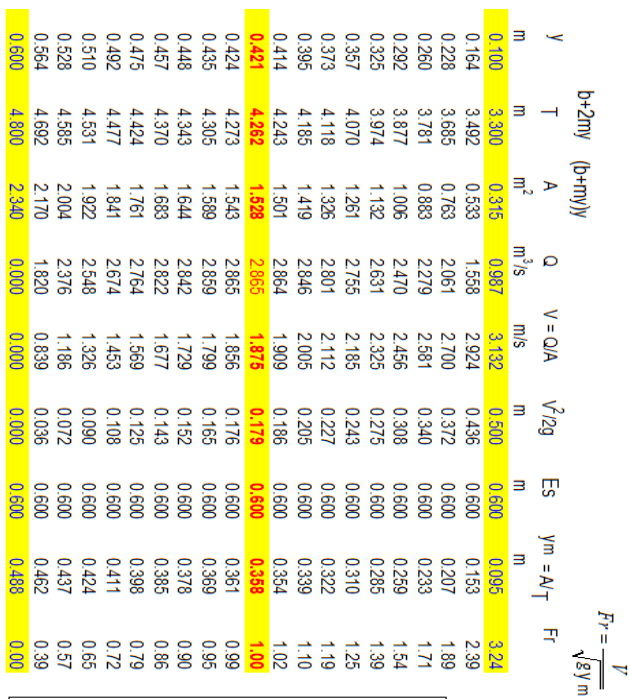


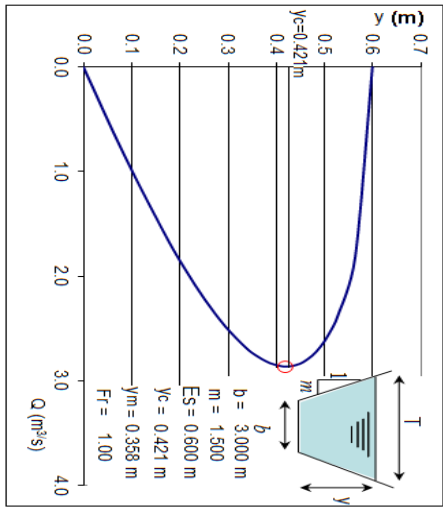


### تطبيق (3-8):

ارسم منحني تغير التدفق مع العمق من أجل تدفق حمولة نوعية ثابتة لقناة ذات مقطع شبه منحرف جميع المعطيات مبينة بالشكل.

الحل: يعطى تابع تغير التدفق مع العمق من أجل حمولة نوعية ثابتة بالعلاقة  $Q = A \, \sqrt{2g\left(E_s - y\right)}$ 

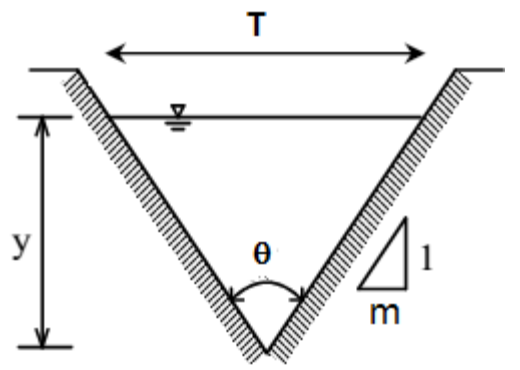




#### تطبيق (9-3):

قناة ذات مقطع مثلثي كما يظهر بالشكل معدل ميل الجوانب m=2 والمطلوب:

- 1) أوجد الارتفاع الحرج  $y_c$  من أجل تدفق Q=0.35~m3/s من أجل تدفق Q=0.35~m3/s الموافق للقيمة الاصغرية للحمولة النوعية.
- n=0.025 اذا علمت معامل الخشونة  $y=0.6\,\mathrm{m}$  اذا J=0.001 الخشونة J=0.001



#### الحل:

1) يعطى رقم فرود للجربان الحرج بالعلاقة

$$Fr = \frac{V}{\sqrt{g \ y_m}} = \frac{Q}{A \sqrt{g \ y_m}}$$

كما يعطى العمق الحرج لمقطع مثلثي

$$y_C = \sqrt[5]{\frac{2 Q^2}{g m^2}} = \sqrt[5]{\frac{2 \times 0.35^2}{9.81 \times 2^2}} = 0.362 \text{ m}$$

وتكون الحمولة النوعية الاصغرية

$$E_{s_{min}} = y_{c} + \frac{V_{c}^{2}}{2g} = y_{c} + \frac{Q^{2}}{A_{c}^{2} 2g} = y_{c} + \frac{Q^{2}}{\left(m y_{c}^{2}\right)^{2} 2g} = y_{c} + \frac{Q^{2}}{m^{2} y_{c}^{4} 2g}$$
$$= 0.362 + \frac{0.35^{2}}{2^{2} \times 0.362^{4} \times 2 \times 9.81} = 0.453 \text{ m}$$

 $y = 0.6 \,\mathrm{m}$  لإيجاد التدفق من أجل عمق (2

$$Q = \frac{A}{n} R_h^{2/3} J^{1/2}$$

$$A = my^{2} = 2 \times 0.6^{2} = 0.72 \text{ m}^{2}$$

$$R_{h} = \frac{m \text{ y}}{2\sqrt{1 + m^{2}}} = \frac{2 \times 0.6}{2\sqrt{1 + 2^{2}}} = 0.268 \text{ m}$$

$$Q = \frac{A}{n} R_{h}^{2/3} J^{1/2} = \frac{0.72}{0.025} 0.268^{2/3} 0.001^{1/2} = 0.379 \text{ m}^{3}/\text{s}$$

#### تطبيق (3-10):

m=2 قناة ذات مقطع شبه منحرف عرض القاعدة b=5 m ومعدل ميل الجوانب  $Q=50~m^3/s$  معامل مانينغ m=0.001 وتمرر تدفق مقداره J=0.0005 والمطلوب:

- 1) الحمولة النوعية الموافقة للعمق النظامي
  - 2) هل الجريان نهري ام شلالي
- 3) ما هو العمق المتبادل مع العمق النظامي
  - 4) ماهى قيمة العمق الحرج

#### الحل:

$$Q = \frac{A}{n} R_h^{2/3} J^{1/2}$$

$$P = b + 2 y \sqrt{1 + m^2}$$

$$A = (b + m y) y$$

$$R_h = A / P$$

بالتجريب نجد:

$$\begin{aligned} y_n &= 2.95 \text{ m} \\ A &= 32.155 \text{ m}^2 \\ T &= b + 2 \text{ m y} = 5 + 2 \times 2 \times 2.95 = 16.8 \text{ m} \\ E_s &= y_n + \frac{Q^2}{2 \text{ g } A^2} = 2.95 + \frac{2500}{2 \times 9.81 \times 32.155} = 3.073 \text{ m} \\ V &= \frac{Q}{A} = \frac{50}{32.155} = 1.555 \text{ m/s} \\ y_m &= \frac{A}{T} = \frac{32.155}{16.8} = 1.91 \text{ m} \end{aligned}$$

$$Fr = \frac{V}{\sqrt{g \ y_m}} = \frac{1.555}{\sqrt{9.81 \times 1.91}} = 0.359$$

$$Fr = 0.359 < 1$$

		_																						
4.4	4.2	4	3.8	3.6	3.4	3.2	3	2.95	2.8	2.6	2.4	2.2	2	1.8	1.72	1.6	1.4	1.2	1.116	1	0.8	0.6	0.4	Y(m)
60.72	56.28	52	47.88	43.92	40.12	36.48	33	32.155	29.68	26.52	23.52	20.68	18	15.48	14.28	13.12	10.92	8.88	8.0709	7	5.28	3.72	2.32	A(m^2)
0.035	0.040	0.047	0.056	0.066	0.079	0.096	0.117	0.123	0.145	0.181	0.230	0.298	0.393	0.532	0.625	0.740	1.069	1.616	1.956	2.600	4.571	9.208	23.674	Q^2 /(2*g*A^2)
4.435	4.240	4.047	3.856	3.666	3.479	3.296	3.117	3.073	2.945	2.781	2.630	2.498	2.393	2.332	2.325	2.340	2.469	2.816	3.072	3.600	5.371	9.808	24.074	E(m)
					ПS	•	0 0.5 1 1.5 2 2.5 3 3.5 4 4.5 5 5.5 6 6.5 7 7.5		0.5		1.5	y	2.5	<u></u>	3.5	4	4.5	ת						

والجريان نهري

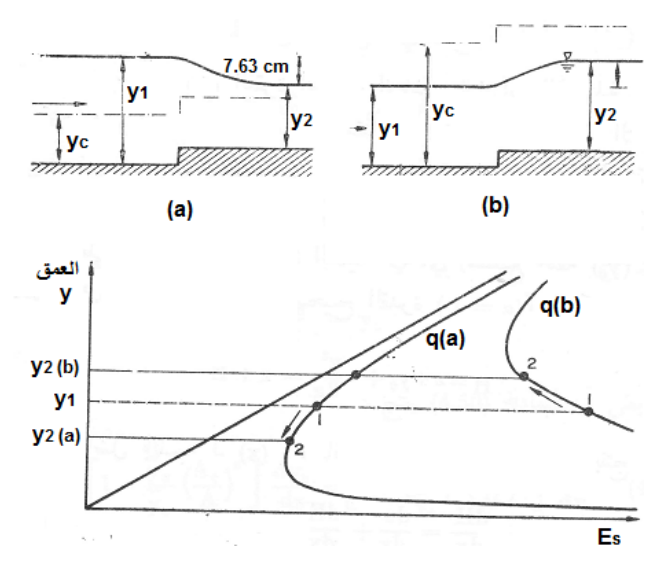
$$E_s = y + \frac{Q^2}{2 g A^2}$$
$$3.073 = y + \frac{2500}{2 \times 9.81 \times (5y + 2y^2)^2}$$

بالتجريب نجد:

$$y = 1.12 \text{ m}$$
$$\frac{Q^2}{g} = \frac{A^3}{T}$$

 $y_{\rm C} = 1.72 \, {\rm m}$  بتعويض قيمة العمق الحرج في العلاقة نجد:  $y_{\rm C} = 1.72 \, {\rm m}$  تطبيق (11-3):

قناة مكشوفة عرضها ثابت رفع قاعها بمقدار  $\Delta Z = 4.57 {\rm cm}$  في موقع معين. إذا كان عمق الجريان المقترب  $y_1 = 45.7 {\rm cm}$  فالمطلوب حساب معدل الجريان الناجم عن هبوط في منسوب سطح الماء مقداره  $7.63 {\rm cm}$  عند رفع القاع، و كذلك عند رفع منسوب الرفع الماء مقداره  $7.6 {\rm cm}$  عند الموقع المذكور ؟ تهمل الضياعات عند موقع التغير المفاجئ. احسب العمق الحرج في كل حالة وارسمه بالنسبة للمقطع الطولي لسطح الماء .



$$\begin{aligned} y_1 &= y_2 + \Delta y + \Delta Z \\ E_{S_1} &= E_{S_2} + \Delta Z \\ y_1 &+ \frac{V_1^2}{2g} = y_2 + \frac{V_2^2}{2g} + \Delta Z \end{aligned}$$

أي أن:

$$y_{1} = y_{2} + \Delta y + \Delta Z$$

$$E_{S_{1}} = E_{S_{2}} + \Delta Z$$

$$y_{1} + \frac{V_{1}^{2}}{2g} = y_{2} + \frac{V_{2}^{2}}{2g} + \Delta Z$$

$$V_{1} y_{1} = V_{2} y_{2}$$

ومن معادلة الاستمرار لدينا:

إذن:

$$\frac{V_1^2}{2g} \left[ 1 - \left( \frac{y_1}{y_2} \right)^2 \right] = -\Delta y$$

 $\Delta y = 7.63 \text{ cm}$ 

$$\frac{y_1}{y_2} = \frac{45.7}{45.7 - 4.57 - 7.73} = 1.36 \text{ cm}$$

إذن:

$$V_1^2 = 45.7 V_1 = 0.6 \text{ m}^3 / \text{sec}$$
  
 $y_C = \sqrt[3]{\frac{q^2}{g}} = 33.3 \text{ cm}$ 

في الحالة b:

$$\Delta y = -7.63 \text{ cm}$$

$$\frac{y_1}{y_2} = \frac{45.7}{45.7 + 9.63 - 4.57} = 0.937$$

$$V_1^2 = \frac{2 \times 9.81 \times 7.63}{1 - 0.937} =$$

$$q = 45.7 V_1 = 1.62 \text{ m}^3/\text{sec}$$

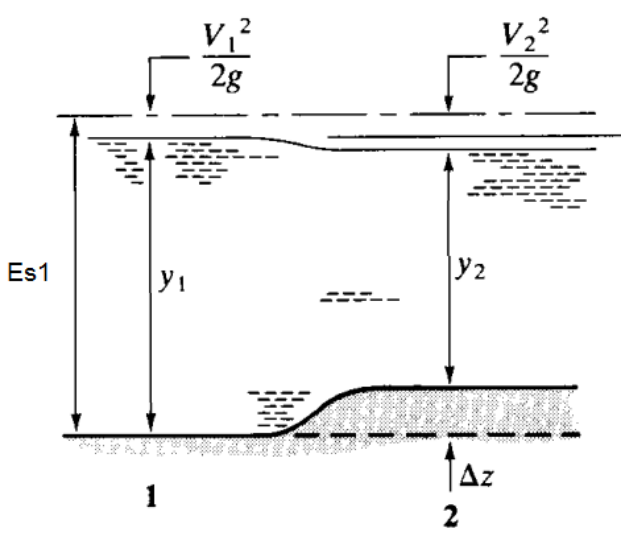
$$y_C = \sqrt[3]{\frac{q}{g}} = 64.5 \text{ cm}$$

### تطبيق (12-3):

يجري الماء في قناة أفقية مكشوفة ذات مقطع مستطيل على شكل جريان هادئ بعمق  $y_1=3\ m/s$  وبسرعة  $y_1=3\ m$  احسب التغيير في عمق الماء وفي منسوب سطح الماء الناتج في الحالتين:

- القناة.  $\Delta Z = 0.3 \, \mathrm{m}$  في قاع القناة.
- . وجود هبوط انسيابي بعمق  $\Delta Z = 0.3~\mathrm{m}$  وجود هبوط انسيابي بعمق
- 3) احسب الارتفاع الاعظمي للعتبة في الحالة الاولى بحيث تمرر نفس التدفق. تهمل الضياعات عند موقع التغير المفاجئ. واعتبر  $g=10~{
  m m/s}^2$

## الحل:



نطبق برنوللي بين المقطعين (1) و (2)

$$y_1 + \frac{V_1^2}{2g} = y_2 + \frac{V_2^2}{2g} + \Delta Z$$

أي أن:

$$\mathbf{E}_{\mathbf{S}_1} = \mathbf{E}_{\mathbf{S}_2} + \Delta \mathbf{Z}$$

حيث  $E_{\rm s}$  الحمولة النوعية وهي ثابتة في أي مقطع من القناة وبإهمال الضياعات في منطقة التغير

$$\begin{split} E_{S_2} &= y_2 + \frac{V_2^2}{2g} = y_2 + \frac{q_2^2}{2g y_2^2} \\ -2g y_2^2 E_{S_2} + 2g y_2^3 + q_2^2 &= 0 \end{split}$$

نحصل على معادلة من الدرجة الثالثة من الشكل:

$$y_2^3 - y_2^2 E_{S2} + \frac{q_2^2}{2g} = 0 ag{1}$$

ولكن:

$$E_{S_2} = E_{S_1} - \Delta Z = y_1 + \frac{V_1^2}{2g} - \Delta Z$$

$$E_{S_2} = 3 + \frac{9}{2 \times 10} - 0.3 = 3.45 - 0.3 = 3.15 \text{ m}$$

ومن معادلة الاستمرار لدينا:

$$q_1 = q_2$$
  
 $V_1 y_1 = V_2 y_2$   
 $V_1 y_1 = 3 \times 3 = 9 \text{ m}^3 / \text{s} / \text{m}'$ 

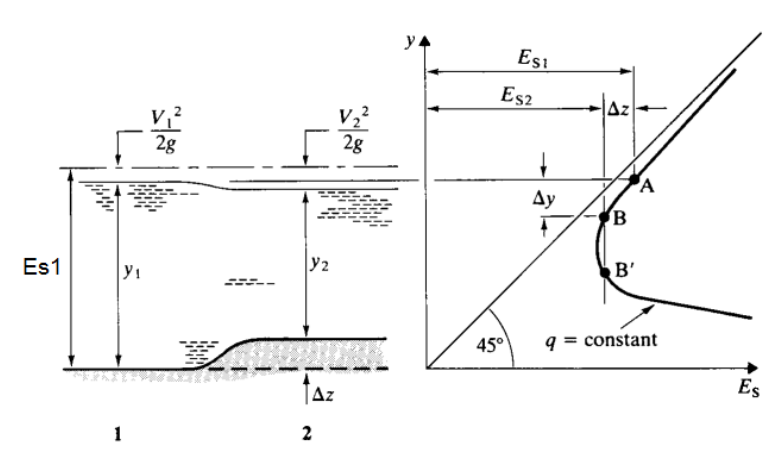
بالتعويض في (1):

$$y_2^3 - 3.15 y_2^2 + \frac{9}{2 \times 10} = 0$$
  
 $y_2^3 - y_2^2 + 4.05 = 0$ 

وهي معادلة من الدرجة الثالثة تقبل ثلاث حلول حلان موجبان وثالث سالب مرفوض:

حالة جريان هادئ 
$$y_2' = 2.5 \, \mathrm{m}$$
 وهو المطلوب حالة جريان سريع  $y_2'' = 1.46 \, \mathrm{m}$  مرفوض سالب  $y_2''' = -0.99 \, \mathrm{m}$ 

$$\Delta y = y_1 - (y_2 - \Delta Z)$$
  
 $\Delta y = 3 - (2.5 - 0.3) = 0.2 \text{ m}$ 



الحالة الثانية:

$$y_2^3 - y_2^2 E_{S2} + \frac{q_2^2}{2g} = 0 (2)$$

$$E_{S_2} = E_{S_1} + \Delta Z$$

$$E_{s2} == 3.45 + 0.3 = 3.75 \text{ m}$$

بالتعويض في (2):

$$y_2^3 - 3.75 y_2^2 + 4.05 = 0$$

وهي معادلة من الدرجة الثالثة تقبل ثلاث حلول حلان موجبان وثالث سالب مرفوض:

حالة جريان هادئ 
$$y_2' = 3.4 \, \mathrm{m}$$
 وهو المطلوب حالة جريان سريع  $y_2'' = 1.28 \, \mathrm{m}$  مرفوض سالب  $y_2''' = -0.93 \, \mathrm{m}$ 

$$\Delta y = y_2 - (y_1 + \Delta Z)$$
  
 $\Delta y = 3.4 - (3 + 0.3) = 0.1 \text{ m}$ 

من أجل تحديد القيمة العظمى AZ نجد أن حل المعادلة

$$y_2^3 - y_2^2 E_{S2} + \frac{q_2^2}{2g} = 0$$

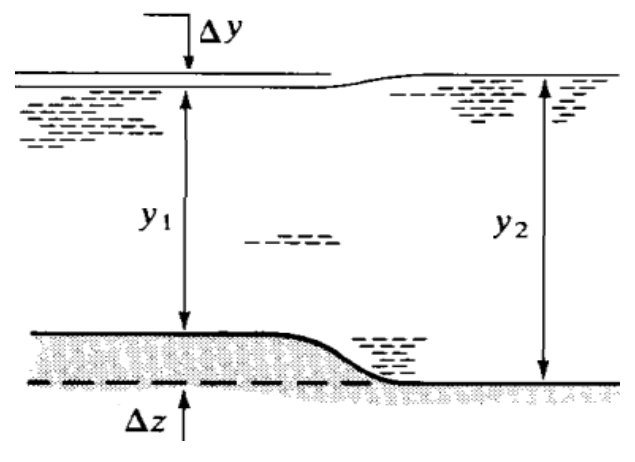
يتعلق بقيمة  $E_{\rm S2}$  فقط لأن باقي العوامل ثابتة، نزيد من قيمة  $\Delta Z$  تدريجياً أي ننقص من قيمة  $E_{\rm S2}$  تدريجياً حتى الحصول على معادلة تقبل جذرين موجبين متساويين وجذر سالب مرفوض (إذا زادت قيمة  $E_{\rm S2}$  عن هذه القيمة نحصل على جذرين تخيليين وجذر سالب).

# بالحل ينتج أن:

$$E_{s2} = 3.01 \,\text{m}$$

$$\Delta Z = E_{S1} - E_{S2} = 3.45 - 3.01 = 0.44 \text{ m}$$

وهذا يعني أنه إذا زادت قيمة  $\Delta Z$  عن هذه القيمة لا يمر التدفق المطلوب.



# الفصل الثاني الجريان الدائم المنتظم

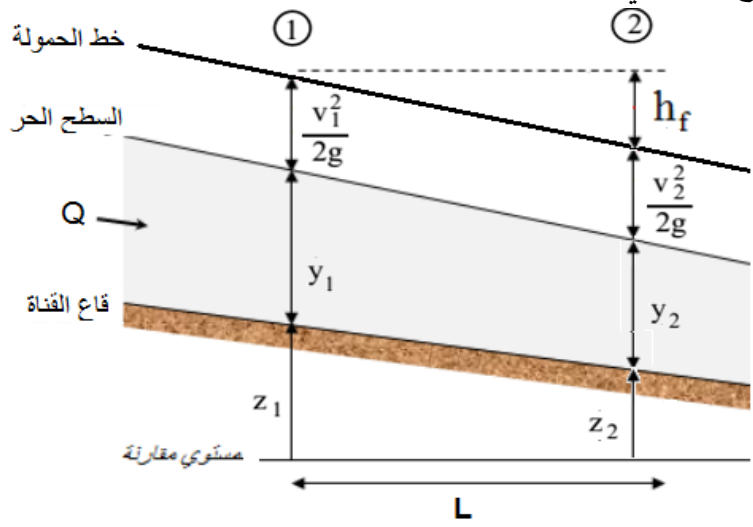
#### 1-2 مقدمة:

إن الجريان المنتظم في الأقنية المكشوفة أو القنوات المغلقة غير الممتلئة بكاملها تحقق الشروط التالية:

- Q = const التدفق ثابت (1
- 2) العمق المائي والمحيط المبلول والسرعة الوسطية تبقى نفسها في جميع مقاطع القناة ولا تتغير مع الزمن الشكل (2-1).

A = const y = const V = const

- $J_{\rm e}$  ميل مقطع القناة  $J_{\rm w}$  ميل السطح الحر  $J_{\rm w}$  ميل خط الحمولة  $J_{\rm e}$ 
  - 4) الخشونة متجانسة على طول المجرى.
    - 5) الضياع الموضعي غير موجود.



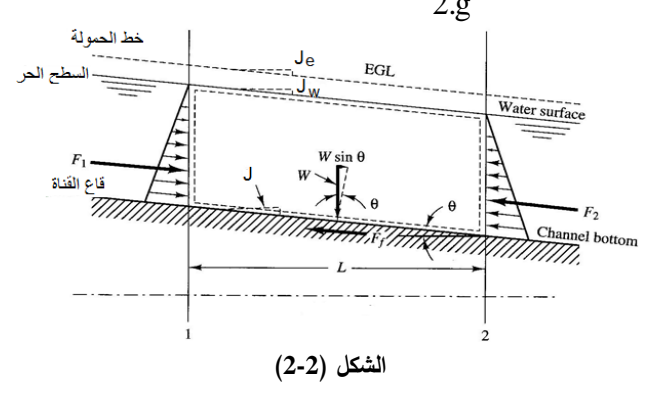
الشكل (1-2) الجريان الدائم المنتظم

2-2 المعادلات الأساسية للجريان المنتظم في الأقنية المكشوفة (معادلة شيزي)

لنعتبر جزءاً من قناة مكشوفة كما في الشكل (2-2) ميلها على الأفق θ يجري فيها الماء جرياناً منتظماً. وهو الجريان الذي يحدث في الأقنية الموشورية الطويلة المستقيمة (أو ذات الانحناء الخفيف جداً)، وتكون سرع الجريان الوسطية نفسها في كل المقاطع نظراً لأن مساحة المقطع المائي ثابتة أي:

$$V_1 = V_2 = ... = V_m$$

والمقطع الطولي للسطح الحر للماء يوازي المقطع الطولي لقاع القناة حيث يشكل مقطع سطح الماء الحر الخط البيزومتري للجريان، بينما خط الحمولة يوازي السطح الحر للماء ويرتفع عنه بمقدار ثابت  $\frac{V^2}{2\sigma}$ .



 $J=tg\theta$  نلاحظ من الشكل أن

وباعتبار ميل القناة صغيراً فإننا نستطيع أن نكتب:

$$J = tg\theta = \sin\theta \tag{1-2}$$

يمكن في الجريان الدائم تحت تأثير الثقالة الأرضية وضع معادلة التوازن التالية (بالإسقاط باتجاه محور الجريان)، حيث القوة المحركة (وهي الثقالة الأرضية هنا) تتعادل بقوى الاحتكاك على الجدران.

والكتلة المائية المعتبرة متوازنة تحت تأثير وزنها  $W \sin \theta$  وقوى الاحتكاك والكتلة المائية المعتبرة au جهد القص المتوسط على طول المحيط المبلول. وبكتابة معادلة الحركة لكتلة السائل بين المقطعين (1) و (2) وينتج أن:

$$F_1 + \gamma A L J - F_2 - \tau P L = 0$$
 (2-2)  
 $F_1 = F_2$ 

$$\gamma A L J = \tau P L 
\tau = \gamma R_h J$$
(3-2)

$$J = \frac{\Delta z}{L} = \frac{\tau}{\gamma R_b}$$
 أو

في الجريان المضطرب تتناسب قوى الاحتكاك مع مربع السرعة أي يمكن أن نكتب:

$$\tau = \psi \, \frac{\rho}{2} \, V^2 \tag{4-2}$$

بالتعويض في المعادلة السابقة:

$$J = \psi \frac{\rho}{2} V^2 \frac{1}{\gamma R_h} = \psi \frac{V^2}{2 g R_h}$$

ويكون

$$V = \sqrt{\frac{2 g}{\psi}} \sqrt{R_h J}$$
 (5-2)

وبفرض

$$C = \sqrt{\frac{2g}{W}} \tag{6-2}$$

تدعى العلاقة السابقة معادلة شيزي ويدعى C بمعامل شيزي وقيمته تتبع خشونة سطح القناة إذ تتراوح بين 35 للسطوح الخشنة و 140 من أجل السطوح الملساء.

ويتبين لنا مما سبق أن أمثال شيزي ليس أمثالاً بدون أبعاد ولكن  $\frac{L^{1/2}}{T}$  لذلك يجب الانتباه إلى الوحدات المستعملة في قيمة C. وهي معادلة دارسي ويسباخ التي تم اشتقاقها سابقاً في الجزء الأول في الجريان المضطرب لحساب الضياعات الخطية

$$h_f = J L$$

$$h_{\rm f} = \psi \frac{V^2}{2 g R_{\rm h}} L \tag{7-2}$$

وقد كانت بالنسبة للأنابيب الدائرية:

$$R_h = \frac{A}{P} = \frac{\pi D^2}{4\pi D} = \frac{D}{4}$$

بالتعويض يكون:

$$h_f = 4 \psi \frac{L}{D} \frac{V^2}{2 g} = \lambda \frac{L}{D} \frac{V^2}{2 g}$$
 (8-2)

و  $\lambda = 4 \, \psi$  عامل الاحتكاك الطولي.

في كل اشتقاقات معادلات الجريان في الأقنية المكشوفة نبقي على نصف القطر الهيدروليكي  $R_h$  كوسيط طولي في المعادلات بينما يوضع القطر D في حالة الجريان في الأنابيب المضغوطة دائرية المقطع.

الضياعات الحاصلة على طول المجرى.  $h_f$ 

وبالتالى نستطيع كتابة معادلة شيزي على الشكل:

$$V^2 = \frac{8 g}{\lambda} \frac{h_f}{L} R_h$$

ونحن نعلم أن القيمة  $\frac{h_f}{L}$  تعبر عن الضياعات الحاصلة على واحدة الطول وتسمى بالميل الهيدروليكي أو ميل خط الحمولة وبالتالي فإن العلاقة تأخذ الشكل:

$$V^{2} = \frac{8 g}{\lambda} J_{e} R_{h}$$

$$V = \sqrt{\frac{8 g}{\lambda}} \sqrt{J_{e} R_{h}}$$

وباعتبار أن  $J_e = J$  لأن الجربان منتظم يكون:

$$V = C \sqrt{J R_h}$$
 (9-2)

حيث أن  $\frac{8\,g}{\psi} = \sqrt{\frac{8\,g}{\lambda}} = \sqrt{\frac{2\,g}{\psi}}$  ويدعى الثابت شيزي. وبالاستعانة بمعادلة

الاستمرار يمكن تحديد قيمة التدفق المار حيث:

$$Q = A V = A C \sqrt{R_h J}$$
 (10-2)

وبإدخال مفهوم جديد نسميه أمثال التدفق ولنرمز له K ويساوي:

$$K = A C \sqrt{R_h}$$

ستأخذ معادلة التدفق الشكل التالي:

$$Q = K \sqrt{J}$$
 (11-2)

$$K = \frac{Q}{\sqrt{J}}$$

نلاحظ من خلال هذه العلاقة أن أمثال التدفق كمضمون فيزيائي شبيه بالتدفق، وهو يساويه بالتحديد عندما يكون ميل القناة مساوياً إلى الواحد.

بالعودة إلى علاقة شيزي لحساب السرعة

$$V = C \sqrt{J R_h}$$

 $\omega=C$   $\sqrt{R_h}$  ويساوي  $\omega$  ويساوي ندخل مفهوماً جديداً نسميه أمثال السرعة ونرمز له بالرمز  $\omega=V$  أي  $V=\omega\sqrt{J}$  وتصبح علاقة شيزي على الشكل التالي  $V=\omega\sqrt{J}$ 

نلاحظ من العلاقة الأخيرة أن أمثال السرعة تساوي السرعة في حال كون ميل القناة مساوياً للواحد. نستعمل أمثال التدفق K وأمثال السرعة  $\omega$  بشكل واسع في إجراء الحسابات الهيدروليكية وهما يعبران من الناحية الفيزيائية عن المواصفات الهيدروليكية الأساسية للمقطع المائي.

## 2-3 المعادلات التجريبية المستخدمة لتحديد معامل شيزي

تستخدم علاقات تجريبية كثيرة لتحديد قيمة معامل شيزي، كل من هذه العلاقات استنتج على أساس مجموعة من التجارب أجراها أحد الباحثين أو على أساس القراءات المأخوذة على الأقنية الموجودة فعلاً.

ونورد هنا مجموعة كبيرة من هذه العلاقات والتي يكثر استخدامها مرتبة حسب ترتيبها الزمني.

# 2-3-1 معادلة كانكييه -كيتر:

في عام 1869 استنتج المهندسان السويسران كانكييه- كيتر معادلتهما لتحديد قيمة معامل شيزي من واقع قياسات على مجموعة من الأقنية المختلفة الأشكال والأحجام على الشكل الآتي:

$$C = \frac{23 + \frac{0.0015}{J} + \frac{1}{m}}{1 + (23 + \frac{0.00155}{J})(\frac{m}{\sqrt{R_h}})}$$
(12-2)

حىث:

m: معامل يسمى معامل كيتر وهو يساوي تقريباً معامل مانينغ والموضح قيمته في الجدول (1-2) تبعاً لمادة جدران وقاع الأقنية لبعض أنواع الأقنية التي يكثر انشائها.

### 2-3-2 معامل مانينغ:

في عام 1889 استنتج المهندس الايرلندي مانينغ Robert Manning معادلته لتحديد قيمة شيزي C من واقع مجموعة كبيرة من التجارب على الوجه الآتى:

$$C = \frac{1}{n} R_h \tag{12-2}$$

تعتبر معادلة مانينغ من أكثر المعادلات انتشاراً في أقطار العالم المختلفة لتحديد قيمة معامل شيزي وذلك نظراً لبساطتها وسهولتها في الحسابات.

n: هو معامل مانينغ والمساوي تقريباً لمعامل كيتر والذي يسمى أيضاً معامل الخشونة. وتعطى قيم معامل مانينغ بالجدول(2-1) تبعاً لمادة جدران وقاع القناة.

جدول (2-1) قيم معامل مانينغ

	C	
معامل مانينغ	نوع القناة	الرقم
0.011	قناة مبطنة بالاسمنت	1
0.014	قناة مبطنة بالبيتون	2
0.015	أقنية الصرف الصحي الفخارية	3
0.017	قناة مبطنة بالطين	4
0.020	قناة ترابية في حالة جيدة	5
0.025	قناة ترابية في حالة متوسطة	6
0.030	قناة ترابية في حالة سيئة	7

باستخدام معادلتي مانينغ وشيزي يمكن كتابة المعادلة لإيجاد التدفق في الجريان الدائم والمنتظم في قناة مكشوفة كالآتى:

$$Q = A V = C A \sqrt{R_h J} = \frac{1}{n} A R_h^{2/3} \sqrt{J}$$
 (13-2)

## 2-3-2 معادلة بازان:

في عام 1897 استنتج الفرنسيان بازان معادلة لتحديد قيمة C من واقع تجارب أجراها على مجموعة من الأقنية المخبربة الصغيرة.

$$C = \frac{157.6}{1.81 + \frac{m}{\sqrt{R_h}}}$$
 (14-2)

$$n = \frac{m}{1.81}$$
 أو باعتبار

$$C = \frac{87}{1 + \frac{m}{\sqrt{R_h}}} \tag{15-2}$$

وتعطى قيم معامل بازان بالجدول (2-2) تبعاً لمادة جدران وقاع القناة.

جدول (2-2) قيم معامل بازان

معامل بازان	نوع القناة	الرقم
0.11	قناة اسمنتية او من الخشب الممسوح	1
0.21	قناة من الخشب غير الممسوح او من البيتون	2
0.83	قناة من الحجر المنحوت او القرميد	3
1.54	قناة ترابية في حالة جيدة	4
2.36	قناة ترابية في حالة متوسطة	5
3.17	قناة ترابية في حالة سيئة	6

بينت الحسابات التي أجريت للأقنية الموجودة أن النتائج التي تعطيها معادلة بازان ليست بالدقة الكافية مثل معادلة مانينغ.

# 2-3-4 معادلة فورشخيمر:

في عام 1923 استنتج فورشخيمر العلاقة التجريبية الآتية لتحديد معامل شيزي C:

$$C = \frac{1}{n} R_h^{0.5}$$
 (16-2)

حيث قيمة معامل الخشونة n يمكن تحديدها من جدول مانينغ.

# 2-3-2 معادلة بافلوفسكي:

في عام 1925 استنتج العالم السوفيتي بافلوفسكي معادلته لتحديد قيمة معامل شيزي على الشكل التالي:

$$C = \frac{1}{n} R_h^a$$
 (17-2)

#### حيث:

n: معامل خشونة مانينغ

a: يمكن حساب قيمته من المعادلة:

$$a = 2.5\sqrt{n} - 0.13 - 0.75\sqrt{R_h}(\sqrt{n} - 0.1)$$
(19-2)

هذه المعادلة تعطى نتائج مرضية إذا طبقت في حدود:

$$0.1 < R_h \le 3$$
  
 $0.009 < n \le 0.004$  (20-2)

كما اقترح بافلوفسكي لتسهيل الحسابات استخدام a من معادلة مبسطة وذلك بدون تأثير كبير على دقة النتائج على الوجه الآتى:

## 2-3-4 معادلة أجروسكين:

في عام 1949 استنتج السوفيتي أجروسكين معادلته لتحديد قيمة معامل شيزي على الوجه التالى:

$$C = \frac{1}{n} + 17.72 \log R_h \tag{21-2}$$

حيث n معامل خشونة مانينغ.

تجدر الإشارة إلى أنه لا تستخدم أي علاقة من العلاقات السابقة في حالة الجريان في الأنهار والأقنية العريضة حيث b>>10 y

إن جميع العلاقات السابق ذكرها هي علاقات تجريبية، تختلف دقتها حسب الظروف التي استنتجت على أساسها، وكذلك الظروف المستخدمة فيها.

كما ذكرنا سابقاً فإن أكثر العلاقات استخداماً في تطبيقات الجريان المنتظم هي معادلة مانينغ وذلك نظراً لبساطتها وسهولتها في الحسابات.

# 2-4 العوامل المؤثرة على أمثال الخشونة:

يعتبر المهندسون عادةً أن للقناة قيمة وحيدة ل n في مختلف الظروف. ولكن في الحقيقة تتغير قيمة n كثيراً وتتعلق بعدد من العوامل نذكر أهمها:

- 1) خشونة السطح: يعبر عن خشونة السطح ببعد وشكل حبيبات المادة المؤلفة للمحيط المبلول والتي تسبب بطئ الجريان. وبشكل عام يمكن أن نقول أن الحبيبات الناعمة تؤدي إلى قيم صغيرة لـ n والحبيبات الكبيرة تعطى قيم كبيرة ل n.
- 2) الأعشاب: يمكن اعتبارها كنوع من خشونة السطوح ولكنها تخفض كثيراً من سعة القناة وتبطئ الجريان. يتعلق هذا التأثير بارتفاع الأعشاب، كثافتها وتوزيعها ونوعها (علماً بأن هذا التأثير يتغير من فصل لآخر). وهذا العامل مهم جداً في تصميم أقنية الصرف الصغيرة.

لقد قيست قيمة لـ n تساوي 0.033 في شهر آذار لبعض أقنية الصرف الصحي حيث كانت الأقنية نظيفة ولكن قيمتها ارتفعت إلى 0.055 في شهر نيسان بسبب نمو الأعشاب وازدادت كثافة العشب في الصيف مما أدى إلى ارتفاع قيمة n إلى القيمة 0.115 لذلك يمكن القول أنه يمكن أخذ القيمة n0.04 لأقنية الصرف ذات الصيانة الجيدة والمعرضة لنمو بعض الأعشاب الصغيرة ولكن لا تنبت فيها نباتات كثيفة، بينما تعتبر القيمة n0.05 لحالة الأقنية ذات الصيانة المتوسطة والقيمة n0.05 لحالة الأقنية ذات الصيانة غير الجيدة أو المهملة.

- (3) عدم انتظام القناة: ويشمل ذلك عدم انتظام المحيط المبلول والتغيرات في المقطع في أبعاده وشكله مع طول القناة. في الأقنية الطبيعية يظهر عدم الانتظام هذا بوجود تجمعات رملية أو حفر وتموجات في أرضية القناة. بشكل عام لا يسبب التغير التدريجي في مقطع القناة وشكلها تأثيراً محسوساً على قيمة n ولكن التغيرات المفاجئة لمقاطع ضيقة وعريضة تسبب تزايداً في قيمة n.
- n تخطيط القناة: يعطي الانحناء الخفيف ذا نصف القطر الكبير قيمة صغيرة نسبياً ل n بينما الانحناء الشديد والمنعطفات الحادة تسبب زيادة في قيمة n. وبشكل عام يمكن القول أن ازدياد الخشونة مهمل في أقنية سرعة الجريان فيها صغيرة. بينما تسبب المنعطفات الكثيرة في الانهار الطبيعية ازدياداً قد يصل إلى 30%.

- 5) الترسب والتآكل: يمكن للترسب أن يعير قناة غير منتظمة إلى قناة منتظمة نسبياً وبالتالي ينقص من قيمة n بينما يؤدي مفعول التآكل إلى نتيجة عكسية ويزيد n. ومع ذلك فإن تأثير الترسب يتعلق بطبيعة المواد المترسبة وكيفية ترسبها، فمثلاً ترسب أمواج رملية في قناة منتظمة يزيد في الخشونة. تتعلق كمية التآكل وانتظامه بالمواد المشكلة لجدران القناة فالجدران الرملية والبحصية تتآكل بشكل أكبر من الجدران الغضارية.
- 6) الانسداد الجزئي للمقطع: إن وجود أغصان الأشجار وما شابه ذلك من العوائق في مجرى القناة يسعى لزيادة n وقيمة هذه الزيادة تتعلق بطبيعة العوائق وأبعادها وشكلها وعددها وتوزيعها.
- 7) المنسوب والتدفق: تتناقص n في أكثر الحالات بازدياد المنسوب وبازدياد التدفق فعندما يكون عمق الماء صغيراً يكون تأثير خشونة قاع القناة أكبر نسبياً في تبطئ الجريان، ولكن مع ذلك يمكن أن تكون n كبيرة في المناسيب العالية للمجاري ذات الضفاف الخشنة والمعشبة.

بعد التعرف على العوامل الأساسية التي تؤثر في أمثال الخشونة وضع Cowan طريقة لحساب n اعتباراً من العلاقة:

$$\mathbf{n} = (\mathbf{n}_0 + \mathbf{n}_1 + \mathbf{n}_2 + \mathbf{n}_3 + \mathbf{n}_4) \,\mathbf{m} \tag{22-2}$$

حيث:

القيمة الأساسية لـ n لقناة مستقيمة منتظمة السطوح.

. قيمة تضاف لـ  $n_0$  لتصحيحها بسبب عدم انتظام السطوح.

n<sub>2</sub>: قيمة تبين تأثير شكل وأبعاد مقطع القناة.

n<sub>3</sub>: قيمة تبين تأثير الانسداد.

ا: قيمة تبين تأثير النباتات وشروط الجريان.  $n_4$ 

m: عامل تصحيحي من أجل المنعطفات في القناة.

وببين الجدول (2-3) القيم المناسب اختيارها لهذه الأمثال:

الجدول (2-2) قيم الخشونة

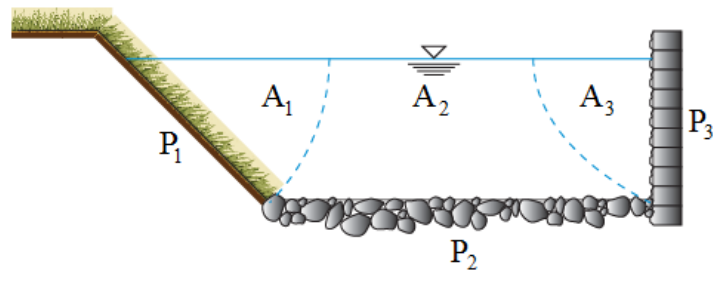
القيم		شروط القناة					
0.020		ترابية					
0.025		صخرية					
0.024	$\mathbf{n}_0$	بحص ناعم	المواد المنشأة منها القناة				
0.028		بحص خشن					
0.005		ضعيفة					
0.01	n <sub>1</sub>	متوسطة	درجة عدم الانتظام				
0.02		شديدة					
0.00		تدريجي					
0.005	$n_2$	متغير من حين لآخر	تغير مقطع القناة				
0.015-0.01		متواتر كثيراً					
0.00		مهمل					
0.01-0.015	$n_3$	ضعيف	التأثير النسبي للانسداد				
0.02-0.03		محسوس	العاليل التعلبي للرتعداد				
0.04-0.06		شدید					
0.005-0.01		ضعيفة					
0.01-0.025	n	متوسطة	النباتات				
0.025-0.05	n <sub>4</sub>	عالية	ر تونین				
0.05-0. 1		عالية جداً					
1.0		ضعيفة					
1.15	m	محسوسة	أهمية المنعطفات				
1.30		شديدة					

# 2-5 تصميم الأقنية المكشوفة لجريان منتظم

لأي مسألة تتعلق بحساب جريان منتظم في قناة مكشوفة نجد أن هناك متغيرات عديدة يجب إيجادها وهي:

- 1) التدفق المارQ: يمكن أن يكون التدفق مفروضاً علينا كأن يكون علينا بناء قناة لجر مياه إلى منطقة تجمع سكاني فحاجة هذا التجمع إلى المياه يحددها عدد السكان وسوية معيشتهم وحاجات الصناعة والسقاية والمواشي.. أو كأن يكون علينا بناء قناة لسقاية مساحة معينة من الأراضي الزراعية فإن الحاجة إلى الماء تحددها المساحة ونوع الزراعة ونوع الزراعة
- 2) السرعة V: لهذا الحساب عدة تطبيقات عملية مثلاً دراسة مفعول التآكل والترسيب في القناة.
  - 3) عمق الماء y: يطلب هذا الحساب لتعيين منسوب الماء في القناة.

عامل الخشونة n: فمثلاً قناة ترابية، ترابية مكسية داخلياً بصبة اسمنتية، حجرية، قرميدية، خشبية، معدنية، أنابيب مسبقة الصنع (بيتونية – أو بلاستيكية أو معدنية أو اسمنت امينتي). وإذا كانت الخشونة الوسطى غير متساوية على طول القناة الشكل (3-2) (بنية القاع تختلف عن بنية الجوانب مثلاً) لتطبيق علاقة مانينغ لقناة كهذه يصبح من الضروري حساب الخشونة المعادلة لكامل المحيط المبلول.



الشكل (2-3) بنية القاع تختلف عن بنية الجوانب

لحساب الخشونة المعادلة نقسم السطح الى N جزء  $(A_1,A_2,\dots A_N)$  بمحيط مبلول  $(n_1,\ R_{h1},A_{h2},\dots A_{hN})$  وتكون الخشونة  $(P_1,P_2,\dots P_N)$  وتكون الخشونة  $n_2,\dots n_N)$ 

ان لكل جزء من المقطع نفس السرعة الوسطية أي أن:

$$V_1 = V_2 = \dots = V_N = V = Q/A$$
 
$$A_1 + A_2 + \dots + A_N = \sum_{i=1}^N A_i = A$$
 وباعتبار أن

یکون:

$$V = \frac{1}{n_1} \left(\frac{A_1}{P_1}\right)^{2/3} J^{1/2} = \frac{1}{n_2} \left(\frac{A_2}{P_2}\right)^{2/3} J^{1/2} = \cdots$$
$$= \frac{1}{n_N} \left(\frac{A_N}{P_N}\right)^{2/3} J^{1/2} = \frac{1}{n_{eq}} \left(\frac{A}{P}\right)^{2/3} J^{1/2}$$

وبالتالى يمكن الحصول على قيمة امثال الخشونة بالعلاقة التالية:

$$n_{eq} = \left[ \frac{\sum_{i=1}^{N} P_{i} n_{i}^{3/2}}{P} \right]^{2/3}$$
(23-2)

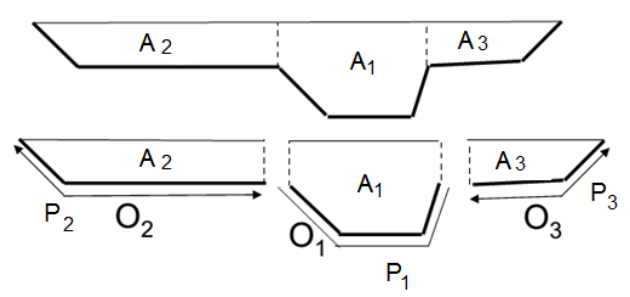
1) الميل الطولي لقاع القناة J :يفرض الميل الطولي علينا بموجب الشروط الطبوغرافية كأن يكون علينا تصميم قناة مكشوفة تصل بين موقعين البعد بينهما J وفرق المنسوب بينهما J فيكون الميل J غير أن بروفيل الأرض بين الموقعين غير مستو تماماً فقد يكون على القناة أن تجتاز هضبات وأودية لذلك تؤخذ وصلات متتالية ويجري الحساب لكل منها على حدى ونجد سلسلة من الميول J ...

$$J_{n} = \frac{y_{n}}{L_{n}} \tag{24-2}$$

ومن الممكن أن نلجأ صنعياً إلى تعديل الميل كأن نخفضه بقصد تخفيف السرعة في موقع ما حتى لا تتآكل كل جدران القناة أو أن نزيده بقصد زيادة السرعة في موقع حتى لا تنبت الأعشاب في القناة.

2) مقطع القناة A والعناصر الهندسية لمقطع القناة: يمكن أن يكون مقطع القناة مفروضاً علينا كما هو في حالة المجاري الطبيعية للمياه وبالإمكان إجراء بعض الاصلاحات في هذا المقطع كما يمكن أن يطلب منا تصميمه ويكون بشكل مستطيل شبه منحرف (ميول متعددة لجوانب القناة)، دائري، بيضوي (بأشكاله المتعددة) أو مركب وضمن الشكل الواحد يمكن أن نبني أبعاداً متفاوتة ففي القناة المستطيلة مثلاً يمكننا أن نزيد عرض قاع القناة على حساب العمق.

وعندما يكون المقطع مركباً يمكن تجزئته إلى مقاطع متجانسة الشكل ويكون التدفق المار في القناة مساوياً لمجموع التدفقات المارة في القسم الأوسط وفي القسمين الجانبيين الشكل.



الشكل (2-4) المقطع المركب

$$Q = A_1 V_1 + A_2 V_2 + \dots + A_N V_N$$

$$Q = \sum Q_i$$
(25-2)

أما المعادلات المستخدمة للحل فهي:

$$Q = \frac{1}{n} A R_h^{2/3} J^{1/2}$$
 معادلة مانينغ:

$$Q = A V$$
 ومعادلة الاستمرار

لحل مسألة ما يجب أن يكون هناك كميتين مجهوليتين فقط وذلك حتى يمكن إيجاد حل للمسألة.

فإذا اخترنا المقطع شبه المنحرف كمثال للمسائل الهيدروليكية الأساسية أثناء تصميم الأقنية المكشوفة، نجد أن معطيات التصميم تتحدد من خلال:

- 1) الأبعاد الهندسية للمقطع المائي وهي: عرض القناة من الأسفل (b) وميل الجوانب m وعمق الماء في القناة y.
  - .Q والميل الطولي للقناة J والتدفق المطلوب تمريره خلال القناة J

سوف ندرس الآن الحالات المختلفة التي يمكن أن نصادفها أثناء تصميم الأقنية المكشوفة. حيث يمكن تصنيف جميع الحالات إلى نوعين رئيسين من المسائل.

1) النوع الأول: يعطى في هذا النوع من المسائل الأبعاد الهندسة للمقطع المائي (b,y,m) وضمن هذا النوع من الممكن أن نصاف نماذج عدة نذكر منها:

# (1) ♦(1)

J تعطي الأبعاد الهندسية للمقطع المائي (b,m,y) كما يعطى ميل قاعدة القناة Q وعامل الخشونة D ويطلب تحديد التدفق المار في القناة D.

#### الحل:

نحدد في البداية سطح المقطع المائي A والمحيط المبلول بالعلاقات الآتية:

A = 
$$(b+m y) y$$
  
P =  $b+2 y \sqrt{1+m^2}$ 

• نحدد نصف القطر الهيدروليكي

$$R_h = \frac{A}{P}$$

- نحدد ثابت شيزي C بإحدى العلاقات المناسبة.
  - نحدد السرعة الوسطية للجربان بعلاقة شيزي

$$V = C\sqrt{R_h J}$$

• نحدد التدفق بالعلاقة

$$Q = A V$$

# (2) النموذج

يعطى أبعاد المقطع المائي (b,y,m) ويعطى أيضاً عامل الخشونة n والتدفق Q ويطلب تحديد الميل الطولى للقناة J.

#### الحل:

- نحدد القيم  $(C, R_h, P, A)$  كما في النموذج
  - نحدد السرعة الوسطية للجريان من العلاقة

$$V = \frac{Q}{A}$$

• نحدد الميل الطولي للقناة من العلاقة:

$$J = \frac{V^2}{C^2 R_h}$$

2) النوع الثاني: يعطى في هذا النوع من المسائل المواصفات الهيدروليكية للمقطع المائي (Q, J, n) كما يعطى ميل الجوانب (Q, J, n) ويطلب تحديد عمق الماء في القناة (Q, J, n) القناة في الأسفل (D, J, n) وضمن هذا النوع من المسائل يمكن أن نصادف النماذج التالية:

# ♦ النموذج (1)

يعطى في هذه الحالة المواصفات الهيدروليكية للمقطع المائي كما ذكرنا سابقاً وعرض القناة من الأسفل b ويعطى أيضاً ميل جوانب القناة m

الحل

• نحدد في البداية أمثال التدفق بالعلاقة

$$K = \frac{Q}{\sqrt{J}}$$

- نعطي لعمق الماء عدة قيم مفترضة ونحدد في كل حالة من هذه الحالات قيم K = f(y)
  - K = f(y) نرسم المنحني •
- نضع على المنحني قيمة K التي حصلنا عليها من شروط المسألة ونحدد عمق الماء المقابل لها والذي يؤمن التدفق المطلوب.
  - أو البحث عن قيمة y التي تؤمن قيمة التدفق المطلوب بالتقريب المتتالي.

# (2) **♦** النموذج

يعطى في هذه الحالة المواصفات الهيدروليكية للمقطع المائي (Q,y,J) ويعطى أيضاً m ويطلب تحديد عرض القناة من الأسفل b.

الحل:

• نحدد أمثال التدفق المطلوب بالعلاقة

$$K = \frac{Q}{\sqrt{J}}$$

- نعطي عرض القناة من الأسفل عدة قيم مقترحة ونحدد أمثال التدفق المقابل لكل قيمة من هذه القيم K = f(b).
  - $\cdot$  K = f(b) نرسم المنحنى

- نضع قيمة K والتي حددت من معطيات المسألة مع المنحني المذكور ونحصل على العرض b المطلوب والذي يمرر التدفق المطلوب في المسألة تحديداً.
  - أو البحث عن قيمة b الى تؤمن التدفق المطلوب بالتقريب المتتالى.

# 2-6 السرعة العظمى والسرعة الدنيا للجريان في الأقنية المكشوفة:

تحدد السرعة الوسطية V للجريان في الأقنية المكشوفة على أن تكون أقل من السرعة العظمى  $V_{max}$  المسموح بها وأكبر من السرعة الصغرى  $V_{max}$  المقنية المكشوفة.

 $V_{min} < V < V_{max}$ 

أقل سرعة مسموح بها هي السرعة التي ستبقي الرواسب في حالة عالقة في القناة ولا تسمح بترسيب الطمي في القناة. إنها أيضاً السرعة التي لا تؤدي إلى نمو النباتات المائية والطحالب في القناة. وهذه الظروف تغير شكل مقطع القناة العرضي وتسبب انحرافاً للجريان عن القيمة التصميمية المحسوبة من معادلة الجريان المنتظم. إن القيمة المقبولة عادة كأقل سرعة مسموح بها تتراوح من 0.6-0.9.

بتطبيق معادلة الجريان المنتظم ،مثل معادلة مانينغ ، يتبين ان سرعة الجريان تعتمد على ميل قاع القناة. أي عملياً ، إن ميل قاع القناة يعتمد على تضاريس السطح التي تمر فوقها القناة. ويجب التأكد من أن الميل في المقاطع المنتظمة يسمح بأقل سرعة مسموح بها.

ومن الممكن تحديد قيمة السرعة الدنيا المسموح بها في الأقنية المكشوفة بحيث لا تسمح بحدوث ترسبات للمواد العالقة في المياه وتتعلق هذه السرعة بنوعية وكمية المواد المحمولة وبعمق غزارة المياه، بعلاقة تجرببية من الشكل:

$$V_{\min} = a.y^{0.64} \tag{26-2}$$

حيث:

a: ثابت يتعلق بنوع المواد المحمولة في المياه وتعطى قيمتها في الجدول (4-2). y: عمق الماء في القناة.  $V_{min}$ : السرعة الدنيا المقدرة.

وبشكل عام يمكن تحديد السرعة الدنيا  $\, {
m V}_{
m min} \,$  في الأقنية:

 $V_{min} \ge 0.25 \, ext{m/sec}$  الماء الحاوي على جزيئات صغيرة جداً

جدول (2-2) قيمة الثابت

a الثابت	المواد المحمولة في المياه	
0.4	طمي خفيف مع رمل ناعم جداً	1
0.55	رمل ناعم d=0.4mm	2
0.63	رمل متوسط القطر	3
0.9	رمل خشن	4
0.67	رمل ذو قطر كبير نسبياً	5

قد يسمح في بعض الأحيان والحالات الخاصة بأن تكون سرعة الجريان الوسطية في القناة أصغر من السرعة الدنيا المسموح بها وفي مثل هذه الحالات يجب إجراء تنظيف دوري ومستمر للقناة من المواد المترسبة بها.

تحدد السرعة العظمى المسموح بها V<sub>max</sub> بحيث لا تحدث عملية جرف وحت لجدران القناة غير المكسوة أو لا يحدث تخريب لكسوة القناة. إن السرعة العظمى تعتمد على نوع تربة أو تكسية القناة، حيث هناك علاقات تجريبية تحدد قيمة السرعة العظمى في الأقنية المشكوفة والجدول (2-5) يحدد عمود قيمة السرعة العظمى في الأقنية المكشوفة بحسب مادة جدران وقاع القناة.

أما إذا كانت سرعة الجريان أكبر من السرعة العظمى المسموح بها فيجب في هذه الحالة اتخاذ إجراءات هندسية لتحقيق الشرط التالى:

$$V \le V_{\text{max}} \tag{27-2}$$

الإجراءات المتخذة عادة لرفع قيمة السرعة العظمى المسموح بها  $\, V_{max} \,$  هي تكسية القناة بمواد البناء المختلفة.

أثناء تصميم الأقنية قد نحصل على قيم عالية للسرعة الوسطية للجريان، وذلك نتيجة للميول الكبيرة للأرض الطبيعية، في هذه الحالة نعمل على تخفيض قيمة هذه السرعة بطرق مختلفة وذلك بالاعتماد على علاقة شيزى والتي تكتب على النحو التالى:

$$V = C \sqrt{R_h J}$$

الجدول (2-2) قيمة السرعة العظمى في الأقنية المكشوفة

ي القناة	لوسطي فر	العمق ا	a tourn					
3m 2m 1m		1m	نوع تربة القناة أو الكسوة					
V	max m/se	ec						
0.6	0.55	0.45	تربة القناة مؤلفة من رمال ذات حبيبات صغيرة	1				
0.85	0.75	0.7	تربة القناة مؤلفة من رمال ذات حبيبات كبيرة	2				
1.1	1	0.85	تربة القناة مؤلفة من الحصى الصغيرة	3				
1.85	1.65	1.45	تربة القناة مؤلفة من الحصى الكبيرة	4				
4.65	4.3	3.8	القناة مكساة بأحجار الرصف المتوسطة	5				
5. 5	5.35	-	القناة مكساة بأحجار قطرها يزيد عن 10cm	6				
4.5	4.0	3.5	تربة القناة من صخر كلسي	7				
22	20	18	تربة القناة صخر متسع ذو بنية متحولة	8				
1.1	0. 95	0.85	تربة القناة من الطين متوسط التراخي أو الانضغاط	9				
9	8	7	تكسية بيتونية أو بيتون مسلح مع تنفيذ بيتون عادي السطح	10				
12	11	9	تكسية مشابهة للبند 10 مع بيتون مائي	11				
4.5	4.0	2.5	تكسية من حجر الرصف لطبقة الفلتر العاكس	12				
4.5	4.0	3.5	3.5	3.5	من الأحجار المتكسرة ذات سماكة 20cm	12		
_	0.1	0.1	المجرى يحتوي على أشنيات ريشية أو قصبية	13				
1.4	1.2	1	التكسية من التربة الحاوية على الأعشاب والجذور	14				
0.8	0.7	0.6	تربة القناة تحتوي على حشائش مزروعة	15				

إذا نظرنا إلى هذه العلاقة فإننا نلاحظ امكانية تخفيض السرعة الوسطية للجريان وذلك من الناحية المبدئية عبر الاحتمالات التالية:

1- تخفيض قيمة نصف القطر الهيدروليكي: تعطى قيمة نصف القطر الهيدروليكي بالعلاقة التالية  $\frac{A}{P}=\frac{A}{P}$  لذا نلاحظ من هذه العلاقة أن إنقاص قيمة  $R_h=\frac{A}{P}$  يتم إما بإنقاص سطح المقطع المائي أو بزيادة المحيط المبلول P وهذا لا يمكن الحصول عليه عملياً لأن أية زيادة أو نقصان لسطح المقطع المائي ستتبعه بالضرورة زيادة أو نقصان للمحيط المبلول بالنسبة نفسها تقريباً وبالتالي لا نستطيع عملياً الحصول على نتائج ملموسة عير هذا الحل.

يلاحظ من العلاقة أن إنقاص قيمة ثابت شيزي يتم نظرياً بزيادة قيمة عامل الخشونة n وهذا يستدعي عملياً تغيير نوع التربة المشكلة للقناة أو تغير نوع التكسية التي تغطي القناة وهذا الحل مكلف من الناحية الاقتصادية وغير عملي.

3- تخفيض قيمة الميل الطولي للقناة J: يتم تخفيض قيمة الميل الطولي للقناة عن طريق انشاء ما يسمى بالمدارج المائية على المقطع الطولي للقناة.

## 2-6-1 الاقنية القابلة للحت بدون ترسيب:

يمكن دراسة هذه الاقنية على مبدأ السرع الحدية ، الاصغرية أو الاعظمية التي ذكرناها في الفقرة (2-5). الا انه يمكن أيضاً عمل هذه الدراسة معتمدين على مبدأ القوة الجارة كما يلى:

عنما يجري الماء في قناة تؤثر باتجاه الجريان على سرير القناة. تسمى هذه القوة بالقوة الجارة أو قوة القص. في الجريان المنتظم تساوي قوة الجر الى مركبة قوة الثقالة المؤثرة على كتلة الماء باتجاه مواز لارضية القناة وتساوي γ A L J (كما راينا في الفقرة 2-2). وبالتالي فان القيمة الوسطية لقوة الجر في وحدة السطح المبلول أو جهد القص على طول المحيط المبلول يساوي:

$$\tau = \frac{\gamma A L J}{P L} = \gamma R_h J \tag{28-2}$$

حيث: ٧: الوزن النوعي للماء.

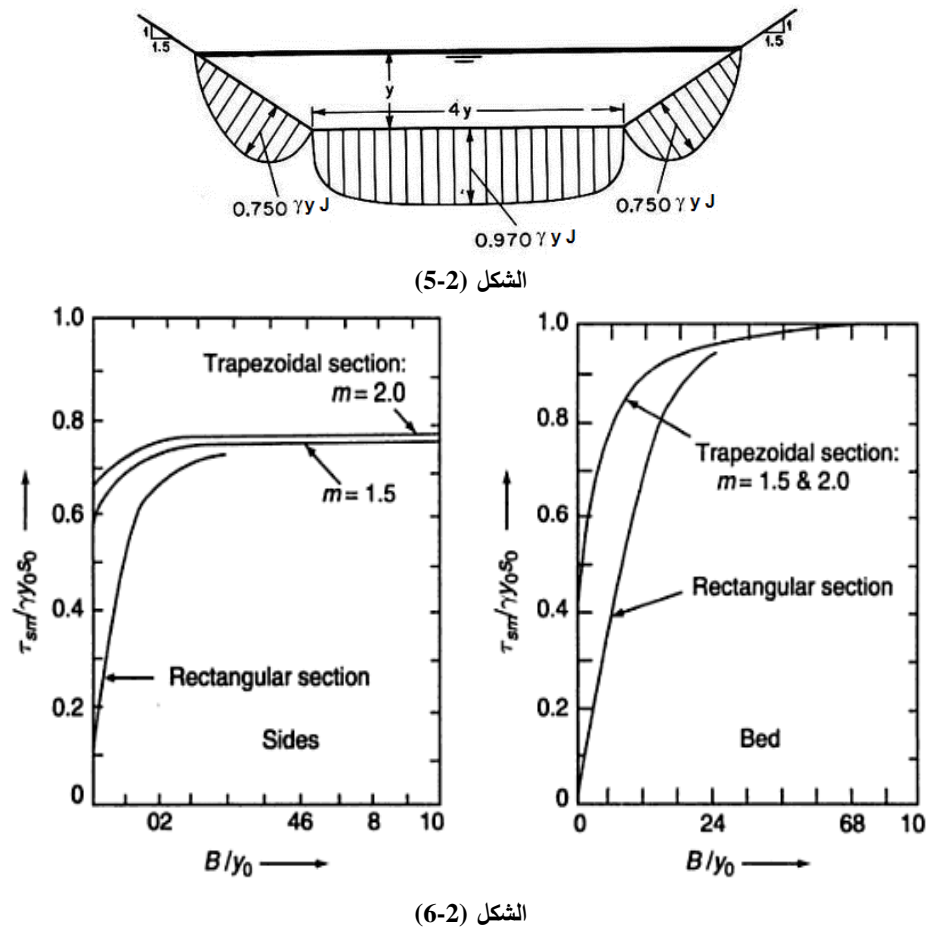
نصف القطر الهيدروليكي.  $R_h$ 

في قناة مكشوفة عريضة جداً يمكن اعتبار أن نصف القطر الهيدروليكي يساوي للعمق وبالتالي:

$$\tau = \gamma \text{ y J} \tag{29-2}$$

نلفت النظر إلى أن القوة الجارة الواحدية  $\tau$  ليست موزعة بانتظام على طول المحيط المبلول، ماعدا في حالة الاقنية العريضة جداً. يبين الشكل (2-5) توزيعاً نموذجياً للقوة الجارة في قناة ذات مقطع شبه منحرف. يتعلق شكل التوزيع مع شكل المقطع ولكنه لايتغير عملياً مع أبعاد المقطع.

نتيجة لعدة دراسات تجريبية أمكن وضع منحنيات الشكل (2-6) تعطي قيمة القوة الجارة الواحدية الاعظمية على الجوانب وعلى القعر. بصورة عامة من أجل أقنية ذات مقطع شبه منحرف المستعمل عادة ،تصل القيمة الاعظمية للقوة الجارة على القعر الى قيمة قريبة من  $0.75\gamma \ y \ J$  وعلى الجوانب الى قيمة قريبة من  $0.75\gamma \ y \ J$ 



# نسبة القوى الجارة:

على كل جزيئة صلبة موجودة على الجانب المائل للقناة الشكل (2-7) التي يجري فيها الماء. تؤثر قوتان: قوة الجر a  $\tau$  ومركبة قوة الثقالة (الوزن)  $W_s \sin \phi$  التي تسعى لدحرجة الجزيئة الصلبة لأسفل المنحدر.

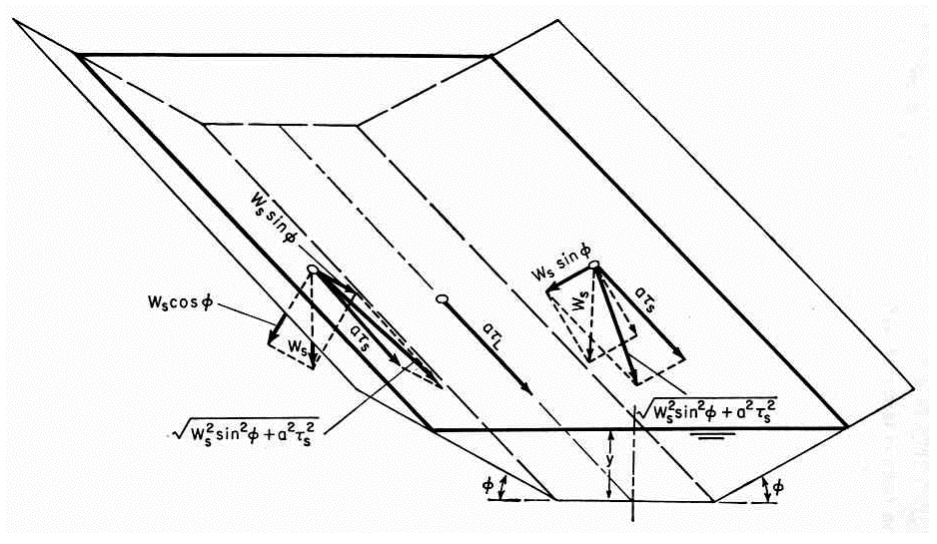
حيث: a:السطح الفعال للجزيئة. W: الوزن المغمور للجزيئة.

W :زاوية ميل الجوانب.

محصلة هاتين القوتين المتعامدتين تساوي:

$$\sqrt{W_{s}^{2} \sin^{2} \phi + a^{2} \tau^{2}}$$
 (30-2)

عندما تكون هذه القوة كبيرة بشكل كاف تتحرك الجزيئة الصلبة.



الشكل (7-2)

حسب مبدأ الحركة والاحتكاك في الميكانيك يمكن أن نفرض أن قوة المقاومة لحركة الجزيء مساو للقوة النسبية للحركة عند بدء الحركة. ان قوة المقاومة لحركة الجزيئة تساوي للقوة الناظمية  $\cos \phi$  ، مضروبة بأمثال الاحتكاك أو  $\cos \phi$  حيث  $\cos \phi$  هي زاوية الاحتكاك.

$$W_{s} \cos \phi \, tg\theta = \sqrt{W_{s}^{2} \sin^{2} \phi + a^{2} \tau^{2}}$$
 (31-2)

التي نستنتج منها قيمة القوة الجارة الواحدية التي تسبب بدء الحركة:

$$\tau_{s} = \frac{W_{s}}{a} \cos \varphi \, tg \, \theta \sqrt{1 - \frac{tg^{2}\varphi}{tg^{2}\theta}}$$
 (32-2)

بنفس الطريقة، عندما تبدأ الجزيئة الصلبة بالحركة على القعر  $(\phi=0)$ نتيجة القوة الجارة  $a \tau L$ 

$$\tau_{L} = \frac{W_{s}}{a} \operatorname{tg} \theta \tag{33-2}$$

إن نسبة  $\tau_{\rm L}$  الى  $\tau_{\rm L}$  تدعى نسبة القوى الجارة.

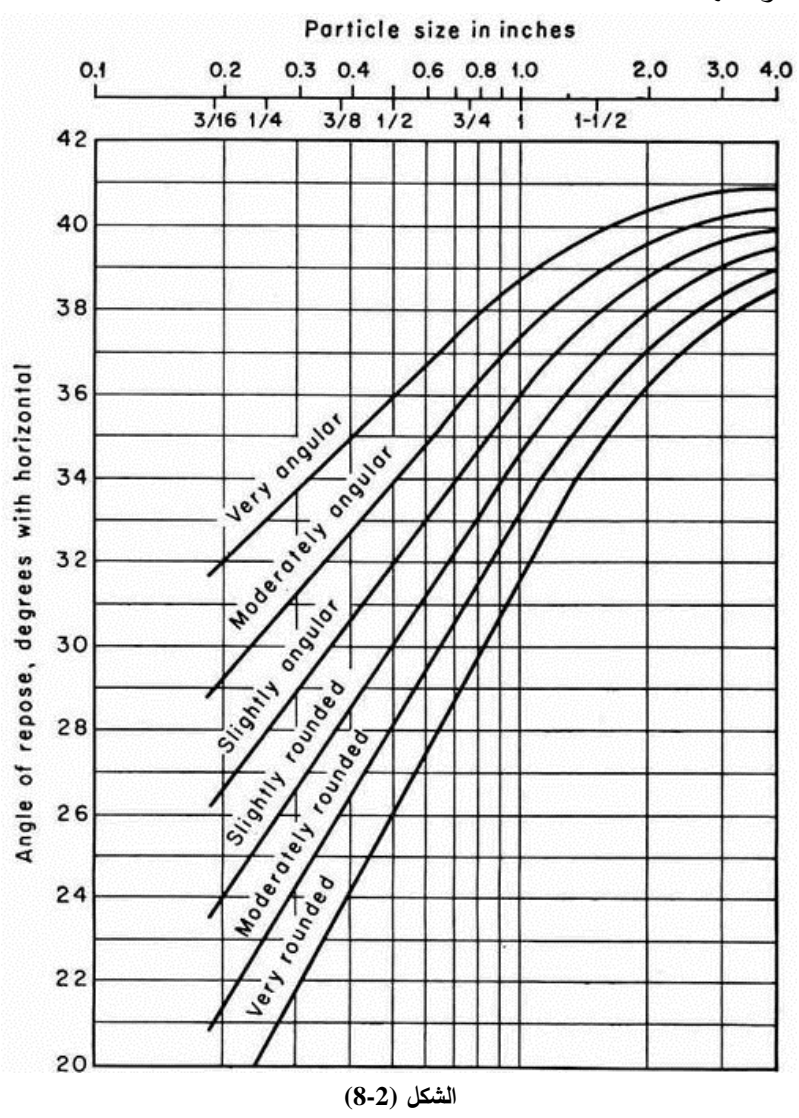
 $\chi$  من العلاقتين (2-32) و (2-33) نستنتج قيمة هذه النسبة

$$\chi = \frac{\tau_s}{\tau_t} = tg \,\theta \,\sqrt{1 - \frac{tg^2 \phi}{tg^2 \theta}}$$

التي بعد الاختصار تصبح:

$$\chi = \sqrt{1 - \frac{tg^2 \varphi}{tg^2 \theta}} \tag{34-2}$$

نرى من هذه العلاقة ان النسبة  $\chi$  تتبع فقط ميل الجوانب وزاوية الراحة للمواد  $\theta$  من أجل المواد المتماسكة تكون قوى التماسك كبيرة بالنسبة لمركبة الثقالة التي تسبب دحرجة الجزيئات بحيث يمكن اهمال الثقالة. وبالتالي تؤخذ زاوية الراحة للمواد بعين الاعتبار فقط في حالة المواد غير المتماسكة. نبين في الشكل (2-8) منحنيات تغير الزاوية  $\theta$  تبعاً لقطر الحبيبات وشكلها.



#### القوة الجارة المسموح بها:

القوة الجارة المسموح بها هي القيمة الاعظمية للقوة الجارة الواحدية التي لا تسبب حتاً هاماً للمواد المشكلة لسرير القناة. يمكن تحديد هذه القيمة بالتجارب المخبرية وتسمى القيم التي تنتج عن هذه التجارب القوة الجارة الحرجة. ولكن بينت التجربة أن الاقنية الحقيقية المنشأة من مواد خشنة غير متماسكة تتحمل قيماً أكبر من القيم الحرجة للقوة الجارة المقاسة في المختبر ويعود ذلك لاحتواء الماء والتربة كمية من الكولوئيد والمواد العضوية التي تسبب شيئاً من التماسك كما أنه يمكن قبول وجود حركة ضعيفة للمواد في الاقنية الحقيقية دون أن يؤدي ذلك الى خطر في استقرار القناة. بما أن القيمة المسموح بها للقوة الجارة هي معيار للشروط الحقلية فيمكن أن تعتبر القيمة المسموح بها أصغر من القيمة الحرجة.

## تطبيق طريقة القوة الجارة:

ان الخطوة الاولى لتصميم قناة ترابية بطريقة القوة الجارة تتألف من اختيار مقطع تقريبي (تعتمد على خبرة المصمم)، جمع عينات من المواد المشكلة لسرير القناة، وتعيين خواص هذه العينات. من هذه المعطيات يمكن للمصمم أن يفحص هذا المقطع للتأكد من استقراره على كل قسم من القناة ولتعيين المقطع الاصغري الذي يظهر مستقراً. اذا كانت المواد غير متماسكة يجب الاخذ بعين الاعتبار تأثير المركبة اتي تدحرج المواد بالإضافة الى تأثير توزيع القوى الجارة. من أجل الاقنية المشكلة من مواد متماسكة يمكن اهمال تأثير المركبة المدحرجة والاكتفاء بتوزيع القوى الجارة كمعيار للتصميم. ان الاختيار النهائي لأبعاد المقطع يعتمد اخيراً على اعتبارات عملية (غير هيدروليكية).

# 2-7 تصميم المقطع الأفضل هيدروليكياً Design for the best hydraulic section:

يمكن أثناء التصميم الهيدروليكي للأقنية أن نختار مقاطع عرضية مختلفة، فمثلاً نستطيع أن نغير من عمق القناة ومن عرضها وكذلك نستطيع أن نغير من الميل الطولي للقناة مع المحافظة على المواصفات الهيدروليكية المطلوبة. وفي النهاية فإننا نختار المقطع الأقل كلفة من الناحية الاقتصادية والأسهل تنفيذاً في الإنشاء والأفضل أثناء الاستثمار. ولذلك فإننا عادةً ما نجري مقارنة فنية اقتصادية لحلول مختلفة ونختار منها الحل الأفضل فنياً واقتصادياً.

لإمرار تدفق معين Q في مقطع قناة يجب على هذا المقطع أن يخضع إلى الشروط الآتية:

- 1- عرض أقل ما يمكن: سهولة الصيانة، فاقد بالتسرب أقل، تكاليف حفريات أقل.
  - 2- مقطع أصغر ما يمكن: لإنقاص حجم الحفريات والكلفة الكلية للمشروع.
    - 3- محيط مبلول أصغر ما يمكن: لإقلال كلفة الإكساء.
- 4- جعل المقطع بحيث تكون السرعة ليست صغيرة جداً لتجنب ترسب المواد العالقة ولا كبيرة جداً لتجنب الحت.

إذا عدنا إلى معادلة التدفق:

$$Q = C A \sqrt{R_A j} = \frac{1}{n} A R_h^{2/3} J^{1/2} = K J^{1/2}$$

تبين أن التدفق يزداد بزيادة أمثال التدفق K لمقطع الجريان والتي تزيد بدورها بزيادة نصف القطر الهيدروليكي  $R_h$  أي بزيادة مساحة مقطع الجريان A أو بنقصان طول المحيط المبلولP.

لمقطع جريان له مساحة محددة وله شكل هندسي محدد على شكل مستطيل مثلاً مساحته A = b y عمكن اختيار عدد لا نهائي من المقاطع لها نفس الشكل الهندسي (المستطيل) ونفس المساحة وتختلف فيما بينها في قيمة كل من y و d ، أي في قيمة النسبة b/y. بين هذه المقاطع كلها يوجد مقطع واحد فقط يمتلك أقل قيمة لطول المحيط المبلول. هذا المقطع بالتالي يمتلك قيمة أكبر لنصف القطر الهيدروليكي وبالتالي فهو الذي يمرر أكبر تدفق بين هذه المقاطع كلها. يعرف هذا المقطع بأنه المقطع الأفضل هيدروليكياً أو الأكثر اقتصاديةً.

أي أن المقطع الأفضل هيدروليكياً لقناة ذات شكل هندسي محدد ومساحة مقطعها معلومة، يعرف بأنه المقطع الذي يمرر أكبر تدفق ممكن أو المقطع الذي يمتلك أقل طول للمحيط المبلول. فما هو الشرط اللازم حتى يكون مقطع الجريان هو الأفضل هيدروليكاً؟ يعطى التدفق بالعلاقة:

$$Q = A V = C A \sqrt{R_h J} = C A \sqrt{\frac{A}{P} J}$$

$$Q = C \sqrt{J} (\frac{A^3}{P})^{1/2} = K (\frac{A^3}{P})^{1/2}$$

نحصل على التدفق الأعظمي في الحالة العامة بوضع  $\frac{dQ}{dv} = 0$  أي:

$$d(\frac{A^3}{P})^{1/2} = 0$$

أو:

$$\frac{3A^2dA \ P - dP \ A^3}{P^2} = 0$$

$$3A^2dA P - dP A^3 = 0$$

بالتقسيم على  $A^2$  نحصل على المعادلة العامة التي تعطي شرط حدوث التدفق الأعظمى وهي:

$$3P dA - dP A = 0$$
 (35-2)

إذا انطلقنا من معادلة التدفق بالاعتماد على معادلة مانينغ بدلاً من شيزي نجد:

$$Q = \frac{1}{n} A R_h^{2/3} J = K A \frac{A^{2/3}}{P^{2/3}} = K \frac{A^{5/3}}{P^{2/3}}$$

وبالتالي يكون التدفق أعظمياً عندما:

$$\frac{dQ}{dy} = 0 \Rightarrow d(\frac{A^{2/3}}{P^{2/3}}) = 0 \Rightarrow d(\frac{A^5}{P^2}) = 0$$
$$\frac{5A^4dA P^2 - 2P dP A^5}{P^4} = 0$$

ويصبح لدينا:

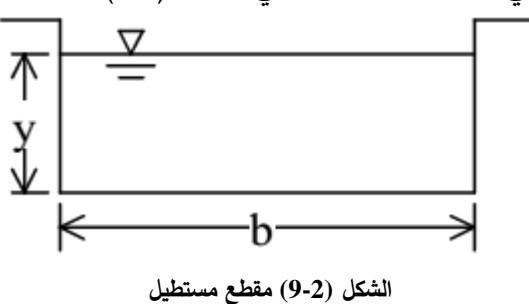
$$5P dA - 2 dP A = 0$$
 (36-2)

لنستعرض فيما يلي أمثلة على طريقة تحديد المقطع الأفضل هيدروليكياً إذا كان الشكل الهندسي للمقطع معلوم:

## 2-7-1 مقطع مستطيل

من أجل أن يعطي مقطع ثابت A تدفقاً أعظمياً نضع dA=0 في العلاقة السابقة فينتج أن dP=0 أي أن المحيط المبلول يجب أن يكون أصغر ما يمكن.

نحسب P بدلالة عرض القناة b أو عمق القناة y ثم نعدم المشتق P فنستخرج العلاقة بين v و v التي تحقق التدفق الأعظمي الشكل v العلاقة بين v العلاقة



إن مساحة المقطع لقناة مستطيلة المقطع:

$$A = b y \Rightarrow b = \frac{A}{y}$$

$$P = b + 2 y$$

بالتعويض نجد:

$$P = \frac{A}{y} + 2y$$
 (37-2)

وحتى يكون المقطع أفضلياً نضع:

$$\frac{dP}{dy} = 0$$
$$-\frac{A}{y^2} + 2 = 0$$
$$\frac{b y}{y^2} = 2$$
$$b = 2 y$$

وبالتالي يصبح:

$$b = 2 y$$
 $A = 2 y^{2}$ 
 $T = b$ 
 $P = 2 y + 2 y = 4 y$ 
 $R_{h} = \frac{y}{2}$ 
(38-2)

أي حتى يكون المقطع المستطيل الأفضل هيدروليكياً يجب أن يكون عرض القناة يساوي ضعف ارتفاع الماء في القناة.

### 2-7-2 قناة ذات مقطع شبه منحرف

تعطى أبعاد المقطع الموضح بالشكل (2-10)، وبالتالي يكون:

A = (b + m y) y  $P = b + 2y \sqrt{1 + m^2}$   $\sqrt{\frac{y}{m}}$   $\sqrt{\frac{b}{m}}$   $\sqrt{\frac{1}{m}}$   $\sqrt{\frac{1}{m}}$   $\sqrt{\frac{1}{m}}$   $\sqrt{\frac{1}{m}}$ 

ولكي يكون هذا المقطع أفضلياً ويعطي أكبر تدفق ممكن من أجل مقطع ثابت dP=0 أي dA=0 فيجب أن يكون المحيط المبلول أصغرياً dA=0 ومن علاقة المقطع نجد:

$$b = \frac{A}{y} - m y \tag{39-2}$$

بالتعويض في علاقة P

$$P = (\frac{A}{y} - m y) + 2y \sqrt{1 + m^2}$$

$$P = \frac{A}{y} + y (2 \sqrt{1 + m^2} - m)$$

نرمز ب  $\lambda$  للمقدار  $\lambda$  فتصبح المعادلة الأخيرة على الشكل:

$$P = \frac{A}{y} + \lambda y \tag{40-2}$$

فیکون:

$$\frac{dP}{dy} = 0 \Rightarrow -\frac{A}{y^2} + \lambda = 0$$

$$A = \lambda y^2$$
(41-2)

نعوض في معادلة b السابقة فيصبح:

$$b = \frac{\lambda y^2}{y} - m y = \lambda y - m y$$

$$b = (\lambda - m) y$$
(42-2)

نعوض b في معادلة P فيكون:

$$P = \frac{\lambda y^2}{y} + \lambda y = 2 \lambda y \tag{43-2}$$

ومنه فإن نصف القطر الهيدروليكي في المقطع الثابت كي يعطي أعظم تدفق ممكن يساوى:

$$R_{h} = \frac{A}{P} = \frac{y}{2} \tag{44-2}$$

نلاحظ أن المقطع المستطيل يمثل حالة خاصة من المقطع شبه المنحرف حيث  $b=2\;y\;\;\text{ephilip}\;\;\lambda=2\;\;\text{m}=0$  وبالتالي  $m=0\;\;\text{cphilip}\;\;$ 

نلاحظ اننا في العلاقات السابقة لعناصر المقطع الأفضلي بأننا لم نتعرض إلى زاوية ميل جوانب القناة  $\theta$  على الأفق، أي انه من أجل كل قيمة لميل الجوانب  $\theta$  ميل جوانب القناة  $\theta$  على الأفق، أي انه من أجل كل قيمة لميل الجوانب  $\theta$  على المساحة المائية  $\theta$  ثابتة هنالك تدفق أعظمي يحدث  $\theta$  بعين  $\theta$  بين  $\theta$ 

على أن هناك قيمة معينة لـ  $\theta$  يكون عندها التدفق أكبر من أية قيمة أعظمية أخرى وندعو المقطع عندئذ بالمقطع الأفضلي الاقتصادي most economical section مع الإبقاء على المساحة الثابتة، ونحصل على تلك القيمة لـ  $\theta$  كما يلى:

تبين العلاقة  $\frac{y}{2}=R_h$  بيكون أعظمياً إذا كانت y أعظمية في المقطع ذي المساحة y الثابتة والذي يحقق علاقات المقطع الاقتصادي وتكون y أصغر ما يمكن كما تشير إلى ذلك العلاقة السابقة y إذن:

نشتق المقدار  $\lambda$  بالنسبة لـ  $\theta$  ونجعل المشتق صفراً فيكون:

وجدنا سابقاً أننا اعتبرنا

$$\lambda = 2\sqrt{1 + m^2 - m}$$

$$\lambda = 2\sqrt{1 + \frac{\cos^2 \theta}{\sin^2 \theta}} - \frac{\cos \theta}{\sin \theta} = \frac{2}{\sin \theta} - \frac{\cos \theta}{\sin \theta}$$

$$\lambda = \frac{2 - \cos \theta}{\sin \theta}$$

فيكون:

$$\frac{dy}{d\theta} = \frac{\sin^2 \theta - \cos \theta (2 - \cos \theta)}{\sin^2 \theta} = 0$$

$$\sin^2 \theta - 2 \cos \theta + \cos^2 \theta = 0$$

$$1 - 2 \cos \theta = 0$$

$$\cos \theta = 0.5 \Rightarrow \theta = 60^\circ$$
(45-2)

أي يكون في المقطع الذي تميل جدرانه بزاوية  $\theta = 60^{\circ}$ 

$$\lambda = 1.732$$

$$A = 1.732 \text{ y}^{2}$$

$$b = 0.828 \text{ y}$$

$$P = 3 \text{ b}$$
(46-2)

ملاحظات على المقطع الافضلي الاقتصادي لشبه المنحرف:

وجدنا أن:

$$P = \lambda y^{2} = \left(2\sqrt{1+m^{2}} - m\right)y^{2} = \left(b + m y\right)y$$
 (47-2)

فينتج:

$$2 y \sqrt{1+m^{2}} - m y = b + m y$$

$$y \sqrt{1+m^{2}} = \frac{b}{2} + m y = \frac{T}{2}$$
(48-2)

وهذا يعني أن نصف طول السطح الحر يساوي طول الجانب المائل للمقطع ، وبما  $m = \frac{1}{\sqrt{3}} \ \ {\rm reg} = 60^\circ \ \ {\rm fi}$  أن الزاوية  $\theta = 60^\circ$  تكون  $\theta = 60^\circ$ 

بالتطبيق نجد:

$$y\sqrt{1+\frac{1}{3}} = \frac{b}{2} + \frac{y}{\sqrt{3}}$$

$$\frac{2y}{\sqrt{3}} = \frac{b}{2} + \frac{y}{\sqrt{3}}$$

$$\frac{b}{2} = \frac{2y}{\sqrt{3}} - \frac{y}{\sqrt{3}}$$
(49-2)

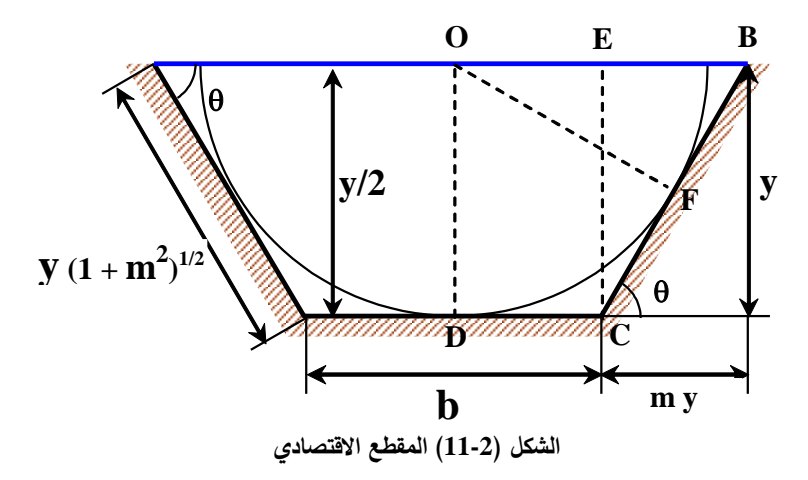
وتكون:

$$b = \frac{2y}{\sqrt{3}}$$

وبما ان طول الجانب المائل مقداره

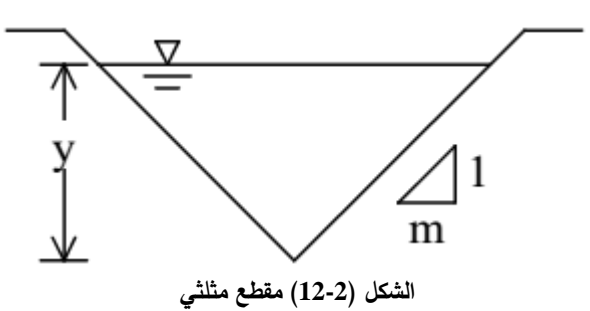
$$y\sqrt{1+m^2} = \frac{2y}{\sqrt{3}} = b ag{50-2}$$

أي أن هذا المقطع الأفضل هيدروليكياً هو هندسياً عبارة عن شكل نصف مسدس حيث يمكن رسم هذا المقطع مماساً لدائرة قطرها ينطبق على السطح الحر للماء كما هو واضح بالشكل (2-11).



# 2-7-2 قناة ذات مقطع مثلثى:

يبين الشكل (2-2) مقطع مثلثي حيث يكون هذا المقطع أفضلياً ويعطي أكبر تدفق ممكن من أجل مقطع ثابت A=cte أي A=cte فيجب أن يكون المحيط المبلول أصغرياً dP=0:



$$A = \lambda y^2 \implies y = \sqrt{\frac{A}{m}}$$
 (51-2)

$$P = 2 y \sqrt{1 + m^2}$$
 (52-2)

نعوض قيمة y في علاقة المحيط المبلول فيكون:

$$P = 2\sqrt{\frac{A}{m}}\sqrt{1+m^2} = 2\sqrt{A}\left(\frac{1+m^2}{m}\right)^{\frac{1}{2}}$$

$$\frac{dP}{dm} = 0$$

$$2\sqrt{A}\left(\frac{1+m^2}{m}\right)^{-\frac{1}{2}}\left(\frac{2m^2-1-m^2}{m^2}\right) = 0$$

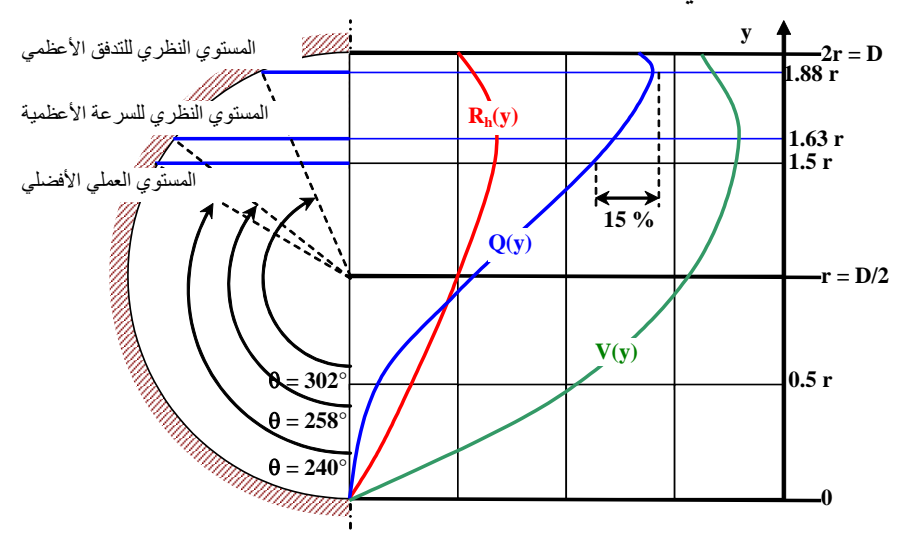
$$m^2 - 1 = 0 \qquad m = 1$$
(53-2)

ولكن:

$$m = 1$$
 $\cot g \theta = 1 \implies \theta = 45^{\circ}$ 
(54-2)

### 2-7-2 قناة ذات مقطع دائري:

في هذه الحالة سنفتش عن ارتفاع الماء y في قناة دائرية المقطع ذات نصف قطر ثابت r الذي يعطي أعظم تدفق ممكن الشكل (2-13). أي سنعين زاوية القوس المبلل p الموافقة للتدفق الاعظمي.



الشكل (2-13) المقطع الدائري

وقد وجدنا أن حدوث التدفق الأعظمي باستخدام ثابت شيزي هو:

$$3P dA - dP A = 0$$

من أجل r = cte ينتج:

$$A = \frac{r^2}{2}(\theta - \sin \theta) \tag{55-2}$$

$$dA = \frac{r^2}{2} (1 - \cos \theta) d\theta \tag{56-2}$$

المحيط المبلول:

$$P = r \theta$$

$$dP = r d\theta$$
(57-2)

بالتعويض في المعادلة العامة للمقطع الافضلي لشيزي

$$3r\theta \frac{r^2}{2}(1-\cos\theta) - \frac{r^2}{2}(\theta-\sin\theta)r = 0$$
(58-2)

 $2\theta - 3\theta\cos\theta + \sin\theta = 0$ 

وهي التي تعطي الزاوية  $\theta$  للقوس المبلل الموافقة للتدفق الأعظمي في القناة ذات D=2r . تحل هذه المعادلة بالتجريب فينتج:

$$\theta = 308^{\circ} \tag{59-2}$$

ويكون ارتفاع الماء الموافق لأعظم تدفق في المقطع الدائري:

$$y = r + r \cos \left(\frac{2\pi - \theta}{2}\right) = r + r \cos \left(\pi - \frac{\theta}{2}\right)$$

$$y = r \left(1 - \cos \frac{\theta}{2}\right)$$
(60-2)

$$y = 0.95 D$$
 (61-2)

بالتعويض في المعادلة العامة للمقطع الافضلي لمانينغ

5P dA - 2 dP A = 0

نجد:

$$5 r \theta \frac{r^2}{2} (1 - \cos \theta) - 2 \frac{r^2}{2} (\theta - \sin \theta) r = 0$$

$$3 \theta - 5 \theta \cos \theta + 2 \sin \theta = 0$$

$$(62-2)$$

بالتجريب:

$$\theta = 302^{\circ} \ 20'$$
  
y = 0.938 D (63-2)

ينقص التدفق في القناة فوق هذا الارتفاع كما يظهر في الشكل لأنه بزيادة y يزداد المحيط المبلول، إن الزيادة الحاصلة في المحيط المبلول هي أكبر من الزيادة الحاصلة في سطح المقطع المائي وهذا يؤدي لنقصان السرعة لزيادة الاحتكاك.

$$V = \frac{1}{n} R_h^{\frac{2}{3}} J^{\frac{1}{2}}$$

 $Q = A \ V$  أما نقصان التدفق فيمكننا تغسيره بالاعتماد على معادلة الاستمرار  $Q = A \ V$  إن الزيادة الحاصلة في المقطع المائي A هو أقل من النقصان الحاصل في السرعة وبالتالى فإن ذلك يؤدى إلى نقصان التدفق.

عملياً نأخذ  $\theta = 240^{\circ}$  بدلاً من  $\theta = 308^{\circ}$  لدرء احتمال انسداد المقطع المائي بالأجسام الطافية التي قد تكون محمولة بالمياه مما قد يسبب انغلاق المقطع المائي وتحويل الجربان من مكشوف الى مضغوط.

من أجل  $\theta = 240^{\circ}$  يكون  $y = 0.75\,\mathrm{D}$  وتمثل هذه الأبعاد التصميم العملي للأنابيب الدائرية.

تجدر الملاحظة بان ارتفاع الماء الموافق لأعظم تدفق في القناة ليس هو الارتفاع الموافق لأعظم سرعة لان زيادة  $\theta$  لا تزيد دوماً قيمة V.

لتكون السرعة أعظمية يجب ان يكون  $R_h$  أعظمياً كما تظهر العلاقة التالية:

$$V = C \sqrt{R_h J} = C \sqrt{J} \sqrt{\left(\frac{A}{P}\right)}$$
 (64-2)

أى:

$$d\left(\frac{R_{h}}{d\theta}\right) = d\left(\frac{A/p}{d\theta}\right) = 0 \tag{65-2}$$

P dA - dP A = 0

نجد:

$$r \theta \frac{r^2}{2} (1 - \cos \theta) - \frac{r^2}{2} (\theta - \sin \theta) r = 0$$
  

$$\theta - \theta \cos \theta = \theta - \sin \theta$$
  

$$tg \theta = \theta$$
(66-2)

بالتجريب:

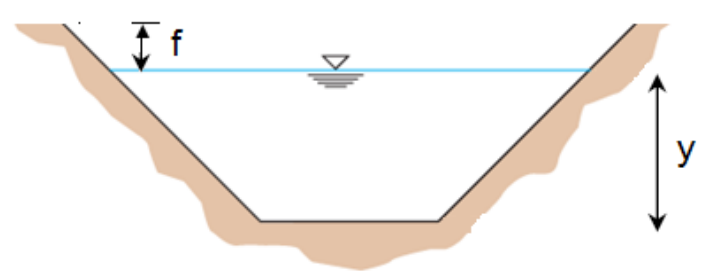
$$\theta = 257^{\circ} 5'$$
  
y = 0.81 D (67-2)

إن الشكل النصف دائري هو الأفضل هيدروليكياً من بين كل الاشكال الهندسية للأقنية المكشوفة. في مناطق محددة من العالم ،تكون المقاطع النصف دائرية والدائرية هي السائدة وهي السمة الواضحة لمشاريع الري الكبيرة، فيما تبدو مقاطع شبه المنحرف هي المستخدمة بسبب سهولة الانشاء.

إن اختيار التصميم على مبدأ المقطع الافضلي الامثل يطبق فقط على الاقنية الغير قابلة للانجراف، اما التصميمات للأقنية المشيدة بمواد قابلة للحت أو الانجراف فيجب أن تأخذ في الاعتبار السرعة العظمي لإبقاء القناة مستقرق.

# 2-8 الارتفاع الحر:

الارتفاع الحر للماء في قناة مكشوفة هو المسافة الشاقولية بين قمة اكتاف القناة وسطح الماء الشكل (2-14). يجب أن يكون هذا الارتفاع كافياً لتجنب انسكاب الماء من الجوانب وبرمز له ب f.



الشكل (2-14) الارتفاع الحر

وقد نصح دافيس اعتبار الارتفاع الحر بالقيمة التالية:

$$f = 0.30 + 0.25 y \tag{68-2}$$

y < 4 m وذلك من أجل

ولكن هناك دراسات أخرى اعتبرت القيم التالية:

• من أجل الاقنية الترابية

$$f = 0.8 \text{ V} \sqrt{y}$$
 (69-2)

• من أجل الاقنية المكساة

$$f = 0.5 \text{ V} \sqrt{y}$$
 (70-2)

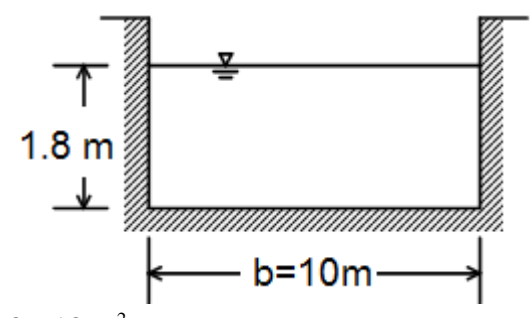
وذلك باعتبار V سرعة الماء في القناة وy عمق الماء

# تطبيقات الفصل الثاني

### تطبيق (1-2)

قناة ذات مقطع مستطيل مبين بالشكل المجاور ميلها الطولي J=0.001 والمطلوب إيجاد التدفق باعتماد عامل كيتر –مانينغ–بازان–بافلوفسكي.

الحل



$$A = b y = 10 \times 1.8 = 18 \text{ m}^2$$

$$P = b + 2 y = 10 + 2 \times 1.8 = 13.6 m$$

$$R_h = \frac{A}{P} = \frac{18}{13.6} = 1.32m$$

وبالتالي: n = 0.16 فإن Kutter •

$$C = \frac{23 + \frac{0.00155}{J} + \frac{1}{n}}{1 + \left[23 + \frac{0.00155}{J}\right] \frac{n}{\sqrt{R_h}}} = 65.67 \text{ m}^{1/2} / \text{sec}$$

ويكون التدفق:

$$Q = C A.\sqrt{R_h J} = 65.67 \times 18 \times \sqrt{1.32 \times 11 \times 10^{-5}} = 14.24 \text{ m}^3/\text{sec}$$

• تبعاً لـ Basim يكون: 0.45 وبالتالي:

$$C = \frac{87}{1 + \frac{m}{\sqrt{R_h}}} = \frac{87}{1 + \frac{0.45}{\sqrt{1.32}}} = 62.51 \,\text{m}^{1/2} / \text{sec}$$

ويكون التدفق:

$$Q = C A.\sqrt{R_h J} = 62.51 \times 18 \times \sqrt{1.32 \times 11 \times 10^{-5}} = 13.56 \text{ m}^3/\text{sec}$$

• تبعاً لـ Manning يكون n = 0.016 يكون:

$$C = \frac{1}{n} R_h^{1/6} = \frac{1}{0.016} \times 1.32^{1/6} = 65.46 \text{ m}^{1/2} / \text{sec}$$

ويكون التدفق:

Q = C A.
$$\sqrt{R_h J}$$
 = 65.46×18× $\sqrt{1.32\times11\times10^{-5}}$  = 14.2 m<sup>3</sup>/sec

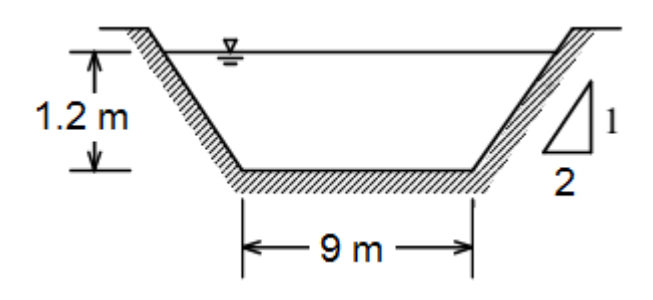
• تبعاً لـ Pavlovski يكون n = 0.016 يكون:

$$\begin{split} &C = \frac{1}{n} \, R_h^{\,y^*} \\ &y^* = 2.5 \sqrt{n} - 0.13 - 0.75 \sqrt{R_h} \times (\sqrt{n} - 0.1) \\ &y^* = 2.5 \sqrt{0.016} - 0.13 - 0.75 \sqrt{1.32} \times (\sqrt{0.016} - 0.1) = 0.163 \\ &C = \frac{1}{n} \, R_h^{\,y^*} = \frac{1}{0.016} \times 1.32^{0.163} = 65.4 m^{1/2} \, / \, \text{sec} \end{split}$$

ويكون التدفق:

$$Q=C~A.\sqrt{R_h~J}=65.4\times18\times\sqrt{1.32\times11\times10^{-5}}=14.18~m^3/sec$$
 تطبیق (2-2)

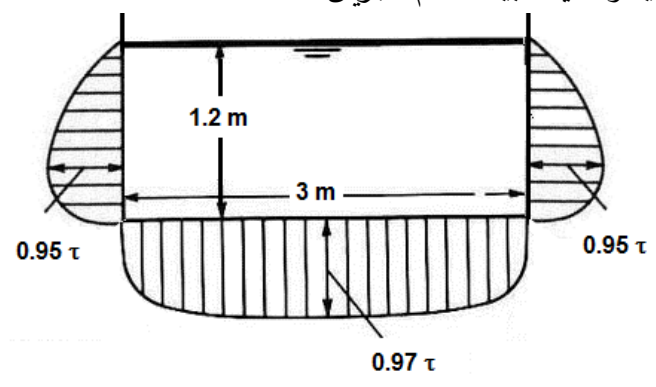
قناة ذات شكل شبه منحرف تمرر تدفقاً قدره  $Q=16.5m^3/\sec$  فإذا علمت أن عامل شيزي C=49.5 وأن معدل ميل الجوانب m=2 فالمطلوب إيجاد الميل الطولي للقناة ومعامل الخشونة مانينغ n.



A = b y + m y<sup>2</sup> = 13.68 m<sup>2</sup>  
P = b + 2 y 
$$\sqrt{1 + m^2}$$
 = 12.75 m  
R<sub>h</sub> =  $\frac{A}{P}$  =  $\frac{13.68}{12.75}$  = 1.07 m  
Q = C A  $\sqrt{R_h}$  J  
16.5 = 49.5×13.68× $\sqrt{1.07 \times J}$   $\Rightarrow$  J = 5.5×10<sup>-4</sup>  
C =  $\sqrt{\frac{8 \text{ g}}{\psi}}$   
49.5 =  $\sqrt{\frac{8 \times 9.81}{\psi}}$   $\Rightarrow$   $\psi$  = 0.032  
C =  $\frac{1}{n}$  R<sub>h</sub><sup>1/6</sup>  
49.5 =  $\frac{1}{n}$  × (1.07)<sup>1/6</sup>  $\Rightarrow$  n = 0.02 sec/ m<sup>1/3</sup>

# تطبيق (2-3)

يبين الشكل المجاور قناة ذات مقطع مستطيل موضحاً نسبة قيمة جهد القص على المجدران من قيمة جهد القص المتوسط فإذا علمت أن J=0.001 وثابت شيزي  $V=10^{-6}$  m²/sec واللزوجة الحركية  $V=10^{-6}$  m²/sec فالمطلوب حساب قيمة جهد القص على القاعدة والجدران الجانبية وتحديد طبيعة نظام الجربان.



$$A = b y = 3 \times 1.2 = 3.6 \text{ m}^2$$
  
 $P = b + 2 y = 3 + 2 \times 1.2 = 5.4 \text{ m}$ 

$$R_{h} = \frac{A}{P} = \frac{3.6}{5.4} = 0.667$$
  

$$\tau = \gamma R_{h} J$$
  

$$\tau = 9810 \times 0.667 \times 0.001 = 6.54 \text{ N/m}^{2}$$

إجهاد القص على الجدران الجانبية:

$$0.75 \tau = 0.75 \times 6.54 = 4.9 \text{ N/m}^2$$

إجهاد القص على القاعدة:

$$0.98 \tau = 0.98 \times 6.54 = 6.4 \text{ N/m}^2$$

لتحديد طبيعة نظام الجريان نحسب ثابت رينولدس على الشكل التالي:

$$V = C \sqrt{R_h J} = 70 \times \sqrt{0.667 \times 0.001} = 1.81 \text{ m/sec}$$

$$R_e = \frac{V R_h}{V} = \frac{1.81 \times 0.667}{10^{-6}} = 1.2 \times 10^6 > 2000$$

وبالتالى الجريان مضطرب

$$F_r = \frac{V}{\sqrt{g y_m}} = \frac{V}{\sqrt{g \frac{A}{T}}} = \frac{V}{\sqrt{g y}} = \frac{1.81}{\sqrt{9.81 \times 1.2}}$$

$$F_r = 0.53 < 1$$

وبالتالى الجربان نهري

# تطبيق (2-4)

قناة ذات مقطع مستطيل تمرر تدفقاً قدره  $Q=12m^3/\sec$  فإذا علمت أن اللزوجة لتحركية للسائل  $v=10^{-6}m^2/\sec$  فالمطلوب إيجاد نظام الجريان من أجل أعماق جريان  $2\,m$ ,  $1\,m$ ,  $0.3\,m$ 

$$A = b y = 0.3 \times 3 = 0.9 \text{ m}^2$$
  
 $P = b + 2 y = 3 + 2 \times 0.3 = 3.6 \text{ m}$ 

$$R_h = \frac{A}{P} = \frac{0.9}{3.6} = 0.25 \text{ m}$$

$$V = \frac{Q}{A} = \frac{12}{0.9} = 13.33 \text{ m/sec}$$

$$R_e = \frac{V R_h}{v} = \frac{13.33 \times 0.25}{10^{-6}} = 3.3 \times 10^{-3} > 2000$$

وبالتالى الجربان مضطرب

$$F_{\rm r} = \frac{V}{\sqrt{g \ y_{\rm m}}} = \frac{V}{\sqrt{g \ \frac{A}{T}}} = \frac{V}{\sqrt{g \ y}}$$

$$F_r = \frac{13.33}{\sqrt{9.81 \times 0.3}} = 7.75 > 1$$

وبالتالي الجريان شلالي.

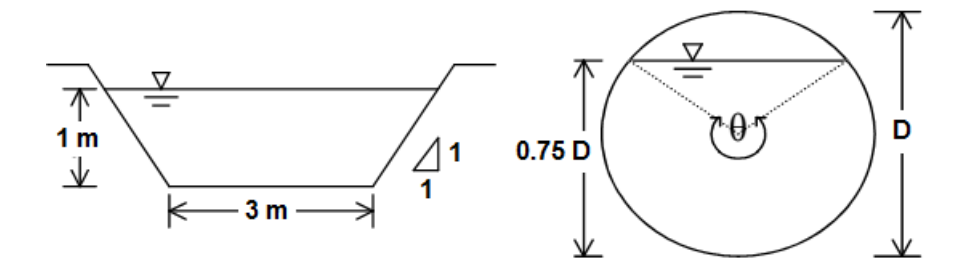
بنفس الطريقة تتم إعادة الحساب من أجل أعماق الجريان فتكون النتائج على الشكل التالى:

у	A	P	R <sub>h</sub>	V	R <sub>e</sub>	F <sub>r</sub>	R <sub>e</sub>
0.3	0.9	3.6	0.25	13.33	3.3×10 <sup>5</sup>	7.75	جريان مضطرب شلالي
1	3	5	0.6	4	2.4×10 <sup>6</sup>	1.27	جريان مضطرب شلالي
2	6	7	0.857	2	1.7×10 <sup>6</sup>	0.45	جریان مضطرب نهري

### تطبيق (2-5)

قناة مكشوفة على شكل شبه منحرف عرض قاعدتها  $b=3\,m$  ومعدل ميل الجوانب  $y=1\,m$  والميل الطولي للقناة J=0.001 يجري فيها الماء جرياناً منتظماً بعمق m=1 ينقل التدفق بواسطة قناة دائرية مغلقة لها نفس الميل الطولى والمطلوب: حساب

ينفن المتدفى بوالمنطق قناه دائرية معطه لها لعمن المعين المطولي والمطلوب. حملت قطر القناة اللازم حتى يمر فيها التدفق فيها بعمق y=0.75~D علماً أن أمثال الخشونة للقناة الأولى  $n_1=0.025~$  وللقناة الثانية  $n_2=0.013~$ 



الحل

من معطيات المسألة بالنسبة للقناة شبه المنحرفة نقوم بحساب قيمة التدفق المار في القناة الدائرية باعتبار التدفق نفسه وفقاً لمعطيات المسألة:

$$Q = \frac{1}{n} A R_h^{2/3} \sqrt{J}$$

$$A = b h + m h^2 = 3 \times 1 + 1 \times (1)^2 = 4 m^2$$

$$P = b + 2 h \sqrt{1 + m^2} = 3 + 2 \times 1 \times \sqrt{2} = 5.828 m$$

$$Q = \frac{1}{0.025} \times 4 \times (\frac{4}{5.828})^{2/3} \times \sqrt{0.001} = 3.937 m^3 / sec$$

الآن نكتب بالنسبة للمقطع الدائري:

$$A = \frac{r^2}{2}(\theta - \sin \theta)$$

$$P = r\theta$$

$$y = r(1 - \cos \frac{\theta}{2})$$

$$0.75D = \frac{D}{2}(1 - \cos \frac{\theta}{2}) \implies 1.5 = 1 - \cos \frac{\theta}{2} \implies \theta = \frac{4}{3}\pi$$

يحصل التدفق الأعظمي في المقطع الدائري عندما يكون  $y = 0.95\,\mathrm{D}$  أي من أجل  $\theta = 308^\circ$  ولكن عملياً لدرء احتمال انسداد المقطع المائي بالأجسام الطافية التي قد تكون محمولة بالمياه، فيتحول بالتالي الجريان إلى جريان مضغوط. لذلك تؤخذ عملياً  $\theta = 240^\circ$ 

$$Q = \frac{1}{n} A R_h^{2/3} \sqrt{J}$$

$$A = \frac{r^2}{2} (\theta - \sin \theta) = \frac{r^2}{2} (\frac{4}{3} \pi - \sin \frac{4}{3} \pi) = 2.527 r^2$$

$$P = r \frac{4}{3} \pi \qquad \qquad R_h = \frac{A}{P} = 0.603 r$$

$$3.937 = \frac{1}{0.013} \times 2.527 r^2 \times (0.603 r)^{2/3} \times \sqrt{0.001}$$

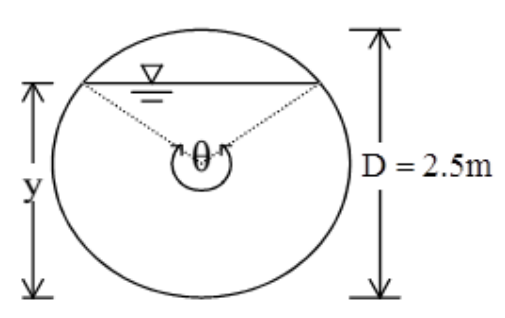
$$r^{8/3} = 0.897 \quad \Rightarrow r = 0.96 m$$

$$D = 1.92 \quad m$$

#### تطبيق (6-2)

يمر تدفق قدره  $Q=6.86 m^3/sec$  في قناة ذات مقطع دائري ميلها الطولي J=0.00082 وأمثال خشونتها J=0.00082 والمطلوب: حساب ارتفاع الماء في القناة D=2.5 m

#### الحل



يعطى التدفق حسب علاقة مانينغ بالعلاقة:

$$Q = \frac{1}{n} A R_h^{2/3} \sqrt{j}$$

حيث:

$$A = \frac{r^2}{2} (\theta - \sin \theta) = 0.781(\theta - \sin \theta)$$

$$P = r \theta = 1.25\theta$$

$$y = r \left(1 - \cos \frac{\theta}{2}\right) \Rightarrow \theta = 2 \arccos \left(1 - \frac{y}{r}\right)$$

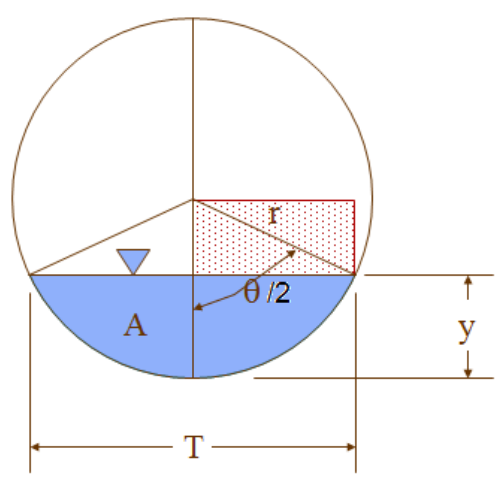
يتم الحل بالتجريب بفرض قيم لy ومن ثم حساب قيم  $\theta$  وتعويضها في معادلة y=1.8m التدفق حيث نجد أن:

### تطبيق (2-7)

قناة مكشوفة ذات مقطع دائري قطرها  $1 \, \mathrm{m}$  الميل الطولي للقاع  $^{-5}14 \times 10$ ومعامل مانينغ لها 0.02 يمر بها جربان منتظم بأعماق مختلفة وتدفقات مختلفة.

- 1- احسب بطريقة رياضية قيم اعماق الجريان التي توافق قيم نصف القطر الهيدروليكي والسرعة المتوسطة والتدفق الأعظمي (باعتبار ثابت مانينغ).
  - $V_{
    m f}, Q_{
    m f}$  عين قيمة تدفق القناة وسرعتها الوسطية عندما يكون المقطع بكامله مملوءً
- $5~{\rm cm}$  والسرعة الوسطية من أجل ارتفاعات مائية في القناة متغيرة كل  $y=0.1 \rightarrow 1$  من أجل  $y=0.1 \rightarrow 1$  وعين ارتفاع الماء الموافق لكل من التدفق الأعظمي والسرعة الوسطية ونصف القطر الهيدروليكي الأعظمي في المقطع.
- $\frac{R_{\rm h}}{R_{\rm hf}}$  ،  $\frac{V}{V_{\rm f}}$  والسرعة النسبية والسرعة النسبية مخططات تعطي تحولات قيم التدفقات النسبية والسرعة النسبية والسرعة النسبية والسرعة المسبية والسرعة المسبية والسرعة المسبية والمسبية والمسب
  - بدلالة الارتفاع النسبي  $\frac{P}{d}$  بدلالة الارتفاع النسبي بدلالة الارتفاع بدلالة الارتفاع بدلالة المناف

#### الحل:



نفرض عمق الجربان y فتكون مساحة المقطع المائي

$$A = \frac{r^2}{2}(\theta - \sin \theta) \tag{1}$$

المحيط المبلول:

$$P = r \theta \tag{2}$$

نصف القطر الهيدروليكي:

$$R_{h} = \frac{A}{P} = \frac{r}{2} \left( 1 - \frac{\sin \theta}{\theta} \right) \tag{3}$$

ارتفاع الماء في المقطع الدائري:

$$y = r \left( 1 - \cos \frac{\theta}{2} \right) \tag{4}$$

السرعة المتوسطة V يمكن حسابها من معادلة مانينغ

$$V = \frac{1}{n} \, R_{_h}^{^{2/3}} J^{1/2}$$

$$V = 0.592 R_{\perp}^{2/3}$$
 (5)

ويحسب التدفق من معادلة الاستمرار:

$$Q = A V = 0.592 A R_{b}^{2/3}$$
 (6)

تحديد قيمة y الموافقة لقيمة

$${{
m d}R_{_h}\over {
m d}\theta}=0$$
 تكون عندما: R تكون الهيدروليكي تكون الهيدروليكي أقصى قيمة لنصف القطر الهيدروليكي

من العلاقة (3) نجد أن:

$$\frac{dR_{h}}{d\theta} = \frac{d}{d\theta} \left[ \frac{r}{2} \left( 1 - \frac{\sin \theta}{\theta} \right) \right] = -\frac{r}{2} \frac{\theta \left( \cos \theta \right) - \sin \theta}{\theta^{2}} = 0$$

 $\theta\cos\theta = \sin\theta$ 

 $\theta = 257.453'$ 

$$\theta = tg\theta$$

بحل المعادلة بالتجريب نج أنها تتحقق من أجل:

$$y = r \left( 1 - \cos \frac{\theta}{2} \right) = 0.813 \text{ m}$$
 نجد أن:

 $V_{max}$  قيمة y الموافقة لقيمة

من العلاقة (3) و (5) نجد أن:

$$V = 0.592 R_h^{2/3}$$

$$V = 0.592 \left( 0.5 r \right)^{2/3} \left( 1 - \frac{\sin \theta}{\theta} \right)^{2/3}$$

$$V = 0.235 \left( 1 - \frac{\sin \theta}{\theta} \right)^{2/3}$$

$$\frac{dV}{d\theta} = 0$$

ومنها نجد أن أقصى قيمة للسرعة المتوسطة تحدث عندما

من العلاقة (3) نجد أن:

$$\frac{dV}{d\theta} = \frac{2}{3} \times 0.235 \left( \frac{1}{\left(1 - \frac{\sin \theta}{\theta}\right)} \right) \left( -\frac{\theta \left(\cos \theta\right) - \sin \theta}{\theta^2} \right) = 0$$

 $\theta \cos \theta = \sin \theta$ 

$$\theta = tg\theta$$

بحل المعادلة بالتجريب نجد أنها تتحقق من أجل:

$$\theta = 257.453'$$
  
y = r $\left(1 - \cos\frac{\theta}{2}\right)$  = 0.813 m

من العلاقة (4) نجد أن:

 $Q_{max}$  قيمة y الموافقة لقيمة

$$Q = A V = 0.592 A R_{h}^{2/3}$$

من العلاقة (6) نجد أن:

ومنها نجد أن أقصى قيمة للتدفق تحدث عندما

$$\frac{dQ}{d\theta} = 0$$

$$\frac{d}{d\theta} \left( \frac{A^{5/3}}{P^{2/3}} \right) = 0$$

$$3\theta - 5\theta\cos\theta + 2\sin\theta = 0$$

وبالاختصار نجد أن 
$$\frac{dQ}{d\theta} = 0$$
 عندما تكون:

تحل المعادلة بالتجريب

$$\theta = 302.41'$$

$$y = r \left( 1 - \cos \frac{\theta}{2} \right) = 0.938 \text{ m}$$

من العلاقة (4) نجد أن:

نحسب عناصر المقطع الملئ:

$$A_f = \pi r^2 = 0.785 \text{ m}^2$$
  
 $P_f = 2 \pi r = 3.14 \text{ m}$   
 $R_{hf} = \frac{r}{2} = 0.25 \text{ m}$ 

فتكون قيمة السرعة عندما يكون المقطع ملئ

$$V_f = \frac{1}{0.02} \times (0.25)^{2/3} \sqrt{14 \times 10^{-5}} = 0.235 \text{ m/s}$$

 $Q_{\rm f}=A_{\rm f}~V_{\rm f}=0.785\times0.235=0.184~{
m m}^3/{
m s}$  وقيمة التدفق عندما يكون المقطع ملئ نظم جدول لإيجاد القيم المميزة باعتبار

$$V = 0.592 \text{ R}_{h}^{2/3}$$

$$Q = A \text{ V} = 0.592 \text{ A R}_{h}^{2/3}$$

$$\theta = 2 \cos^{-1} \left(1 - \frac{y}{r}\right)$$

$$\frac{2}{5} \cdot \frac{1.05}{0.05}$$

$$0.85$$

$$0.85$$

$$0.65$$

$$0.55$$

$$0.45$$

$$0.35$$

$$0.25$$

$$0.05$$

$$0.05$$

$$0.01$$

$$0.05$$

$$0.01$$

$$0.02$$

$$0.03$$

$$0.04$$

$$0.05$$

$$0.05$$

$$0.05$$

$$0.05$$

$$0.05$$

$$0.05$$

$$0.05$$

$$0.05$$

$$0.05$$

$$0.05$$

$$0.05$$

$$0.05$$

$$0.05$$

$$0.05$$

$$0.05$$

$$0.05$$

$$0.05$$

$$0.05$$

$$0.05$$

$$0.05$$

$$0.05$$

$$0.05$$

$$0.05$$

$$0.05$$

$$0.05$$

$$0.05$$

$$0.05$$

$$0.05$$

$$0.05$$

$$0.05$$

$$0.05$$

_	_	_	_	_	_	_	_	_	_	_	_	_	_	_	_	_	_	_	_
0.95	0.9	0.85	0.8	0.75	0.7	0.65	0.6	0.55	0.5	0.45	0.4	0.35	0.3	0.25	0.2	0.15	0.1	0	y/d
1.9	1.8	1.7	1.6	1.5	1.4	1.3	1.2	1.1	1	0.9	0.8	0.7	0.6	0.5	0.4	0.3	0.2	0	y/r
5.38	5.00	4.69	4.43	4.19	3.96	3.75	3.54	3.34	3.14	2.94	2.74	2.53	2.32	2.09	1.85	1.59	1.29	0.00	teta(rad)
0.771	0.745	0.712	0.674	0.632	0.587	0.540	0.492	0.443	0.393	0.343	0.293	0.245	0.198	0.154	0.112	0.074	0.041	0.000	A
2.691	2.498	2.346	2.214	2.094	1.982	1.875	1.772	1.671	1.571	1.471	1.369	1.266	1.159	1.047	0.927	0.795	0.644	0.000	P
0.286	0.298	0.303	0.304	0.302	0.296	0.288	0.278	0.265	0.250	0.233	0.214	0.193	0.171	0.147	0.121	0.093	0.064	0.000	Rh
0.4345	0.4462	0.4514	0.4523	0.4498	0.4444	0.4363	0.4256	0.4125	0.3969	0.3787	0.3580	0.3345	0.3080	0.2781	0.2441	0.2051	0.1592	0	Rh2/3
0.257	0.264	0.267	0.268	0.266	0.263	0.258	0.252	0.244	0.235	0.224	0.212	0.198	0.182	0.165	0.144	0.121	0.094	0.000	V
0.198	0.197	0.190	0.180	0.168	0.154	0.140	0.124	0.108	0.092	0.077	0.062	0.049	0.036	0.025	0.016	0.009	0.004	0.000	Q
0.982	0.948	0.906	0.858	0.805	0.748	0.688	0.627	0.564	0.500	0.437	0.374	0.312	0.252	0.196	0.142	0.094	0.052	0.000	A/Af
0.857	0.796	0.747	0.705	0.667	0.631	0.597	0.564	0.532	0.500	0.468	0.436	0.403	0.369	0.334	0.295	0.253	0.205	0.000	P/Pf
1.146	1.192	1.213	1.217	1.207	1.185	1.153	1.111	1.060	1.000	0.932	0.857	0.774	0.684	0.587	0.482	0.372	0.254	0.000	Rh/Rhf
1.095	1.124	1.137	1.139	1.133	1.119	1.099	1.072	1.039	1.000	0.954	0.902	0.843	0.776	0.700	0.615	0.517	0.401	0.000	VNf
1.078	1.069	1.033	0.980	0.914	0.840	0.759	0.674	0.587	0.501	0.418	0.338	0.264	0.196	0.137	0.088	0.049	0.021	0.000	Q/Qf
	1.9         5.38         0.771         2.691         0.286         0.4345         0.257         0.198         0.982         0.857         1.146         1.095	1.8     5.00     0.745     2.498     0.298     0.4462     0.264     0.197     0.948     0.796     1.192     1.124       1.9     5.38     0.771     2.691     0.286     0.4345     0.257     0.198     0.982     0.857     1.146     1.095	1.7     4.69     0.712     2.346     0.303     0.4514     0.267     0.190     0.906     0.747     1.213     1.137       1.8     5.00     0.745     2.498     0.298     0.4462     0.264     0.197     0.948     0.796     1.192     1.124       1.9     5.38     0.771     2.691     0.286     0.4345     0.257     0.198     0.982     0.857     1.146     1.095	1.6     4.43     0.674     2.214     0.304     0.4523     0.268     0.180     0.858     0.705     1.217     1.139       1.7     4.69     0.712     2.346     0.303     0.4514     0.267     0.190     0.906     0.747     1.213     1.137       1.8     5.00     0.745     2.498     0.298     0.4462     0.264     0.197     0.948     0.796     1.192     1.124       1.9     5.38     0.771     2.691     0.286     0.4345     0.257     0.198     0.982     0.857     1.146     1.095	1.5     4.19     0.632     2.094     0.302     0.4498     0.266     0.168     0.805     0.667     1.207     1.133       1.6     4.43     0.674     2.214     0.304     0.4523     0.268     0.180     0.858     0.705     1.217     1.139       1.7     4.69     0.712     2.346     0.303     0.4514     0.267     0.190     0.906     0.747     1.213     1.137       1.8     5.00     0.745     2.498     0.298     0.4462     0.264     0.197     0.948     0.796     1.192     1.124       1.9     5.38     0.771     2.691     0.286     0.4345     0.257     0.198     0.982     0.857     1.146     1.095	1.4         3.96         0.587         1.982         0.296         0.4444         0.263         0.154         0.748         0.631         1.185         1.119           1.5         4.19         0.632         2.094         0.302         0.4498         0.266         0.168         0.805         0.667         1.207         1.133           1.6         4.43         0.674         2.214         0.304         0.4523         0.268         0.180         0.858         0.705         1.217         1.139           1.7         4.69         0.712         2.346         0.303         0.4514         0.267         0.190         0.906         0.747         1.213         1.137           1.8         5.00         0.745         2.498         0.298         0.4462         0.264         0.197         0.948         0.796         1.192         1.124           1.9         5.38         0.771         2.691         0.286         0.4345         0.257         0.198         0.982         0.857         1.146         1.095	1.3     3.75     0.540     1.875     0.288     0.4363     0.258     0.140     0.688     0.597     1.153     1.099       1.4     3.96     0.587     1.982     0.296     0.4444     0.263     0.154     0.748     0.631     1.185     1.119       1.5     4.19     0.632     2.094     0.302     0.4498     0.266     0.168     0.805     0.667     1.207     1.133       1.6     4.43     0.674     2.214     0.304     0.4523     0.268     0.180     0.858     0.705     1.217     1.139       1.7     4.69     0.712     2.346     0.303     0.4514     0.267     0.190     0.906     0.747     1.213     1.137       1.8     5.00     0.745     2.498     0.298     0.4462     0.264     0.197     0.948     0.796     1.192     1.124       1.9     5.38     0.771     2.691     0.286     0.4345     0.257     0.198     0.982     0.857     1.146     1.095	1.2         3.54         0.492         1.772         0.278         0.4256         0.252         0.124         0.627         0.564         1.111         1.072           1.3         3.75         0.540         1.875         0.288         0.4363         0.258         0.140         0.688         0.597         1.153         1.099           1.4         3.96         0.587         1.982         0.296         0.4444         0.263         0.154         0.748         0.631         1.185         1.119           1.5         4.19         0.632         2.094         0.302         0.4498         0.266         0.168         0.805         0.667         1.207         1.133           1.6         4.43         0.674         2.214         0.304         0.4523         0.268         0.180         0.858         0.705         1.217         1.139           1.7         4.69         0.712         2.346         0.303         0.4514         0.267         0.190         0.906         0.747         1.213         1.137           1.8         5.00         0.745         2.498         0.298         0.4462         0.257         0.198         0.982         0.857         1.146         1.095	1.1         3.34         0.443         1.671         0.265         0.4125         0.244         0.108         0.564         0.532         1.060         1.039           1.2         3.54         0.492         1.772         0.278         0.4256         0.252         0.124         0.627         0.564         1.111         1.072           1.3         3.75         0.540         1.875         0.288         0.4363         0.258         0.140         0.688         0.597         1.153         1.099           1.4         3.96         0.587         1.982         0.296         0.4444         0.263         0.154         0.748         0.631         1.185         1.119           1.5         4.19         0.632         2.094         0.302         0.4498         0.266         0.168         0.805         0.667         1.207         1.133           1.6         4.43         0.674         2.214         0.304         0.4523         0.268         0.180         0.858         0.705         1.217         1.139           1.7         4.69         0.712         2.346         0.303         0.4514         0.267         0.190         0.906         0.747         1.213         1.137	1         3.14         0.393         1.571         0.250         0.3969         0.235         0.092         0.500         0.500         1.000         1.000           1.1         3.34         0.443         1.671         0.265         0.4125         0.244         0.108         0.564         0.532         1.060         1.039           1.2         3.54         0.492         1.772         0.278         0.4256         0.252         0.124         0.627         0.564         1.111         1.072           1.3         3.75         0.540         1.875         0.288         0.4363         0.258         0.140         0.688         0.597         1.153         1.099           1.4         3.96         0.587         1.982         0.296         0.4444         0.263         0.154         0.748         0.631         1.185         1.119           1.5         4.19         0.632         2.094         0.302         0.4498         0.266         0.168         0.805         0.667         1.207         1.133           1.6         4.43         0.674         2.214         0.304         0.4523         0.268         0.180         0.858         0.705         1.217         1.139     <	0.9         2.94         0.343         1.471         0.233         0.3787         0.224         0.077         0.437         0.468         0.932         0.954           1         3.14         0.393         1.571         0.250         0.3969         0.235         0.092         0.500         0.500         1.000         1.000           1.1         3.34         0.443         1.671         0.265         0.4125         0.244         0.108         0.564         0.532         1.060         1.039           1.2         3.54         0.492         1.772         0.278         0.4256         0.252         0.124         0.632         0.564         1.111         1.072           1.3         3.75         0.540         1.875         0.288         0.4363         0.258         0.140         0.688         0.597         1.153         1.099           1.4         3.96         0.587         1.982         0.296         0.4444         0.263         0.154         0.748         0.631         1.185         1.119           1.5         4.19         0.632         2.094         0.302         0.4498         0.266         0.168         0.805         0.667         1.207         1.133     <	0.8         2.74         0.293         1.369         0.214         0.3580         0.212         0.062         0.374         0.436         0.857         0.902           0.9         2.94         0.343         1.471         0.233         0.3787         0.224         0.077         0.437         0.468         0.932         0.954           1         3.14         0.393         1.571         0.250         0.3969         0.235         0.092         0.500         0.500         1.000         1.000           1.1         3.34         0.443         1.671         0.265         0.4125         0.244         0.108         0.564         0.532         1.060         1.039           1.2         3.54         0.492         1.772         0.278         0.4256         0.252         0.124         0.627         0.564         1.111         1.072           1.3         3.75         0.540         1.875         0.288         0.4363         0.258         0.140         0.688         0.597         1.153         1.099           1.4         3.96         0.587         1.982         0.296         0.4444         0.263         0.154         0.748         0.631         1.185         1.119     <	0.7         2.53         0.245         1.266         0.193         0.3345         0.198         0.049         0.312         0.403         0.774         0.843           0.8         2.74         0.293         1.369         0.214         0.3580         0.212         0.062         0.374         0.436         0.857         0.902           0.9         2.94         0.343         1.471         0.233         0.3787         0.224         0.077         0.437         0.468         0.932         0.954           1.1         3.14         0.393         1.571         0.250         0.3969         0.235         0.092         0.500         0.500         1.000         1.000           1.1         3.34         0.443         1.671         0.265         0.4125         0.244         0.108         0.564         0.532         1.060         1.039           1.2         3.54         0.492         1.772         0.278         0.4256         0.252         0.124         0.627         0.564         1.111         1.072           1.3         3.75         0.540         1.875         0.288         0.4363         0.258         0.140         0.688         0.597         1.153         1.099	0.6         2.32         0.198         1.159         0.171         0.3080         0.182         0.036         0.252         0.369         0.684         0.776           0.7         2.53         0.245         1.266         0.193         0.3345         0.198         0.049         0.312         0.403         0.774         0.843           0.8         2.74         0.293         1.369         0.214         0.3580         0.212         0.062         0.374         0.433         0.471         0.843           1.9         2.94         0.343         1.471         0.233         0.3787         0.224         0.077         0.437         0.468         0.932         0.954           1.1         3.14         0.393         1.571         0.250         0.3969         0.235         0.092         0.500         0.500         1.000         1.000           1.1         3.34         0.443         1.671         0.265         0.4125         0.244         0.108         0.564         0.532         1.060         1.039           1.2         3.54         0.492         1.772         0.278         0.4256         0.252         0.124         0.688         0.597         1.153         1.099	0.5         2.09         0.154         1.047         0.147         0.2781         0.165         0.025         0.196         0.334         0.587         0.700           0.6         2.32         0.198         1.159         0.171         0.3080         0.182         0.036         0.252         0.369         0.684         0.776           0.7         2.53         0.245         1.266         0.193         0.3345         0.198         0.049         0.312         0.403         0.774         0.843           0.8         2.74         0.293         1.369         0.214         0.3580         0.212         0.062         0.374         0.436         0.857         0.902           0.9         2.94         0.343         1.471         0.233         0.3787         0.224         0.077         0.437         0.468         0.932         0.954           1         3.14         0.393         1.571         0.255         0.4125         0.024         0.108         0.564         0.532         1.060         1.009           1.1         3.34         0.443         1.671         0.265         0.4125         0.124         0.627         0.564         1.111         1.072           <	0.4         1.85         0.112         0.927         0.121         0.2441         0.144         0.016         0.142         0.295         0.482         0.615           0.5         2.09         0.154         1.047         0.147         0.2781         0.165         0.025         0.196         0.334         0.587         0.700           0.6         2.32         0.198         1.159         0.171         0.3080         0.182         0.036         0.252         0.369         0.684         0.776           0.7         2.53         0.245         1.266         0.193         0.3345         0.198         0.049         0.312         0.403         0.774         0.843           0.8         2.74         0.293         1.369         0.214         0.3580         0.212         0.062         0.374         0.436         0.857         0.902           0.9         2.94         0.343         1.471         0.233         0.3787         0.224         0.077         0.437         0.468         0.932         0.954           1.1         3.14         0.393         1.571         0.255         0.4125         0.244         0.108         0.564         0.532         1.060         1.009	0.3         1.59         0.074         0.795         0.093         0.2051         0.121         0.009         0.094         0.253         0.372         0.517           0.4         1.85         0.112         0.927         0.121         0.2441         0.144         0.016         0.142         0.295         0.482         0.615           0.5         2.09         0.154         1.047         0.147         0.2781         0.165         0.025         0.196         0.334         0.587         0.700           0.6         2.32         0.198         1.159         0.171         0.3080         0.182         0.036         0.252         0.369         0.684         0.776           0.7         2.53         0.245         1.266         0.193         0.3345         0.198         0.049         0.312         0.403         0.774         0.843           0.8         2.74         0.293         1.369         0.214         0.3580         0.212         0.062         0.374         0.436         0.857         0.902           0.9         2.94         0.343         1.471         0.233         0.3787         0.224         0.077         0.437         0.468         0.932         0.954	0.2         1.29         0.041         0.644         0.054         0.1592         0.094         0.004         0.052         0.205         0.254         0.401           0.3         1.59         0.074         0.795         0.093         0.2051         0.121         0.009         0.094         0.253         0.372         0.517           0.4         1.85         0.112         0.927         0.121         0.2441         0.144         0.016         0.142         0.295         0.482         0.615           0.5         2.09         0.154         1.047         0.147         0.2781         0.165         0.025         0.196         0.334         0.587         0.700           0.6         2.32         0.198         1.159         0.171         0.3080         0.182         0.036         0.252         0.369         0.684         0.776           0.6         2.32         0.198         1.159         0.171         0.3080         0.182         0.049         0.312         0.403         0.774         0.843           0.7         2.53         0.245         1.266         0.193         0.3345         0.198         0.049         0.312         0.403         0.843	0         0.00         0.00         0.000

يبين الشكل بأنه يمكن تعيين التدفق الجزئي والسرعة الجزئية بالنسبة لأي مقطع دائري من أجل أي ارتفاع للماء في المقطع وذلك بالاستفادة من المخطط المذكور وبعد تعيين القيم الموافقة للمقطع المليء أي أن لهذا المخطط قيمة عملية مفيدة في التصميم. تطبيق (8-2)

يستخدم مصرف فرعي قطره  $d=150 \, \text{mm}$  من شبكة صرف صحي في مدينة وذلك لتصرف مياه الفضلات المنزلية من حي سكني فيه 250 منزلاً. المصرف من الفخار المزجج معامل خشونة مانينغ n=0.015 وميله الطولي 0.01. الاستهلاك المائي للفرد الواحد يساوي 200 ليتراً في اليوم الواحد وهو ما يدعى بجريان الطقس الجاف dwf والكثافة السكانية تعادل 3.5 نسمة لكل منزل. والمطلوب التحقق من كفاءة المصرف المذكور.

إمكانية المصرف على التصريف وهو ملآناً:

$$V_{f} = \frac{1}{n} R_{h}^{\frac{2}{3}} J^{\frac{1}{2}} = \frac{1}{0.015} \left( \frac{0.15}{4} \right)^{0.66} \times (0.01)^{\frac{1}{2}} = 0.76 \text{ m/s}$$

$$Q_f = V_f A_f = 0.76 \times \frac{3.14 \times (0.15)^2}{4} = 0.013 \text{ m}^3 / \text{s} = 13 \text{ L/s}$$

إمكانية التصريف الاعظمي للمصرف عند الارتفاع y = 0.95 d أو ما يدعى باستيعاب المصرف:

$$Q_{max} = Q_{\rm f} \times 1.06 = 0.013 \times 1.06 = 13.8 \, L/s$$

تصمم عادة مصارف مياه الفضلات المنزلية (أو ما يدعى بالمياه المالحة) بحيث تستوعب حوالي 6 أضعاف قيمة جريان الطقس الجاف وتحقق السرعة الدنيا من أجل قيمة للتدفق تساوى 2 مرة تصريف الطقس الجاف:

$$Q_P = 2 \text{ dwf} = \frac{2 \times 250 \times 3.5 \times 200}{24 \times 3600} = 13 \text{ L/s}$$

وبالتالي:

$$\frac{Q_P}{Q_f} = \frac{4.05}{13} = 0.31 \, L/s$$

ومن المخطط السابق تنتج قيمة  $\frac{y}{d}$  الموافقة:

$$\frac{y}{d} = 0.38 \rightarrow y = 0.38 \times 0.15 = 0.057 \text{ m} = 57 \text{ mm}$$
 $\frac{V_p}{V_f} = 0.89 \rightarrow V_p = 0.89 \times 0.76 = 0.68 \text{ m/s} > 0.6 \text{ mm/s}$ 

أي ان السرعة التصميمية في الطقس الجاف تزيد عن السرعة الدنيا لمنع حدوث الترسبات (0.5 mm/s).

 $6 \times dwf = 12.15 L/s < 13.8 L/s$ 

تحقيق التصريف الاقصىي:

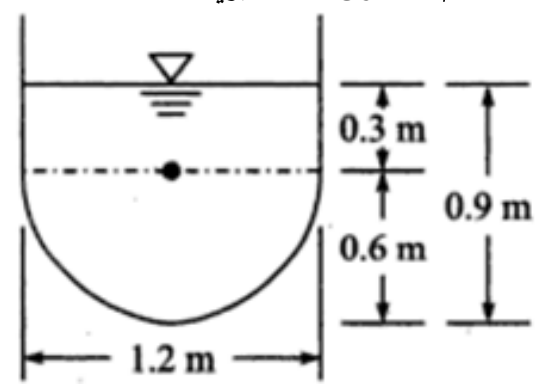
أي ان المصرف مقبول نظراً لأن استيعابه على التصريف أكبر من التصريف الأقصى المطلوب.

#### ملاحظة:

عادة نزيد قطر المصرف لاستيعاب التصريف الأقصى المطلوب من أجل ارتفاع يساوي  $y=0.75\,\mathrm{d}$  بدلاً من  $y=0.95\,\mathrm{d}$  كما ذكرنا سابقاً لدرء احتمال انسداد المصرف بالأجسام الطافية المنقولة بمياه الفضلات ونقبل في تصميم شبكات الصرف قطراً أدنى بمقدار mm 200 ، وفي هذه الحالات نزيد الميل الطولي للمصرف كي تكون السرعة الموافقة لجريان قدره تساوي أو تزيد عن سرعة التنظيف الذاتي للمصرف (أي السرعة التي لا تسمح بحدوث الترسبات وتقدر بحوالي  $0.4-0.5\,\mathrm{m/s}$ 

# تطبيق (9-2)

أوجد قيمة التدفق المار في القناة المكشوفة ذات المقطع المبين بالشكل علماً ان الميل الطولى للقناة J = 1/2500 وأن ثابت شيزي J = 1/2500



$$Q = c A \sqrt{R_h J}$$

$$A = 1.2 \times 3 + 0.5 \times \pi (0.6)^2 = 0.925 \text{ m}^2$$

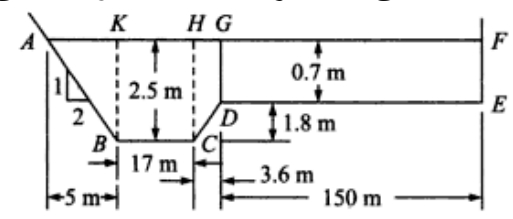
$$P = 0.3 + 0.3 + \pi \times 1.2 / 2 = 2.48 \text{ m}$$

$$R_h = \frac{A}{P} = \frac{3.57}{5.4} = 0.372 \text{ m}$$

$$Q = C A \sqrt{R_h J} = 54 \times 0.925 \times \sqrt{0.372 \times 1/2500} = 0.0693 \text{ m}^3 / \text{sec}$$

### تطبيق (2-10)

قناة عرضها من الأسفل m ، 17m ميل الجانب 1شاقولي: 2أفقي، يمتد ميل أحد الجوانب إلى ارتفاع  $1.8\,m$  ويمتد بعدها أفقياً إلى مسافة m 150 ويرتفع شاقولياً. إذا كان ميل القناة C=35 ، C=35 ، C=35 ميل القناة الرئيسية D=35 ، D=35 عمق القناة الرئيسية D=35 أوجد التدفق.



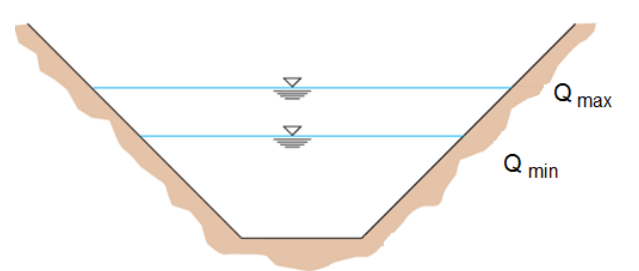
#### الحل:

$$\begin{split} A &= ABK + KBCH + HEDG + GDEF \\ A &= (\frac{1}{2} \times 5 \times 2.5 + 17 \times 2.5 + \frac{2.7 + 7}{2} \times 3.6 + 150 \times 0.7) = 159.51 \, \text{m}^2 \\ P &= AB + BC + CD + CE + EF \\ &= (\sqrt{5^2 + 2.5^2} + 17 + \sqrt{3.6^2 + 1.8^2} + 150 + 0.7) = 177.315 \, \text{m} \\ R &= \frac{A}{P} = \frac{159.51}{177.315} = 0.899 \text{m} \\ Q &= AC\sqrt{R \, s_b} = 159.51 \times 35 \times (0.899)^{1/2} \times \left(\frac{1}{2300}\right)^{1/2} \\ &= 110.406 \, \text{m}^3 \, / \, \text{s} \end{split}$$

### تطبيق (11-2)

قناة ترابية شبه منحرفة ميلها الطولي J=0.001 خشونتها n=0.027 ، معدل  $V_{max}=0.9~m/sec$  السرعة العظمى المسموح بها لمنع الحت m=1.5 والمطلوب: والسرعة الصغري المسموحة لتجنب الترسبات  $V_{min}=0.4~m/sec$ 

عين أبعاد المقطع المناسب لتمرر تدفق أعظمي قدره  $Q_{max}=5~m^3/sec$  بينما تبلغ وين أبعاد المعتاد الأصغري الذي يحدث في أغلبية الأوقات  $Q_{min}=0.3m^3/sec$  المحل



بما أنه لم تفرض علينا أية أبعاد وطلب من ان نصمم أبعاد المقطع المناسب لنمرر أكبر تدفق نختار المقطع الأفضلي.

# الدراسة في حالة تدفق أعظمي:

نبدأ بدراسة التدفق الأعظمي ونصمم أبعاد القناة (عرض القناة – ارتفاع الماء) ثم نأخذ نفس القناة لتمرر التدفق الأصغري أي نفس عرض القناة ولكن نحسب ارتفاع الماء في هذه الحالة ضمن الشروط المسموحة للسرعة العظمى والصغرى.

أبعاد المقطع الأفضلي

$$\lambda = 2\sqrt{1+m^2} - m = 2.106$$

$$A = \lambda y^2$$

$$R_h = \frac{y}{2}$$

$$Q = \frac{1}{n} A R_h^{2/3} J^{1/2} = \frac{1}{n} A (\lambda y^2) (y/2)^{2/3} J^{1/2} = \frac{1}{n} \lambda \frac{y^{8/3}}{2^{2/3}} J^{1/2}$$

$$y^{8/3} = \frac{n Q}{\lambda \sqrt{J}} 2^{2/3} \Rightarrow y = 2^{1/4} (\frac{n.Q}{\lambda \sqrt{J}})^{3/8} = 1.55 m$$

$$b = (\lambda - m) y = (0.606) \times 1.55 = 0.94 m$$

$$A = 2.106 \times (1.55)^2 = 5.06 m^2$$

$$V = \frac{Q}{A} = \frac{5}{5.06} = 0.99 m/sec > (V_{max} = 0.9 m/sec)$$

هذه السرعة أكبر من السرعة الأعظمية المسموحة ولكن بنسبة قليلة بحيث يمكن تصغيرها إلى السرعة المسموحة بتعديل المقطع (لا حاجة لتغيير الميل واحداث سقوط لنثبت السرعة بالقيمة المسموحة العظمى فيكون:

$$V = V_{max} = 0.9 \text{ m/sec}$$

$$A = \frac{Q}{V_{\text{max}}} = \frac{5}{0.9} = 5.556 \text{ m}^2$$

ونختار معادلات المقطع العادي لشبه منحرف

$$V = \frac{1}{n} R_h^{2/3} J^{1/2} \Rightarrow R_h = (\frac{n V}{\sqrt{J}})^{3/2} = 0.674 m$$

$$R_h = \frac{A}{P} \Rightarrow P = \frac{A}{R_h} = \frac{3.634}{0.545} = 8.243 \text{m}$$

$$A = (b + m y) y$$
  
5.556 = b y + 1.5 y<sup>2</sup> (1)

$$P = b + 2 y \sqrt{1 + m^2}$$
8.243 = b + 3.606 y

من المعادلتين الأخيرتين نستنتج b و y فيكون:

$$b = 8.243 - 3.606 \text{ y}$$

$$5.556 = 8.243 \text{ y} - 3.606 \text{ y}^2 + 1.5 \text{ y}^2$$

$$2.106 \text{ y}^2 - 8.243 \text{ y} + 5.556 = 0$$

وهي معادلة من الدرجة الثانية بحلها:

$$b = 5.12 \text{ m}$$

$$y = 0.865 \text{ m}$$

الدراسة في حالة التدفق الأصغري كما يلي:

$$Q_{min} = 0.3 \,\mathrm{m}^3 / \mathrm{sec}$$

$$Q_{\min} = \frac{1}{n} A R_h^{2/3} \sqrt{j}$$

$$0.3 = \frac{1}{0.027} \text{ A R}_{h}^{2/3} \sqrt{0.001} = 1.171 \text{ A R}_{h}^{2/3}$$

لنحسب ارتفاع الماء الموافق لهذا التدفق

$$A = (b + m y) y$$

$$A = (5.12 + 1.5 y) y$$

$$P = b + 2 y \sqrt{1 + m^2}$$

$$P = 5.12 + 3.606 \text{ y}$$

$$R_h = \frac{A}{P}$$

بالتعويض والتجريب نجد أن:

$$y = 0.165 \text{ m}$$

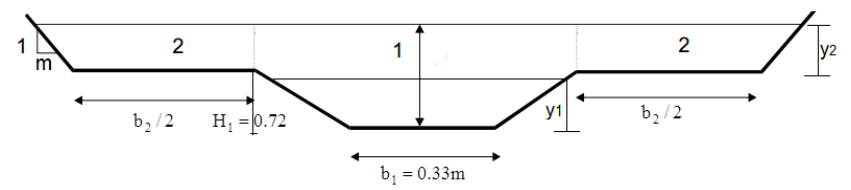
$$b = 5.12 \text{ m}$$

$$A = 0.886 \text{ m}^2$$

$$V = \frac{Q_{min}}{A} = \frac{0.5}{0.886} = 0.34 \text{m/sec} < V_{min}$$

أي أن السرعة الناتجة أقل من القيمة الاصغرية المسموحة.

نختار للتغلب على هذه الصعوبة المقطع المزدوج المتناظر بحيث يصمم القسم المركزي حسب المقطع الأفضلي الموافق للتدفق الأصغري.



$$Q_{max} = 5 \text{ m}^3 / \text{sec}$$

$$\lambda = 2\sqrt{1 + m^2} - m = 2.106$$

$$A_1 = \lambda y_1^2$$

$$R_h = \frac{y_1}{2}$$

$$Q = \frac{1}{n} A_1 R_h^{2/3} J^{1/2} = \frac{1}{n} A_1 (\lambda y_1^2) (y_1/2)^{2/3} J^{1/2} = \frac{1}{n} \lambda \frac{y_1^{8/3}}{2^{2/3}} J^{1/2}$$

$$y_1^{8/3} = \frac{n Q}{\lambda \sqrt{J}} 2^{2/3} \Rightarrow y_1 = 2^{1/4} \left(\frac{n.Q}{\lambda \sqrt{J}}\right)^{3/8} = 0.54 \text{ m}$$

$$V_1 = \frac{Q}{A_1} = \frac{0.3}{2.106(0.54)^2} = 0.49 \text{m/sec} > (V_{\text{min}} = 0.4 \text{ m/sec})$$

والسرعة محققة.

الارتفاع الحر:

$$f_{_1} = 0.5 \times V_{_1} \times \sqrt{y_{_1}} = 0.5 \times 0.49 \times \sqrt{0.54} = 0.18 \text{ m}$$

العمق الكلى للقسم المركزي:

 $H_1 = y_1 + f_1 = 0.54 + 0.18 = 0.72m$ 

وتكون أبعاد القسم المركزي:

$$b_1 = (\lambda - m) y_1 = (2.106 - 1.5) 0.54 = 0.33m$$

أي:

$$b_1 = 0.33m$$
  $H_1 = 0.72 m$ 

ندقق الآن المقطع من أجل التدفق الأعظمي

نعتبر أن عرض الجوانب فوق الارتفاع  $H_1$  يساوي  $b_2/2$  من كل طرف وارتفاع الماء  $y_2$  فوق  $y_3$  ونفرض نفس ميل الجوانب ومعامل الخشونة.

لندرس القسم المركزي(1):

عرض السطح الحرحتى منسوب  $H_1$  هو

$$T_1 = b_1 + 2 \text{ m H}_1 = 0.33 + 0.72 \times 2 \times 1.5$$
  
 $T_1 = 2.49 \text{ m}$ 

وتكون الأبعاد

$$\begin{aligned} A_1 &= (b_1 + m \ H_1) \ H_1 + T_1 \ y_2 \\ A_1 &= (0.33 + 1.5 \times 0.72) \ 0.72 + 2.49 \ y_2 \\ A_1 &= 1.0152 + 2.49 \ y_2 \\ P_1 &= b_1 + 2 \ H_1 \ \sqrt{1 + m^2} = 0.33 + 0.72 \times 2 \ \sqrt{1 + \left(1.5\right)^2} \\ P_1 &= 2.926 \ m \end{aligned}$$

ملاحظة: لا يجوز أن يتم الحساب وفق الشكل

$$A_{1} = \lambda H_{1}^{2} + T_{1} y_{2}$$

$$P_{1} = 2 \lambda H_{1}$$

$$T_{1} = (\lambda + m) H_{1}$$

 $H_1 = y_1 + f_1$  ولكن ولكن  $Y_1 = y_1 + f_1$  أصبح المقطع عادي.

سندرس الجزء (2) كمقطع شبه منحرف واحد.

$$A_2 = b_2 y_2 + m y_2^2$$

$$A_2 = b_2 y_2 + 1.5 y_2^2$$

$$P_2 = b_2 + 2 y_2 \sqrt{1 + m^2} = b_2 + 3.606 y_2$$

.(2) (1) التدفق الناتج في المقطع المركب ينتج عن جمع التدفقين في المقطعين  $\mathbf{Q}_{\max} = \mathbf{Q}_1 + \mathbf{Q}_2$ 

$$Q_{\text{max}} = \frac{1}{n} \; A_1 \; R_{\text{h1}}^{\, 2/3} \; J^{1/2} + \frac{1}{n} \; A_2 \; R_{\text{h2}}^{\, 2/3} \; J^{1/2}$$

$$Q_{\text{max}} = \frac{\sqrt{J}}{n} \left( A_1 R_{\text{h1}}^{2/3} + \frac{1}{n} A_2 R_{\text{h2}}^{2/3} \right)$$

$$A_{1} R_{h1}^{2/3} + \frac{1}{n} A_{2} R_{h2}^{2/3} = 4.269$$
 (3)

تحتوي المعادلة على مجهولين  $y_2$  و  $y_2$  لذلك إما أن نفرض قيمة للعرض الاجمالي يحتوي المعادلة على مجهولين  $y_2$  واستنتاج قيمة  $y_2$  أو فرض قيمة  $y_2$  واستنتاج عادة نفرض قيمة  $y_2$  تتناسب مع الشروط المجاورة أو بفرض نسبة  $y_2$  الى  $y_2$  .

لنفرض الشرط

$$\mathbf{b}_2 = 6 \, \mathbf{y}_2$$

ينتج لدينا:

$$A_1 = 1.0152 + 2.49 y_2$$

$$P_1 = 2.926 m$$

$$A_2 = 6 y_2^2 + 1.5 y_2^2 = 7.5 y_2^2$$

$$P_2 = 6 y_2 + 3.606 y_2 = 9.606 y_2$$

بالتعويض في المعادلة (3) والتجربب نجد:

$$b_2 = 3.798 \text{m}$$
  $y_2 = 0.633 \text{ m}$ 

لنحسب السرعة في المقطع (2)

$$V_2 = \frac{1}{n} R_{h2}^{2/3} J^{1/2}$$

$$V_2 = \frac{1}{0.027} (0.4942)^{2/3} \sqrt{0.001} = 0.732 \text{ m/sec} < V_{max} = 0.9 \text{ m/sec}$$

$$f_2 = 0.5 V_2 \sqrt{y_2} = 0.291 m$$

لنتأكد من السرعة الوسطية في كامل المقطع

$$V_{\rm m} = \frac{Q}{A_1 + A_2} = \frac{5}{2.5914 + 3.0052} = 0.893 \,\text{m/sec} < V_{\rm max} = 0.9 \,\text{m/sec}$$

 $V_{min} < V \le V_{max}$  :وتحقق السرعة

تطبيق (12-2)

قناة ذات مقطع شبه منحرف أفضلي معدل ميل الجوانب m=1 يُطلب أن يمر تدفق  $14m^3/\sec$  من خلال ميل طولي للقناة 0.001 وتكون قيمة ثابت شيزي  $14m^3/\sec$  في حالة عدم تبطين القناة. أما في حال تم تبطين القناة بالبيتون فإن قيمة هذا الثابت ستكون C=70 فإذا علمت أن كلفة المتر المكعب من الحفر عبارة عن ثلاث أضعاف كلفة تبطين المتر المربع فالمطلوب:

ما هو الأرخص: تبطين القناة أم لا؟

الحل: بما أن القناة ذات مقطع أفضلي نكتب:

$$\lambda = 2\sqrt{1+m^2} - m = 2\sqrt{1+1} = 1.828$$

$$A = \lambda y^2 = 1.828 y^2$$

$$P = 2\lambda y = 2 \times 1.828 \times y = 3.656 y$$

$$b = (\lambda - m) y = (1.828 - 1) y = 0.828 y$$

$$R_h = \frac{y}{2}$$

في حالة القناة غير مبطنة C=45 وبالتعويض في معادلة مانينغ للتدفق نجد:

$$Q = CA \sqrt{JR_h}$$
  
14 - 45 × 1 828  $v^2 \sqrt{0.5 v \times 0.6}$ 

$$14 = 45 \times 1.828 \text{ y}^2 \sqrt{0.5 \text{ y} \times 0.001}$$

$$y = 2.25 \text{ m}$$

في حالة تم تبطين القناة C = 70 وبالتعويض في معادلة مانينغ للتدفق نجد:

$$Q = C A \sqrt{J R_h}$$

$$14 = 70 \times 1.828 \text{ y}^2 \sqrt{0.5 \text{ y} \times 0.001}$$

$$y = 1.88 \text{ m}$$

$$b = 0.828 \times 1.88 = 1.55 \text{ m}$$

لنفرض أن K هي كلفة التبطين لكل متر مربع من سطح القناة ومن ثم فإن تكلفة حفر المتر المربع تصبح 3K ولندرس كلفة متر طولي واحد من القناة:

أولاً - في حالة القناة غير مبطنة تكون التكلفة للحفر:

$$1 \times A = 1 \times 1.828 \times (2.5)^2 = 9.254 \text{ m}^3$$
  
E = 3 K × 9.254 = 27.76 K

ثانياً - في حالة تبطين القناة تكون التكلفة للحفر:

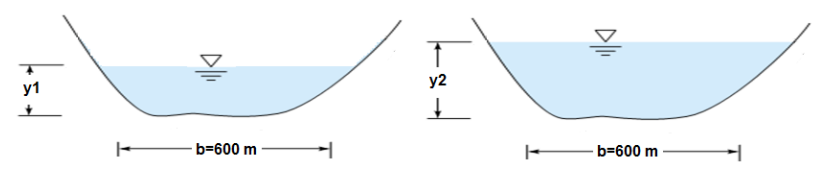
$$1 \times A = 1 \times 1.828 \times (1.88)^{2}$$
  
E = 3 K ×1×1.828×(1.88)<sup>2</sup> = 19.38 K

E+E'=(6.87+19.38)~K=26.2~K وتصبح الكلفة الإجمالية للقناة المبطنة هي: E+E'=(6.87+19.38)~K=26.2~K وبالتالي كلفة القناة غير المبطنة أكبر من التكلفة الكلية للقناة المبطنة وتكون القناة المبطنة أقل كلفة.

# تطبيق (13-2)

نهر عرض قاعدته b=600~m والميل الطولي لقاعه J=8~cm/Km وجد أن مادة J=8~cm/Km والسرعة القاع تبدأ بالحركة إذا وصلت قيمة التدفق إلى  $Q=150\times 10^6~m^3/day$  والسرعة المتوسطة للجربان تتغير مع عمق الجربان تبعاً للعلاقة:  $V=120~J^{2/3}~y$ 

والمطلوب حساب الميل الطولي للقاع الذي يكون عنده جهد القص المتوسط على القاع لتدفق مقداره  $m^3/day$  مساوياً له في الحالة الأولى.



نبدأ الحل بتحديد معطيات المسألة كما يلي:

$$\begin{split} &Q_1 = 150 \times 10^6 \ m^3 \, / \, day = 1736.11 \, m^3 \, / \, sec \\ &Q_2 = 600 \times 10^6 \ m^3 \, / \, day = 6944.4 \, m^3 \, / \, sec \\ &J_1 = 8 \times 10^{-5} \\ &J_2 = ? \\ &\tau_1 = \gamma \, R_h^{2/3} \, J_1 \\ &R_{h_1} = \frac{A}{P} = \frac{b \, y_1}{b + 2 \, y_1} \approx y \quad ; \quad b >> y \\ &Q_1 = A_1 \, V_1 = 600 \, y_1 \, (120 \, J_1^{2/5} \, y_1) = 1736.11 \\ &y_1 = 3.6 \, m \\ &\tau_1 = 10^3 \times 8 \times 10^{-5} \times 3.6 = 0.288 \, Kg \, / \, m^2 \\ &\tau_1 = \tau_2 = 0.288 \, Kg \, / \, m^2 \\ &\tau_2 = \gamma \, y_2 \, J_2 \\ &0.288 = 10^3 \times y_2 \, J_2 \cdots (1) \end{split}$$

من معادلة الاستمرار

$$Q_2 = A_2 V_2 = 600 y_2 (120 J_2^{2/3} y_2) = 6944.4 \cdot \cdot \cdot \cdot \cdot (2)$$
$$y_2 = \frac{0.288 \times 10^3}{J_2}$$

نعوض في العلاقة (2) فنجد:

$$6944.4 = 7.2 \times 10^{4} \times y_{2}^{2} \times J^{2/3} = 5.972 J_{2}^{4/3}$$
 
$$J_{2} = 2.82 \times 10^{-5}$$
 
$$y_{2} = 10.2 m$$

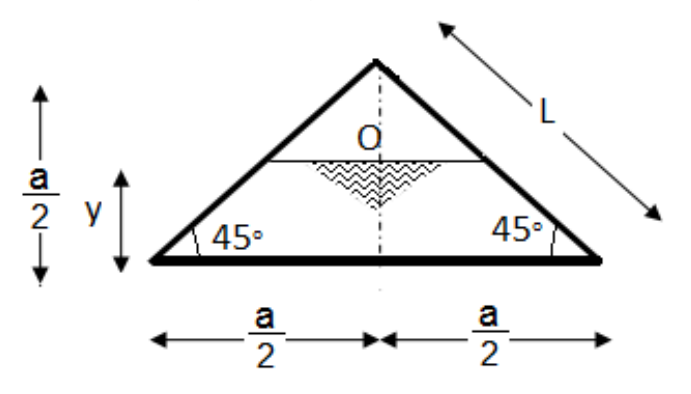
ملاحظة: إذا لم يتم إهمال y أمام b فإننا نصل بالتقريب المتتالي إلى النتائج التالية:  $J_2=2.95\times 10^{-5}$   $y_2=10.05~{\rm m}$ 

تطبيق (2-14)

قناة مثلثية مغلقة ذات مقطع موضح بالشكل، فإذا علمت أن الميل الطولي للقناة J=0.002 ومعامل مانينغ J=0.002

1- النسبة y/a ليمر في القناة جريان نظامي بتدفق أعظمي.

2- حساب هذا التدفق من أجل a = 5m ثم حدد نظام الجريان.



الحل

$$\mathbf{A} = \mathbf{A}_1 - \mathbf{A}_2$$

$$A_1 = \frac{2a}{2} \times \frac{a}{2} \times \frac{1}{2} = \frac{a^2}{4}$$

$$A_2 = 2(\frac{a}{2} - y)(\frac{a}{2} - y)\frac{1}{2} = (\frac{a}{2} - y)^2$$
 (1)

$$A = \frac{a^2}{4} - (\frac{a}{2} - y)^2 = ay - y^2$$

$$P = a + 2(L - L')$$

$$L = \sqrt{\left(\frac{a}{2}\right)^2 + \left(\frac{a}{2}\right)^2} = \frac{a}{2}\sqrt{2}$$

$$L' = \sqrt{\left(\frac{a}{2} - y\right)^2 + \left(\frac{a}{2} - y\right)^2} = \left(\frac{a}{2} - y\right)\sqrt{2}$$
 (2)

$$L - L' = \frac{a}{2}\sqrt{2} - (\frac{a}{2} - y)\sqrt{2} = \sqrt{2}(\frac{a}{2} - \frac{a}{2} + y) = y\sqrt{2}$$

$$P = a + 2y\sqrt{2}$$

$$R_h = \frac{A}{P} = \frac{ay - y^2}{a + 2y\sqrt{2}}$$

ليمر التدفق أعظمياً يجب أن تتحقق العلاقة التالية:

$$5 P dA - 2 A dP = 0$$

$$dA = a - 2 y$$

$$dP = 2\sqrt{2}$$

$$5(a + 2\sqrt{2}y)(a - 2y) - 2(ay - y^2)(2\sqrt{2}) = 0$$

$$5a^2 + 10\sqrt{2}ay - 10ay - 20\sqrt{2}y^2 - 4\sqrt{2ay} + 4\sqrt{2}y^2 = 0$$

نقسم على a<sup>2</sup>

$$16\sqrt{2}\frac{y^2}{a^2} - \frac{y}{a}(6\sqrt{2} - 10) - 5 = 0$$

$$22.63\frac{y^2}{a^2} + 1.5\frac{y}{a} - 5 = 0$$

$$\Delta = 2.25 - 4(22.63)(-5) = 454.85$$

$$\sqrt{\Delta} = 21.33$$

$$\frac{y}{a} = \frac{-1.5 + 21.33}{2 \times 22.63} = 0.438 \approx 0.44$$

$$\frac{y}{a} = \frac{-1.5 - 21.33}{2 \times 22.63} = -0.5$$
مرفوض

a = 5 من أجل

$$y = 0.44 \times 5 = 2.2 \text{ m}$$

$$A = a \text{ y} - \text{y}^2 = 6.16 \text{ m}^2$$

$$P = a + 2\sqrt{2} \text{ y} = 11.22 \text{ m}$$

$$R_h = \frac{A}{p} = 0.55 \text{ m}$$

$$Q = \frac{1}{n} A R_h^{2/3} \sqrt{J}$$

$$Q = \frac{1}{0.014} \times 6.16 \times (0.55)^{2/3} \times \sqrt{0.001} = 9.34 \text{ m}^3/\text{sec}$$

$$V = \frac{Q}{A} = \frac{9.34}{6.16} = 1.52 \text{ m/sec}$$

لتحديد نظام الجربان نحسب رقم فرود

$$T = 0.6 \text{ m}$$

$$y_{m} = \frac{A}{T} = \frac{6.16}{0.6} = 10.27 \text{ m}$$

$$F_{r} = \frac{V}{\sqrt{g \, y_{m}}} = \frac{1.52}{\sqrt{9.81 \times 10.27}} = 0.15 < 1$$
 جریان نهري

#### تطبيق (2-15)

يمر تدفق في قناة على شكل مثلث متساوي الساقين عرض قاعدتها a وجوانبها تصنع زاوية °45 مع القاع والمطلوب:

تحديد العلاقة بين عمق الماء d وعرض القاع a بالنسبة للحالات التالية:

1- حالة السرعة العظمي.

2- حالة التدفق الأعظمي.

وذلك باعتماد صيغة مانينغ مع ملاحظة أن: d < 0.5a

الحل

تعطى السرعة حسب مانينغ

$$V = \frac{1}{n} A R_h^{2/3} \sqrt{J}$$

$$A = \left(\frac{GH + BC}{2}\right) \times d$$

$$GH = BC - 2GC = a - 2d$$

بما أن 
$$GC = d$$
 أو  $\frac{d}{GC} = 1$  أو  $\frac{GH}{GC} = tg45 = 1$  إذن:

$$A = \left\lceil \frac{(a-2d)+a}{2} \right\rceil \times d = (a-d) \times d$$

$$P = BC + BG + HC = BC + 2BG$$

$$BG = \sqrt{d^2 + d^2} = d\sqrt{2}$$

$$P = a + 2\sqrt{2} d$$

$$R_h = \frac{A}{P} = \frac{(a-d) \times d}{a + 2\sqrt{2} d}$$

وبالتالي بالتعويض بمعادلة مانينغ للسرعة نجد:

$$V = \frac{1}{n} \left[ \frac{(a-d) d}{a + 2\sqrt{2} d} \right]^{\frac{2}{3}} \sqrt{J}$$

لنحصل على السرعة الأعظمية نكتب:

$$\frac{d}{dd} = \frac{J^{1/2}}{n} \left[ \frac{(a-d) d}{a + 2\sqrt{2} d} \right]^{2/3} = 0$$

وبعد التبسيط تصبح لدينا العلاقة بالشكل التالي:

$$a^{2} - 2ad - 2\sqrt{2} d^{2} = 0$$

$$a = \frac{2d \pm \sqrt{4d^{2} + 8\sqrt{2} d^{2}}}{2} = \frac{2d \pm 3.91d}{2} = 2.955 d$$

وذلك بإهمال القيمة السالبة وبالتالي:

$$\frac{d}{a} = \frac{1}{2.955} = 0.338$$

من أجل الحصول على أقصى كمية للتدفق يكون:

$$Q = A \ V = (a - d) \frac{1}{n} \left[ \frac{(a - d)d}{a + 2\sqrt{2} d} \right]^{2/3} \sqrt{J}$$

$$\frac{d}{dd} = \left[ (a - d) \times d \times \frac{J^{1/2}}{n} \times \left[ \frac{(a - d) \times d}{a + 2\sqrt{2} d} \right]^{2/3} \right] = 0$$

$$\frac{J^{1/2}}{n} \left[ \frac{(a + 2\sqrt{2} d)^{2/3} \times \frac{5}{3} \times ((a - d) \times d)^{2/3} \times (a - 2d)}{(a + 2\sqrt{2} d)^{4/3}} \right]$$

$$\frac{((a - d) \times d)^{5/3} \times \left[ \frac{2}{3} \times (a + 2\sqrt{2} d)^{4/3} \times 2\sqrt{2} \right]}{(a + 2\sqrt{2} d)^{4/3}} = 0$$

وبعد التبسيط نحصل على الآتي:

$$5 d^{2} - 1.5147 a d - 22.627 d^{2} = 0$$

$$a = \frac{1.5147 \pm d \sqrt{(1.5147)^{2} + 4 \times 5 \times 22.6274}}{10} = 2.284 d$$

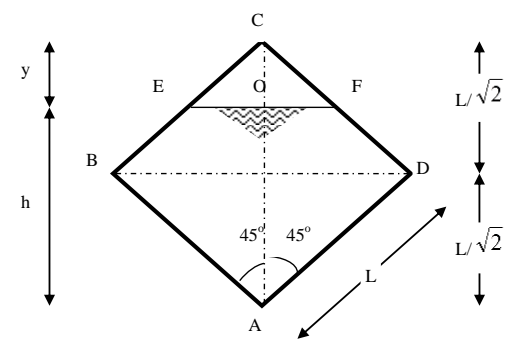
$$\frac{d}{a} = \frac{1}{2.284} = 0.4378$$

وذلك بإهمال القيمة السالبة فيصبح:

#### تطبيق (16-2)

قناة مكشوفة مغلقة ذات مقطع موضح بالشكل المجاور يمر بها جريان منتظم بأعماق مختلفة وتدفقات مختلفة باعتماد معادلة مانينغ في حساب ثابت شيزي:

- 1- اثبت بطريقة رياضية أن التدفق الأعظمي يكون عندما تكون قيمة نسبة عمق الجريان h/L=1.259
- 2- اثبت بطريقة رياضية أن السرعة الاعظمية تكون عندما تكون قيمة نسبة عمق الجريان h/L=1
- h/L . والسرعة مع النسبة h/L من أجل ارتفاعات  $L=\sqrt{2}$  . والسرعة مع النسبة  $L=\sqrt{2}$  وأن الميل h=0 بتزايد  $L=\sqrt{2}$  إذا علمت أن  $L=\sqrt{2}$  وأن الميل مائية متغيرة من  $L=\sqrt{2}$  ومعامل خشونة مانينغ L=0.00 ثم قارن نتائج الطلب الأول مع المخطط.
  - 4- في أحد الأعوام تم الجربان في القناة بعمق نظامي مقداره h=1m والمطلوب:
    - ا الميل الحرج وطبيعة ميل القناة ونوع الجريان
- ب في موضى ما من مجرى القناة تم حدوث قفزة مائية وكانت قيمة الحمولة النوعية في المقطع الموافق للعمق المنضغط (الشلالي)  $E_{S1}=2m$  وباعتبار القناة أفقية في منطقة القفزة احسب مايلي:
  - 2- ضياع الحمولة الناتج عن القفزة
- 1- العمقين المترافقين
  - 3- مردود القفزة



الحل:

BE = 
$$L - \sqrt{2} y$$
  
EF =  $2y$   
P =  $4L - 2y\sqrt{2}$   
 $y = 2\frac{L}{\sqrt{2}} - h$ 

$$P = 4 L - 2\sqrt{2} \left( \frac{2 L}{\sqrt{2}} - h \right)$$

$$P = 4 L - 4 L + 2 \sqrt{2} \left( \frac{2 L}{\sqrt{2}} - h \right)$$

$$P = 2\sqrt{2} h$$

$$A = L^{2} - y^{2} = L^{2} - (\frac{4}{2}L^{2} - \frac{4}{\sqrt{2}}Lh + h^{2})$$

$$A = \frac{4}{\sqrt{2}}Lh - L^2 - h^2$$

حساب التدفق الأعظمي

(1)

(2)

$$Q = \frac{1}{n} A R_h^{2/3} \sqrt{J}$$

$$Q = \frac{\sqrt{J}}{n} A \frac{A^{2/3}}{P^{2/3}}$$

$$Q = \frac{\sqrt{J}}{n} \frac{A^{5/3}}{P^{2/3}}$$

$$\frac{dQ}{dh} = 0$$

$$d(\frac{A^{5/3}}{P^{2/3}}) = 0$$

$$5 P dA - 2 A dP = 0$$

$$\frac{dA}{dh} = \frac{4}{\sqrt{2}}L - 2h$$

$$\frac{dP}{dh} = 2\sqrt{2}$$

$$5 (2\sqrt{2} h) (\frac{4}{\sqrt{2}} L - 2h) - 2(\frac{4}{\sqrt{2}} L h - L^2 - h^2) (2\sqrt{2}) = 0$$
$$20\sqrt{2} h^2 + 40 L h - 16 L h + 4\sqrt{2}L^2 + 4\sqrt{2}h^2) = 0$$

$$-16\sqrt{2} h^2 - 24 L h + 4\sqrt{2}L^2 = 0$$

نقسم على  $4\sqrt{2}L^2$  لنحصل على معادلة من الدرجة الثانية:

$$-4\left(\frac{h}{L}\right)^{2}+3\sqrt{2}\,\frac{h}{L}+1=0$$

 $\Delta = 34$ 

$$\frac{h}{L} = \frac{-3\sqrt{2} + \sqrt{34}}{-8} = -0.198$$
 مرفوض

$$\frac{h}{L} = \frac{-3\sqrt{2} - \sqrt{34}}{-8} = 1.259$$

$$V = \frac{1}{n} R_h^{2/3} \sqrt{J}$$

حساب السرعة الاعظمية:

$$\frac{dV}{dh} = 0$$

$$d(\frac{A^{5/3}}{P^{2/3}}) = 0$$

$$dAP-dPA=0$$

$$2\sqrt{2} h \left(\frac{4}{\sqrt{2}} L - 2h\right) - 2\sqrt{2} \left(\frac{4}{\sqrt{2}} L h - L^2 - h^2\right) = 0$$

$$-2\sqrt{2}\,h^2 + 2\sqrt{2}\,L^2 = 0$$

$$\frac{h^2}{L^2} = 1 \implies \frac{h}{L} = 1$$

 $h{=}0$  من أجل ارتفاعات مائية متغيرة من h/L لندراسة تحولات قيم التدفق مع النسبة

إلى 
$$\frac{2L}{\sqrt{2}}$$
 وبتعويض قيمة  $\frac{1}{\sqrt{2}}$  في المعادلتين (1), (2) نجد:

من أجل: 
$$h=0$$
  $\rightarrow$   $h=\frac{L}{\sqrt{2}}$  من أجل:

$$A = \frac{1}{2}h \times 2h = h^2$$

$$P = 2\sqrt{2 h}$$

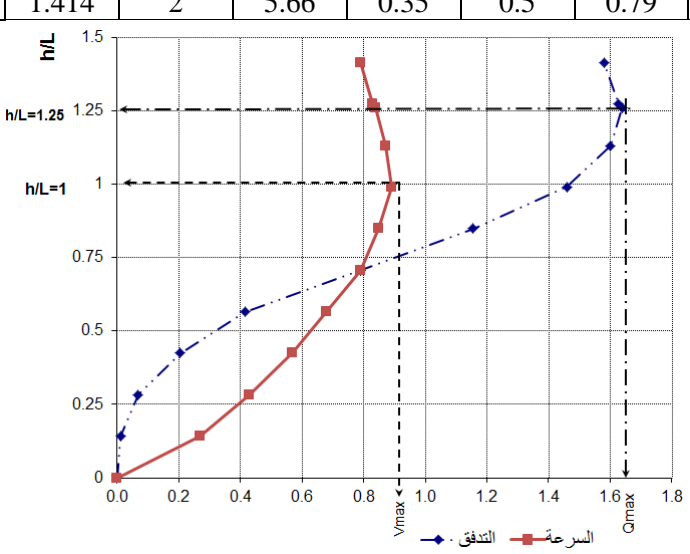
$$h = \frac{L}{\sqrt{2}} \rightarrow h = \frac{2L}{\sqrt{2}}$$
 : من أجل 
$$A = -2 + 4h - h^2$$
 : يكون 
$$P = 2\sqrt{2h}$$

$$V = \frac{1}{n} R_h^{2/3} \sqrt{J} = 1.581 R_h^{2/3}$$

$$Q = A V$$

## ننظم الحسابات في الجدول الآتي:

						•	
h	$\frac{h}{L}$	A	Р	R <sub>h</sub>	$R_h^{2/3}$	V	Q
0	0	0	0	0	0	0	0
0.2	0.141	0.04	0.57	0.07	0.17	0.27	0.011
0.4	0.283	0.16	1.13	0.14	0.27	0.43	0.069
0.6	0.424	0.36	1.7	0.212	0.36	0.57	0.205
0.8	0.566	0.611	2.26	0.28	0.43	0.68	0.415
1	0.707	1	2.83	0.35	0.5	0.79	0.79
1.2	0.849	1.36	3.39	0.4	0.54	0.85	1.156
1.4	0.99	1.64	3.96	0.414	0.56	0.89	1.46
1.6	1.131	1.84	4.52	0.407	0.55	0.87	1.601
1.78	1.259	1.95	5.03	0.387	0.53	0.84	1.638
1.8	1.273	1.96	5.1	0.38	0.525	0.83	1.627
2	1.414	2	5.66	0.35	0.5	0.79	1.58



من أجل 
$$h=1m$$
 و  $Q=0.079$  و  $m=1$  والمقطع مثلثي لحساب الميل الحرج نحسب العمق الحرج (انظر الفصل الثالث)

$$y_c = \sqrt[5]{\frac{2Q^2}{g m^2}} = 0.66 m$$

$$Q = \frac{1}{n} A \, R_h^{2/3} \, \sqrt{J_c}$$

$$A_c = 0.44 \text{ m}^2$$
  $P = 1.87 \text{ m}$ 

$$P = 1.87 \, \text{m}$$

$$R_h = 0.236$$

نعوض فيصبح:

$$0.79 = \frac{0.44}{0.02} \times (0.236)^{2/3} \times \sqrt{J_c}$$

$$J_c = 0.009$$

وهو ميل بسيط الانحدار  $J_{c} > J$  ونوع الجربان نهرى

حساب العمقين المترافقين للقفزة (انظر الفصل الخامس)

$$E_{S1} = y_1 + \frac{V_1^2}{2g} = y_1 + \frac{Q^2}{2g A_1^2} = y_1 + \frac{Q^2}{2g y_1^4}$$

$$E_{s2} = y_1 + \frac{0.032}{y_1^4} = 2$$

$$y_1 = 0.374 \text{ m}$$

لحساب العمق المرافق الثاني نلجأ لتابع القوى النوعية:

$$Y = \frac{Q^2}{g A_1} + A_1 \overline{h}_1 = \frac{Q^2}{g A_2} + A_2 \overline{h}_2$$

$$Y = \frac{Q^2}{g y_1^2} + y_1^2 \frac{y_1}{3} = \frac{0.064}{y_1^2} + \frac{y_1^3}{3} = 0.475$$

$$y_2 = 1.08 \,\text{m}$$
 وبالمثل نحصل على  $\frac{0.064}{y_2^2} + \frac{y_2^3}{3} = 0.475$  وبالمثل نحصل على وبالمثل نحصل على المثل ال

ضياع الحمولة:

$$E_{s1} = y_2 + \frac{0.032}{y_2^4} = 1.104$$

$$\Delta E_s = E_{s1} - E_{s2} = 0.896$$

$$\frac{\Delta E_s}{E_{s1}} = \frac{0.896}{2} = 0.448\%$$

مردود القفزة

$$\eta = \frac{y_2 - y_1}{\frac{V_1^2}{2g} - \frac{V_2^2}{2g}} = \frac{0.706}{\frac{Q^2}{2gA_1^2} - \frac{Q^2}{2gA_2^2}}$$
$$\eta = \frac{0.706}{\frac{0.032}{y_1^4} - \frac{0.032}{y_2^4}} = 0.44\%$$

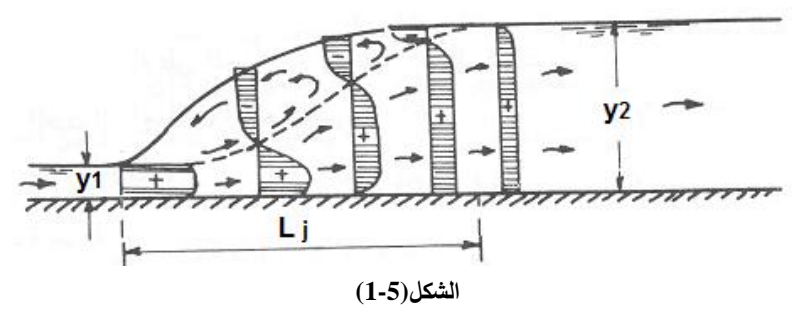
# الفصل الخامس الجريان سريع التغير (القفزة المائية) Rapidly Varied Flow (Hydraulic Jump)

#### 1-5 مقدمة

القفزة المائية هي عبارة عن تغير مفاجئ ومضطرب في طبيعة جريان السائل من طور منخفض إلى طور عال. أي عند انتقال الجريان من حالة جريان فوق الحرج (شلالي)، طور منخفض إلى طور عال. أي عند انتقال الجريان من حالة جريان فوق الحرج (نهري) y>yc أو  $F_r>1$  فإن هذا الانتقال يحدث بصورة زيادة سريعة في أعماق الجريان خلال مسافة قصيرة نسبياً. وكما في كل حالات الجريان المتوسع التي تحدث ازدياداً في الضغط أسفل التيار ، فإن القفزة المائية تترافق بدوامات كبيرة وعنيفة وبالتالي تترافق حتماً بضياع في القدرة الحركية.

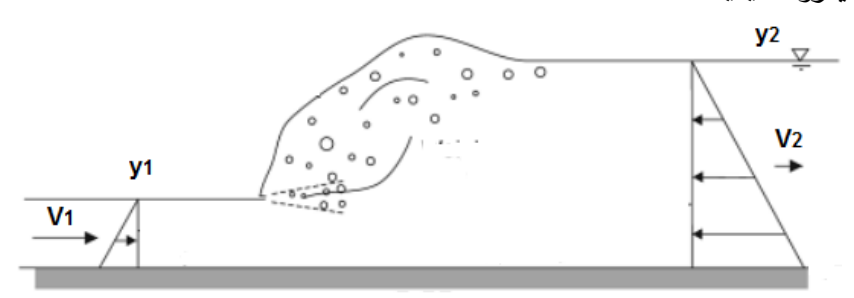
بملاحظة شكل توزع السرعة خلال القفزة نجد أن الجريان خلال القفزة ينقسم إلى جزئين الشكل (5-1).

الجزء السفلي من القفزة تكون الحركة فيه إلى الأمام في اتجاه حركة الجريان وفي صورة جريان يتسع بالاتجاه الشاقولي، في هذا الجزء يكون انحناء خطوط التيار كبير ويكون الجريان سريع التغير ولا يمكن تطبيق قانون التوزيع الهيدروستاتيكي للضغوط في هذه الحالة.



الجزء العلوي من القفزة عبارة عن كتلة من الماء المشبع بالهواء والتي تتحرك فوق الجزء السفلي وتكون الحركة في هذا الجزء عكس اتجاه حركة الجريان ككل ونلاحظ أن الحركة في هذين الجزئين ليست حركة منفصلة ولكن يحدث دائماً تبادل لجزيئات السائل بينها أثناء الحركة بصفة دائمة.

- تتحدد بداية القفزة المائية بذات المقطع الذي يكون فيه الجريان فوق الحرج، قبل القفزة محتفظاً بشكل توزيع السرعات للجريان متدرج التغير الشكل(5-2).
- تتحدد نهاية القفزة بذلك المقطع الذي يكون فيه الجريان تحت الحرج، بعد القفزة محتفظاً بشكل توزيع السرعات للجريان متدرج التغير، يقع هذا المقطع بعد انتهاء منطقة الدوامات السطحية مباشرة.
- على ذلك فإنه في مقطعي بداية ونهاية القفزة يمكن اعتبار أن الضغوط موزعة هيدروستاتيكياً.



الشكل(2-5)

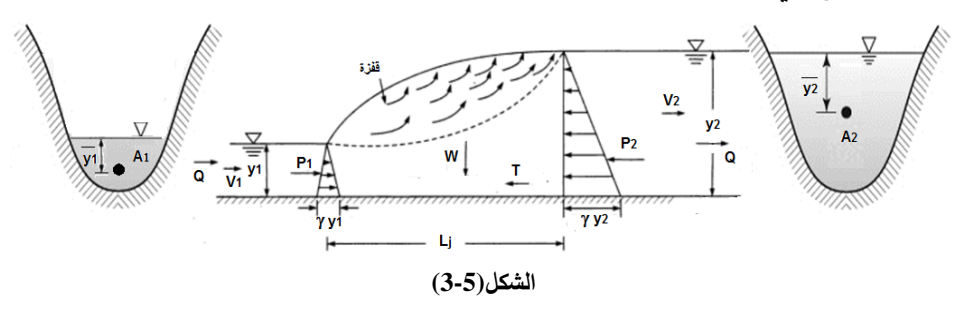
تستخدم القفزة المائية في أغراض شتى نذكر منها على سبيل المثال لا الحصر ما يلي:

- 1) تبديد طاقة الجريان المار من على الهدارات و السدود و المنشآت المائية.
- 2) زيادة عمق المياه خلف المنشآت المائية مما يؤدي لسهولة استخدامها لأغراض الري.
  - 3) خلط المواد الكيماوية المستخدمة في تتقية المياه.
- 4) زيادة عمق المياه على الجزء الخلفي لقواعد المنشآت المائية، مما ينتج عنه زيادة الوزن المقاوم لقوى الرفع المائي على القاعدة من أسفل والناتجة من التسرب تحت القاعدة.
- 5) زيادة التدفق المار من تحت البوابات حيث تسبب زيادة في قيمة الضاغط المؤثر على البوابة في حال تكونها بعيداً بعض الشي عن البوابة.

#### 2-5 المعادلة العامة للقفزة المائية

لنعتمد مقطعين مجاورين لمنطقة التغير السريع أو القفزة وبعيدين عنها بعداً كافياً بحيث يمكن اعتبار الجربان فيهما منتظماً (أو متغير بشكل تدريجي) وليكن A1,A2 المقطع

المائي في مقطعي الجريان قبل وبعد القفزة وليكن  $y_1,y_2$  أعماق الماء قبل وبعد القفزة و  $V_1,V_2$  السرع في المقطعين الشكل(5-3).



لنطبق نظرية التغير في كمية الحركة على كتلة السائل المحصورة في هذين المقطعين بكتابة أن تدفق كمية الحركة الخارجة من هذين المقطعين والمسقطة على مستقيم يوازي مولدات القناة يساوي إلى مجموع القوى المؤثرة على هذه الكتلة المائية في اتجاه  $\sum F = \rho Q(V_2 - V_1)$  (1-5)

وهذه القوى هي:

• قوى الضغط الهيدروستاتيكي على المقطعين (1) و (2)

$$F_1 = \gamma A_1 \overline{y}_1$$

$$F_2 = \gamma A_2 \overline{y}_2$$
(2-5)

عمق مركز ثقل المقطع المعتبر تحت السطح الحر في ذلك المقطع و تؤثران  $\overline{y}_1, \overline{y}_2$  في اتجاه محور x

- وزن السائل المحصور بين المقطعين(1) و (2) ومقداره w ويؤثر عمودياً على اتجاه المحور x
- قوى الاحتكاك على جوانب المجرى ومقدارها T وتؤثر بعكس اتجاه المحور X إذا أهملنا الميل من جهة وقوى الاحتكاك من جهة أخرى لصغر المسافة بين المقطعين مؤكدين أن الضغط على الجوانب الصلبة عمودي على اتجاه الجريان نجد:  $\rho \beta_2 \, Q \, V_2 \rho \beta_1 \, Q \, V_1 = F_1 F_2 \end{tabular}$

باعتبار أن معامل تصحيح كمية الحركة في مقطعي الجريان (1) و (2) متساوي ويساوي تقريباً الواحد الصحيح أي:  $\beta_2 = \beta_1$ 

أي تصبح المعادلة بعد تعويض القيم وقسمة الطرفين على  $\gamma$  ونقل المتحولات العائدة لكل مقطع إلى طرف والإصلاح كما يلى:

$$\frac{Q^2}{g A_1} + A_1 \overline{y_1} = \frac{Q^2}{g A_2} + A_2 \overline{y_2}$$
 (4-5)

حيث نسمى التابع:

$$Y = \frac{Q^2}{g A} + A \overline{y}$$

تابع القوى النوعية وهو علاقة تربط التدفق بالعمق. ويعبر عن المعادلة الأساسية للقفزة المائية في قناة أفقية منتظمة. ومن هنا نستطيع تحديد قيمة العمقين المترافقين إذا علم الحد العمقين والتدفق المار وشكل مقطع القناة.

#### 3-2-5 منحنى القوى النوعية Specific force diagram .

يعطى تابع القوى النوعية والخاص بمقطع جربان معين بالعلاقة:

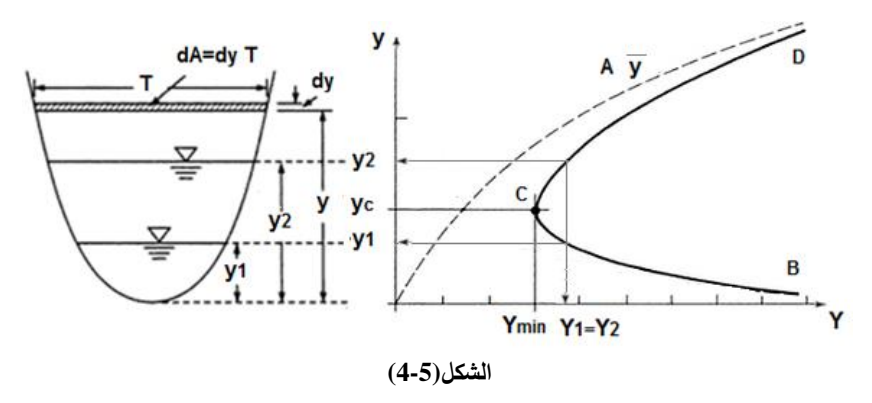
$$Y = \frac{Q^2}{g A} + A y^{-}$$
 (5-5)

حيث:

كمية الحركة للجريان المار بالمقطع في واحدة الزمن ولوحدة الوزن من الماء أي أنه  $\frac{Q^2}{g\,A}$ . يعادل قوة لوحدة الوزن من الماء.

من الماء المعط الميدروستاتيكي المؤثرة على هذا المقطع لوحدة الوزن من الماء  $\bar{y}$ 

لندرس العلاقة Y=f(y) والقوى النوعية Y=f(y) والقوى النوعية Y=f(y) لقناة منتظمة (مقطعها ثابت على امتداد طولها) ويمر فيها تدفق معين Y=f(y) و نسمي هذا Y=f(y) المنحني بمنحني القوى النوعية.



- إن قيم y موجبة دوماً
- له قيمتان لانهائيتان:
- 1) عندما  $y \to 0$  فإن  $0 \to A$  و  $\infty \to V$  ويكون  $\infty \to Y$  والمقارب الأول لهذا التابع هو المحور Y المعتبر على الشكل أفقياً.
- عندما  $\infty \to \infty$  فإن  $\infty \to A$  و  $0 \to 0$  ويكون  $X \to X$  والمقارب الثاني لهذا  $Y \to X$

التابع هو المنحني  $f(y) = A\overline{y}$  وهو تابع متزايد حتماً.

المنحني يوضح أنه لقيمة محددة للقوى النوعية Y يمكن أن يمر التدفق إما بعمق صغير  $y_1$  أو بعمق كبير  $y_2$  وكل من هذين العمقين هو العمق المرافق للعمق الآخر.

 $\frac{dY}{dy} = 0$  التابع يمر بنهاية صغرى توافق (3

$$\frac{dY}{dy} = -\frac{Q^2}{gA^2} + \frac{dA}{dy} + \frac{d(A\overline{y})}{dy}$$
 (6-5)

في المعادلة(6-5) نجد أن:  $\frac{dA}{dy} = T$  كما أن:

$$d(A y) = [A (y + dy) + T \frac{dy}{2} dy] - A y$$

$$d(A y) = [A y + A dy] + T \frac{dy^{2}}{2} - A y$$
(7-5)

وبإهمال الكمية  $d(A \overline{y}) = A dy$  نتج أن:  $d(A \overline{y}) = A dy$  أي أن:

$$\frac{d(A\overline{y})}{dy} = A \tag{8-5}$$

بالتعويض عن (5-7) و (5-8) في المعادلة (5-6) ينتج أن:

$$\frac{\mathrm{dY}}{\mathrm{dy}} = -\frac{\mathrm{Q}^2}{\mathrm{g}\,\mathrm{A}^2}\mathrm{T} + \mathrm{A} \tag{9-5}$$

على ذلك فإن أقل قيمة للقوى النوعية Ymin تحدث عندما يكون:

$$\frac{dY}{dy} = -\frac{Q^2}{g A^2} T + A = 0$$
 (10-5)

أي عندما تكون:

$$\frac{Q^2}{g} = \frac{A^3}{T} \tag{11-5}$$

أو عندما تكون:

$$\frac{Q^2 T}{g A^3} = \frac{V^2}{g y_m} = F_r^2 = 1$$
 (12-5)

أو عندما تكون:

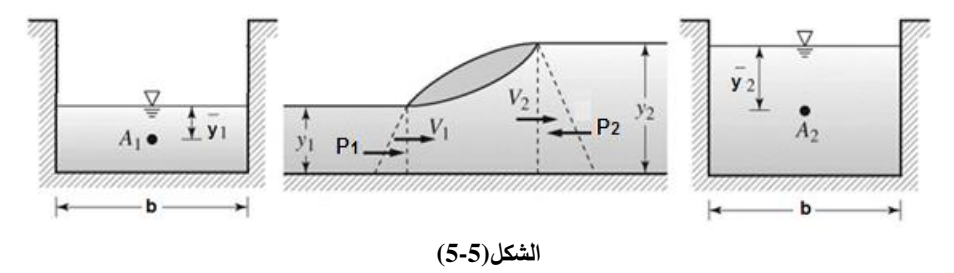
$$F_{\rm r} = \frac{V}{\sqrt{g \, y_{\rm m}}} = 1 \tag{13-5}$$

من البند (الجريان الحرج) نجد أن هذا الشرط يتحقق عندما يكون الجريان حرجاً أي أن قيمة القوى النوعية تكون أقل ما يمكن  $Y_{min}$  عندما يكون  $y_1=y_2=y_C$ 

أي للتابع Y=f(y) فرعان تفصلهما عن بعضهما النقطة C الممثلة للحالة الحرجة C الفرع C و المرج عن حالة الجربان تحت الحرج حيث C و C و C

ويكون للتابع Y نفس القيمة  $Y>Y_{min}$  من أجل عمقين أحدهما شلالي  $y_1$  والآخر نهرى  $y_2$  نسميهما كما أسلفنا مترافقان.

#### 3-5 القفزة المائية في قناة أفقية منتظمة ذات مقطع مستطيل:



3-3-1 العلاقة بين العمقين المترافقين: بالاعتماد على المعادلة العامة للقفزة

$$\frac{Q^2}{gA_1} + A_1 \frac{Q}{y_1} = \frac{Q^2}{gA_2} + A_2 \frac{Q}{y_2}$$
 (14-5)

b عرض قاعدته لكون لدينا في هذه الحالة الخاصة لمقطع مستطيل عرض قاعدته

b = T

$$A_1 = y_1 b$$
  $y_1 = \frac{y_1}{2}$  (15-5)

$$A_2 = y_2 b$$
  $y_2 = \frac{y_2}{2}$ 

بالتعويض في المعادلة (5-14) نحصل على:

$$\frac{Q^{2}}{gy_{1}b} + b\frac{y_{1}^{2}}{2} = \frac{Q^{2}}{gy_{2}b} + b\frac{y_{2}^{2}}{2}$$

$$y_{2}^{2} - y_{1}^{2} = \frac{2}{b}\frac{Q^{2}}{gb}\left(\frac{1}{y_{1}} - \frac{1}{y_{2}}\right)$$
(16-5)

ويكون:

$$(y_2 - y_1)(y_2 + y_1) = \frac{2Q^2}{gb^2} \left(\frac{y_2 - y_1}{y_1 y_2}\right)$$
(17-5)

وبما أن  $y_2 \neq y_1$  نقسم طرفي المعادلة على  $y_2 \neq y_1$  فيصبح لدينا:

$$y_2 + y_1 = \frac{2Q^2}{gb^2} \left( \frac{1}{y_1 y_2} \right)$$
 (18-5)

$$F_{r1}^2 = \frac{V_1^2}{g y_1} = \frac{2 Q^2}{g b^2 y_1^3}$$
 بضرب الطرفين في  $\frac{y_2}{y_1^2}$  وبالتعويض عن

ينتج أن:

$$\frac{y_2^2}{y_1^2} + \frac{y_2}{y_1} - 2F_{r1}^2 = 0 \tag{19-5}$$

بحل المعادلة من الدرجة الثانية ينتج لدينا:

$$\frac{y_2}{y_1} = \frac{-1 \pm \sqrt{1 + 8 \, F_{r1}^2}}{2} \tag{20-5}$$

أو:

$$y_2 = \frac{y_1}{2} \left[ \sqrt{1 + 8 F_{r1}^2} - 1 \right]$$
 (21-5)

 $F_{r2}^2 = \frac{V_2^2}{g\,y_2} = \frac{2\,Q^2}{g\,b^2\,y_2^3}$  أما إذا ضربنا الطرفين في  $\frac{y_1}{y_2^2}$  وعوضنا عن المقدار

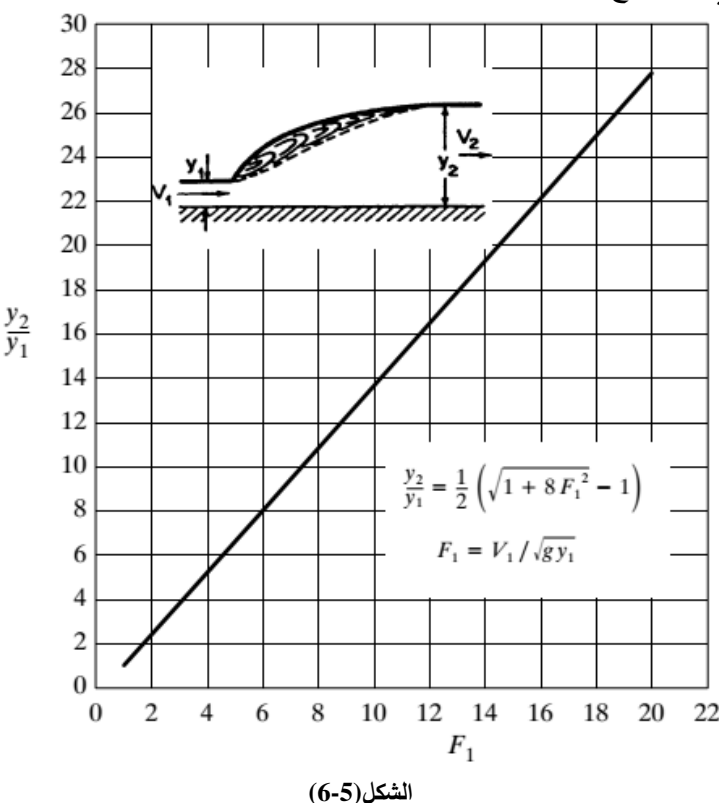
نجد أن:

$$\frac{y_1^2}{y_2^2} + \frac{y_1}{y_2} - 2F_{r2}^2 = 0 {(22-5)}$$

ومنه:

$$y_1 = \frac{y_2}{2} \left[ \sqrt{1 + 8 F_{r2}^2} - 1 \right]$$
 (23-5)

أي نستطيع من خلال هاتين المعادلتين حساب قيمة احد العمقين المترافقين إذا علم العمق الآخر والتدفق المار في القناة وعرف عرض قاعدتها. كما يمكن ان نحصل عليه من المنحنى الموضح بالشكل(5-6)



#### 5-3-2 السرعتان بجوار القفزة المائية والعلاقة بينهما:

من العلاقة:

$$y_1 + y_2 = \frac{2Q^2}{gb^2 y_1 y_2} \tag{24-5}$$

نعوض بمعادلة الاستمرار:

$$Q = A_1 V_1 \tag{25-5}$$

حيث:

$$A_1 = b y_1$$
 (26-5)

$$(y_2 + y_1) = \frac{2A_1^2 V_1^2}{g b^2 y_1 y_2} = \frac{2y_1 V_1^2}{g y_2}$$
(27-5)

$$V_1^2 = \frac{g y_2}{2 y_1} (y_2 + y_1) \implies V_1 = \sqrt{g y_2}$$

#### 3-3-5 العلاقة بين العمقين المترافقين ورقم فرود

لدينا:

$$\begin{split} F_{r_1}^2 &= \frac{V_1^2}{g \, y_1} = \frac{g \, y_2}{2 \, y_1} (y_2 + y_1) \frac{1}{g \, y_1} \\ F_{r_1}^2 &= \frac{y_2}{2 \, y_1} \frac{1}{y_1} (y_2 + y_1) \\ F_{r_1}^2 &= \frac{y_2}{2 \, y_1} \left( \frac{y_2}{y_1} + 1 \right) \\ F_{r_1} &= \sqrt{\frac{1}{2}} \times \frac{y_2}{y_1} \times \left( 1 + \frac{y_2}{y_1} \right) > 1 \\ F_{r_2} &= \frac{V_2}{\sqrt{g \, y_2}} = \sqrt{\frac{1}{2}} \times \frac{y_1}{y_2} \times \left( 1 + \frac{y_1}{y_2} \right) < 1 \end{split}$$
 (28-5)

ومنه نجد:

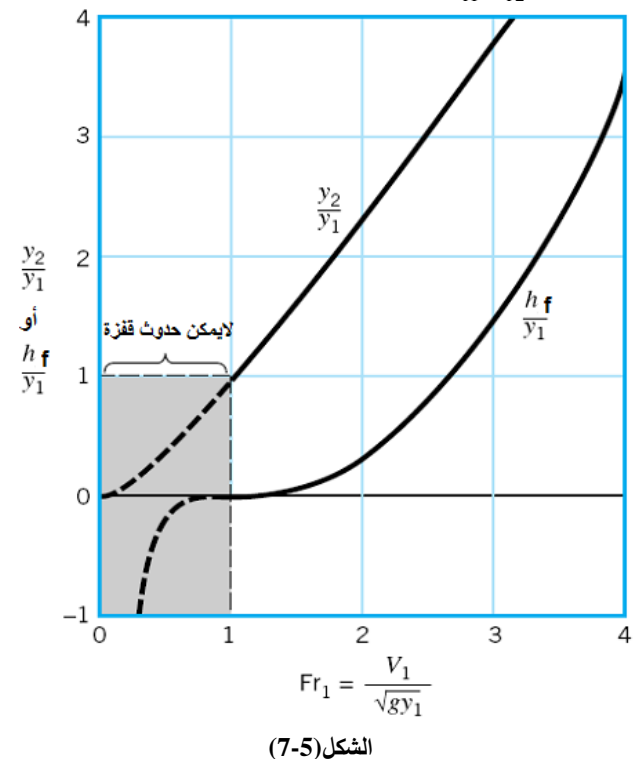
$$F_{r1} \times F_{r2} = \frac{y_1 + y_2}{2\sqrt{y_1 y_2}} \tag{29-5}$$

أو

$$\frac{F_{r1}}{F_{r2}} = \left(\frac{y_2}{y_1}\right)^{3/2} \tag{30-5}$$

### ومنه نستنتج أن:

- $F_{r_1}, F_{r_2}$  من معرفة قيمة الارتفاعين المترافقين  $y_1, y_2$  يمكن حساب -
- $y_1,y_2$  يمكن حساب الارتفاعين المترافقين  $F_{r_1},F_{r_2}$  من معرفة قيمة ويمكن عساب الارتفاعين المترافقين



#### 5-4 القفزة في الأقنية ذات المقطع غير المستطيل:

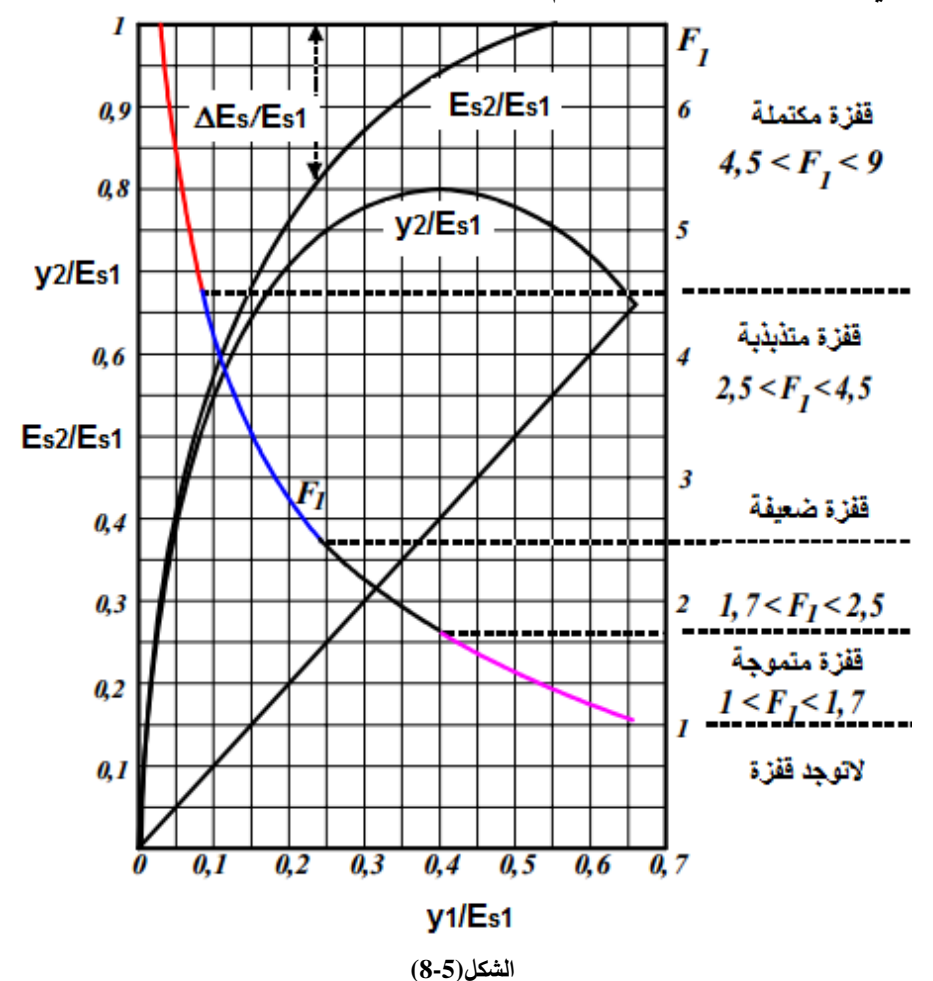
انطلاقاً من المعادلة العامة للقفزة بين المقطعين  $A_1$  و  $A_2$  بداية و نهاية القفزة من أجل تدفق معين:

$$\frac{Q^2}{gA_1} + A_1 \frac{\overline{y_1}}{y_1} = \frac{Q^2}{gA_2} + A_2 \frac{\overline{y_2}}{y_2}$$
 (31-5)

وبمعرفة شكل مقطع القناة يكون  $A_1$  و  $\overline{y}_1$  هي ثوابت معلومة لـ  $y_1$ . ويكون  $A_2$  و وبمعرفة شكل مقطع القناة يكون  $y_1$  توابع معلومة لـ  $y_2$  فالمعادلة تسمح إذن بحساب  $y_2$  بعد معرفة  $y_1$  أو بالعكس.

#### 5-5 أنواع القفزة المائية:

أوجدنا في الفقرات السابقة العلاقة التي تربط بين العمقين قبل وبعد القفزة بدلالة رقم فرود وبواسطتها أصبح من الممكن التعرف على أنواع القفزة المائية في قناة مستوية استناداً لقيمة رقم فرود قبل القفزة، وقد قامت دائرة الاصطلاحات الامريكية بتصنيف هذه الانواع بالطريقة التالية وحسب اصطلاحاتهم الموضحة بالشكل(5-8)



ومن الممكن التعبير عن تصنيف أنواع وخواص القفزة ضمن الجدول(5-2) التالي:

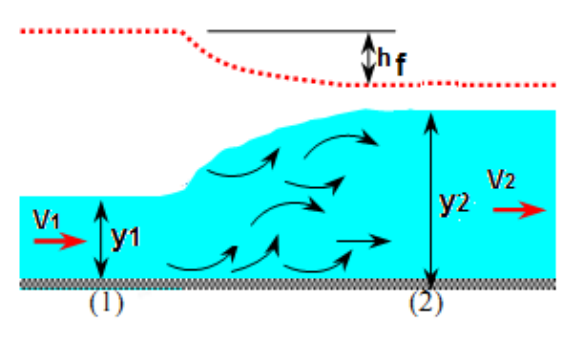
جدول (2-5)

$F_{r1}$	$\frac{y_2}{y_1}$	التصنيف	النموذج
----------	-------------------	---------	---------

	1	T	<del>_</del>		
<1 1		جريان دون الحرج	$V_1$ $V_2 = V_1$ $V_2 = V_1$ $V_2 = V_1$ $V_2 = V_1$		
1→1.7	$1 \rightarrow 2$	الجريان ذو سطح متموج	قفزة متموجة		
$1.71 \rightarrow 2.5$	2→3.1	تتكون على طول سطح القفزة مجموعة من التموجات الصغيرة تختفي مباشرة بعد القفزة ويكون السائل بعدها مستوياً وبدون اضطرابات	قفزة ضعيفة		
$2.5 \rightarrow 4.5$	3.1→5.9	يتكون تيار تنبنبي نافث داخل القفزة يتجه نحو الاعلى والاسفل وتتكون على سطح القفزة تذبذبات طويلة الموجة وغير منتظمة تمتد لمسافة كبيرةعلى طول القناة بعد القفزة	قفزة متذبذبة		
4.5 → 9	5.9 →12	تكون الدوامات في أقصى درجات الانفعال في الجزء الانفعال في الجزء المامي من القفزة، بينما تتخفض شدة الانفعال في الجزء السفلي ويقل ظهورها على السطح، حيث تكون القفزة متزنة وشديدة في القعر وتتراوح نسبة الحمولة المفقودة بسببها بين 45%	قفزة مكتملة		
<9	>12	تسبب السرعة الكبيرة للتيار النافث هيجاناً للدوامات المتكونة في مقدمة القفزة مما يجعلها تدور حول نفسها محاولة الحركة باتجاه معاكس للتيار . ويكون سطح السائل بعد القفزة شديد الاضطراب ومحتوياً على تنبذبات طويلة الموجة تتجه نحومؤخرة القناة. وتصل نسبة الحمولة المفقودة بسببها الى 55%	قفزة عنيفة		

# 6-5 ضياع الحمولة بالقفزة المائية:

يعطى ضياع الحمولة في قناة أفقية بين بداية القفزة ونهايتها بالعلاقة العامة لأي مقطع شكل



الشكل(5-9)

$$\Delta E_{S} = E_{S_{1}} - E_{S_{2}}$$

$$\Delta E_{S} = (y_{1} + \frac{V_{1}^{2}}{2g}) - (y_{2} + \frac{V_{2}^{2}}{2g})$$

$$\Delta E_{S} = (\frac{V_{1}^{2}}{2g} - \frac{V_{2}^{2}}{2g}) - (y_{2} - y_{1})$$

ومن أجل قناة ذات مقطع مستطيل ينتج من العلاقة (5-27) أن:

$$\Delta E_{S} = \frac{(y_2 - y_1)^3}{4y_1 y_2} \tag{32-5}$$

#### 7-5 مردود القفزة

عند اجتياز القفزة تستهلك القفزة قسماً من القدرة الحركية يساوي  $\Delta \frac{V^2}{2g}$  ولكن يوجد

كسب في القدرة الكامنة نتيجة لزيادة العمق يساوي  $\Delta y$  نستطيع أن نعبر عن المردود بأنه نسبة القدرة الكامنة المكتسبة إلى القدرة الحركية الضائعة ويكون من أجل أي مقطع:

$$\eta = \frac{y_2 - y_1}{\frac{V_1^2}{2g} - \frac{V_2^2}{2g}}$$
 (33-5)

ومن أجل قناة ذات مقطع مستطيل:

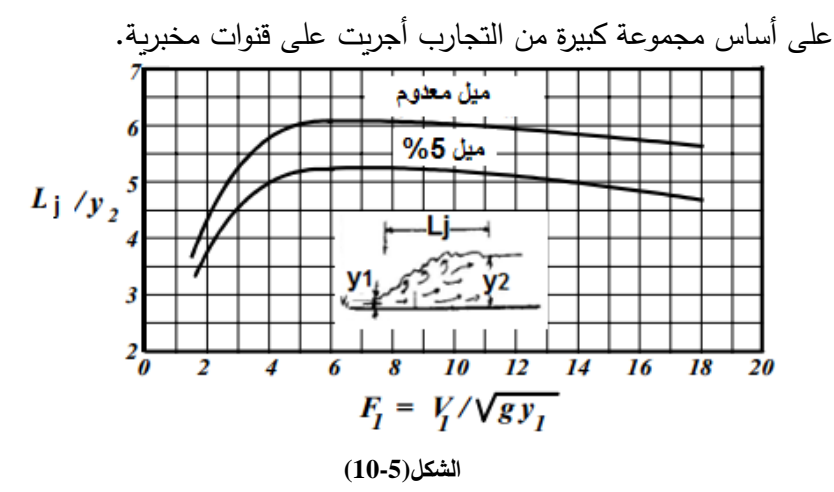
$$\eta = \frac{y_2 - y_1}{\frac{(y_2 + y_1)^2 (y_2 - y_1)}{4 y_2 y_1}}$$

$$\eta = \frac{4 y_2 y_1}{(y_2 + y_1)^2}$$
(34-5)

وبالخلاصة فإن السهولة التي تبدو جلية من خلال الدراسة السابقة لا يمكن الحصول عليها إلا في المقطع المستطيل. لكن هذه الدراسة تعطي تصوراً سهلاً لما يمكن توقعه عند وجود قفزة مائية في قناة ذات مقطع كيفي وذلك بتصميم النتائج السابقة شكلاً لا موضوعاً.

يعتبر طول القفزة  $L_i$  هو الطول مقاساً من بدايتها إلى نهايتها وحتى نهايتها أي بعد نهاية الدوامات السطحية مباشرةً. من الصعب جداً تحديد طول القفزة لذلك أعطينا عدة معادلات تجريبية لها في ظروف مخبرية حيث تتغير قيمة  $F_r$  في مدى واسع. وتعرض نتائج هذا التجارب على النحو التالى:

1) في صورة منحني يوضح العلاقة بين  $\frac{L_{\rm j}}{v_{\rm l}}$  أو كما في الشكل (5-10) والمستنتجة



- 2) في صورة علاقات تجريبية مستنتجة من واقع القراءات التجريبية. ومن أشهر هذه العلاقات استخداماً:
  - علاقة بافلوفسكي:

$$L = 2.5(1.8 y_2 - y_1)$$
 (35-5)

• علاقة شيرتاووسف

$$L = 10.3 y_1 (F_{r_1} - 1)^{0.81}$$
 (36-5)

a) من العلاقة العملية:

$$L = (4 \to 6)(y_2 - y_1) \tag{37-5}$$

كذلك من المهم في التطبيقات العملية بالإضافة إلى طول القفزة  $L_1$  معرفة ذلك الطول بعد نهاية القفزة  $L_1$  الذي تخمد فيه تذبذبات السرعة والضغط و يعود الجريان لحالته الطبيعية حيث يهم هذا الطول في تحديد الطول الذي يجب حمايته من النخر بعمل تكسية للقناة. يحدد الطول  $L_1 = (2.5 \rightarrow 3)$ 

#### 5-9 تعيين موضع القفزة

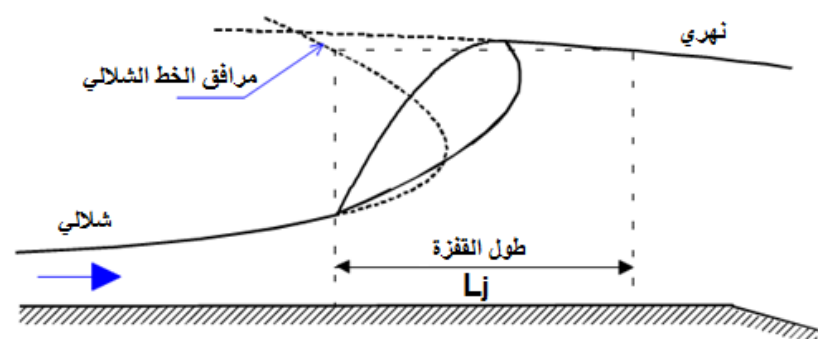
إن الشرط الأساسي عند حدوث القفزة هو أن يكون العمقان المترافقان السابق لها واللاحق بها مترافقين أي أنه في طرفي القفزة تتحقق المساواة  $y_1=y_2$  لتابع القوى النوعية. إن السبب الأساسي لحدوث القفزة في مجرى ما هو عدم اتفاق شروط الجريان بين أسفل المجرى وأعلاه، حيث تتلخص مسألة إيجاد موقع القفزة فيما يلى:

- نرسم خطي رد الماء الشلالي قبلها والنهري بعدها المعلومين فرضاً معتمدين قاع القناة أفقياً مثلاً لسهولة الرسم والانشاء.
- نرسم تحولات تابع القوى النوعية الكلي Y بدلالة العمق معتبرين محور التراتيب Y مسايراً للقاع وعلى امتداده. ومحور المتحول Y عمودياً عليه معتمدين نفس مقياس الارتفاعات المستخدم لرسم خطى رد الماء.
- يمكننا إذن أن نرسم الخط المرافق لأحد خطوط الرمو المعلومين ونرسم عادة مرافق الخط الشلالي كما في الشكل(5-11)
- يتلخص الإنشاء التخطيطي باختيار أي عمق شلالي ومعرفة مرافقه بواسطة تابع القوى النوعية Y ثم نقل هذا العمق المرافق إلى شاقول العمق المختار ... و هكذا.

لتعيين موقع القفزة نميز حالتين:

#### 3-9-1 اعتبار طول القفزة المائية معدوماً:

إن مرافق الخط الشلالي هو نهري كما نعلم. و عليه فإن تقاطع مرافق الخط الشلالي مع خط الرمو النهري المفروض في القناة يعطي موقع القفزة الذي نفتش عنه كما في الشكل(5-11)



الشكل(5-11) موقع القفزة

#### 2-9-5 ادخال طول القفزة المائية في الاعتبار:

ميل السطح الحر في منطقة القفزة يساوي  $J=rac{\Delta y}{L_i}$  حيث

ارتفاع القفزة.  $\Delta y=y_2-y_1$ 

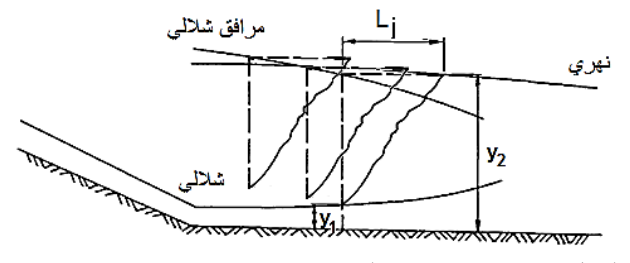
 $a = 4 \to 6$  طول القفزة و يساوي حيث :  $L = a(y_2 - y_1)$ 

وبالتالي يكون ميل السطح

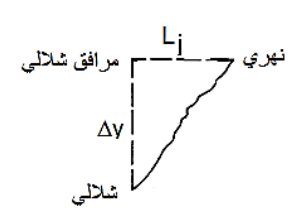
$$J = \frac{\Delta y}{L_j} = \frac{y_2 - y_1}{a(y_2 - y_1)} = \frac{1}{a}$$
 (38-5)

ومن المفروض أن العمق في بداية القفزة  $y_1$  يكون شلالياً ويكون مرافقه  $y_2$  نهري ويقع على الفرع النهري لحط رد الماء المرسوم

لا يعين موقع القفزة مباشرةً ولكن بالتحسس كما في الشكل(5-12)



الشكل(5-12) تعيين موضع القفزة



يمكن لتحقيق هذه الغاية على سبيل المثال اعتماد ورقة شفافة مرسوم عليها مثلث قائم الزاوية ضلعه القائم الشاقولي مساوياً  $\Delta y$  وضلعه القائم الأفقي يساوي للبحيث  $\Delta y$  وضلعه القائم الأفقي يساوي للبحوهما مرسومان بنفس مقياس رسم خطي رد الماء فيكون وتر هذا المثلث موازياً للسطح الحر في مجال القفزة.

يزلق الرأس القائم لهذا المثلث على مرافقه الشلالي حتى يصبح المستقيم الذي يصل نقطتي تقاطع  $\Delta y$  مع الشلالي و  $\Delta y$  مع النهري موازياً لوتر المثلث المرسوم.

من الممكن معرفة مرافق الخط الشلالي حسابياً من معادلة القوى النوعية وهذه العملية الحسابية تسهل كثيراً عملية إنشاء مرافق الخط الشلالي دون الحاجة لرسم تابع القوى النوعية.

#### 5-10 استعمال المعادلات ومنحنيات الحمولة النوعية والقوى النوعية

إن الفهم الشامل للمنحنيات التابعة للحمولة النوعية والقوى النوعية يسهل كثيراً تطبيق مفاهيم كمية الحركة والقدرة على الجريانات في الأقنية المكشوفة، وينصح الطالب قبل تطبيق تلك المفاهيم على مناطق انتقال معينة في الأقنية أن يدرس نقاط التشابه و الاختلاف في مجموعتي المنحنيات بعناية. ومن الملائم الإشارة إلى أنه رغم إمكانية تطبيق كلا المفهومين على أي نوع من الجريان فإن اختيار النوع المناسب يعتمد على عوامل معلومة وعلى الفرضيات الممكن وضعها، و هنا تبدو حالة القفزة المائية مثالاً جيداً.

بما أن ضياع الحمولة في قفزة ما هو عامل مجهول لا يمكن إهماله فإننا نستعمل مفاهيم كمية الحركة في تحليل الدراسة نظراً لأن الفرضيات الضرورية في هذه الحالة (إهمال الاحتكاك) يمكن تبريرها بسهولة. بعد تعيين عمق الجريان أسفل التيار بالنسبة للقفزة يمكن حساب ضياع الحمولة أو قراءتها من المنحنيات. من ناحية أخرى في حالة الجريان فوق هدار أو عبر التضايقات تكون القوى الناجمة عن العائق مجهولة ولكنها ذات أهمية كبيرة، وهنا يمكن أن نستعمل مفاهيم القدرة لتقدير شروط الجريان التي تمكن بدورها من حساب مقاومة الجربان.

لنأخذ في الاعتبار لتطبيق على استعمال منحنيات الحمولة و القوى النوعية على قفزة مائية في قناة أفقية منتظمة حيث يزيد العمق من  $y_1$  إلى  $y_2$  خلال القفزة.

نفرض أن التدفق المار Q ومن ثم يمكن رسم منحني الطاقة النوعية وكذلك منحني القوى النوعية لهذا التدفق الموضحين في الشكل:

المعادلة التابعة للقوى النوعية الممثلة للقفزة توضح انه لمقطعي جريان المقطع (1) عند بداية القفزة و المقطع(2) عند نهاية القفزة فإن:  $Y_1=Y_2=Y$ 

على ذلك فإنه بتوقيع هذه القيمة على المحور الأفقي (محور Y) لمنحني القوى النوعية ثم رسم خط شاقولي يتقاطع مع المنحني بنقطتين (1) و (2)

 $y_1$  الخط الأفقي المار في النقطة (1) يتقاطع من المحور الشاقولي على مسافة  $y_1$  تساوي العمق الابتدائي للقفزة .

الخط الأفقي المار في (2) يتقاطع مع المحور الشاقولي على مسافة  $y_2$  تساوي العمق النهائي للقفزة.

بمد الخط المار في النقطة (1) أفقياً فإنه يتقاطع مع منحني الحمولة النوعية في نقطة(3)

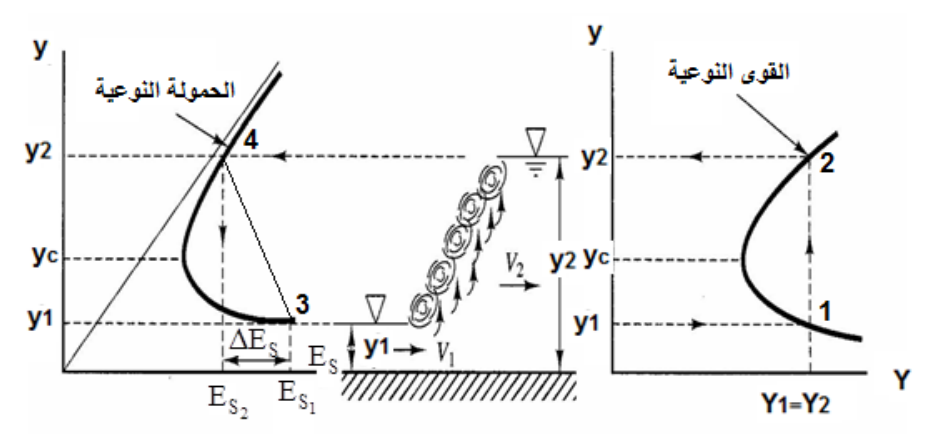
 $E_{S_1}$  الخط الشاقولي المار في النقطة (3) يتقاطع مع محور  $E_S$  على مسافة قدرها والحمولة النوعية لمقطع الجريان (1) وبمد هذا الخط المار في النقطة (2) أفقياً فإنه يتقاطع مع منحني الحمولة النوعية في النقطة (4)

 $E_{S2}$  الخط الشاقولي المار في النقطة (4) يتقاطع مع محور  $E_{S}$  على مسافة مقدارها  $E_{S2}$  (الحمولة النوعية لمقطع الجربان  $E_{S2}$ )

الفرق  $E_{S_1}-E_{S_2}$  يساوي الفاقد في الطاقة خلال القفزة

$$\Delta E_S = E_{S_1} - E_{S_2} = (y_1 + \frac{V_1^2}{2g}) - (y_2 + \frac{V_2^2}{2g})$$

على ذلك فإن القفزة المائية يمكن تمثيلها دائماً على منحني الحمولة النوعية بخط مائل (مثلاً الخط 4 - 3) ويمكن تمثيلها دائماً على منحني القوى النوعية بخط شاقولي (مثلاً الخط 2 - 1).



الشكل(5-13) العلاقة بين الحمولة النوعية والقوى النوعية والقفزة

# 5-11 شكل منحني الجريان في القناة الخلفية بعد السقوط من المنشآت (سد هدار – منشأة سقوط – بوابات):

تتشكل القفزة المائية خلف المنشآت المائية مباشرة (الهدارات – منشآت السقوط – البوابات) حيث يكون الجريان فوق حرج شلالي، ويصل عمق الماء الى أقل قيمة له  $y_s$  عند مقطع معين يسمى بالمقطع المنضغط حيث تكون  $y_s < y_C$  الشكل (14-5).

يمكن أن نميز هنا الحالتين التاليتين:

# $J>J_C$ وتعتبر هذه الحالة نادرة الحدوث في الحياة العملية.

- $y_d > y_s$  عندما يكون العمق المنضغط  $y_s$  أصغر من عمق الماء في القناة الخلفية  $y_s$  .  $y_s$  ميلاً شديد الانحدار فيتم الاتصال بشكل المنحنى  $y_s$
- c عندما تقوم القناة الخلفية بحجز وتجميع المياه يصبح عمق الماء فيها أكبر من العمق الحرج yd>yc>yc ويكون الجريان في المجرى الخلفي بعيداً عن المنشأة جرياناً دون الحرج أي نهري. وعلى ذلك فان الاتصال خلف المنشاة يتم في صورة قفزة مائية وانه من خلال هذه القفزة تتبد الزيادة في الطاقة في الجريان فوق الحرج عنها في الجريان تحت الحرج. وبمعرفة شكل مقطع القناة خلف المنشأة المائية مباشرة، وكذلك بمعرفة التدفق المار وعمق الماء في المقطع المنضغط نستطيع باستخدام المعادلة العامة للقفزة المائية تحديد قيمة العمق المرافق y2 واللازم لتتشكل القفزة خلف المنشأة المائية.

4-11-5 ميل القناة الخلفية أصغر من الميل الحرج  $J < J_{\rm C}$  وهي الأكثر مصادفة في الواقع.

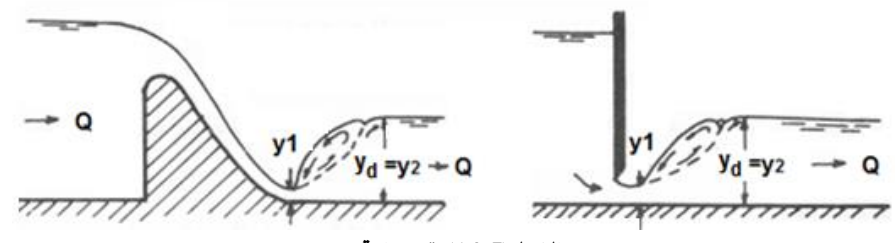
تبعاً للعلاقة بين العمق المرافق للقفزة المائية  $y_2$  والعمق الحقيقي في الخلف  $y_d$  الاتصال خلف المنشأة بتشكل قفزة مائية في ثلاث حالات مختلفة:

#### 1) تشكل قفزة تامة:

إذا كان عمق الجربان خلف المنشأة مساوياً للعمق المرافق للقفزة أي:

$$y_d = y_2 \tag{39-5}$$

تتشكل قفزة مائية تامة تبدأ عند المقطع المنضغط بعمق  $y_s=y_1$  وتنتهي في مقطع يبعد عن المقطع المنضغط مسافة  $L_I$ ، حيث يكون العمق مقداره  $y_d=y_2$  كما هو مبين في الشكل (5-14)



الشكل(5-14) قفزة تامة

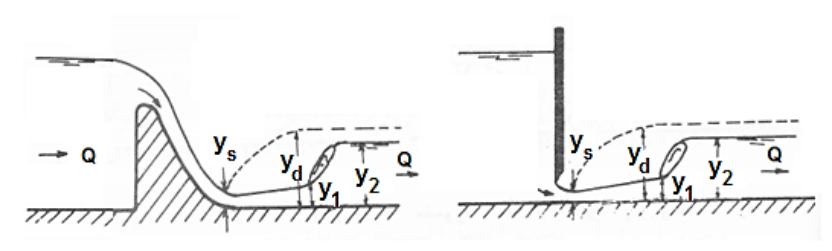
في هذه الحالة يمكن القول ان مقدار الطاقة لوحدة الوزن في المقطع المنضغط تكون أكبر من الطاقة لوحدة الوزن للجريان في الخلف بذلك المقدار الذي سيفقد خلال القفزة المائية.

#### 2) تشكل قفزة مبتعدة:

اذا كان عمق الجريان القناة الخلفي أقل من العمق المرافق للقفزة أي أن:

$$y_{d} < y_{2} \tag{40-5}$$

في هذه الحالة فان القفزة المائية سوف تبتعد عن المنشأ ويسمى الطول L بطول دفع القفزة ويساوي لطول المنحني  $M_3$  الصاعد  $M_3$  المنحني لطول المنحني يون ميل القناة معدوماً  $M_3$  ويكون هذا الطول بين العمق المنضغط  $M_3$  والعمق المرافق الأول  $M_3$  التي عمقها المرافق الثاني هو عمق الماء في القناة الخلفية  $M_3$  كما هو موضح بالشكل التي عمقها المرافق الثاني هو عمق الماء في القناة الخلفية  $M_3$  كما هو موضح بالشكل (15-5)



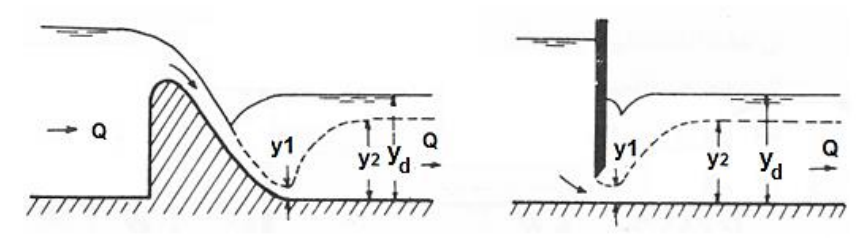
الشكل(5-15) قفزة مبتعدة

في هذه الحالة يمكن القول ان مقدار الطاقة لوحدة الوزن في المقطع المنضغط أكبر من الطاقة لوحدة الوزن في قناة الخلف بمقدار يزيد عن ذلك الذي سيفق خلال القفزة وعلى ذلك يتحرك الجريان كجريان فوق الحرج لمسافة الى أن يصبح عمقه  $y_1'$  وحتى يفقد جزء من طاقته وبتبقى جزء مساو لذلك الذي سيفقد خلال القفزة.

#### 3) تشكل قفزة مغمورة:

اذا كان عمق الجريان جزء القناة الخلفي أكبر من العمق المرافق للقفزة أي ان:  $y_{\rm d}>y_2$  (41-5)

في هذه الحالة فان القفزة المائية سوف تتقدم ناحية المنشأ ويتم الاتصال في صورة قفزة مغمورة ويكون  $y_1=y_s$  كما هو موضح بالشكل(5-16).



الشكل(5-16) قفزة مغمورة

 $\chi$  في هذه الحالة ندخل مفهوم جديد هو درجة الغمر

$$\chi = \frac{y_d}{y_2}$$

 $y_1$  العمق المرافق الثاني للعمق المنضغط والمساوي للعمق المرافق الأول  $y_2$  . كما أن قيمة عامل الغمر دوماً أكبر من الواحد  $\chi > 1$  .

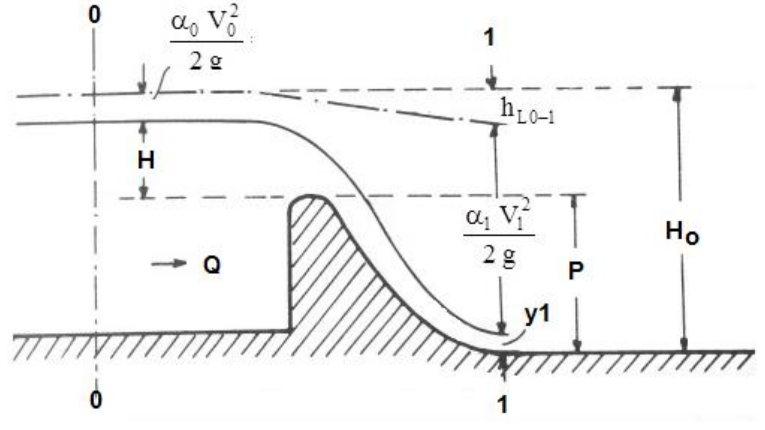
#### y<sub>1</sub> تحديد قيمة العمق المرافق الاول 3-11-5

كما رأينا سابقاً، فانه لتحديد صورة الاتصال خلف المنشأة المائية، يجب معرفة قيمة العمق المنضغط . y

حساب قيمة العمق المرافق المنضغط . y<sub>1</sub>

الجريان من فوق هدار والموضح بالشكل (3-17) يمكن الحصول على قيمة العمق (a المنضغط  $y_1$  بتطبيق معادلة برنوالي بين المقطعين (0-0) (1-1) حيث:

$$P + H + \frac{\alpha_0 V_0^2}{2 g} = y_1 + \frac{\alpha_1 V_1^2}{2 g} + h_{L0-1}$$
 (42-5)



الشكل(5-17) تحديد العمق المنضغط لجربان مار من على هدار

الفاقد في الطاقة  $h_{\rm LO-1}$  يمكن التعبير عنه على الصورة:

$$h_{L0-1} = K \frac{V_1^2}{2 g} \tag{43-5}$$

حيث: K معامل الفاقد في الضاغط خلال الهدار وتعتمد قيمته على شكل الهدار.

كما أن الطاقة الكلية لوحدة الوزن في المقطع (O) يمكن التعبير عنها كما يلي:

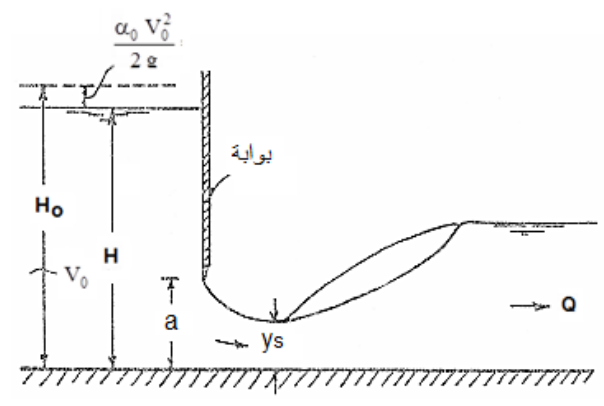
$$H_0 = P + H + \frac{\alpha_0 V_0^2}{2 g}$$
 (44-5)

على ذلك فان المعادلة يمكن اعادة كتابتها على الصورة:

$$H_0 = y_1 + (\alpha_1 + K) \frac{V_1^2}{2g}$$
 (45-5)

b) الجربان من تحت البوابات:

في كثير من المنشآت يتم التحكم في المياه بواسطة فتحات مغلقة بالبوابات ترفع البوابة لمسافة a حتى تسمح بمرور تدفق معين Q من تحتها كما هو مبين الشكل-18) (5.



الشكل(5-18) تحديد العمق المنضغط لجريان مار من أسفل بوابة

من الممكن أن يكون الجريان من تحت البوابة حراً أو مغموراً. نبحث أولاً حالة الجريان الحر بالشكل في هذه الحالة فان الماء الخارج من الفتحة يحدث له انضغاط في المستوى الشاقولي من الناحية العليا فقط، ويقل العمق في اتجاه الجريان حتى يصل الى أقل قيمة له  $y_s$  على بعد من البوابة يساوي تقريباً ارتفاع الفتحة a . يمكن التعبير عن  $y_s$  على الصورة الآتية:

$$y_s = C_c a \tag{46-5}$$

حيث Cc: هو معامل الانضغاط.

وجد جوكوفسكي من نتائج التجارب المخبرية التي أجراها أن المعامل  $C_c$  تتغير قيمته تبعاً لتغير النسبة  $\frac{a}{H}$  ، بالشكل الموضح بالجدول التالي:

					11		
$\frac{a}{H}$	Cc	$\frac{a}{H}$	Cc	$\frac{a}{H}$	Cc	$\frac{a}{H}$	Cc
0.10	0.615	0.35	0.628	0.60	0.660	0.85	0.745
0.15	0.618	0.40	0.630	0.65	0.675	0.90	0.780
0.20	0.620	0.45	0.638	0.70	0.690	0.95	0.835
0.25	0.622	0.50	0.645	0.75	0.705	1.00	1.000
0.30	0.625	0.55	0.650	0.80	0.720	-	1

كما وجد أن قيمة المعامل  $C_c$  لا تعتمد على عرض البوابة أو عرض القناة. بتطبيق معادلة برنوللي بين مقطعي جريان أحدهما قبل البوابة وآخر عند المقطع المنضغط نستطيع بسهولة استنتاج أن:

$$V_{s} = C_{v} 2g(H_{0} - y_{s})$$
 (46-5)

حيث:

Cv: معامل السرعة ومقداره:

$$C_{v} = \frac{1}{\sqrt{\left(\alpha_{0} - K_{s}\right)}} \tag{47-5}$$

كما أن:

$$H_0 + \alpha_0 \frac{V_0^2}{2g} \tag{48-5}$$

وعلى ذلك يكون التدفق المار من تحت البوابة في هذه الحالة مقداره:

$$Q = A_s V_s = C_d a b \sqrt{2 g (H_0 - y_s)}$$
 (49-5)

حيث:

b: عرض البوابة

 $C_d = C_c C_v$ : معامل التدفق ومقداره:  $C_d$ 

بالنسبة للجريان الحر من تحت البوابات على قاع أفقي كما هو موضح بالشكل فان قيمة المعامل C<sub>v</sub> تتراوح بين الحدود التالية:

$$C_v = 0.95 \rightarrow 0.97$$
 (50-5)

اذا كان الجريان مغموراً كما هو مبين بالشكل الشكل(5-19) فان التدفق المار من تحت البوابة يمكن حسابه من المعادلة:

$$Q = C_{d} a b \sqrt{2 g (H_{0} - y_{z})}$$
 (51-5)

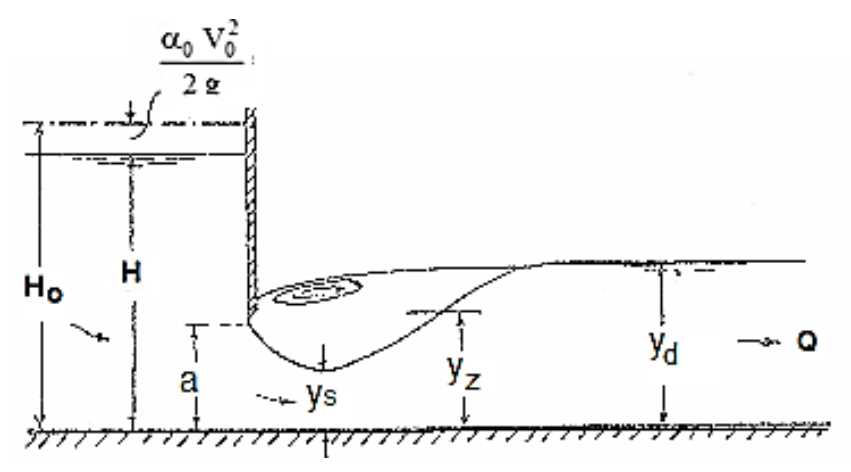
حيث:

$$y_{z} = \sqrt{y_{d}^{-2} - L\left(H_{0} - \frac{L}{4}\right) + \frac{L}{2}}$$
 (52-5)

و:

$$L = 4 C_d^2 a^2 \frac{y_d - y_c}{y_d y_c}$$
 (53-5)

 $y_d$ : هو عمق الماء في الخلف بعيداً عن البوابة . كما أنه في تلك الحالة تحسب قيمة المعامل  $C_d$  كما تم حسابها في حالة الجربان الحر من تحت البوابة.



الشكل(5-19) تحديد العمق المنضغط لجريان مار من أسفل بوابة

عند دراسة وحساب اتصال المستويات لابد وقبل كل شيء من أن نحدد وفق أي نوذج من النماذج الثلاثة المذكورة أعلاه يتم اتصال المستويات المائية، من أجل ذلك نتبع ما يلى:

- نوجد العمق المنضغط ys.
- نتخيل وجود قفزة مائية وهمية في المقطع المنضغط عمقها المرافق الاول يساوي للعمق المضغوط ys
- نحدد العمق المرافق الثاني y<sub>2</sub> من المعادلة الأساسية للقفزة بعد ذلك نناقش الحالات التالية:
- 1) منسوب الماء في القناة الخلفية أصغر من منسوب القفزة الوهمية  $y_d < y_2$  . نحصل على قفزة مبتعدة
- 2) منسوب الماء في القناة الخلفية أكبر من منسوب القفزة الوهمية  $y_d > y_2$ . نحصل على قفزة مغمورة.
- 3) منسوب الماء في القناة الخلفية يساوي منسوب القفزة الوهمية yd=y2 . في هذه الحالة تصبح القفزة الوهمية حقيقية .

### : $\mathbf{Q}_{\mathrm{D}}$ التدفق التصميمي (c

في تطبيقات المنشآت المائية، عادة يتغير التدفق المار خلال المنشأ بين قيمة صغري

 $Q_{min}$  وقيمة قصوى  $Q_{max}$ ). من الاهمية عند التصميم الهيدروليكي للمنشأ معرفة التدفق التصميمي  $Q_{D}$  والذي على أساسه سوف تراجع صورة الاتصال خلف المنشأ.

من وجهة نظر الاتصال خلف المنشأ، يعرف التدفق التصميمي  $Q_D$  بأنه ذلك التدفق الذي عند مروره يتكون يتكون أسوأ وضع للقفزة المائية خلف المنشأ.

من الواضح أنه مع اختلاف قيمة التدفق المار ستختلف صورة الاتصال خلف المنشأ.

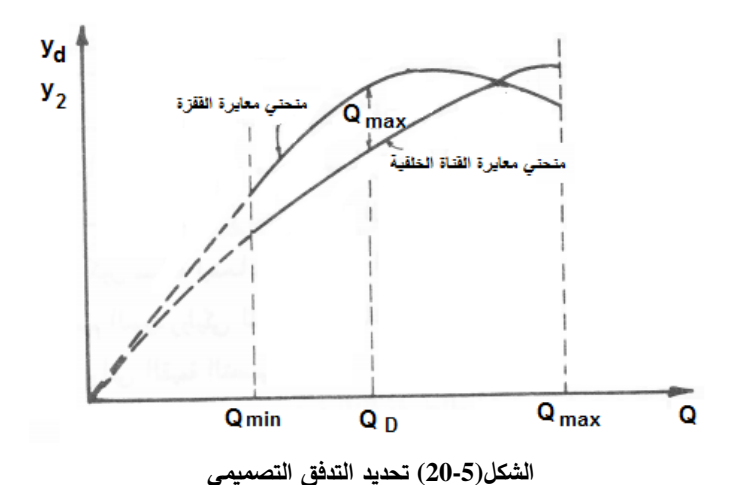
من ناحية التصميم الهيدروليكي تعتبر الحالة الثانية للاتصال (حالة القفزة المبتعدة) هي أسوأ الحالات التي يمكن حدوثها حيث أنه في هذه الحالة تحدث القفزة بعيداً عن المنشأ في المنطقة الغير محمية من القناة مما يسبب حدوث حت في القناة. يجب كذلك الاشارة الى أنه في الحالة الاولى (حالة قفزة تامة) والتي تعتبر حالة حدية بين الحالتين الثانية والثالثة فان أي زيادة في قيمة العمق المرافق  $y_2$  عن القيمة المحسوبة والتي يمكن حدوثها نتيجة لتغير قيمة المعاملات  $(\alpha,k)$  عن القيم المأخوذة في الاعتبار عند حساب قيمة  $y_1$ 

المعادلة (5-45) سيؤدي الى ابتعاد القفزة في الخلف مما يسبب حدوث حت في قاع القناة.

يمكن تحديد قيمة التدفق التصميمي QD واللازم لمراجعة صورة الاتصال برسم منحنيين هما:

- منحني معايرة القناة الخلفية، وهو منحني يربط العلاقة بين التدفق Q الذي يتغير من  $Q_{min}$  وحتى  $Q_{max}$  وبين العمق العادي في القناة الخلفية  $Q_{min}$
- منحني معايرة القفزة، وهو منحني يربط العلاقة بين التدفق Q يتغير من  $Q_{min}$  وحتى ( $Q_{max}$ ) وبين العمق النهائي للقفزة Q.

برسم المنحنيين على مخطط بياني واحد والموضح بالشكل (5-20)



 $(a_{max})$  يمكن تحديد قيمة التدفق التصميمي  $Q_{\mathrm{D}}$  والمناظر لقيمة

حيث:

$$a = y_2 - y_d$$
 (54-5)

#### ملاحظة:

اذا اظهر المخطط البياني أن قيمة (a=0) لجميع قيم التدفق المعطاة، أي أن المنحنيين منطبقين على بعضهما، وهي حالة نادرة الحدوث، فان ذلك يعني حدوث حالة الاتصال الأولى بصفة دائمة (اتصال من خلال قفزة تامة). أما اذا أظهر المنحني أن قيمة (a<0) باستمرار لجميع قيم التدفق المعطاة، فان ذلك يعني حدوث حالة الاتصال الثالثة بصفة دائمة (اتصال من خلال قفزة مغمورة).

#### 5-11-4 المنشآت المستخدمة لتبديد الطاقة الزائدة خلف منشأة مائية:

بمراجعة المنحني البياني الذي يوضح منحني معايرة القناة الخلفية ومنحني معايرة القفزة المائية شكل (5-20) يمكن معرفة التدفق التصميمي والذي يكون عنده (amax) ، أي تكون مسافة ابتعاد القفزة عن المنشأ اكبر مايمكن.

يراعى في حالات التصميم الهيدروليكي للمنشآت المائية أن تكون القفزة مغمورة بعض الشيئ ، حيث تراعى القيمة التصميمية:

 $y_d \cong 1.05 y_2$ 

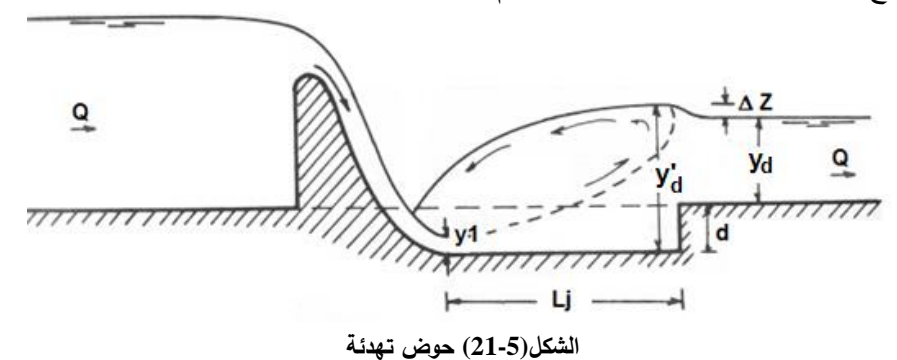
يتم تحقيق ذلك باستخدام المنشآت التالية.

a) حوض التهدئة

يتم ذلك بجعل منسوي الفرش بعد المنشأ مباشرة أقل من منسوب القاع للقناة الخلفية بمقدار  $y_2'$  كان لزيادة العمق في الحوض الى  $y_2'$  حيث:

$$y_d = 1.05 y_2$$
 (55-5)

يوضح الشكل شكل حوض التهدئة والمقام خلف هدار.



يصمم الحوض هيدروليكياً بالطربقة التالية:

نفرض ان d=0 من المعادلة (5-45) يمكن تحديد قيمة  $y_1$  من ثم من معادلة حساب المرافق يمكن تحديد  $y_2$  ثم باستخدام المعادلة (5-55) يمكن تحديد قيمة  $y_2$ 

من الشكل (5-21) يمكن كتابة المعادلة:

$$y_d' = y_d + d + \Delta Z \tag{56-5}$$

ان قيمة  $\Delta Z$  يمكن تحديدها من المعادلة:

$$Q = y_d b C_V \sqrt{2 g \Delta Z}$$
 (57-5)

حيث  $C_V$ :معامل السرعة والذي تتراوح قيمته بحدود:

$$C_{V} = 0.9 \qquad \rightarrow \qquad 0.95 \tag{58-5}$$

على ذلك من المعادلتين(5-56) و (5-57) يمكن تحديد قيمة عمق الحوض (d).

تؤخذ قيمة (d) أكبر قليلاً من القيمة المحسوبة ، وتراجع الحسابات مرة اخرى حيث ستقل قيمة (P) عن القيمة المحسوبة وذلك نتيجة لزيادة قيمة ( $y_1$ ) عن القيمة المحسوبة وذلك نتيجة لزيادة قيمة ( $y_2$ )

 $(y'_d)$  وبالتبعية تزيد قيمة

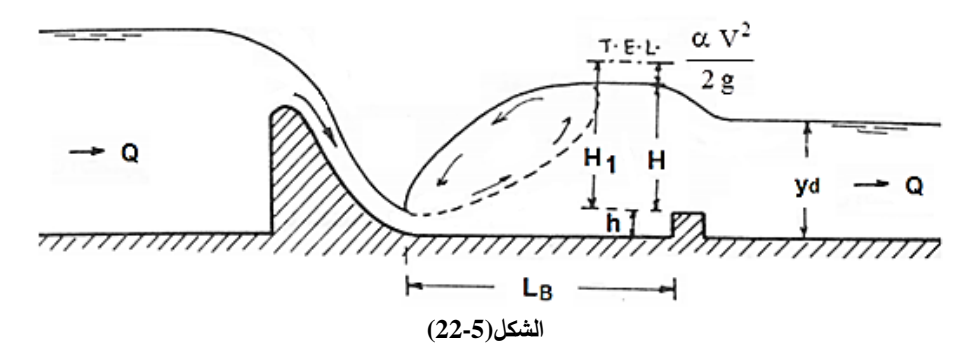
يؤخذ طول الحوض (LB) مساوياً:

$$L_{B} \cong 3 y_{2} \tag{59-5}$$

b) الاعتاب:

يتم ذلك بانشاء عتبات على الفرش يرتفع عنه مسافة  $\,h\,$  كافية لزيادة العمق أمامه  $\,(y_d')\,$  كما في حالة حوض التهدئة.

يوضح شكل (5-22) وضع العتب على الفرش وشكل الجريان المار في هذه الحالة



يتم التصميم الهيدروليكي بالطريقة التالية:

نحدد قيمة 
$$y'_d$$
 من المعادلة (5-55)

2) نحسب قيمة الضاغط H من المعادلة

$$H = H_1 - \frac{\alpha V^2}{2 g} \tag{60-5}$$

حيث:

$$H_{1} = \left(\frac{Q}{C_{d} b 2 g}\right)^{2/3}$$
 (61-5)

وقيمة معامل التدفق  $C_{
m d}$  تأخذ القيمة

$$C_d = 0.45 \qquad \rightarrow \qquad 0.50 \tag{62-5}$$

ان

$$V = \frac{Q}{b(H+h)} \tag{63-5}$$

نحسب قيمة (h) من المعادلة:

$$h = y_d' - H \tag{64-5}$$

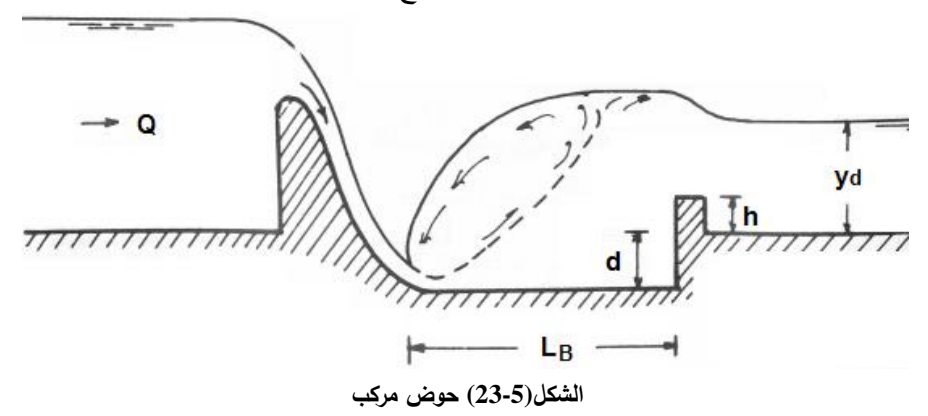
لحساب قيمة h=0 ثم نحسب قيم h=0 ثم نحسب قيم لحساب قيم العلاقة (5-63) نفرض أولاً قيمة h=0 ثم نحسب قيم  $(h,H,H_1,V)$  ثم يعاد الحساب مرة أخرى.

الطول  $L_{\rm B}$  يؤخذ تقريباً مساوي لطول حوض التهدئة أي أن:

 $L_{\rm B} = 3 \, \rm y_2$  (65-5)

## c) حوض التهدئة المركب:

في حالة مراجعة التصميم الهيدروليكي بالطريقتين السابقتين، وإذا أن الابعاد المستنتجة غير مناسبة مثلاً عمق الحوض كبير نسبياً أو ارتفاع الحائط كبير هو الآخر نسبياً، فيفضل انشاء حوض تهدئة مركب والموضح بالشكل(5-23)



لتصميم الحوض هيدروليكياً في هذه الحالة ، يكون هناك مجهولين هما (d,h) . نفرض أحد البعدين المجهولين ثم يتم التصميم باحدى الطريقتين السابقتينو طول الحوض في هذه الحالة  $L_{\rm B}$  يؤخذ أيضاً كما في الحالتين السابقتين.

# تطبيقات الفصل أكامس

تطبيق(5-1) :

قناة ذات مقطع مستطيل عرضها b=30m وسرعة الجربان الموافق للعمق الشلالي

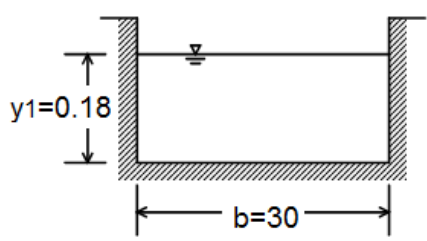
في قفزة مائية V=5.5 m/sec والمطلوب:

1) أوجد قيمة العمق المرافق النهري

2) أوجد رقم فرود عند بداية ونهاية القفزة.

3) ضياع الحمولة الناتج عن القفزة.

الحل



$$F_{r_1} = \frac{V_1}{\sqrt{g.y_1}} = \frac{5.5}{\sqrt{9.81 \times 0.18}} = 4.14 > 1$$

$$\frac{y_2}{y_1} = \frac{1}{2} \left[ \sqrt{1 + 8 F_{r1}^2} - 1 \right]$$

$$y_2 = \frac{0.18}{2} \left[ \sqrt{1 + 8 \times 4.14^2} - 1 \right] = 0.97 \text{m}$$

$$q = V_1.y_1 = V_2.y_2$$

$$5.5 \times 0.18 = V_2 (0.97) \Rightarrow V_2 = 1.02 \text{m/sec}$$

$$F_{r_2} = \frac{v_2}{\sqrt{g y_2}} = \frac{1.02}{\sqrt{9.81 \times 0.97}} = 0.33 < 1$$

لحساب ضياع الحمولة الناتج عن القفزة نكتب:

$$E_{s_1} = y_1 + \frac{V_1^2}{2.g} = 0.18 + \frac{5.5^2}{2 \times 9.81} = 1.72 \text{ m}$$

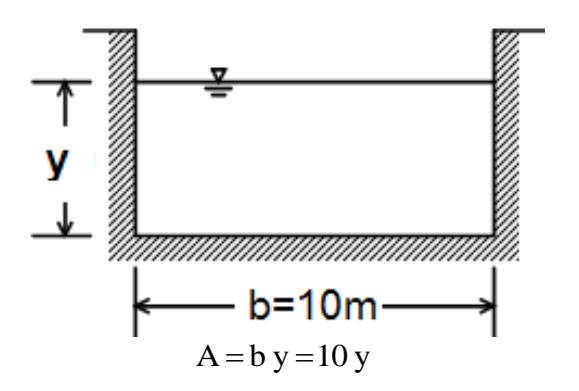
$$E_{s_2} = y_2 + \frac{V_2^2}{2.g} = 0.97 + \frac{1.02^2}{2 \times 9.81} = 1.02 \text{ m}$$

$$\Delta E_s = E_{s_1} - E_{s_2} = 1.72 - 1.02 = 0.7 \text{ m}$$

## تطبيق(5-2):

 $Q=15 m^3/sec$  وتمرر تدفقاً مقداره b=10 m وتمرر معداره والمطلوب:

ارسم منحني الحمولة النوعية و منحني القوى النوعية مستنتجاً قيم العمق الحرج و  $y_2=1.5m$  حدياع الحمولة الناتج عن القفزة إذا علمت أن العمق المرافق النهري



لحساب العمق الحرج

الحل

$$q = \frac{Q}{b} = \frac{15}{10} = 1.5 \text{ m}^3/\text{sec/m}$$
$$y_c = \sqrt[3]{\frac{q^2}{g}} = \sqrt[3]{\frac{1.5^2}{9.81}} = 0.612\text{m}$$

لرسم منحنى الحمولة النوعية نكتب:

$$E_{s} = y + \frac{V^{2}}{2 g} = y + \frac{Q^{2}}{2 g A^{2}}$$

$$E_{s} = y + \frac{15^{2}}{2 \times 9.81 \times 10^{2} \times y^{2}}$$

$$E_{s} = y + \frac{1}{8.72 \times y^{2}}$$

لرسم منحنى القوى النوعية نكتب:

$$Y = \frac{Q^2}{g A} + A \overline{y}$$

$$Y = \frac{15^2}{9.81 \times 10y} + 10 \frac{y^2}{2} = 5 y^2 + \frac{2.293}{y}$$

y	A	V	$V^2/2g$	Es	Y	
m	m2	m/s	m	m	m3	
0.18	1.8	8.33	3.54	3.72	12.90	
0.20	2.0	7.50	2.87	3.07	11.67	
0.40	4.0	3.75	0.72	1.12	6.53	
0.60	6.0	2.50	0.32	0.92	5.62	
0.80	8.0	1.88	0.18	0.98	6.07	
1.00	10.0	1.50	0.11	1.11	7.29	
1.20	12.0	1.25	0.08	1.28	9.11	
1.40	14.0	1.07	0.06	1.46	11.44	
1.60	16.0	0.94	0.04	1.64	14.23	
1.80	18.0	0.83	0.04	1.84	17.47	
2.00	20.0	0.75	0.03	2.03	21.15	

نرسم المنحنيات من القيم في الجدول السابق فيكون:

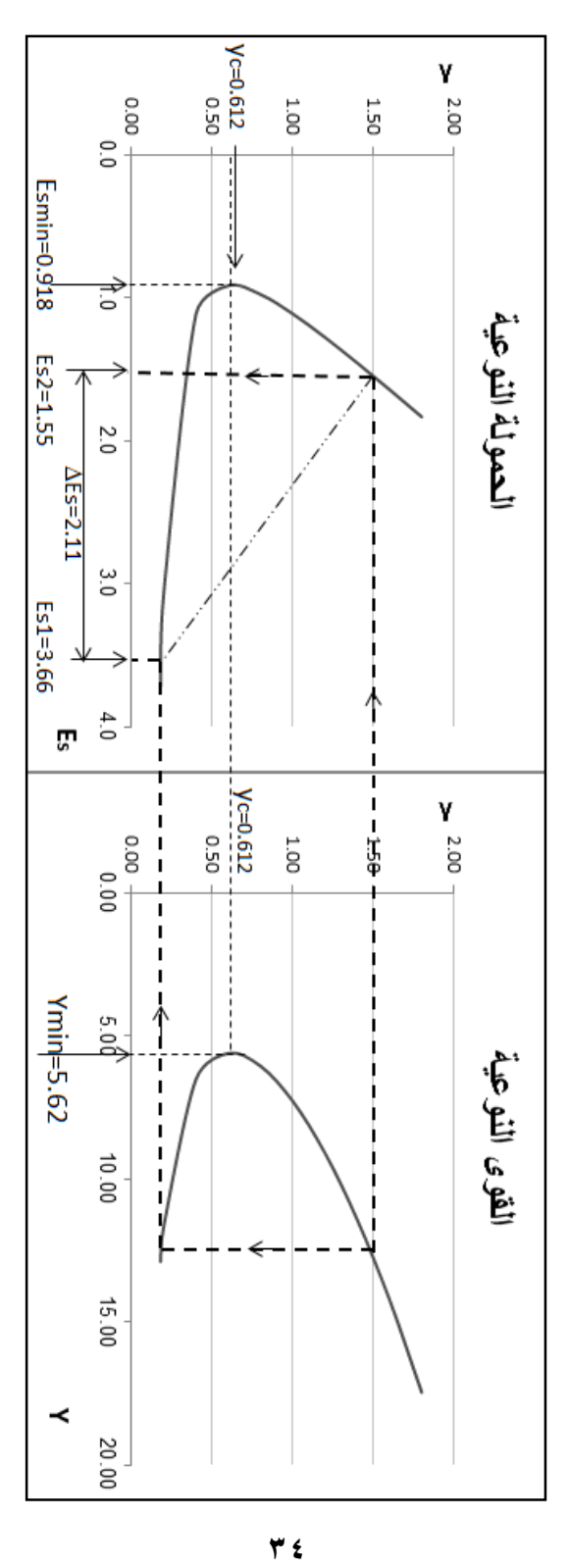
$$y_1 = 0.18$$
m ومن أجل  $y_2 = 1.5$ m ومن أجل

أما ضياع الحمولة الناتج عن القفزة فيكون:

$$\Delta E_s = E_{s1} - E_{s2} = 3.66 - 1.55 = 2.11m$$

أما عمق القفزة فيكون:

$$\Delta y = y_2 - y_1 = 1.5 - 0.18 = 1.32m$$



## تطبيق (5-3):

تحدث قفزة مائية في قناة ذات مقطع مستطيل فإذا علمت أن ارتفاع الماء في القناة  $y_2 = 0.85 \, \mathrm{m}$  وأن ارتفاع الماء بعد القفزة أصبح مساوياً  $y_1 = 0.5 \, \mathrm{m}$  فالمطلوب:

- 1) استنتاج علاقة السرعة قبل القفزة و بعدها بدلالة العمقين المترافقين.
  - 2) حساب قيمة السرعة قبل القفزة و بعدها.
  - 3) حساب قيمة التدفق لوحدة العرض المار في القناة.
    - 4) حساب الضياع الناتج عن القفزة و مردود القفزة.
      - 5) حساب العمق الحرج.

#### الحل:

بالاعتماد على المعادلة العامة للقفزة

$$\frac{Q^2}{g A_1} + A_1 \bar{y}_1 = \frac{Q^2}{g A_2} + A_2 \bar{y}_2$$

إذا كان عرض القناة b

$$A_1 = y_1 b$$

$$A_2 = y_2 b$$

$$\overline{y}_1 = \frac{y_1}{2}$$

$$\overline{y}_2 = \frac{y_2}{2}$$

$$\frac{Q^2}{g y_1 b} + b \frac{y_1^2}{2} = \frac{Q^2}{g y_2 b} + b \frac{y_2^2}{2}$$

$$y_2^2 - y_1^2 = \frac{2}{b} \frac{Q^2}{g b} (\frac{1}{y_1} - \frac{1}{y_2})$$

$$(y_2 - y_1) (y_2 + y_1) = \frac{2 Q^2}{g b^2} (\frac{y_2 - y_1}{y_1 y_2})$$

نقسم طرفي المعادلة على  $0 \neq (y_2 - y_1)$  فيصبح لدينا:

$$y_{2} + y_{1} = \frac{2Q^{2}}{gb^{2}} \left(\frac{1}{y_{1} y_{2}}\right)$$

$$Q = A_{1} V_{1} = A_{2} V_{2}$$

$$y_{2} + y_{1} = \frac{2y_{1}^{2}b^{2}V_{1}^{2}}{gb^{2}y_{1} y_{2}}$$

$$V_{1}^{2} = \frac{g}{2} \frac{y_{2}}{y_{1}} (y_{2} + y_{1}) = \frac{1}{2}gy_{1} \frac{y_{2}}{y_{1}} (1 + \frac{y_{2}}{y_{1}})$$

$$V_{2}^{2} = \frac{1}{2}gy_{2} \frac{y_{1}}{y_{2}} (1 + \frac{y_{1}}{y_{2}})$$

$$V_{1} = 3.355 \text{ m/sec}$$

$$V_{2} = 1.97 \text{ m/sec}$$
3)  $q = \frac{Q}{b} = \frac{V_{1}A_{1}}{b} = \frac{V_{1}by_{1}}{b} = V_{1}y_{1} = 1.677 \text{ m}^{3}/\text{sec.m}$ 
4)  $\Delta E_{s} = \frac{(y_{2} - y_{1})^{3}}{4y_{1}y_{2}} = 0.025 \text{ m}$ 

$$\eta = \frac{4y_{1}y_{2}}{(y_{2} + y_{1})^{2}} = 0.93$$
5)  $y_{c} = \sqrt[3]{\frac{q^{2}}{a}} = 0.66 \text{ m}$ 

### تطبيق(5-4):

عين المنحني المرافق للخط الممثل للسطح الحر الشلالي في قناة ذات مقطع شبه منحرف عرضها b=3m ، معدل ميل الجوانب m=1.5 علماً بأن التدفق المار فيها  $Q=16.4m^3/sec$  ، ثم حدد موضع القفزة إذا كانت الشروط النهائية تغرض جرياناً نهرياً وباعتبار احداثيات الخطين الممثلين لسطح الماء الشلالي والنهري معطاة في الجدول التالي:

(m) X الفاصلة	0	35	65	90	107	113	130
y <sub>1</sub> (m)	0.6	0.7	0.8	0.9	-	1	1.1
y <sub>2</sub> (m)	1.8	-	1.7	1.65	1.6	-	1.5

#### الحل:

1) حساب العمق الحرج في القناة:

$$\frac{Q^2}{g} = \frac{A^3}{T} \qquad A = (b + my)y \qquad T = b + 2my$$

$$\frac{(16.4)^2}{9.81} = \frac{((3+1.5 y)y)^3}{3+3 y} \Rightarrow$$

 $y_{\rm C} = 1.18 \, {\rm m}$  بالتجريب نحصل على قيمة العمق الحرج

2) حساب المنحنى المرافق للمنحنى الشلالي:

نعود للمعادلة العامة للقفزة ونكتب:

$$Y = \frac{Q^2}{gA_1} + A_1 \frac{1}{y_1} = \frac{Q^2}{gA_2} + A_2 \frac{1}{y_2}$$
$$Y = \frac{q^2}{gy_1} + \frac{y_1^2}{2} = \frac{q^2}{gy_2} + \frac{y_2^2}{2}$$

نرسم خط رد الماء النهري والشلالي ثم نعطي y مجموعة من القيم بدءاً من القيمة y=0.1 القيمة y=0.1 ونحسب منها قيمة تابع القوى النوعية ونرتب جميع النتائج في جدول كالآتى:

y	القوى النوعية Y
0.1	87.06
0.2	41.61
0.4	19.31
0.6	12.37
0.8	9.38
1	8.09
1.2	7.78
1.4	8.15
1.6	9.06
1.8	10.45
2	12.29
2.2	14.56
2.4	17.28

نرسم منحني القوى النوعية واعتماداً على هذا المنحني يمكن أن نرسم المنحني المرافق للمنحني الشلالي.

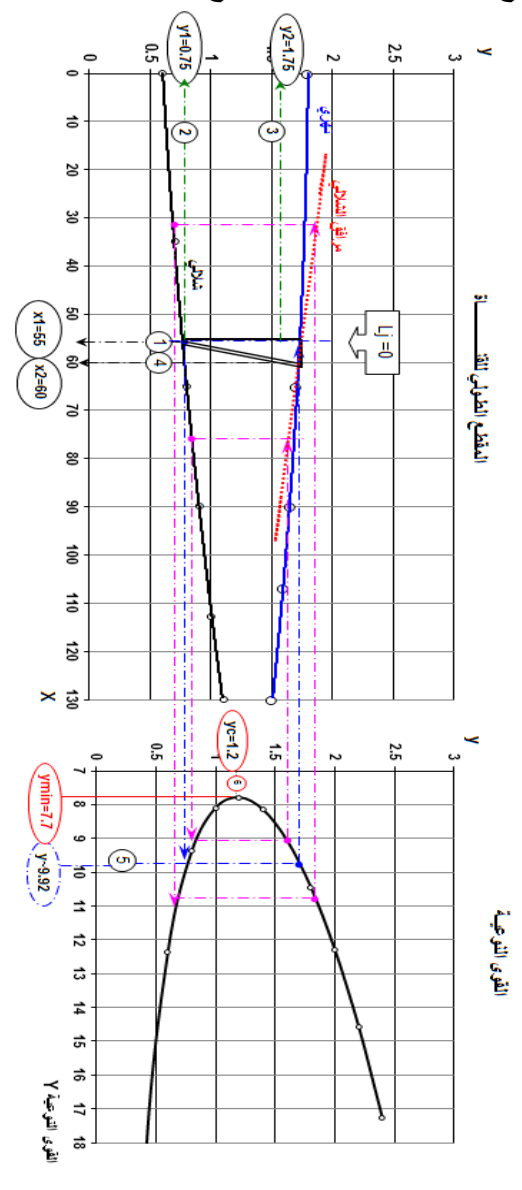
طول القفزة معدوم:

يتقاطع المنحني النهري في نقطة .نقطة تقاطع المنحنيين الانفي الذكر تعبر عن موقع القفزة. من الشكل نجد ان القفزة تحدث في موقع فاصلته x=60m

طول القفزة غير معدوم:

نعيد رسم خطي رد الماء النهري والشلالي ومرافق الخط الشلالي ، نرسم المثلث المساعد

ضلعه القائم الشاقولي  $\Delta y=1$  وضلعه الأفقي  $L_j=5$  فيعطي وتره الميل الوسطي x=60 للسطح الحر في موقع القفزة من الشكل نجد موقع بداية القفزة x=60 ونهايتها x=60



تطبيق(5-5) :

مطلوب إنشاء قناة مقطعها على شكل شبه منحرف في أرض رملية لتروي مساحة مقدارها 5000 hectar علماً أن المقنن المائي مقداره للهكتار الواحد5000 hectar والقناة سوف يتم تبطينها بالبيتون لمنع تسرب المياه للتربة. والمطلوب:

- الميل أبعاد القناة اللازمة حتى يكون قطاعها هو الأفضل هيدروليكياً. إذا علم أن الميل J=10cm/km الطولى للقاع J=10cm/km ومعامل الخشونة
- 2- إذا كان سطح المياه في القناة أسفل منسوب أرض الزراعة بمقدار 50cm فاحسب تكاليف الحفر والتبطين لكل كيلومتر طولي من القناة علماً أن تكاليف الحفر 20 ل.س لكل متر مكعب وتكاليف التبطين 100 ل.س لكل متر مربع.
- 3- أقيم منشأ للتحكم في المياه على هذه القناة يمر الماء خلاله من تحت بوابة، فإذا كان مخرج المنشأ خلف البوابة مقطعه مستطيل الشكل وعرضه مساوٍ لعرض القاع حتى نهاية الفرش، فالمطلوب: حساب أقل عمق لازم للمياه في المقطع المنضغط والذي تجعل القفزة المتكونة خلفها قفزة تامة.
- 4- احسب أقل طول ممكن للفرش في هذه الحالة وكذلك الطول الذي يجب حمايته خلف الفرش بعمل تكسية له وذلك علماً أن  $L_i = 10.3 y_1 \left(F_1 1\right)^{0.81}$

الحل

أولاً:

المقطع الأفضل هيدروليكياً على شكل شبه منحرف

$$m = \frac{1}{\sqrt{3}} \implies \lambda = 2\sqrt{1 + m^2} - m = 2\sqrt{1 + (0.577)^2} - 0.577 = 1.732$$

$$Q = \frac{100 \times 5000}{24 \times 3600} = 5.787 \text{ m}^3 / \text{sec}$$

$$A = \lambda y^2 = 1.732 y^2$$

$$P = 2\lambda y$$

$$R_{\,h}=\frac{y}{2}$$

بالتعويض في معادلة مانينغ نجد:

$$Q = \frac{1}{n} A R_h^{2/3} \sqrt{J}$$

$$5.787 = \frac{1}{0.014} \times (1.732 \,\mathrm{y}^2) (0.5 \,\mathrm{y})^{2/3} \sqrt{10^{-4}} \implies \mathrm{y}^{8/3} = 7.425$$

$$y = 2.12 \text{ m}$$
  $\Rightarrow$   $b = (\lambda - m) y = (1.732 - 0.577) \times 2.12 = 2.45 \text{ m}$ 

وبذلك تصبح مساحة المقطع الكلية AT:

$$A_T = (2.45 + \frac{2.62}{\sqrt{3}}) \times 2.62 = 10.382 \text{ m}^2$$

 $: C_{E}$  وبالتالي تكون كلفة الحفر لكل كيلومتر طولي

$$C_E = 10.382 \times 1000 \times 20 = 207643$$
 ل.س / Km′

كما أن طول المحيط المبلول سيكون مقداره FT:

$$F_T = 2.45 + 2 \times 2.62 \times \frac{2}{\sqrt{3}} = 8.5 \text{ m}$$

وتكون تكاليف التبطين لكل كيلومتر طولي : CL

$$C_L = 8.5 \times 1000 \times 100 = 850000$$
 ل.س.  $J/Km'$ 

وبالتالي تصبح التكاليف الإجمالية لإنشاء القناة: لكل متر طولي CT:

$$C_T = C_E + C_L = 1057643$$
 ...  $J/Km'$ 

ثانياً:

نفرض أقل عمق لازم للمياه في المقطع المنضغط والذي تجعل القفزة المتكونة تامة مقداره y<sub>1</sub> والذي يمكن تحديده كما يلى:

$$V_2 = \frac{Q}{A_2} = \frac{5.787}{2.45 \times 2.12} = 1.114 \text{ m/sec}$$

$$F_{r_2} = \frac{V_2}{\sqrt{g y_2}} = \frac{1.114}{\sqrt{9.81 \times 2.12}} = 0.244$$

$$y_1 = 0.5 y_2 (\sqrt{1 + 8F_{r_2}^2} - 1)$$

$$y_1 = 0.5 \times 2.12(\sqrt{1 + 8 \times (0.244)^2} - 1) = 0.228 \,\text{m}$$

حساب أقل طول ممكن للفرش سيكون مساوي لطول القفزة  $L_{i}$  ومقداره يمكن تحديده

كالتالي:

$$V_1 = \frac{Q}{b_1 y_1} = \frac{5.787}{2.45 \times 0.228} = 10.36 \text{ m/sec}$$

$$F_{r_1} = \frac{V_1}{\sqrt{g y_1}} = \frac{10.36}{\sqrt{9.81 \times 0.228}} = 6.927$$

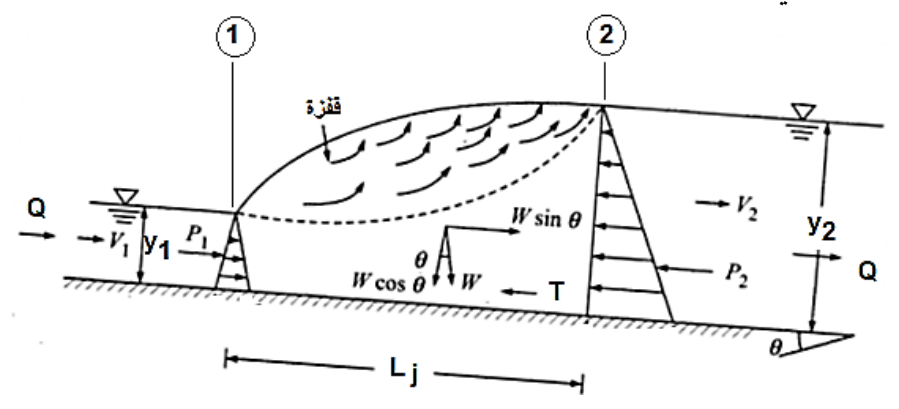
$$L_i = 10.3 y_1 (F_1 - 1)^{0.81}$$

$$L_i = 10.3 \times 0.228 \times (5.927)^{0.81} = 9.93 \text{ m} \approx 10 \text{ m}$$

والطول الذي يجب حمايته خلف الفرش بعمل تكسية له يمكن حسابه من العلاقة:  $L_j = (2.5 \to 3) \; L_j = 25 \to 30 \; m$ 

#### تطبيق(5-6):

استنتج علاقة مبسطة بقدر الإمكان لتحديد العلاقة بين العمقين المترافقين لقفزة هيدروليكية في قناة ميل قاعها كبير ومقطعها مستطيل الشكل.



الحل

نفصل كتلة الماء المحصورة في القفزة الهيدروليكية بين مقطعي الجريان عند بداية القفزة (1) وعند نهايتها (2) ونطبق على هذه الكتلة معادلة التغير في كمية الحركة.

نعتبر أن الضغوط في مقطعي الجريان (1) و (2) موزعة هيدروستاتيكياً ونعتبر السرعات موزعة بانتظام في هذين المقطعين. كما نهمل تأثير قوى الاحتكاك مع القاع والجوانب في منطقة القفزة فتصبح معادلة التغير في كمية الحركة على الصورة التالية:

$$\rho Q(V_2 - V_1) = P_1 + W \sin \theta - P_2$$

$$P_1 = \frac{1}{2} \gamma \ y_1^2 \cos \theta b$$

$$P_2 = \frac{1}{2} \gamma \ y_2^2 \cos \theta b$$

$$Q = b \ y_1 V_1 = b \ y_2 V_2$$

بالتعويض في علاقة كمية الحركة نجد:

$$\frac{\gamma}{g} b y_1 V_1 \left( \frac{V_1 y_1}{y_2} - V_1 \right) = \frac{1}{2} \gamma b \cos \theta (y_1^2 - y_2^2) + W \sin \theta$$

$$\frac{2 y_1 V_1^2}{g} \left( \frac{y_1 - y_2}{y_2} \right) = (y_1^2 - y_2^2) \cos \theta + \frac{2W \sin \theta}{\gamma b}$$

على اعتبار أن

$$W = \gamma \left( \frac{y_1 + y_2}{2} \right) L b K$$

أي أن شكل المساحة المستوية المحصورة بين المقطعين (1) و (2) تعتبر مساحة شبه منحرف مضروبة بمعامل تصحيح K حيث أن K معامل يعبر عن اختلاف الشكل الحقيقي لسطح المياه خلال القفزة عن الخط المستقيم.

بالتعويض بالعلاقة (3) في (2) ينتج أن:

$$\frac{2y_1V_1^2}{g}\left(\frac{y_1-y_2}{y_2}\right) = (y_1^2 - y_2^2)\cos\theta + (y_1 + y_2) L K \sin\theta$$

وبما أن  $F_{r1}^2 = \frac{V_1^2}{g y_1}$  وبالتعويض نجد:

$$2F_{r1}^{2} y_{1}^{2} \left(\frac{y_{1} - y_{2}}{y_{2}}\right) = (y_{1} + y_{2}) \left[(y_{1} - y_{2})\cos\theta + LK\sin\theta\right]$$

بقسمة الطرفين على  $\mathbf{y}_{2}\left(\mathbf{y}_{1}-\mathbf{y}_{2}\right)$ ينتج:

$$2 F_{r1}^{2} \frac{y_{1}^{2}}{y_{2}^{2}} = \left(\frac{y_{1}}{y_{2}} + 1\right) \left[\cos\theta + \frac{LK\sin\theta}{(y_{1} - y_{2})}\right]$$

بالتبسيط نجد:

$$\frac{y_2^2}{y_1^2} + \frac{y_2}{y_1} - \frac{2F_{r1}^2}{\cos\theta + \frac{LK\sin\theta}{(y_1 - y_2)}} = 0$$

$$\frac{y_2^2}{y_1^2} + \frac{y_2}{y_1} - 2G^2 = 0$$

ومنه ينتج أن

$$y_2 = 0.5 y_1 (\sqrt{1+8 G^2} - 1)$$

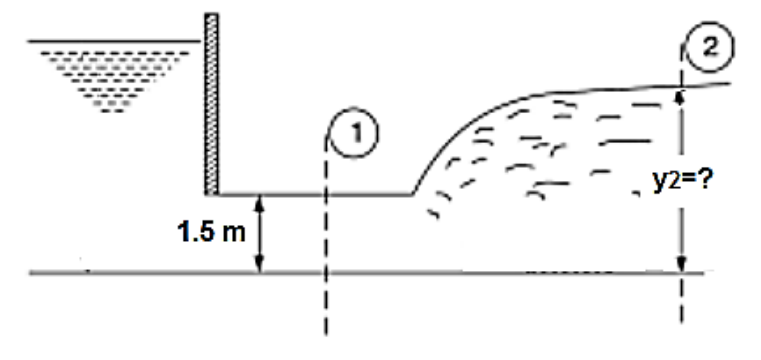
حىث:

$$G = \frac{F_{r1}}{\sqrt{\cos\theta - \frac{L K \sin\theta}{y_2 - y_1}}}$$

#### تطبيق(5-7) :

أقيمت منشأة للتحكم في جريان المياه في قناة تمر خلالها المياه تحت بوابة. فإذا علمت أن المجرى خلف البوابة وحتى نهاية المنشأة مقطعها مستطيل الشكل، وعلى اعتبار  $q=12\ m^3/\sec/m'$  تصرف تصميمي خارج من تحت البوابة مقداره لوحدة العرض  $1.5\ m$  بعمق في المقطع المنضغط  $1.5\ m$  فالمطلوب:

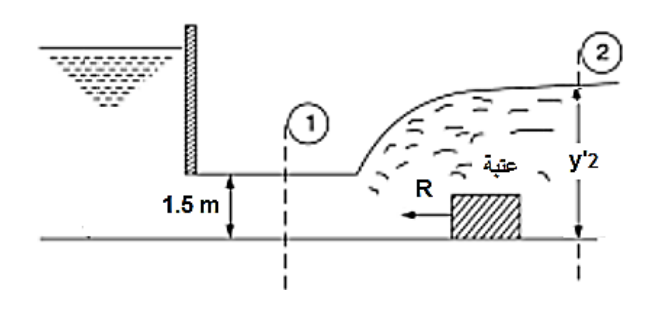
1- حساب العمق المرافق للقفزة المتكونة وحساب الفاقد في الضاغط خلالها.



2- بغرض تقليل العمق المرافق تم إنشاء عتبة طولية مصمتة خلف البوابة وخلال طول القفزة المتكونة تسبب نقصاناً في العمق المرافق فأصبح  $y = 2.5 \, \mathrm{m}$  والمطلوب حساب قيمة القوة المؤثرة على العتبة لكل متر طولي منه، وكذلك حساب قيمة الفاقد في الضاغط خلال القفزة في هذه الحالة أيضاً.

$$\begin{split} V &= \frac{q}{y_1} \\ F_{r1} &= \frac{V_1}{\sqrt{g\,y_1}} = \frac{q}{\sqrt{g\,y_1^3}} = \frac{12}{\sqrt{9.81 \times (1.5)^3}} = 2.085 \\ y_2 &= 0.5\,y_1\,(\sqrt{1 + 8F_{r1}^2} - 1) = 0.5 \times 1.5\,(\sqrt{1 + 8 \times (2.085)} - 1) = 3.736\,\text{m} \\ \Delta E_s &= \frac{(y_2 - y_1)^3}{4\,y_1\,y_2} = \frac{(3.736 - 1.5)^3}{4 \times 1.5 \times 3.736} = 0.5\,\text{m} \end{split}$$

ثانياً:



$$y_1 = 1.5 \text{ m}$$

$$V_1 = \frac{q}{v_1} = \frac{12}{1.5} = 8 \text{ m/sec}$$

$$V_2' = \frac{q}{y_2'} = \frac{12}{2.8} = 4.2857 \text{ m/sec}$$

تؤثر على القفزة قوى الضغط الهيدروستاتيكي من الطرفين والقوة المعيقة، بتطبيق معادلة كمية الحركة بين المقطع (1) و (2):

$$\frac{\gamma q}{\sigma}(V_2' - V_1) = P_1 - P_2' - R$$

$$R = P_1 - P_2' - \frac{\gamma \, q}{g} (V_2' - V_1)$$

$$P_1 = \frac{1}{2} \gamma y_1^2 = 1.125 t/m'$$

$$P_2' = \frac{1}{2} \gamma y_2'^2 = 3.92 t/m'$$

$$R = 1.125 - 3.92 - \frac{1 \times 12}{9.81} \times (4.2857 - 8) = 1.748 \text{ t/m}'$$

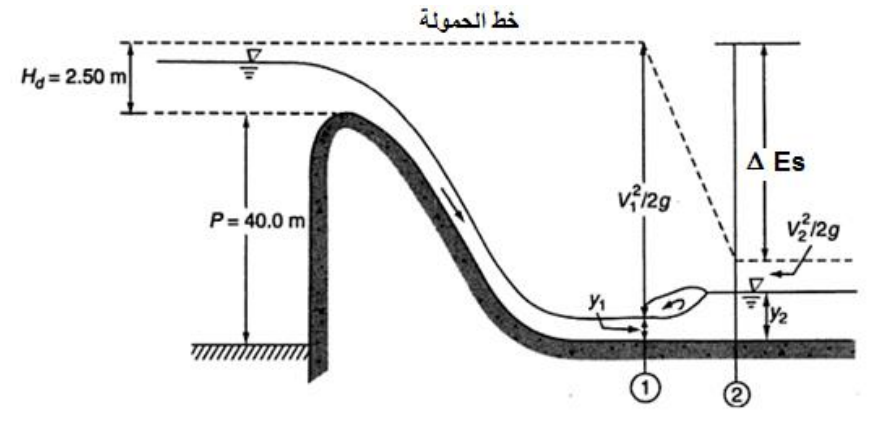
أما الفاقد في الضاغط خلال القفزة في هذه الحالة فيحسب من العلاقة:

$$\Delta E_{s} = (y_{1} + \frac{V_{1}^{2}}{2g}) - (y_{2}' + \frac{V_{2}^{2}}{2g})$$

$$\Delta E_{s} = (1.5 + \frac{(8)^{2}}{2 \times 9.81}) - (2.8 + \frac{(4.2857)^{2}}{2 \times 9.81}) = 1.0258 \text{ m}$$

#### تطبيق (5-8):

يبين الشكل هدار ارتفاعه P=40m والحمولة فوقه  $H_d=2.5m$  والمطلوب ايجاد العمق المرافق وضياع الحمولة للقفزة المائية المتشكلة تؤخذ  $C_d=0.738$  الحل:



قيمة التدفق المار من فوق الهدار لوحدة العرض:

$$q = \frac{2}{3} C_d \sqrt{2g} H_d^{3/2} = \frac{2}{3} \times 0.738 \times \sqrt{2 \times 9.81} \times (2.5)^{3/2}$$
  
$$q = 8.614 \text{ m}^3/\text{s/m}$$

الحمولة النوعية بين المقطعين (1) و (2):

P + H<sub>d</sub> = y<sub>1</sub> + 
$$\frac{V_1^2}{2 g}$$
  
y<sub>1</sub> +  $\frac{(8.614)^2}{2 g y_1^2}$  = 42.5

بالحل نجد:

$$y_1 = 0.3 \text{ m}$$

فتكون قيمة السرعة:

$$V_1 = \frac{q}{y_1} = \frac{8.614}{0.3} = 28.71 \,\text{m/s}$$

$$F_{r1} = \frac{V_1}{\sqrt{g \, y_1}} = \frac{28.71}{\sqrt{9.81 \times 0.3}} = 16.74 > 1$$

والجريان شلالي

لحساب العمق المرافق

$$\frac{y_2}{y_1} = \frac{1}{2} \left[ \sqrt{1 + 8 F_{r1}^2} - 1 \right]$$

$$\frac{y_2}{0.3} = \frac{1}{2} \left[ \sqrt{1 + 8 (16.74)^2} - 1 \right] = 23.18$$

$$y_2 = 6.954 \text{ m}$$

ضياع الحمولة الناتج عن القفزة

$$\Delta E_s = \frac{(y_2 - y_1)^3}{4 y_1 y_2} = \frac{(6.954 - 0.3)^3}{4 \times 0.3 \times 6.954} = 35.30 \text{ m}$$

الحمولة النوعية في المقطع (1)

$$E_{S1} = y_1 + \frac{V_1^2}{2g} = 42.5$$

النسبة المئوية لضياع الحمولة

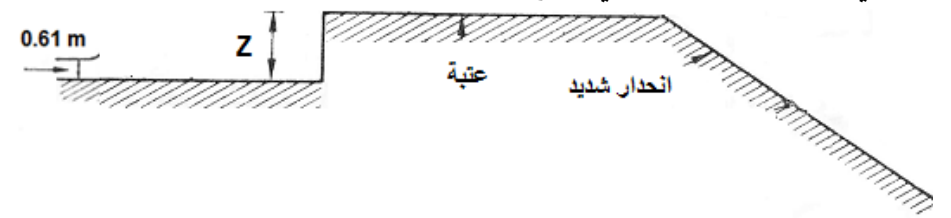
$$\frac{\Delta E_{S}}{E_{S1}} = \frac{35.30}{42.5} \times 100 = \%83$$

## تطبيق(5-9):

هدار على سد يصرف المياه بمعدل  $Q=16.4 m^3/sec$  إلى حوض تهدئة أفقي. يبلغ عمق الماء للجريان السريع عند مدخل حوض التهدئة 0.61 m ، وكلا حوض التهدئة والعتبة طويلان بشكل كاف لتحقيق شروط نظامية، تلي العتبة قناة عريضة مستطيلة الشكل ميلها 0.1 والمطلوب:

- 1) عين ارتفاع القفزة المائية وارتفاع العتبة (Z) اللازم لتحقيق استقرارها في الموقع الموضح بالشكل المبين أدناه ؟ يهمل تبدد قدرة الجريان فوق العتبة.
  - 2) احسب العمق النظامي للجريان في القناة أسفل التيار؟ (عامل مانينغ n=0.015).
    - 3) ارسم مقطع سطح الماء وعين صنفه عند المقاطع المختلفة؟

## 4) ماهي الصعوبات العملية التي تتوقع حدوثها خلال عمل المنشأة؟



لحل:

1) رقم فرود للجربان:

$$F_{\rm rl} = \frac{q^2}{g \ y^3} \approx 350$$

نسبة العمقين المترافقين:

$$y_2 / y_1 = \frac{1}{2} (\sqrt{1 + 8 F_{r1}} - 1) = 26$$

ومنه:

$$y_2 = 26 y_1 = 15.8 m$$

القدرة النوعية بعد القفزة:

$$E_{s2} = y_2 + \frac{1}{2} \frac{q^2}{g y_2^2} = 16 \text{ m}$$

بماأن الميل الاخير شديد فان النهاية أسفل التيار للعتبة ستعمل عمل مقطع تحكم، وتكون شروط الجريان عندها حرجة، إذن:

$$y_C = \sqrt[3]{\frac{q^2}{g}} = 4.3m$$

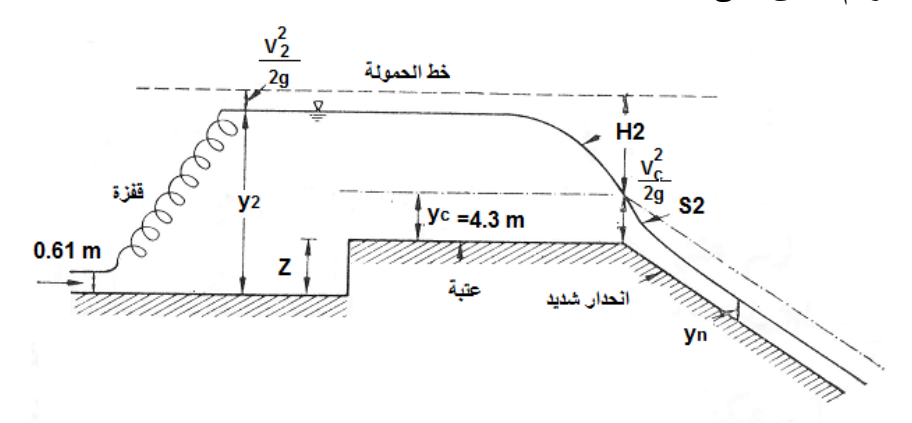
بإهمال القدرة الضائعة فوق العتبة تكون القدرة النوعية قبل العتبة مساوية للقدرة النوعية لى العتبة مضافاً اليها (Z)، أي:

$$16 = \frac{3}{2} y_C + Z = 6.45 + Z$$
$$Z = 9.55 \text{ m}$$

2) من علاقة مانينغ

$$Q = \frac{1}{n} A R_h^{2/3} J^{1/2} \Rightarrow y_n = 1.14 m$$

## 3) الرسم محقق على الشكل



## 4) الصعوبات العملية الممكنة:

- a) يمكن ان تكون القفزة المائية مغمورة وخاصة في الجريانات البطيئة نسبياً مما ينتج عنه نقصان في تبدد القدرة خلالها. وفي مثل هذه الحالة يدخل الجريان القادم السريع ضمن الماء في حوض التهدئة قبل ان ينتثر انتثار نافورة).
  - b) يمكن ان تتشكل حوادث تكهف (تخلخل) بسبب السرع العالية.
- c يمكن للقفزة المائية أن تبتعد أسفل التيار خارج حوض التهدئة إذا كانت التدفقات كبيرة إلا اذا كان طول الحوض كبيراً بشكل كاف.